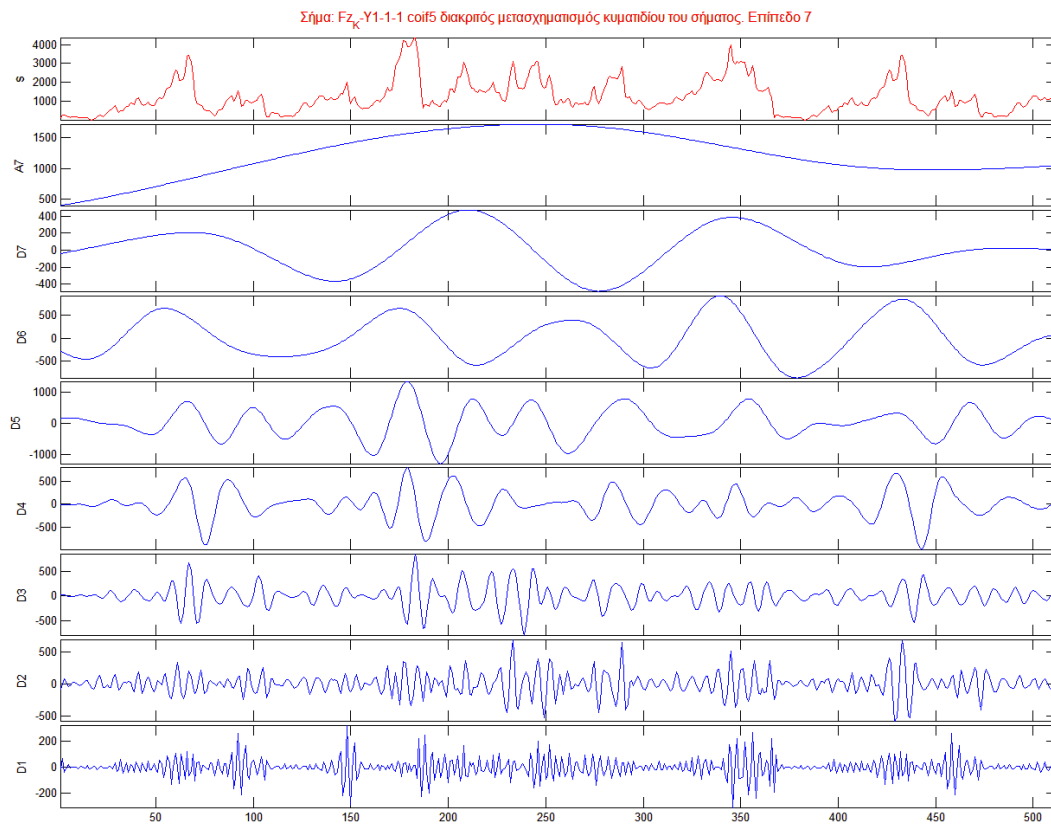


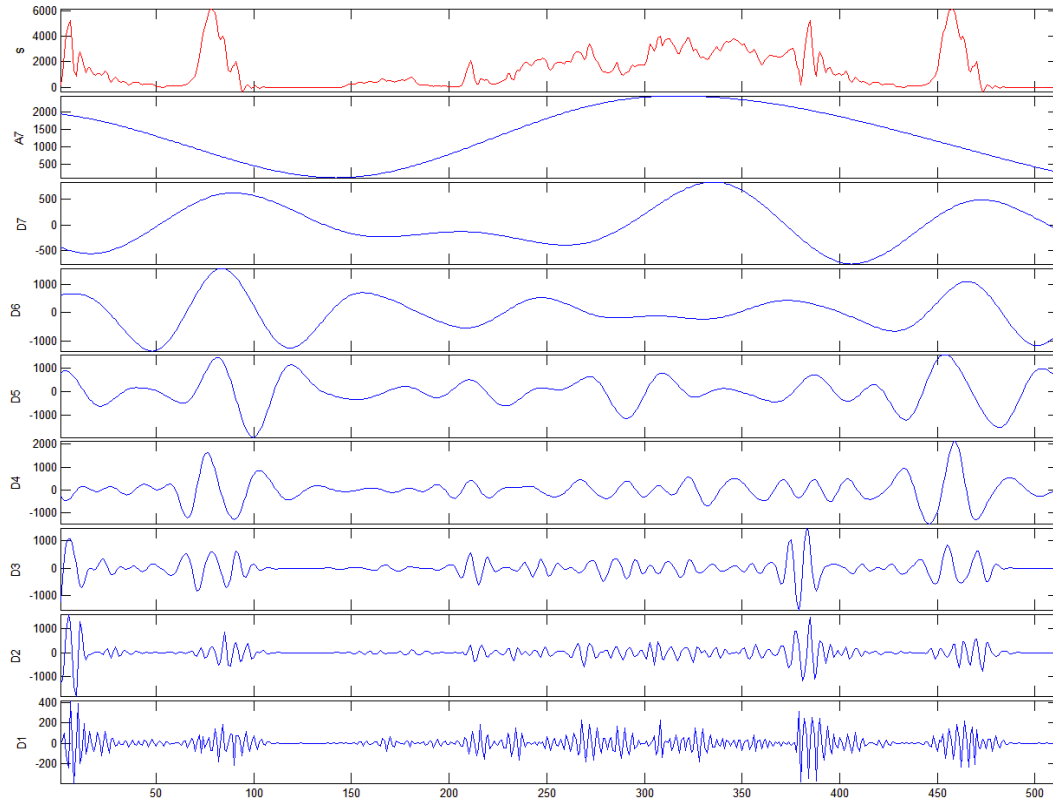
ΠΑΡΑΡΤΗΜΑ 1

Ανάλυση των Σημάτων της Δύναμης Κοπής με το Διακριτό Μετασχηματισμό Κυματιδίου

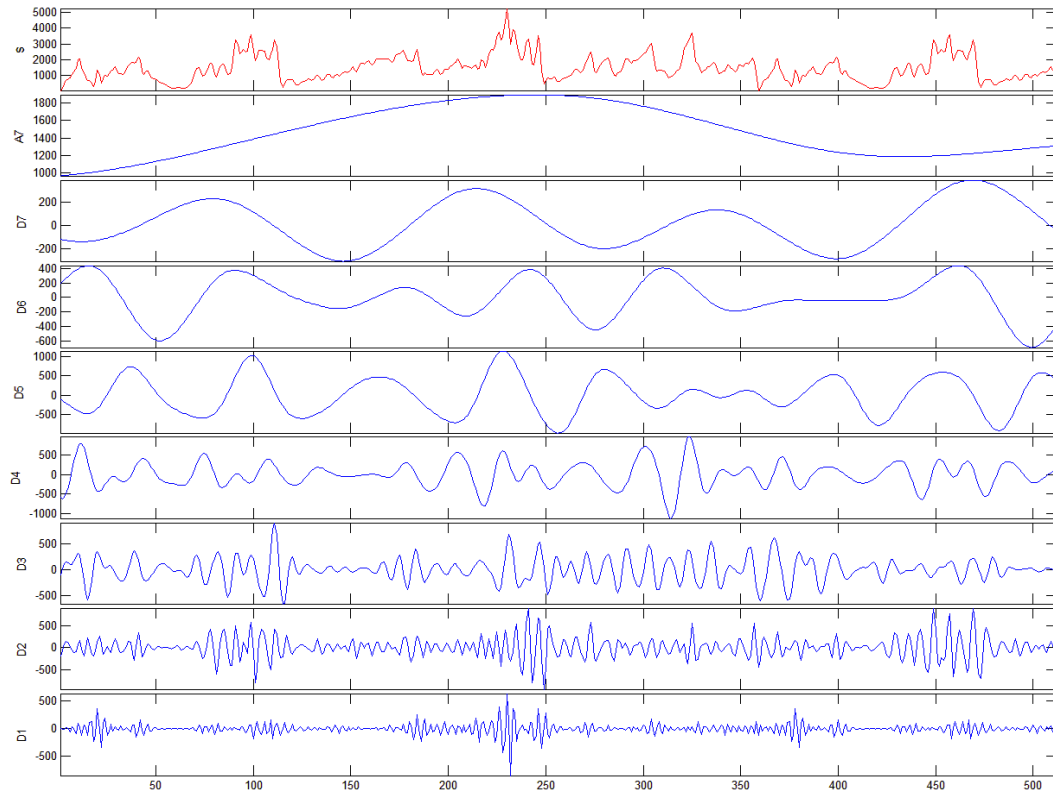
- Λευκότεφρος Ασβεστόλιθος ζαχαρώδους υφής του Τριαδικού από τον ορεινό όγκο Λέμφι της Ελευσίνας (TITAN) - (*asnI*)



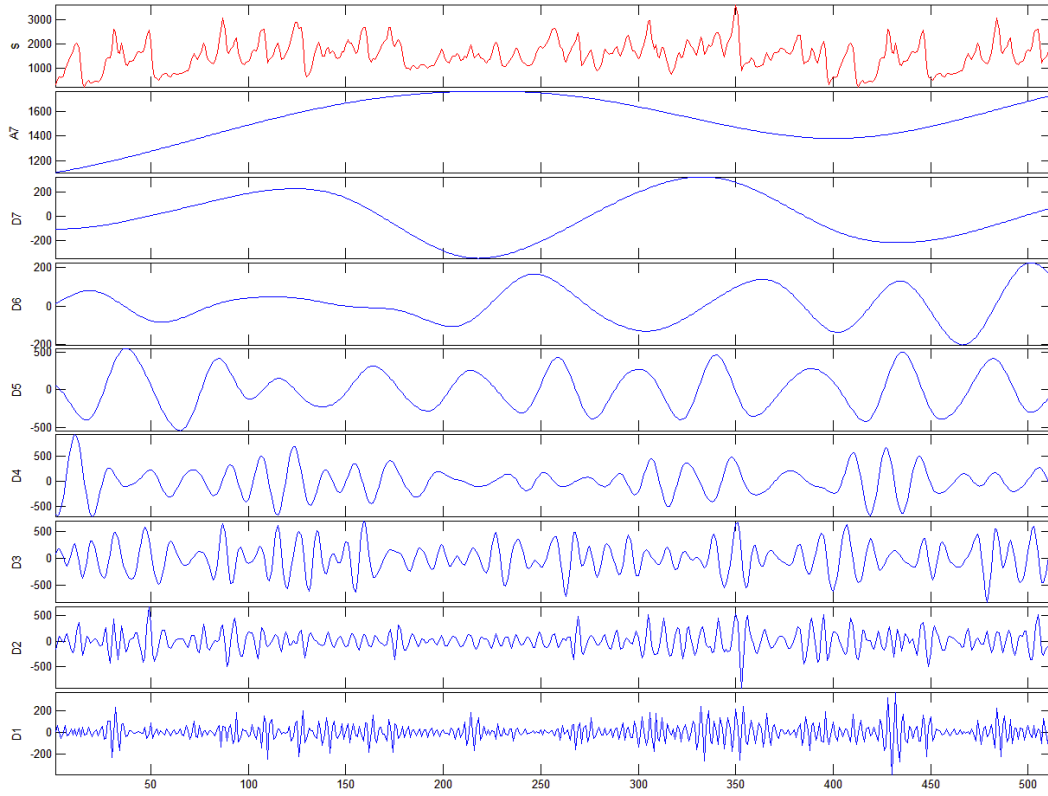
Σήμα: Fz_γ1-1-2 coil5 διακριτός μετασχηματισμός κυματίου του σήματος. Επίπεδο 7



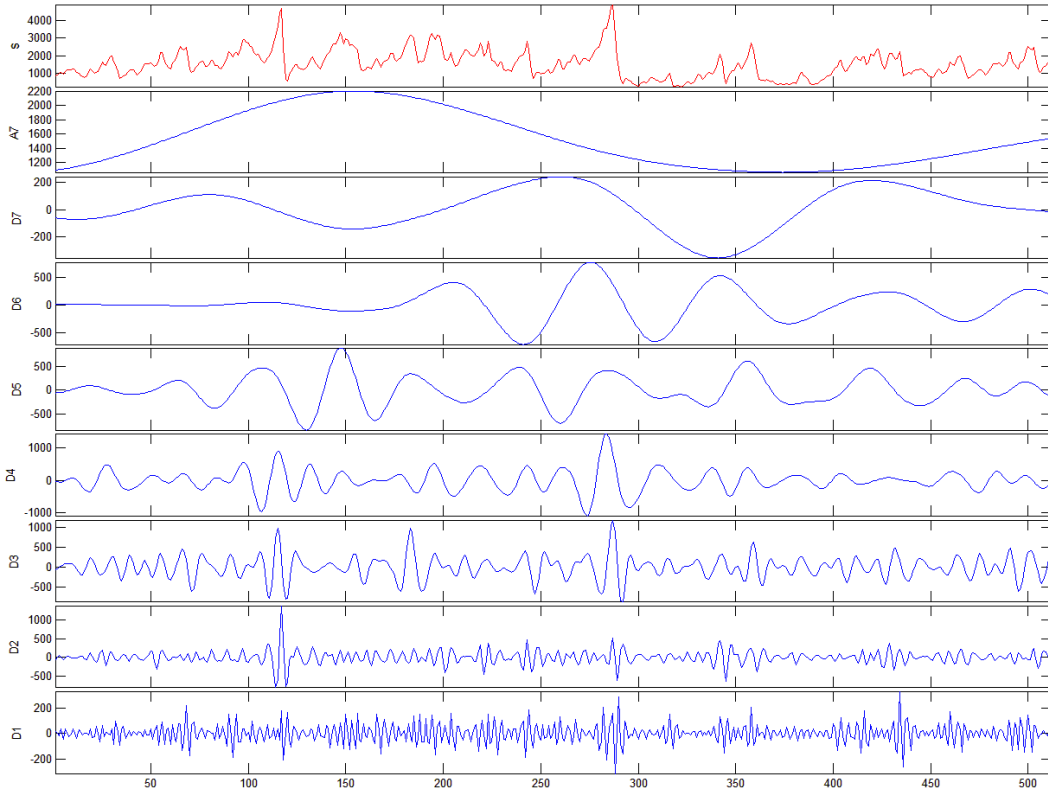
Σήμα: Fz_γ1-1-3 coil5 διακριτός μετασχηματισμός κυματίου του σήματος. Επίπεδο 7



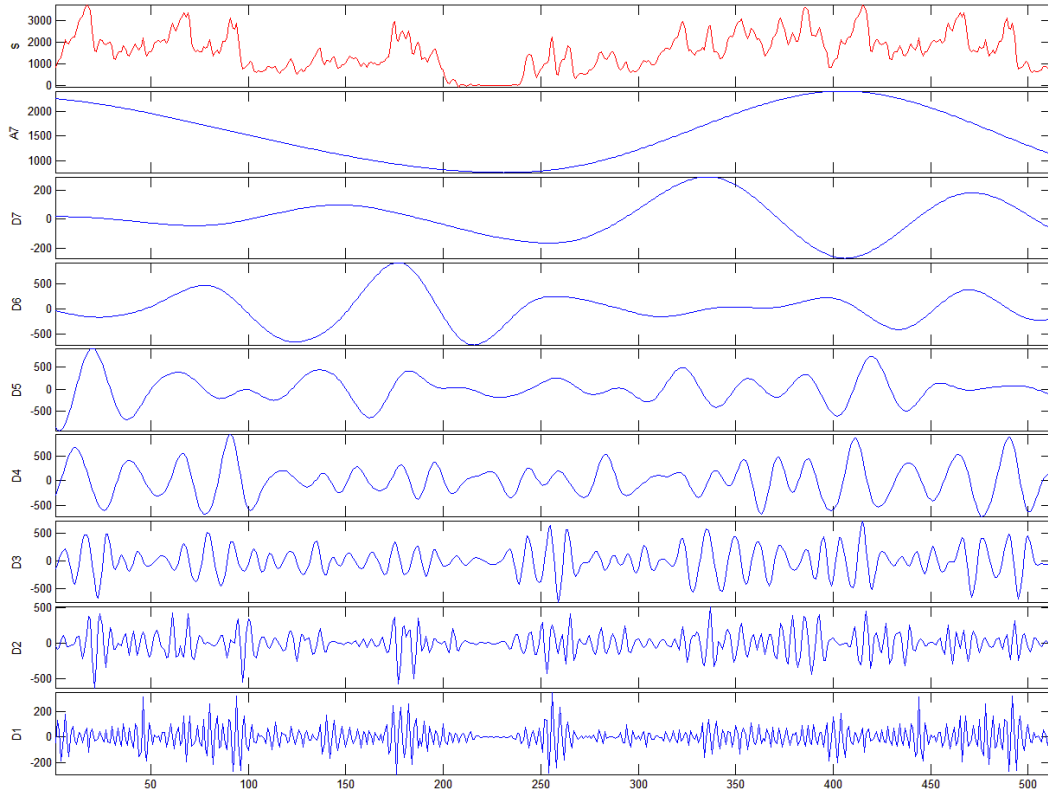
Σήμα: Fz_Y1-2-1 coil5 διακριτός μετασχηματισμός κυματίδιου του σήματος. Επίπεδο 7



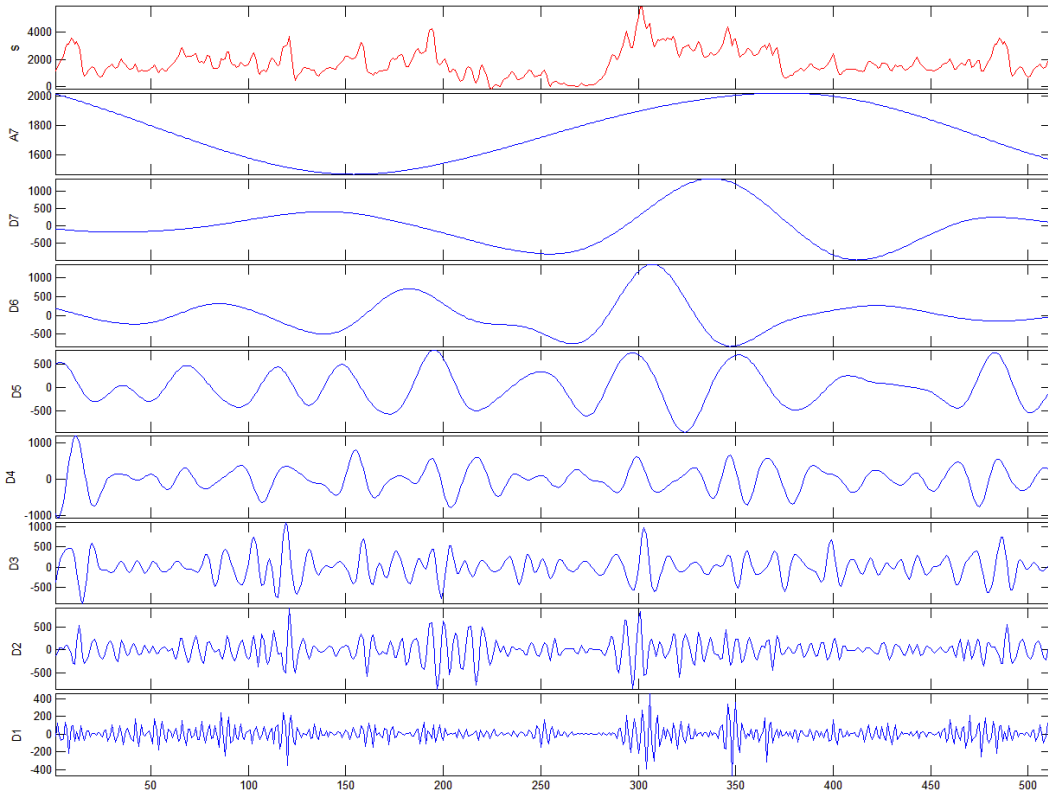
Σήμα: Fz_Y1-2-2 coil5 διακριτός μετασχηματισμός κυματίδιου του σήματος. Επίπεδο 7

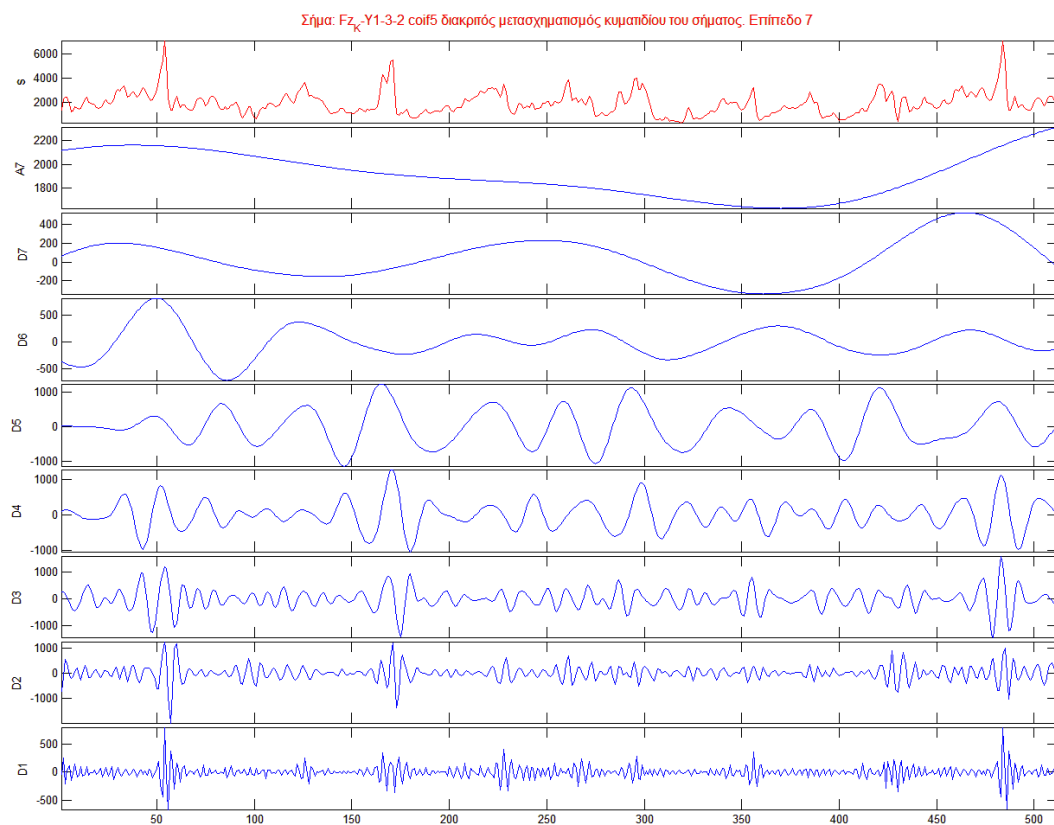
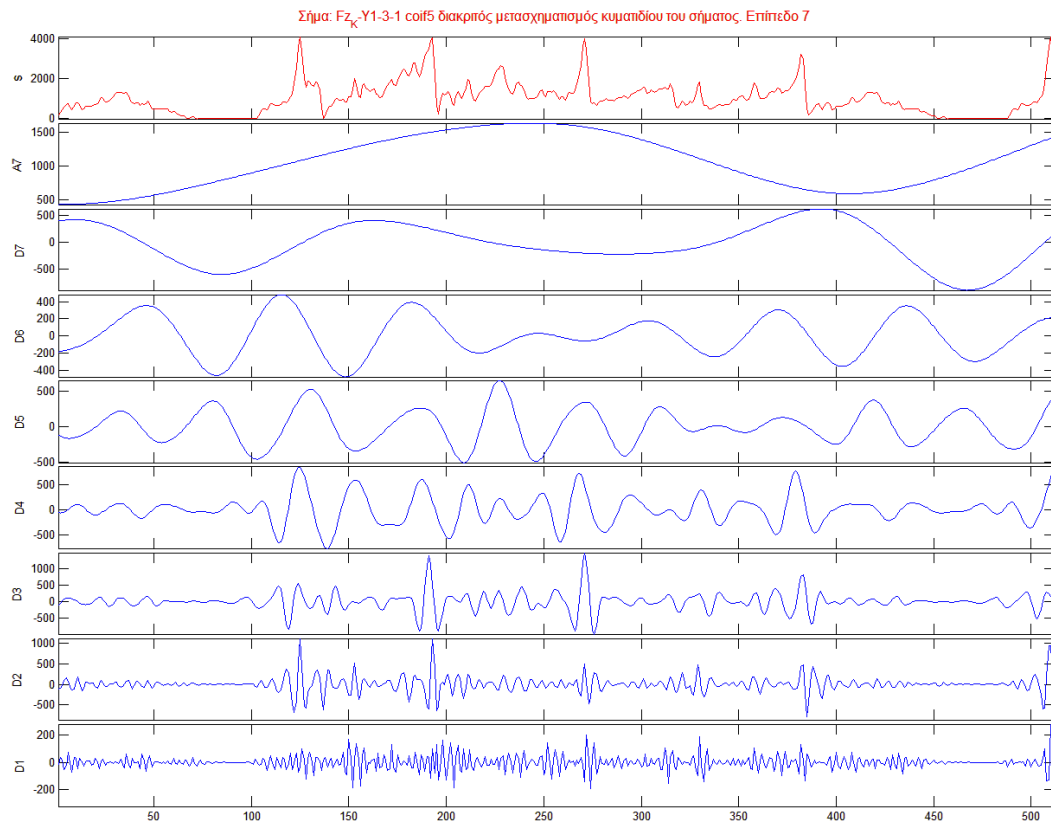


Σήμα: Fz_Y1-2-3 coil5 διακριτός μετασχηματισμός κυματίδιου του σήματος. Επίπεδο 7

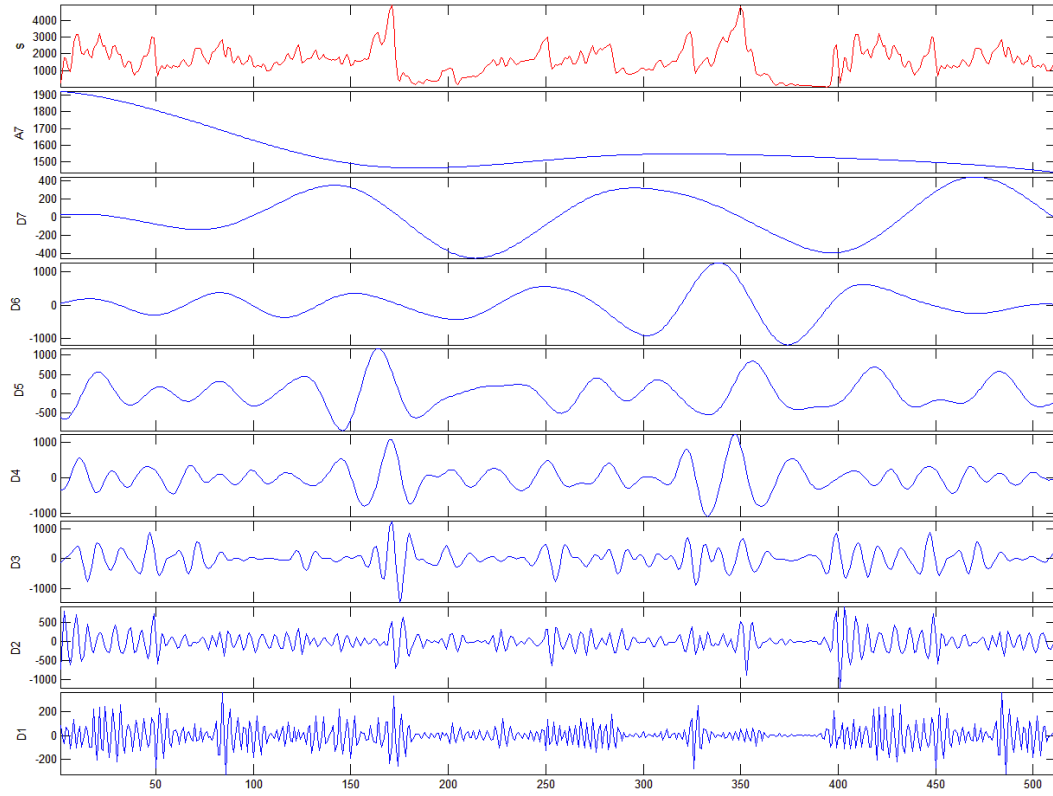


Σήμα: Fz_Y1-2-4 coil5 διακριτός μετασχηματισμός κυματίδιου του σήματος. Επίπεδο 7

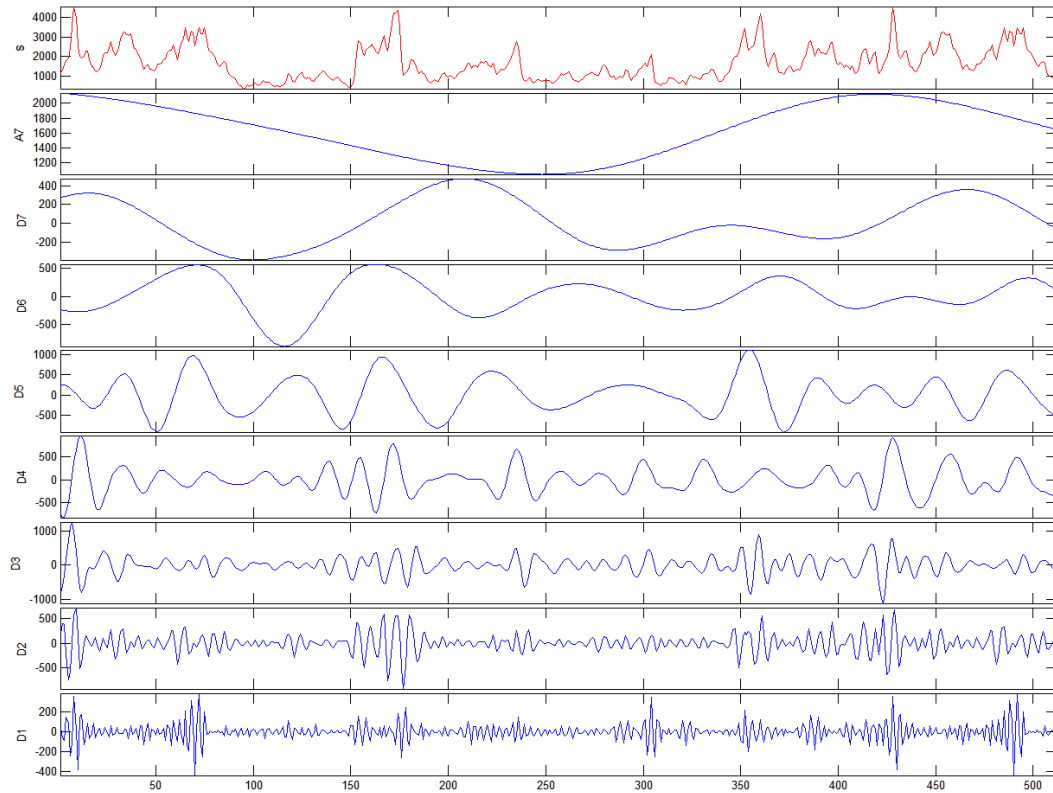




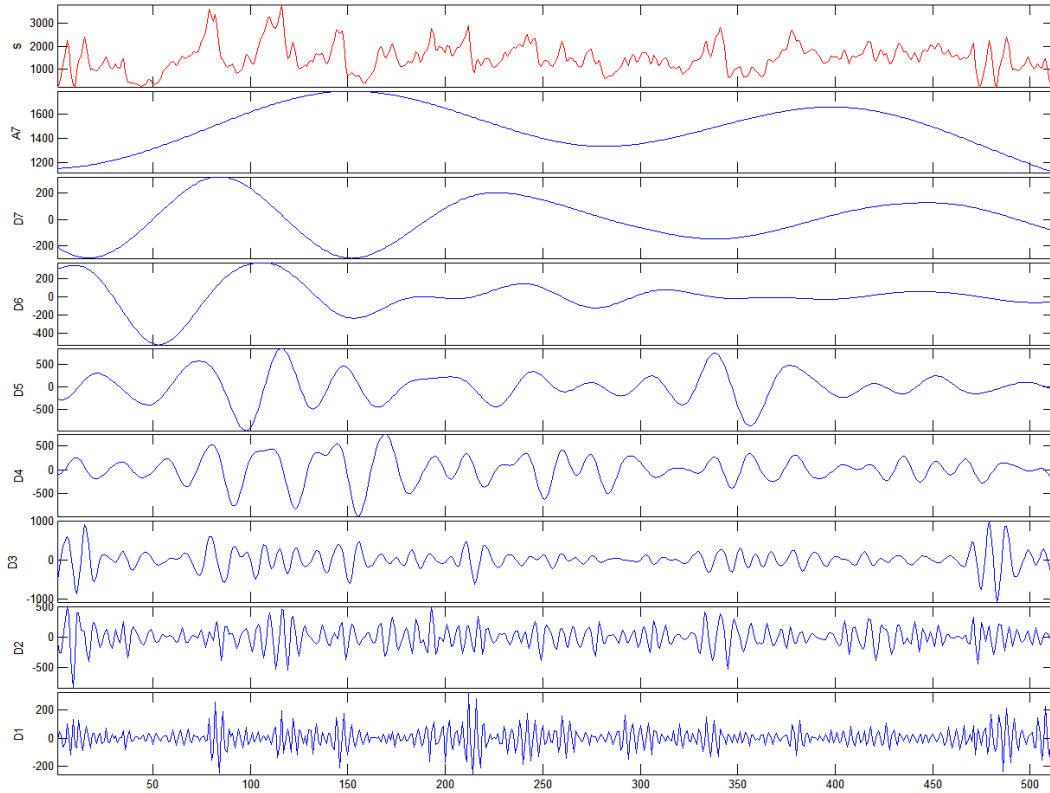
Σήμα: Fz_κ-Y1-3-3 coil5 διακριτός μετασχηματισμός κυματίδιου του σήματος. Επίπεδο 7



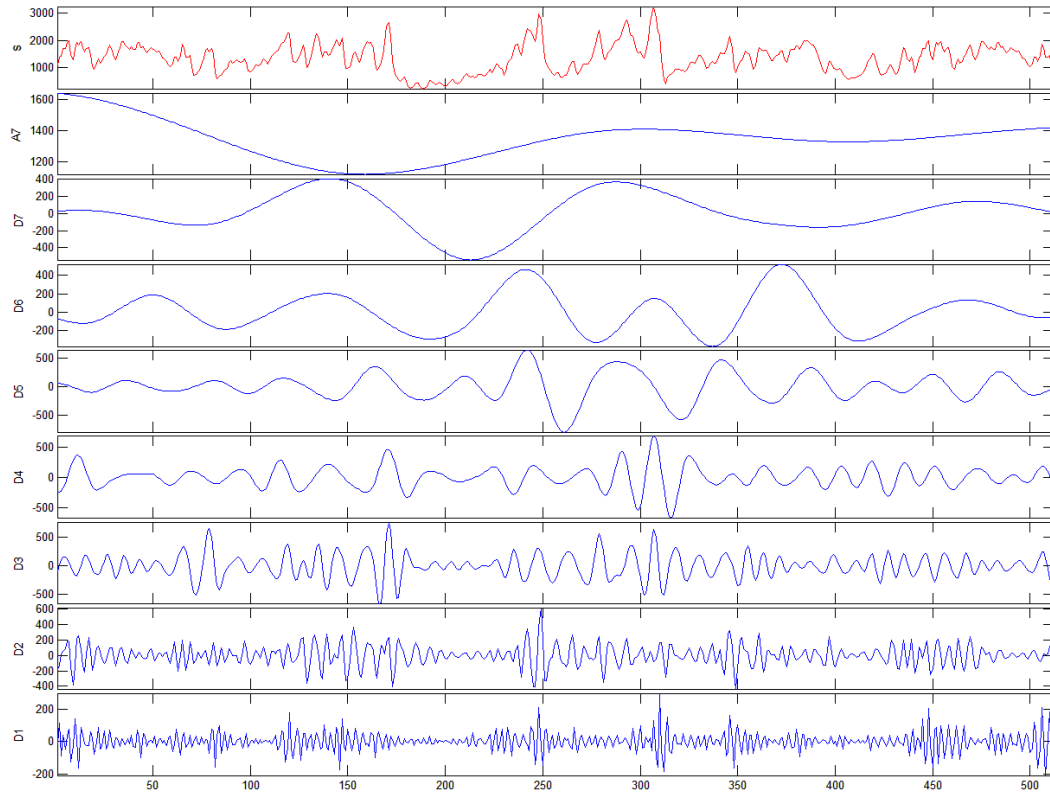
Σήμα: Fz_κ-Y1-3-4 coil5 διακριτός μετασχηματισμός κυματίδιου του σήματος. Επίπεδο 7



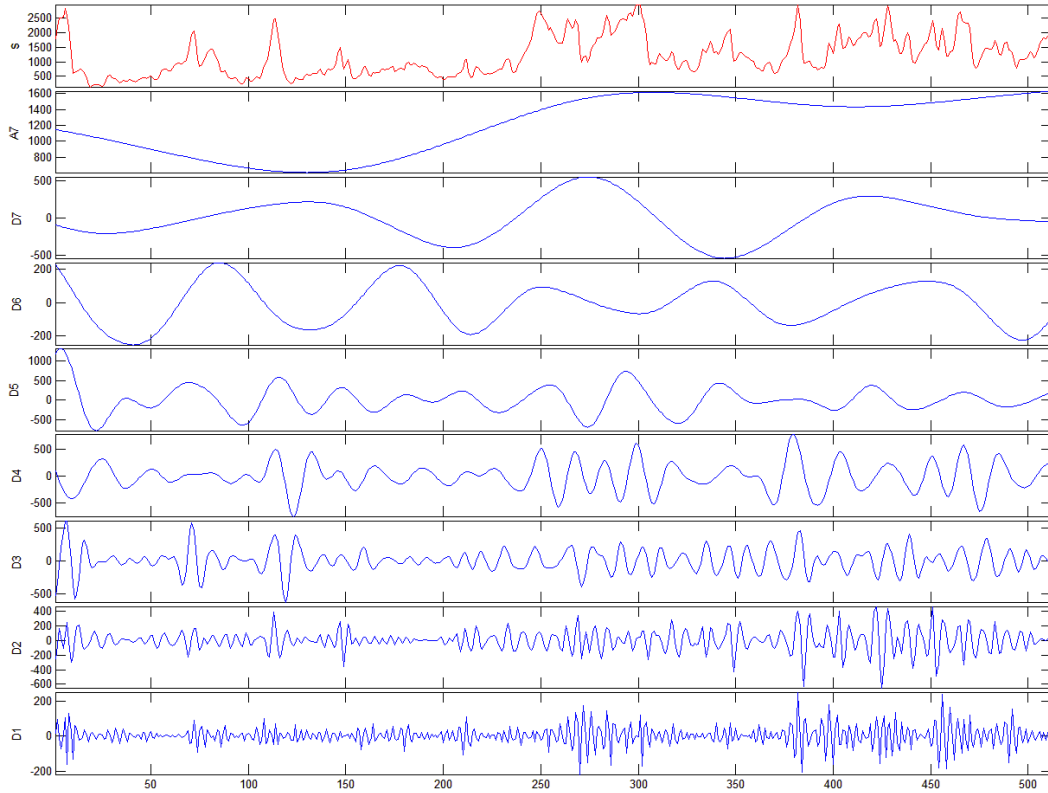
Σήμα: Fz_1-1-cut1 coil5 διακριτός μετασχηματισμός κυματοδίου του σήματος. Επίπεδο 7



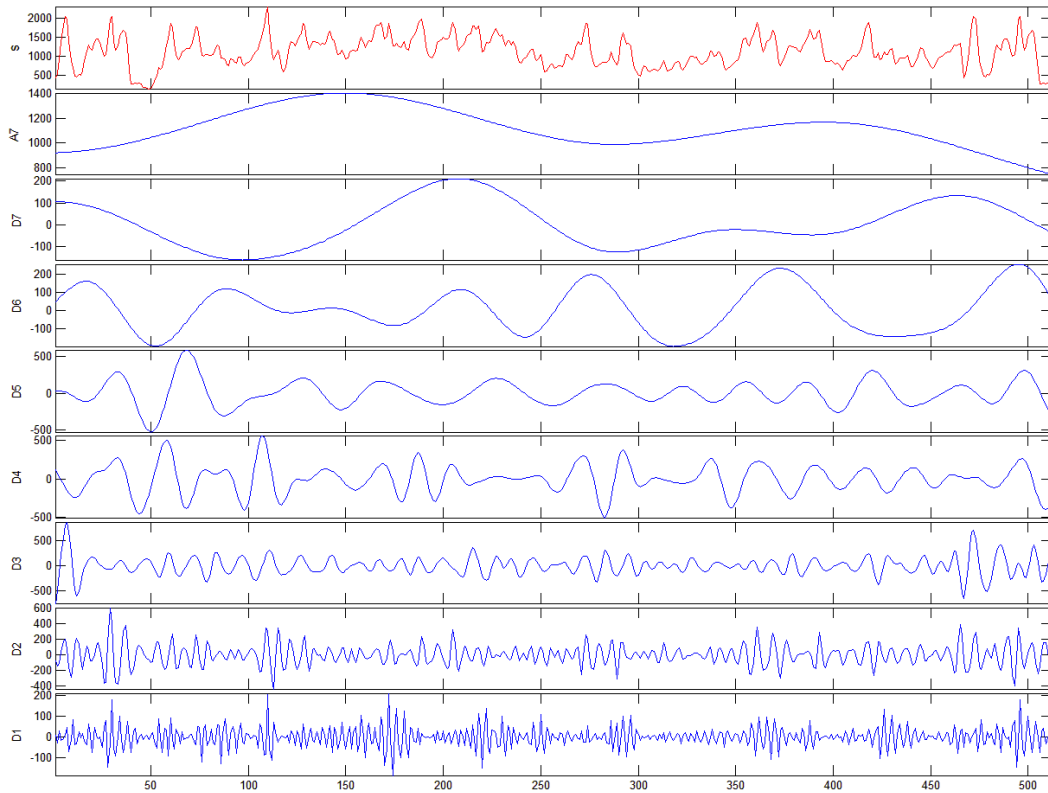
Σήμα: Fz_1-1-cut2 coil5 διακριτός μετασχηματισμός κυματοδίου του σήματος. Επίπεδο 7



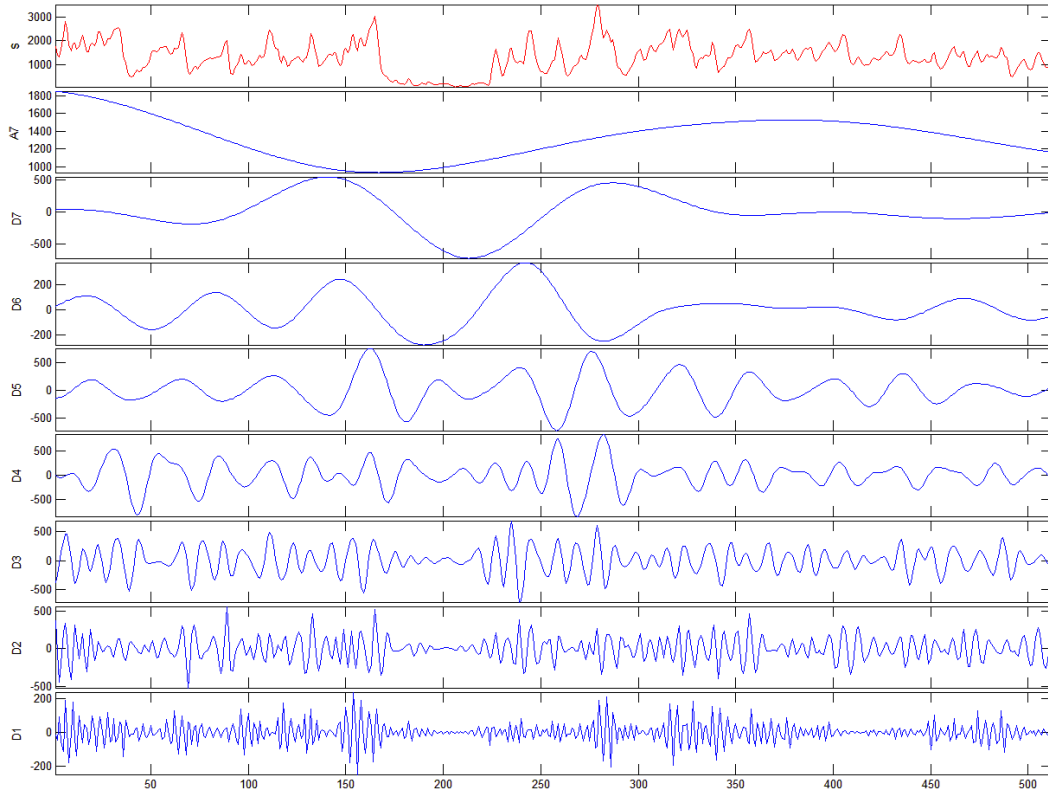
Σήμα: Fz_1-1-cut3 coil5 διακριτός μετασχηματισμός κυματίδιου του σήματος. Επίπεδο 7



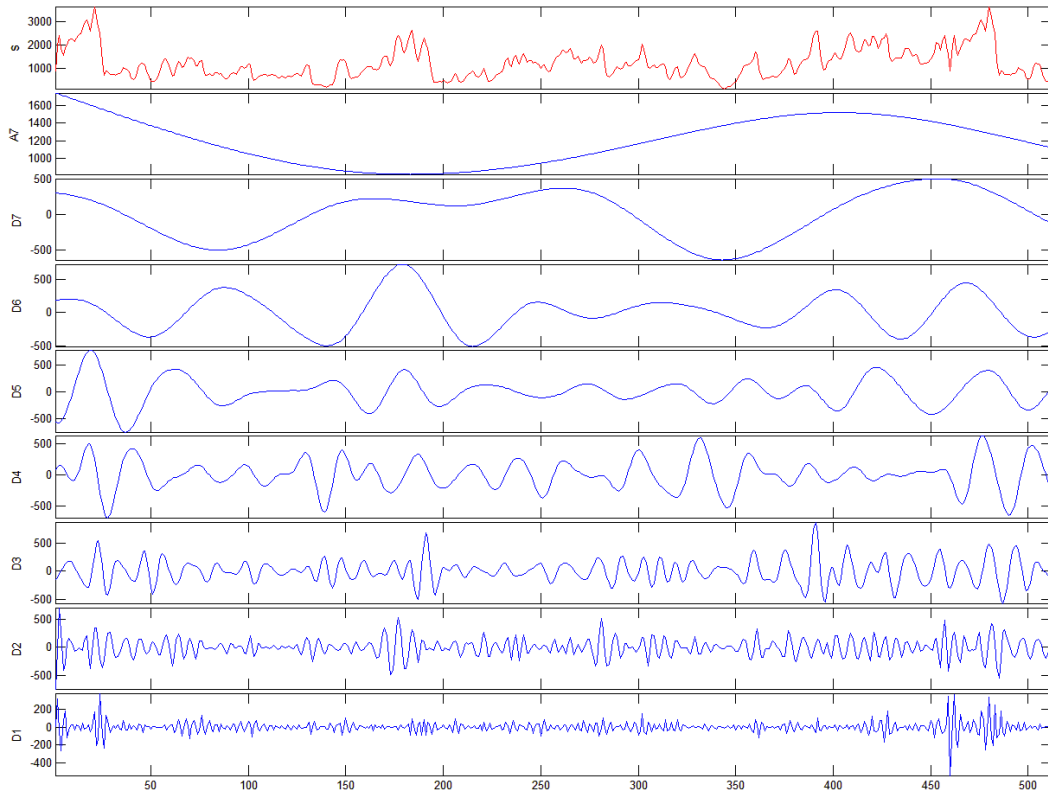
Σήμα: Fz_1-5-cut1 coil5 διακριτός μετασχηματισμός κυματίδιου του σήματος. Επίπεδο 7



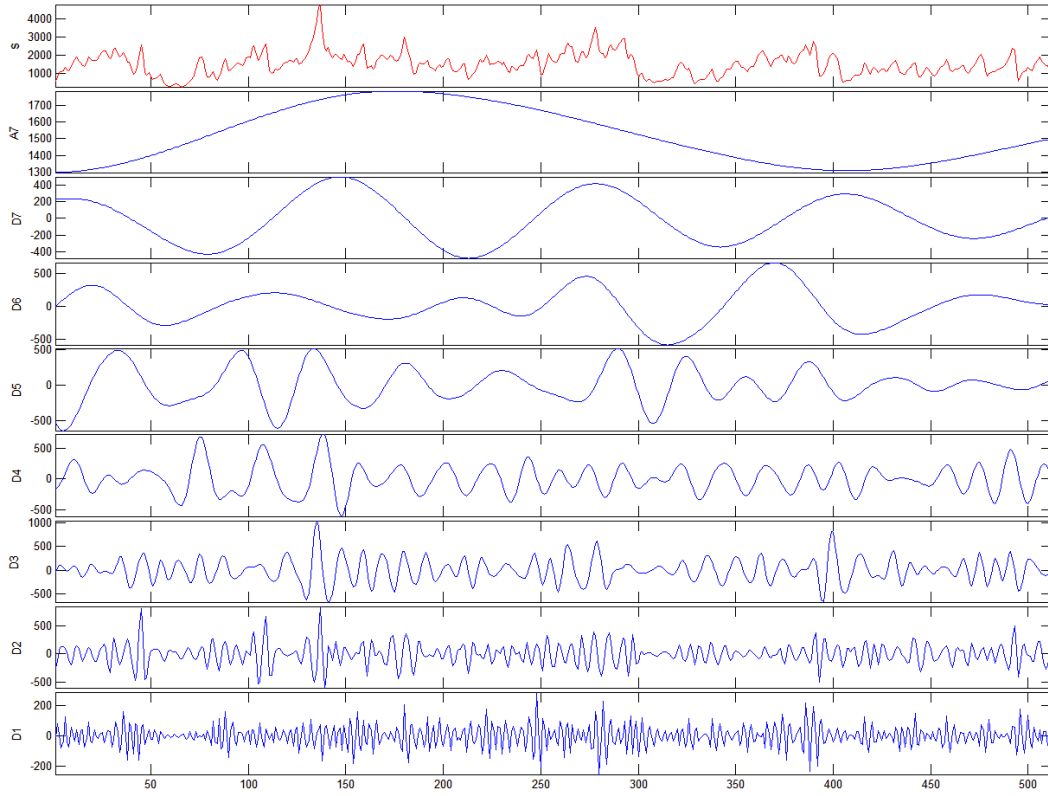
Σήμα: Fz_1-5-cut3 coil5 διακριτός μετασχηματισμός κυματοδίου του σήματος. Επίπεδο 7



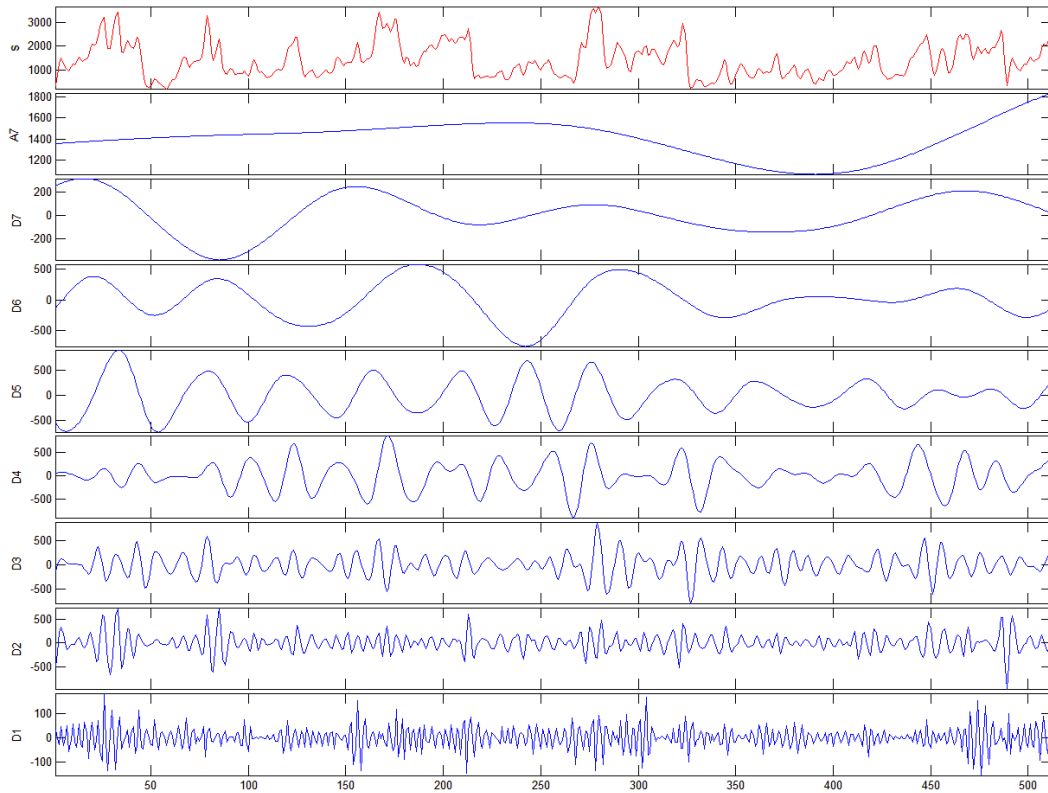
Σήμα: Fz_1-5-cut4 coil5 διακριτός μετασχηματισμός κυματοδίου του σήματος. Επίπεδο 7



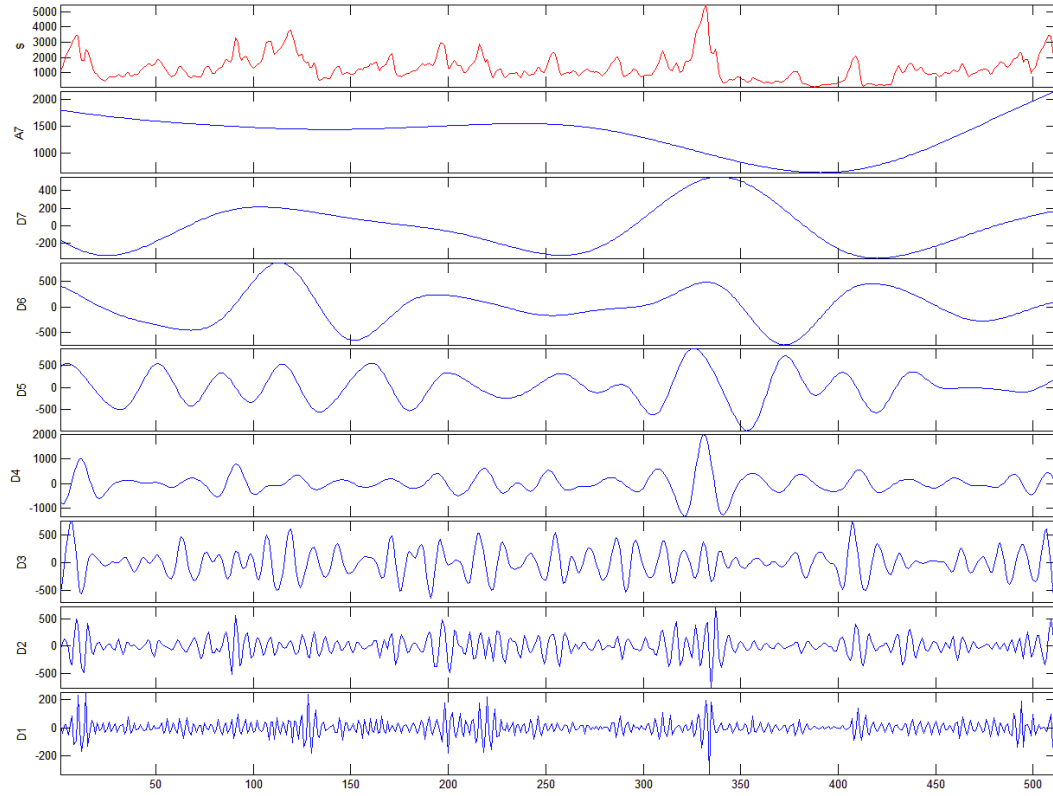
Σήμα: Fz_1-6-cut1 coil5 διακριτός μετασχηματισμός κυματίου του σήματος. Επίπεδο 7



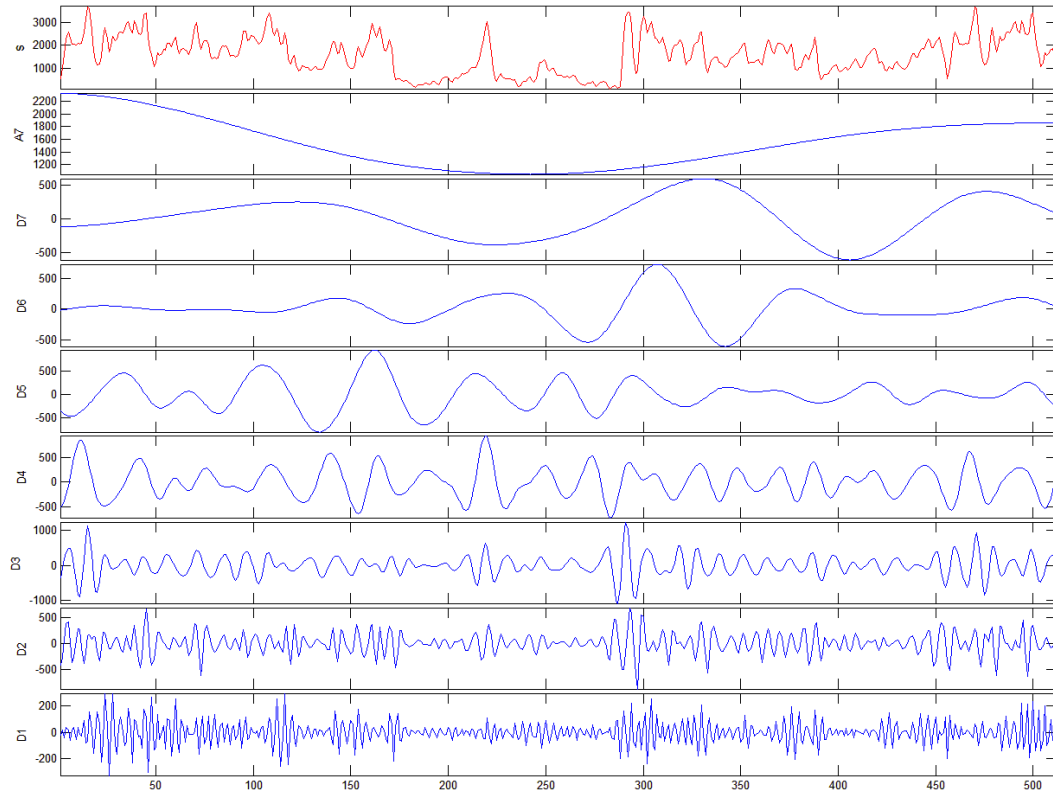
Σήμα: Fz_1-6-cut2 coil5 διακριτός μετασχηματισμός κυματίου του σήματος. Επίπεδο 7



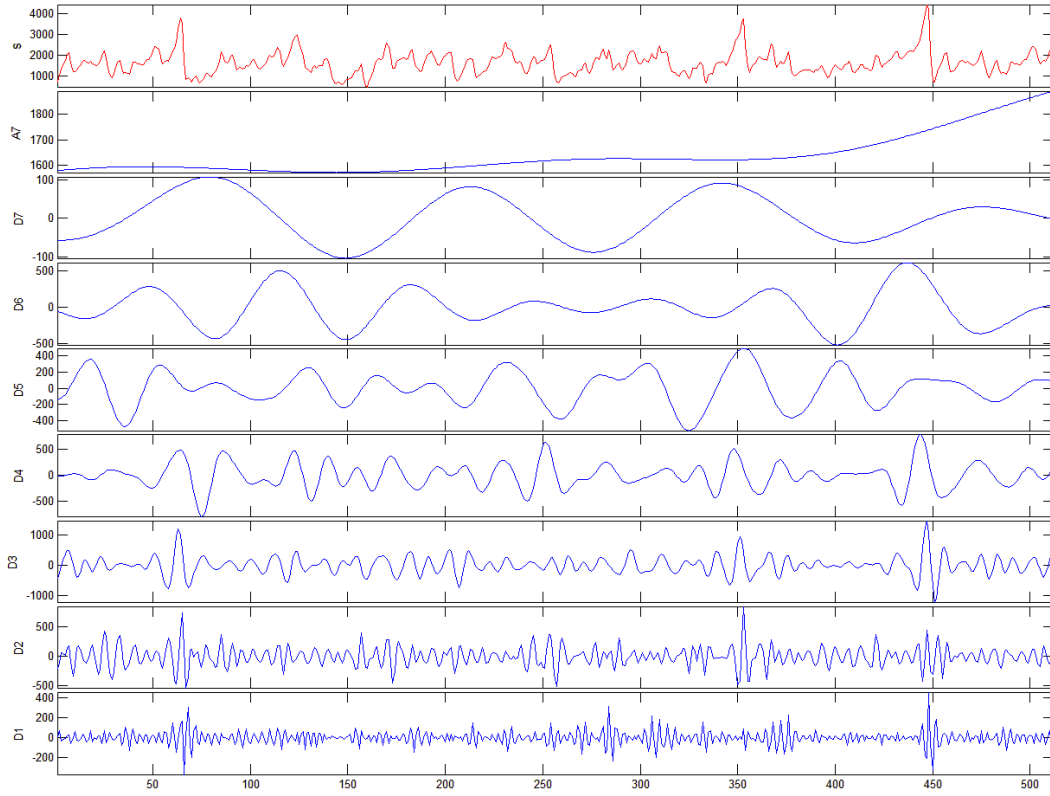
Σήμα: Fz_1-6-cut3 coil5 διακριτός μετασχηματισμός κυματού του σήματος. Επίπεδο 7



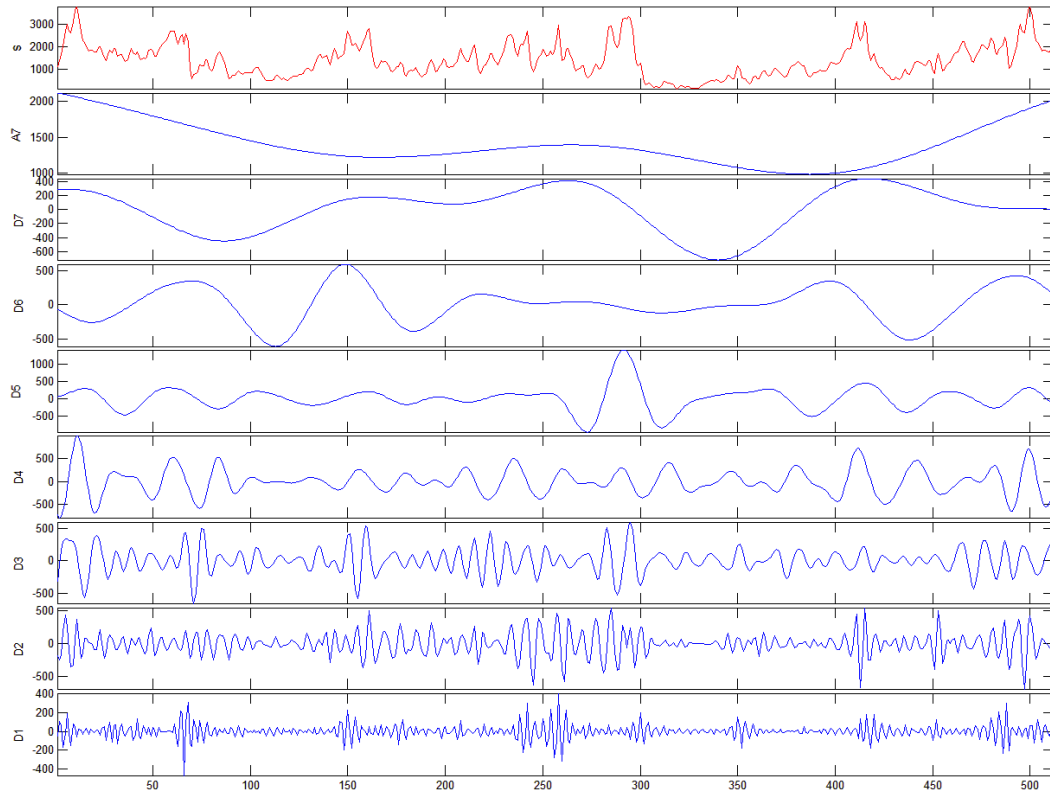
Σήμα: Fz_1-6-cut4 coil5 διακριτός μετασχηματισμός κυματού του σήματος. Επίπεδο 7



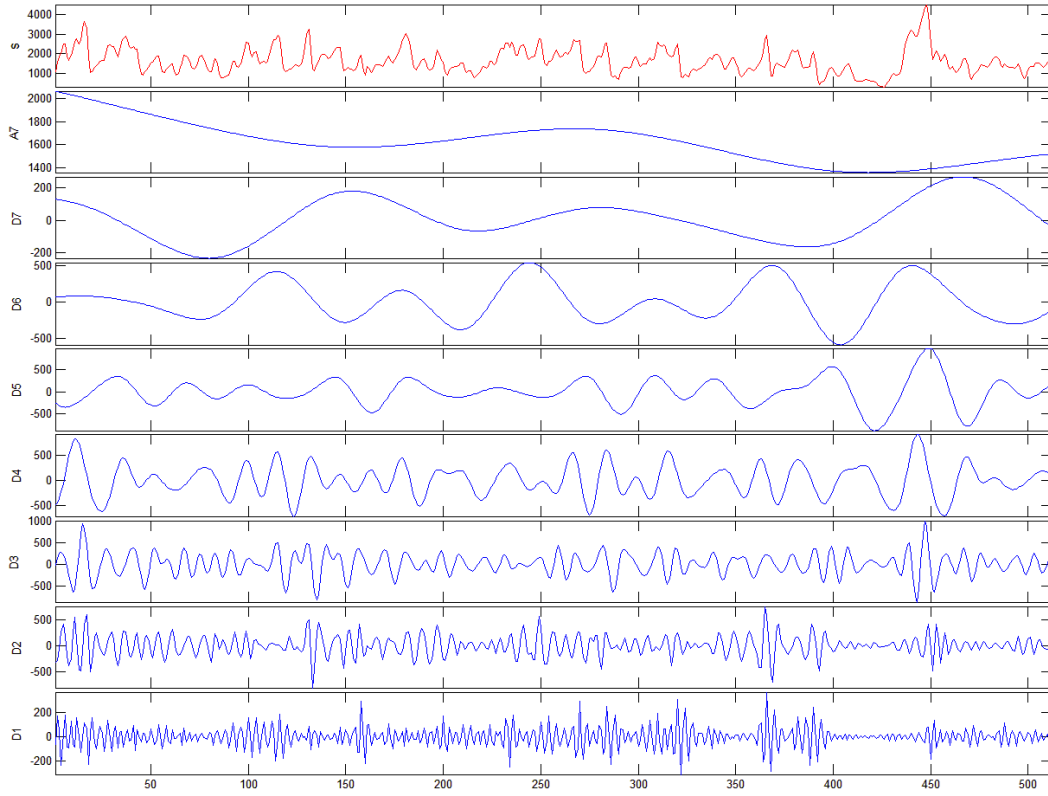
Σήμα: Fz_2-1-cut1 coil5 διακριτός μετασχηματισμός κυματίδιου του σήματος. Επίπεδο 7



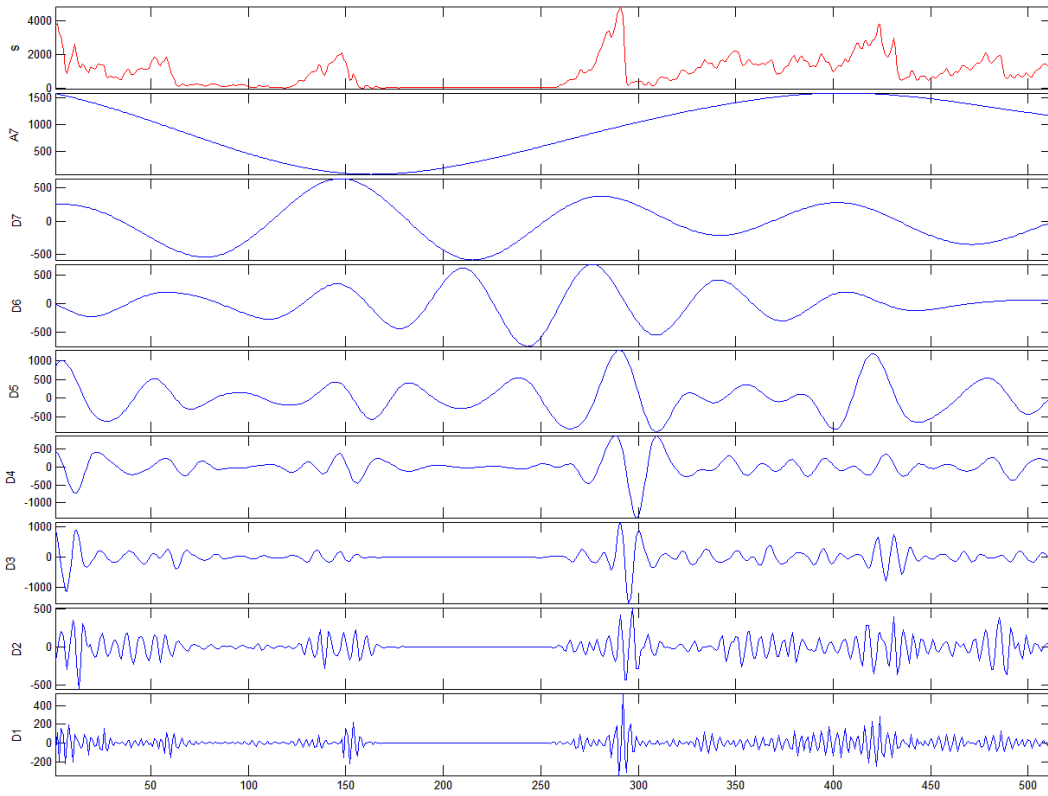
Σήμα: Fz_2-1-cut2 coil5 διακριτός μετασχηματισμός κυματίδιου του σήματος. Επίπεδο 7

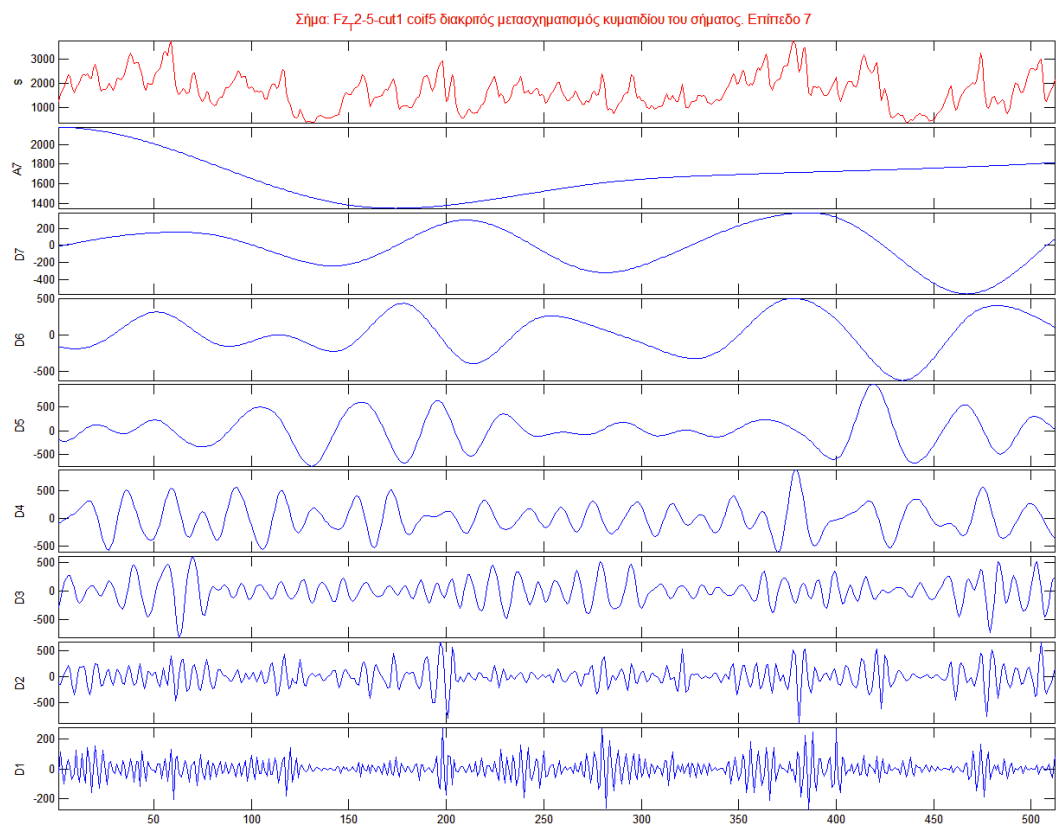
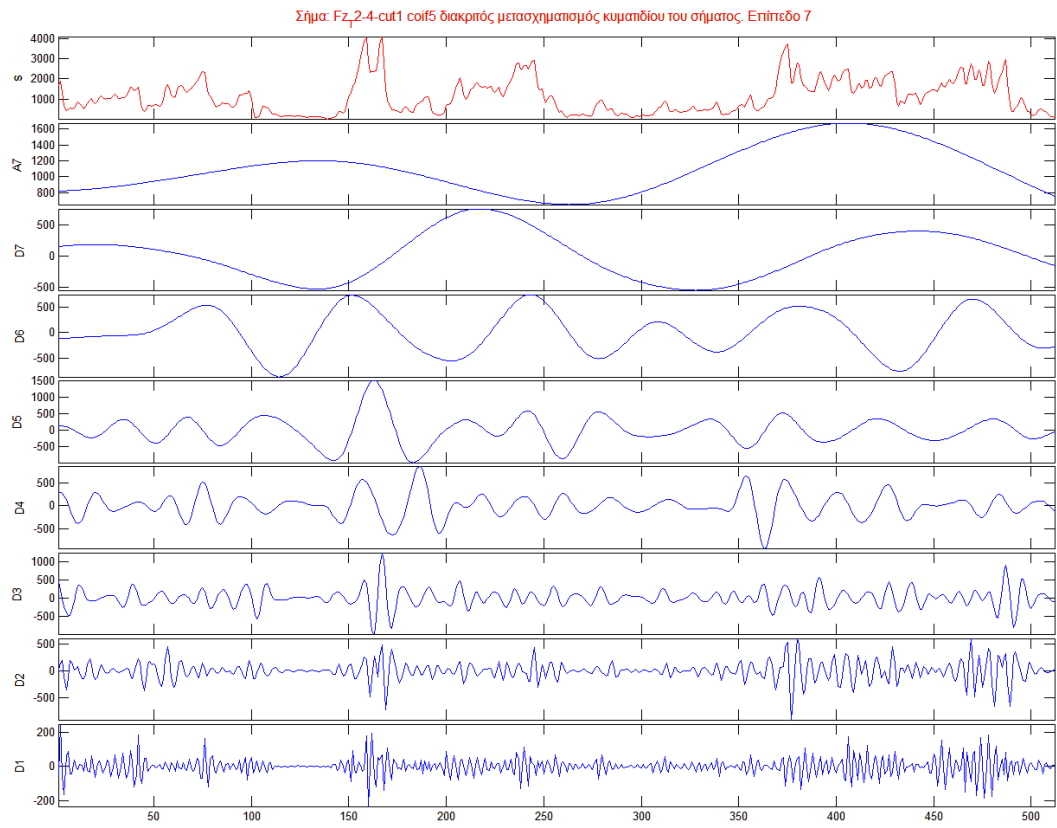


Σήμα: Fz_2-1-cut3 coil5 διακριτός μετασχηματισμός κυματίδιου του σήματος. Επίπεδο 7

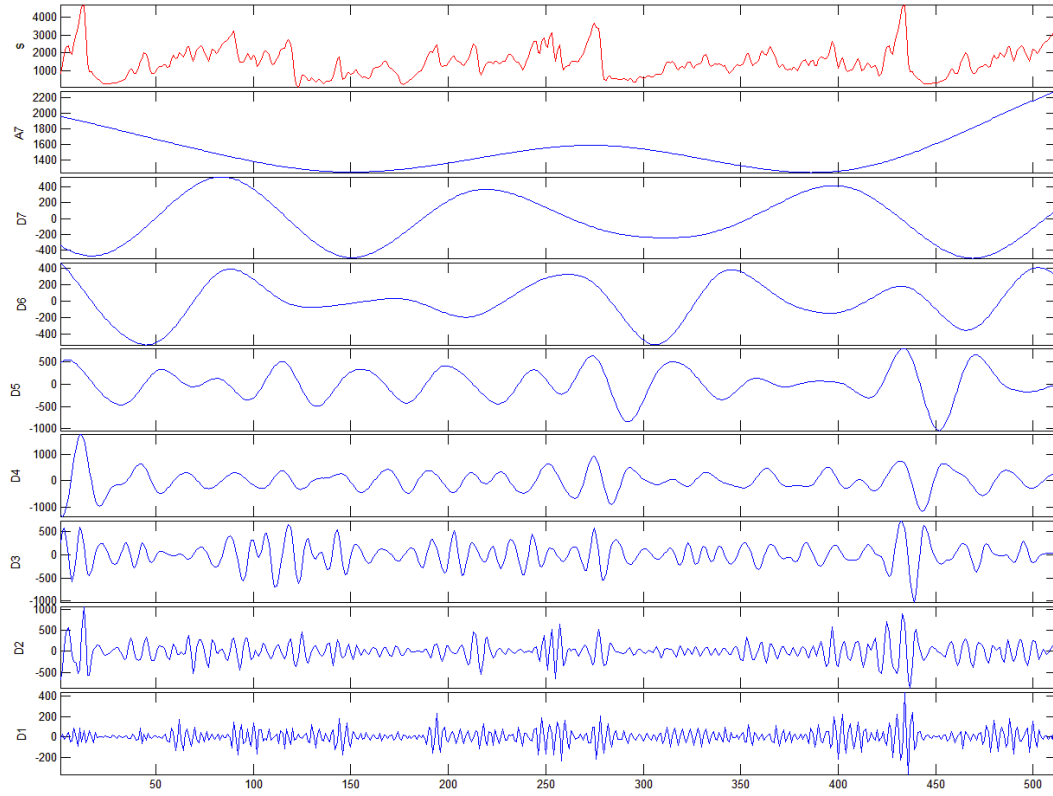


Σήμα: Fz_2-1-cut4 coil5 διακριτός μετασχηματισμός κυματίδιου του σήματος. Επίπεδο 7

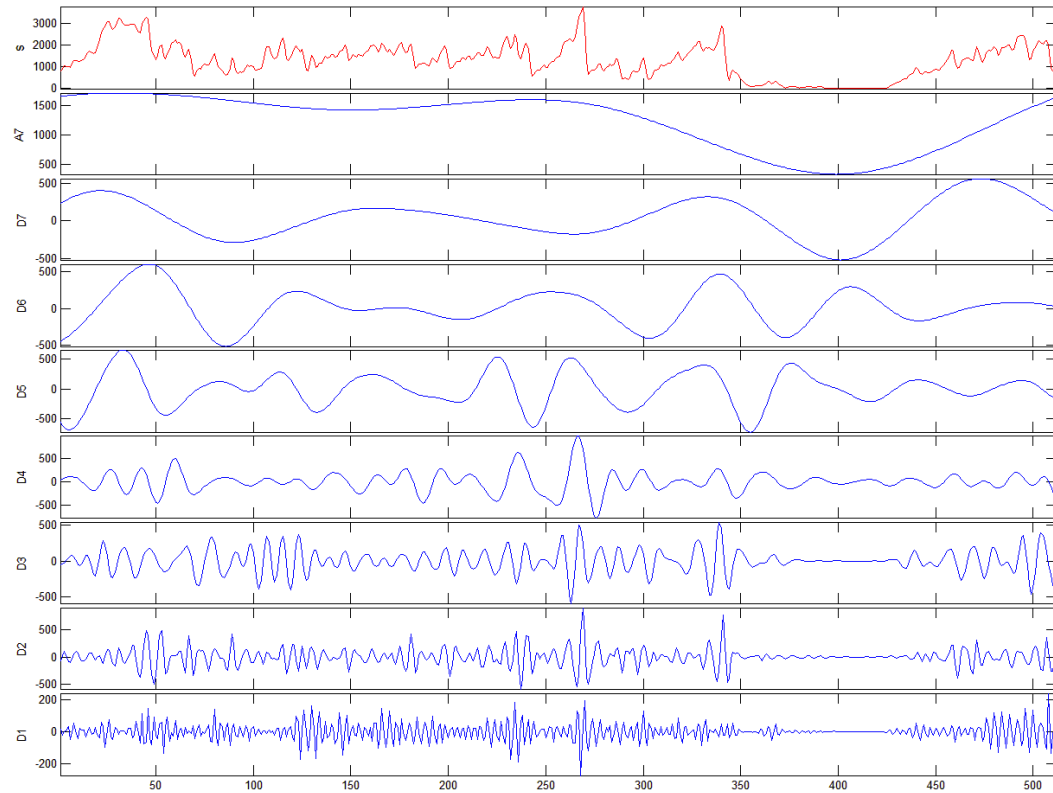




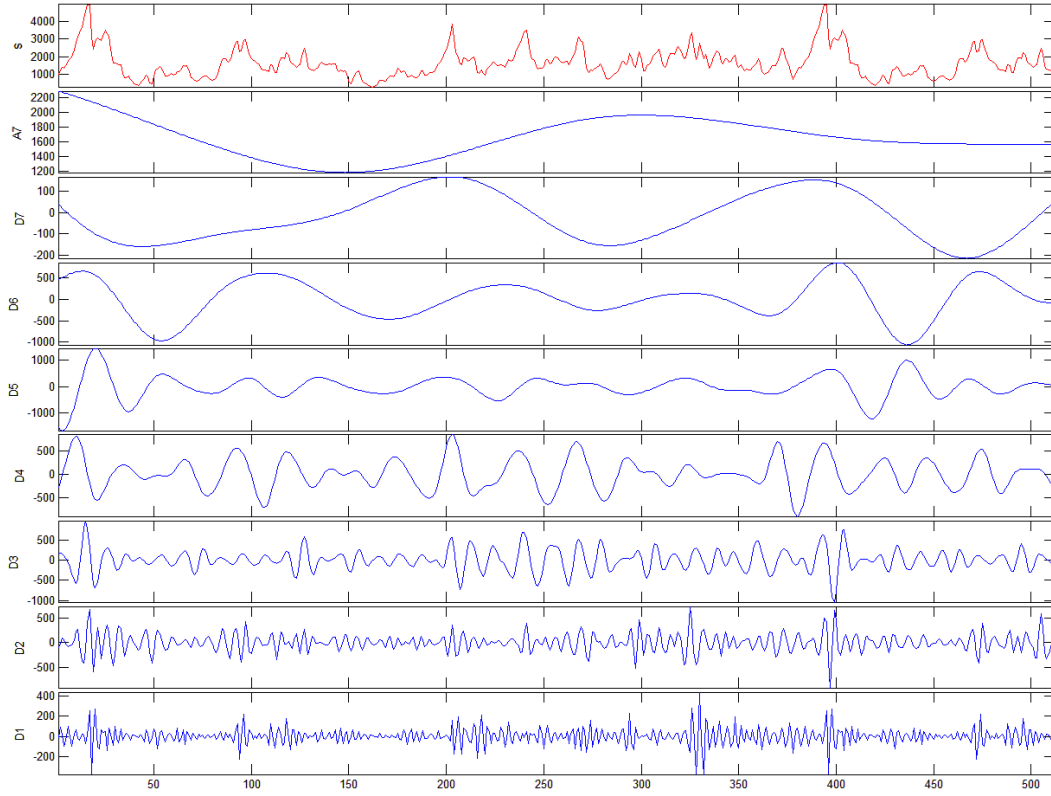
Σήμα: Fz_2-5-cut2 coil5 διακριτός μετασχηματισμός κυματού του σήματος. Επίπεδο 7



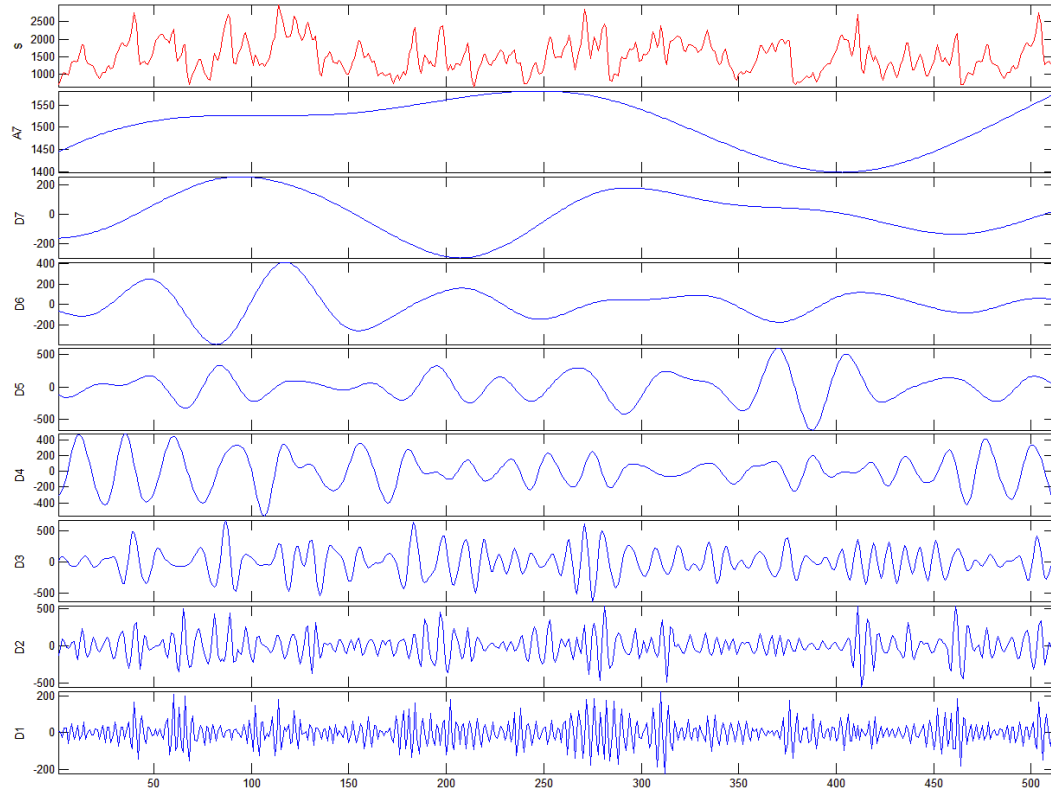
Σήμα: Fz_2-5-cut3 coil5 διακριτός μετασχηματισμός κυματού του σήματος. Επίπεδο 7



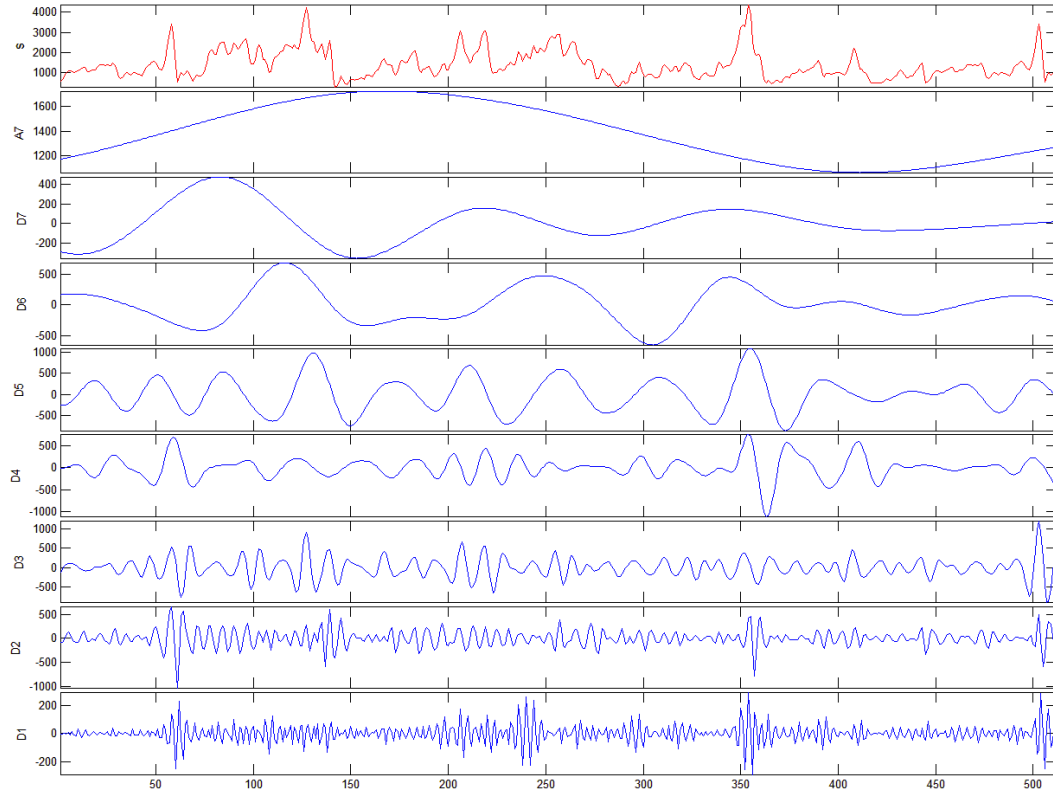
Σήμα: Fz_2-5-cut4 coil5 διακριτός μετασχηματισμός κυματίδιου του σήματος. Επίπεδο 7



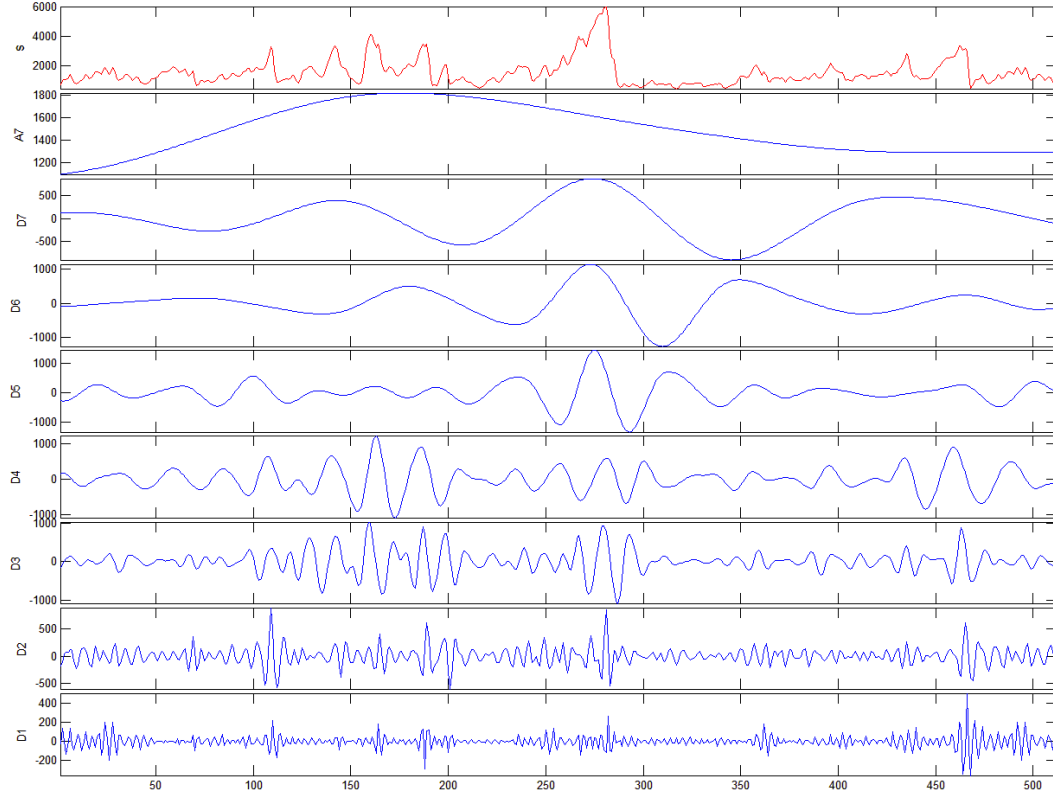
Σήμα: Fz_2-6-cut1 coil5 διακριτός μετασχηματισμός κυματίδιου του σήματος. Επίπεδο 7



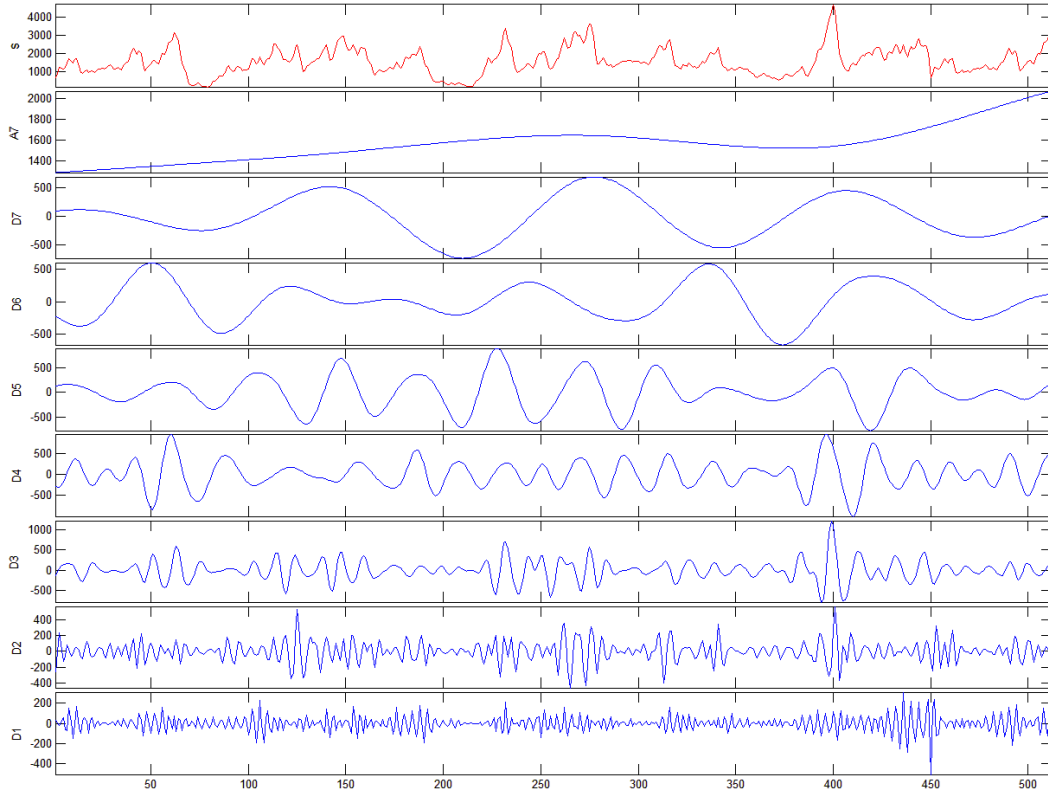
Σήμα: Fz_2-6-cut2 coil5 διακριτός μετασχηματισμός κυματίδιου του σήματος. Επίπεδο 7



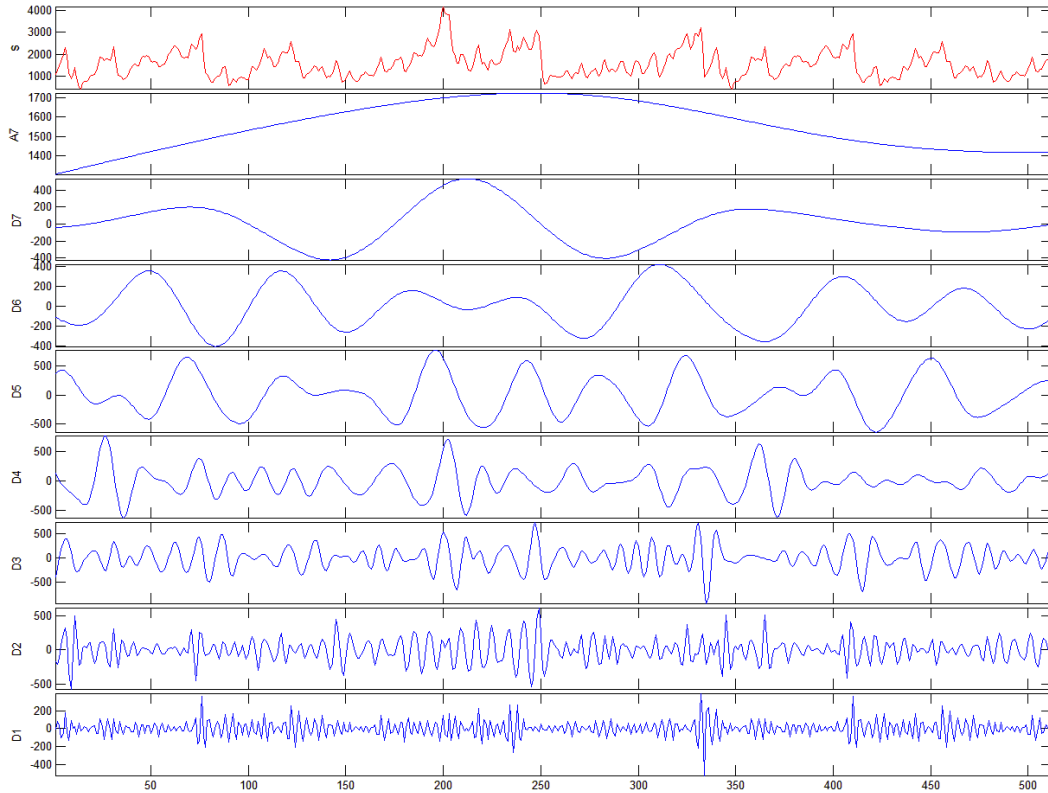
Σήμα: Fz_2-7-cut1 coil5 διακριτός μετασχηματισμός κυματίδιου του σήματος. Επίπεδο 7



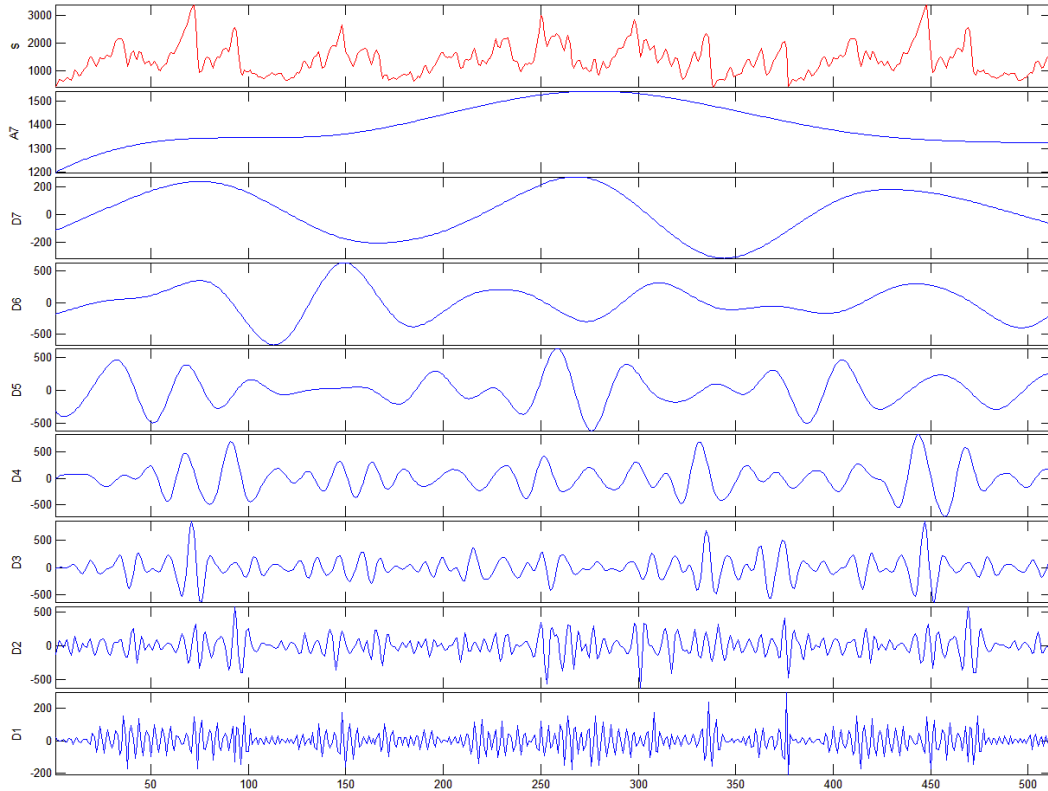
Σήμα: Fz_2-7-cut2 coil5 διακριτός μετασχηματισμός κυματίδιου του σήματος. Επίπεδο 7



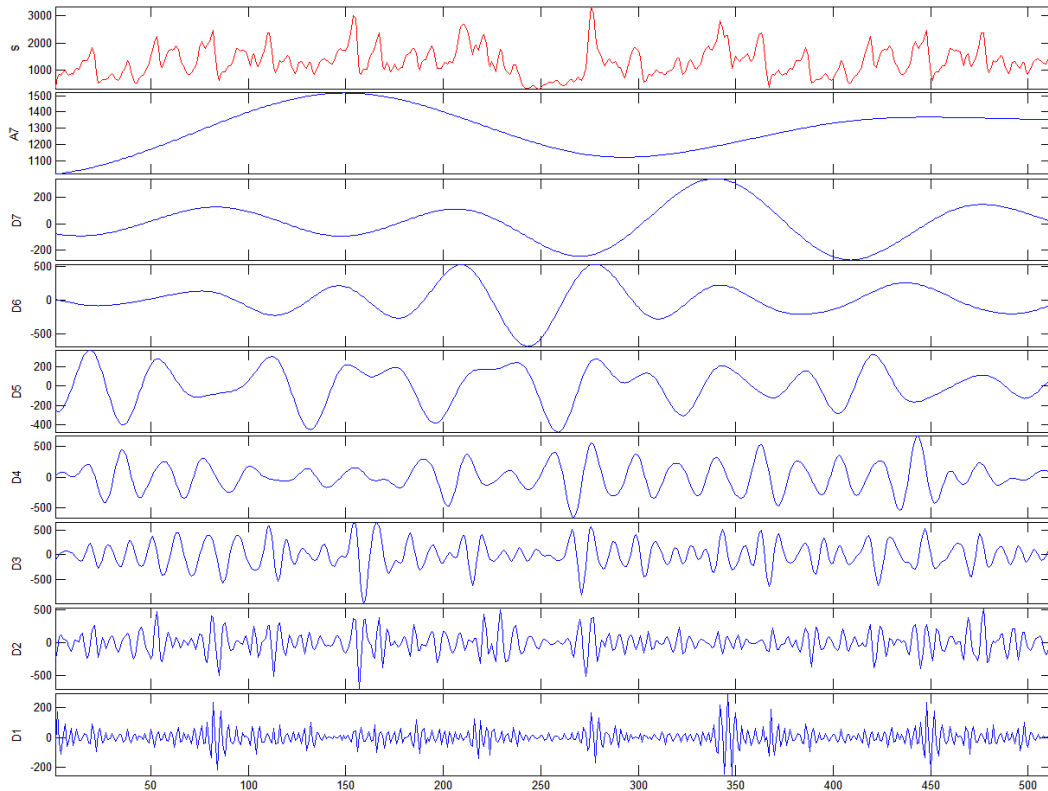
Σήμα: Fz_2-7-cut3 coil5 διακριτός μετασχηματισμός κυματίδιου του σήματος. Επίπεδο 7



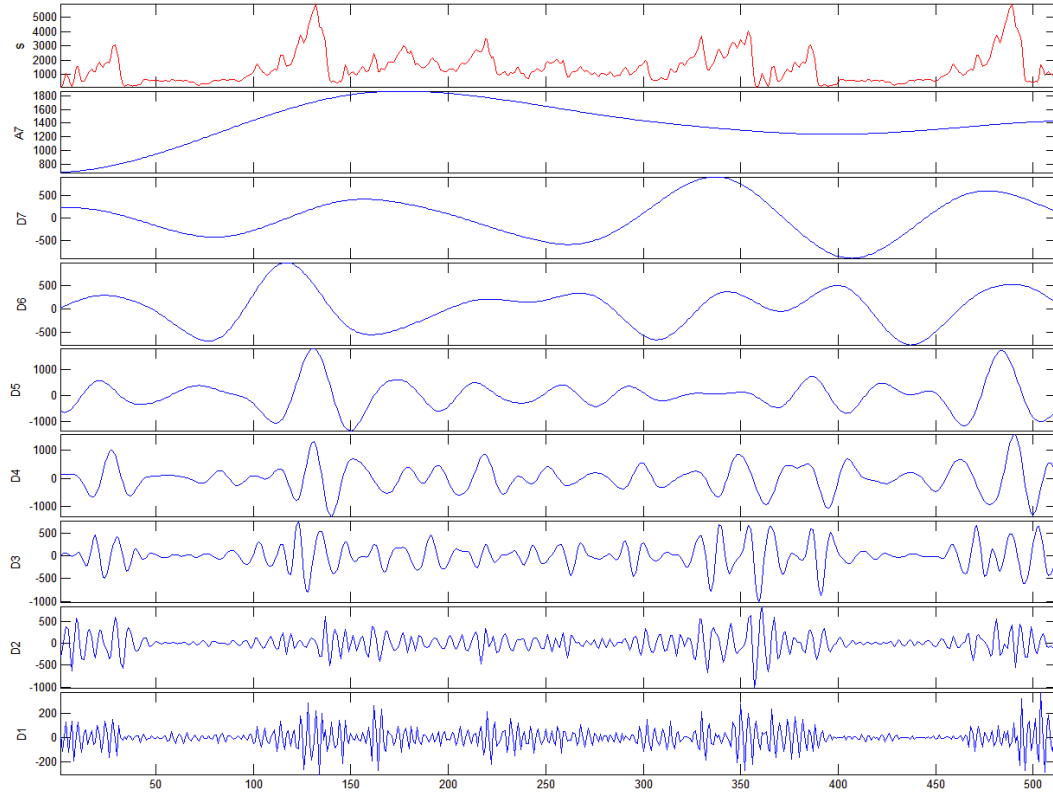
Σήμα: Fz_3-1-cut1 coil5 διακριτός μετασχηματισμός κυματοδίου του σήματος. Επίπεδο 7



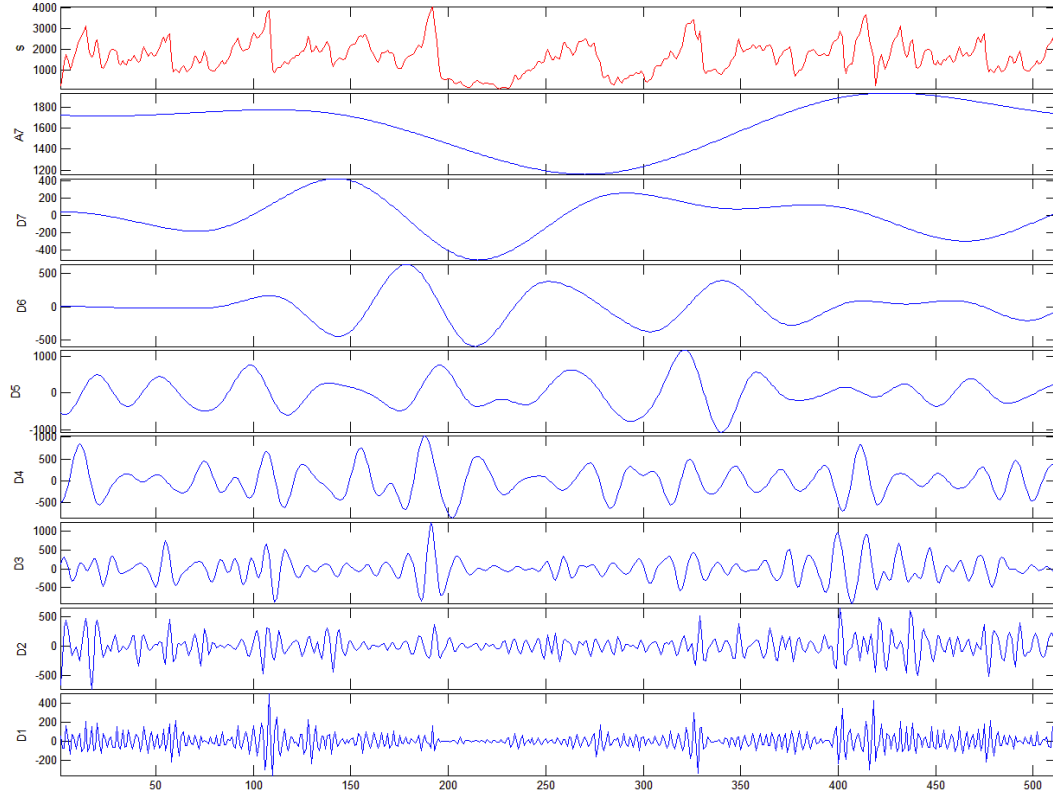
Σήμα: Fz_3-1-cut2 coil5 διακριτός μετασχηματισμός κυματοδίου του σήματος. Επίπεδο 7



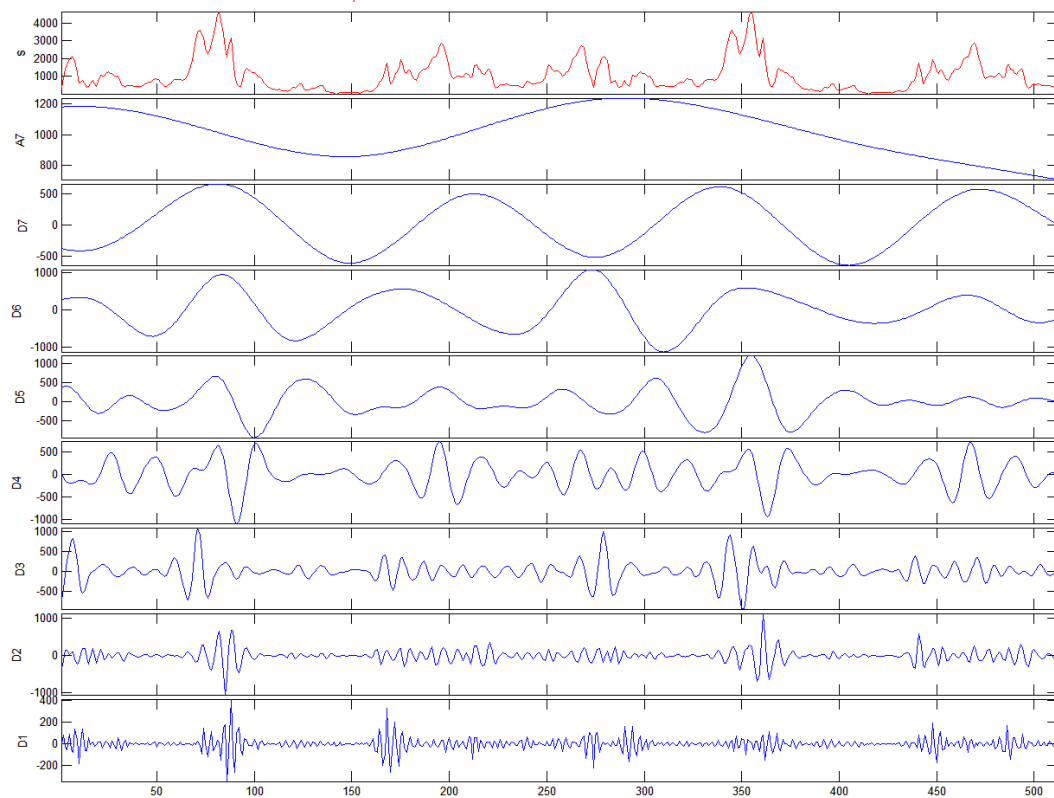
Σήμα: Fz_3-1-cut3 coil5 διακριτός μετασχηματισμός κυματίδιου του σήματος. Επίπεδο 7



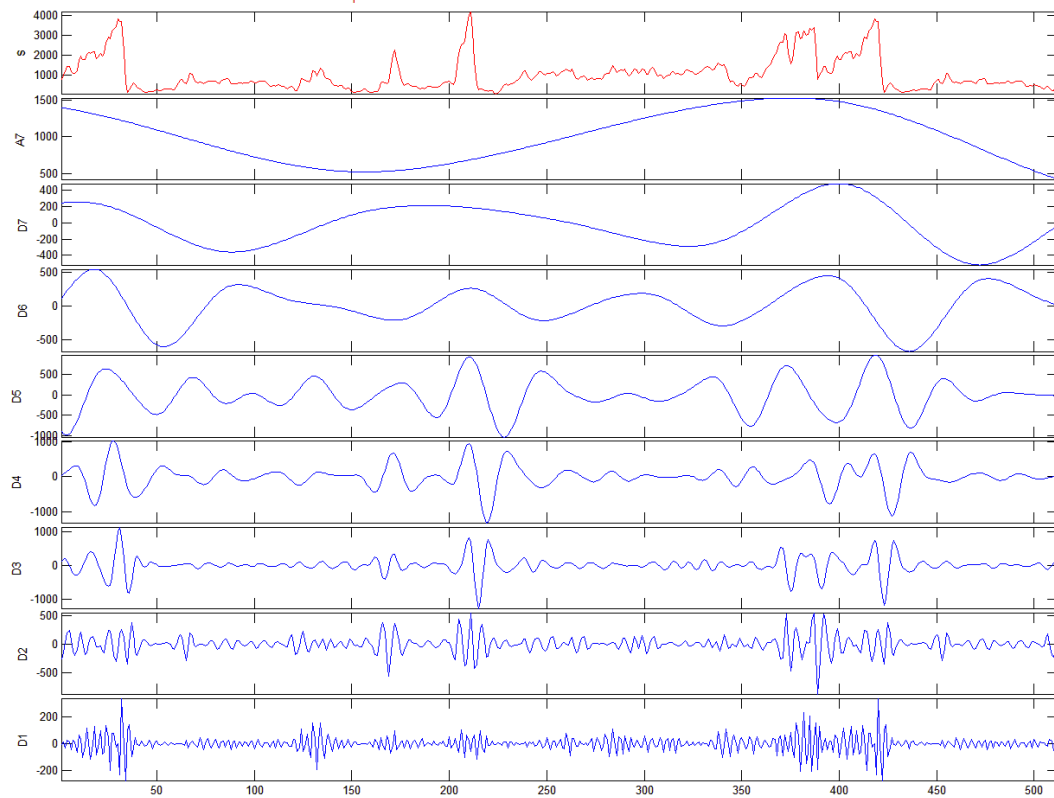
Σήμα: Fz_3-1-cut4 coil5 διακριτός μετασχηματισμός κυματίδιου του σήματος. Επίπεδο 7



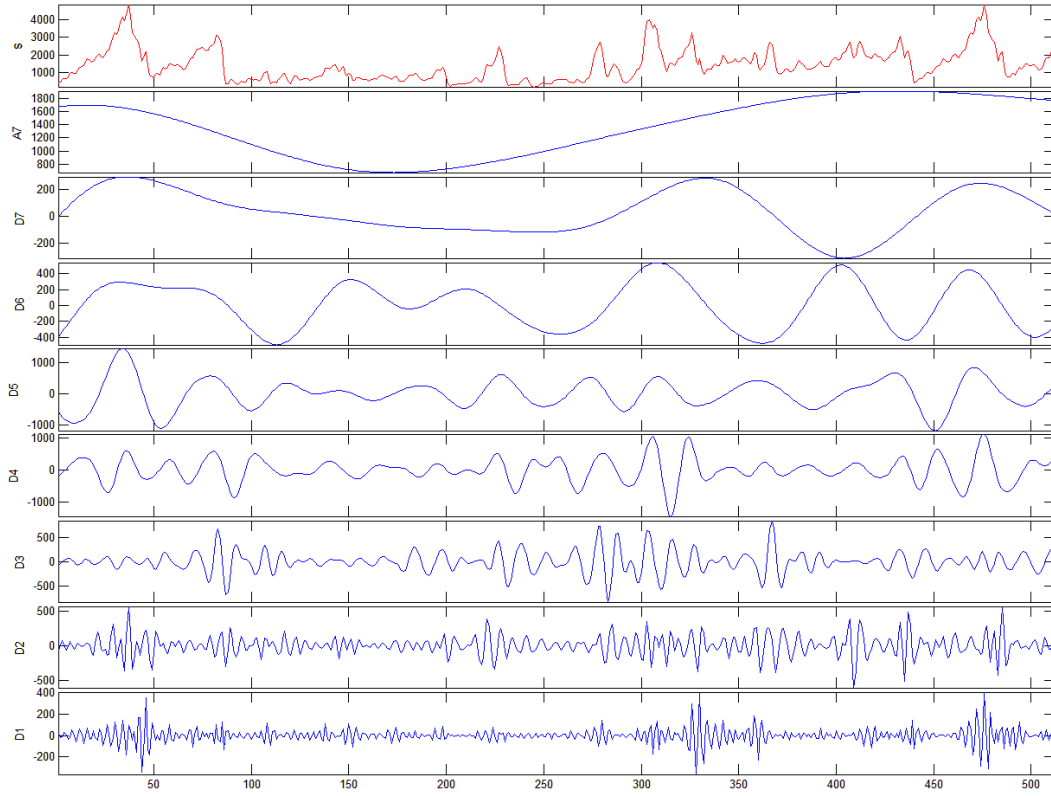
Σήμα: Fz_3-3-cut1 coil5 διακριτός μετασχηματισμός κυματίδιου του σήματος. Επίπεδο 7



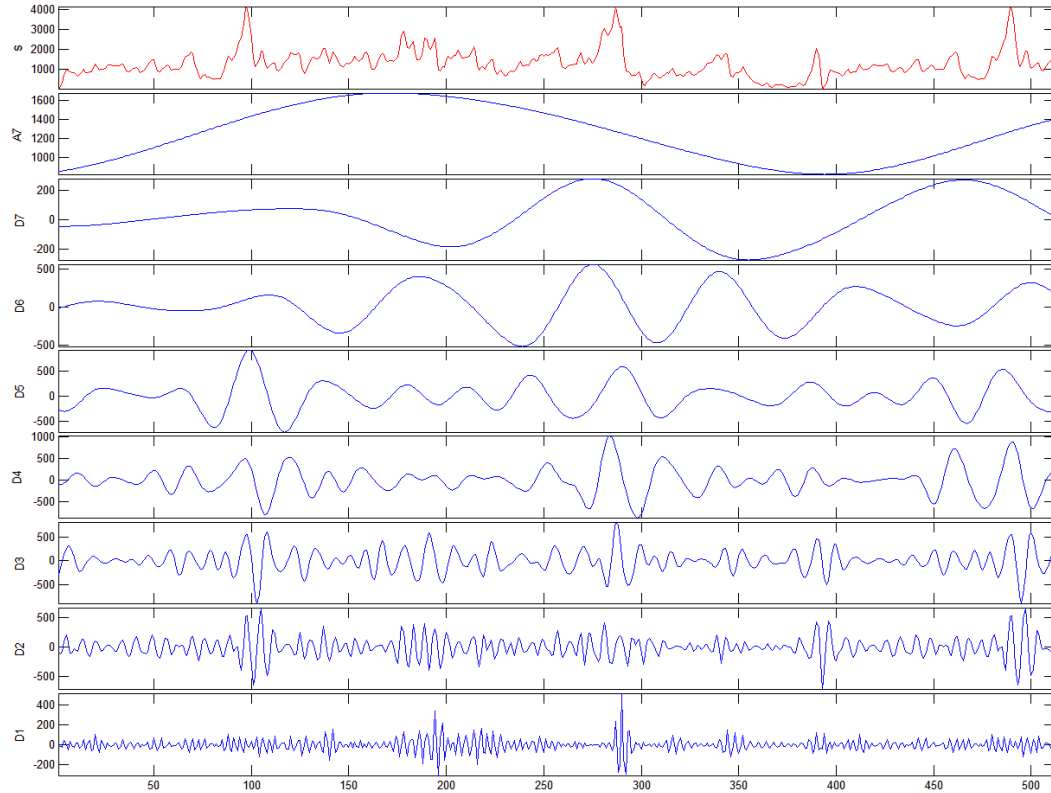
Σήμα: Fz_3-3-cut2 coil5 διακριτός μετασχηματισμός κυματίδιου του σήματος. Επίπεδο 7



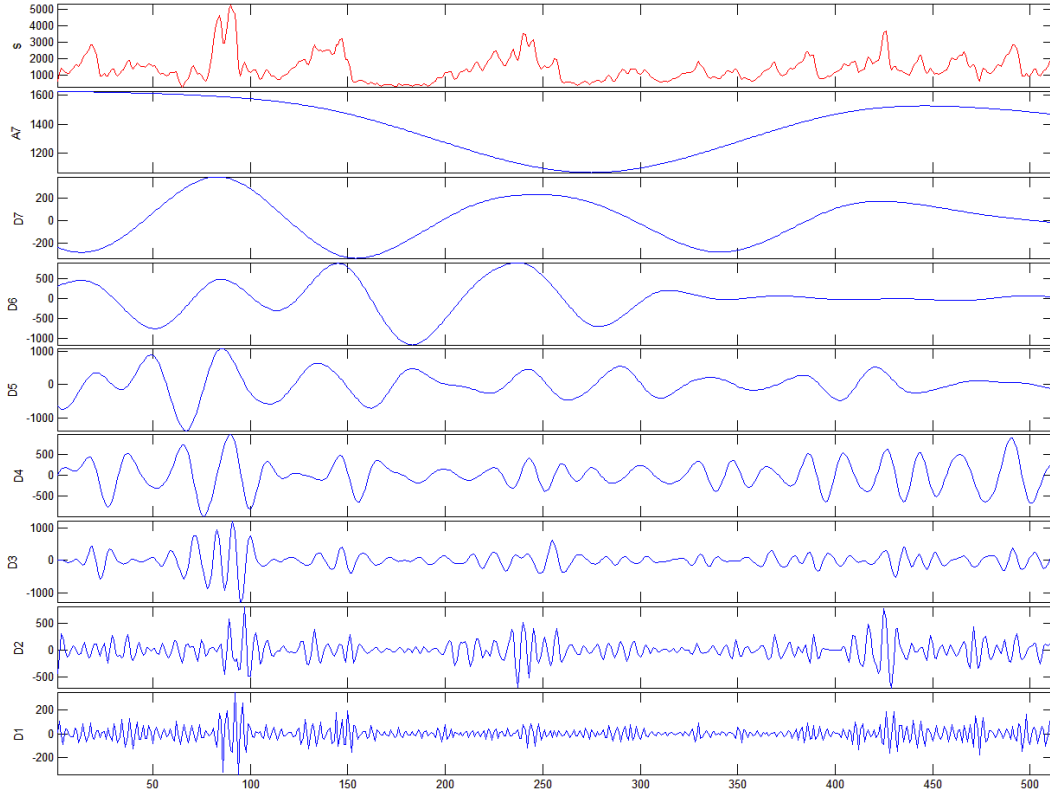
Σήμα: Fz_3-3-cut3 coil5 διακριτός μετασχηματισμός κυματού του σήματος. Επίπεδο 7



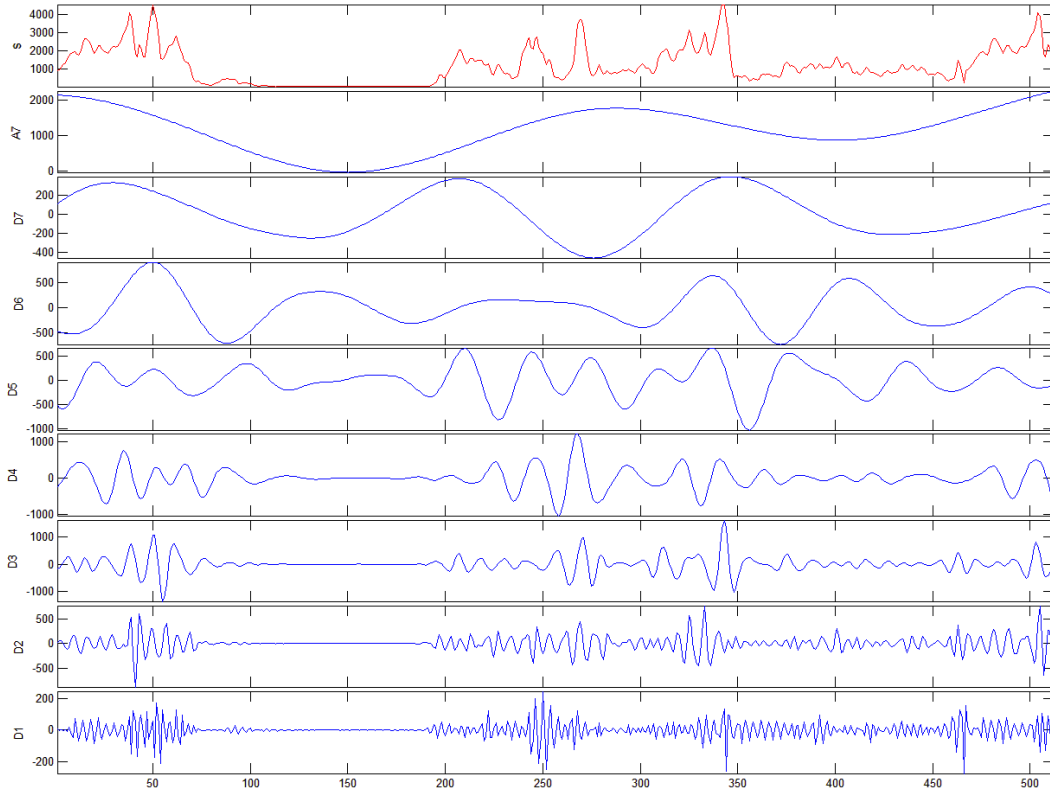
Σήμα: Fz_3-3-cut4 coil5 διακριτός μετασχηματισμός κυματού του σήματος. Επίπεδο 7



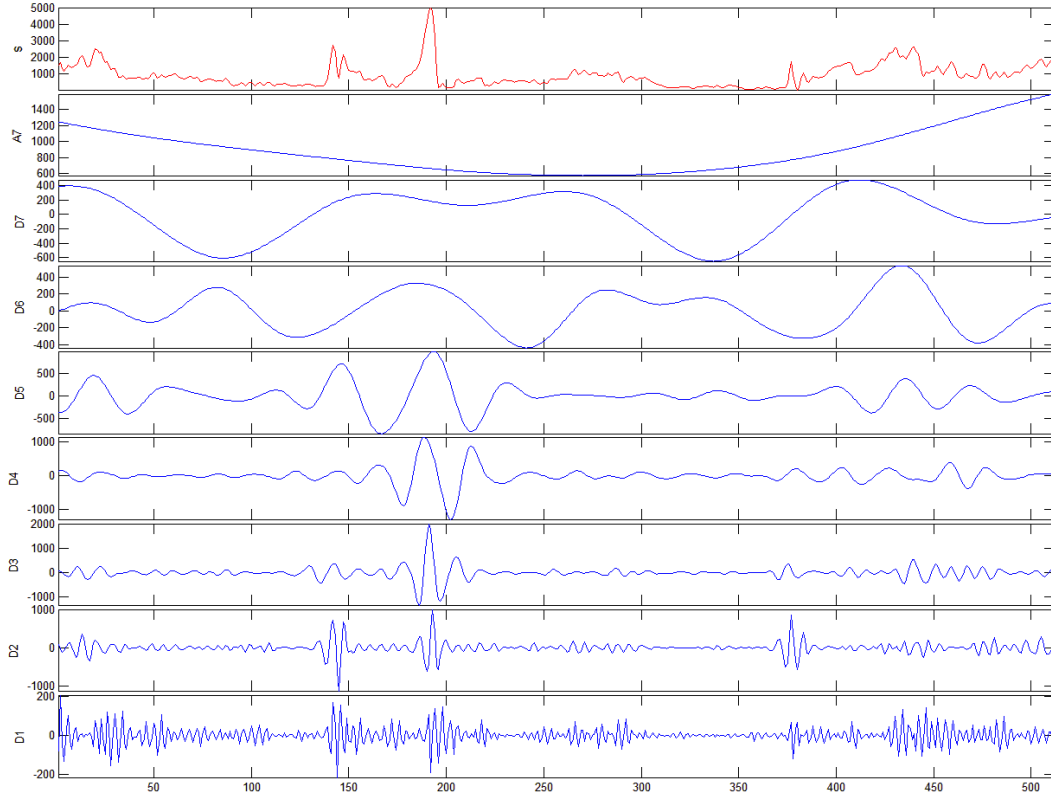
Σήμα: Fz_3-6-cut1 coil5 διακριτός μετασχηματισμός κυματίδιου του σήματος. Επίπεδο 7



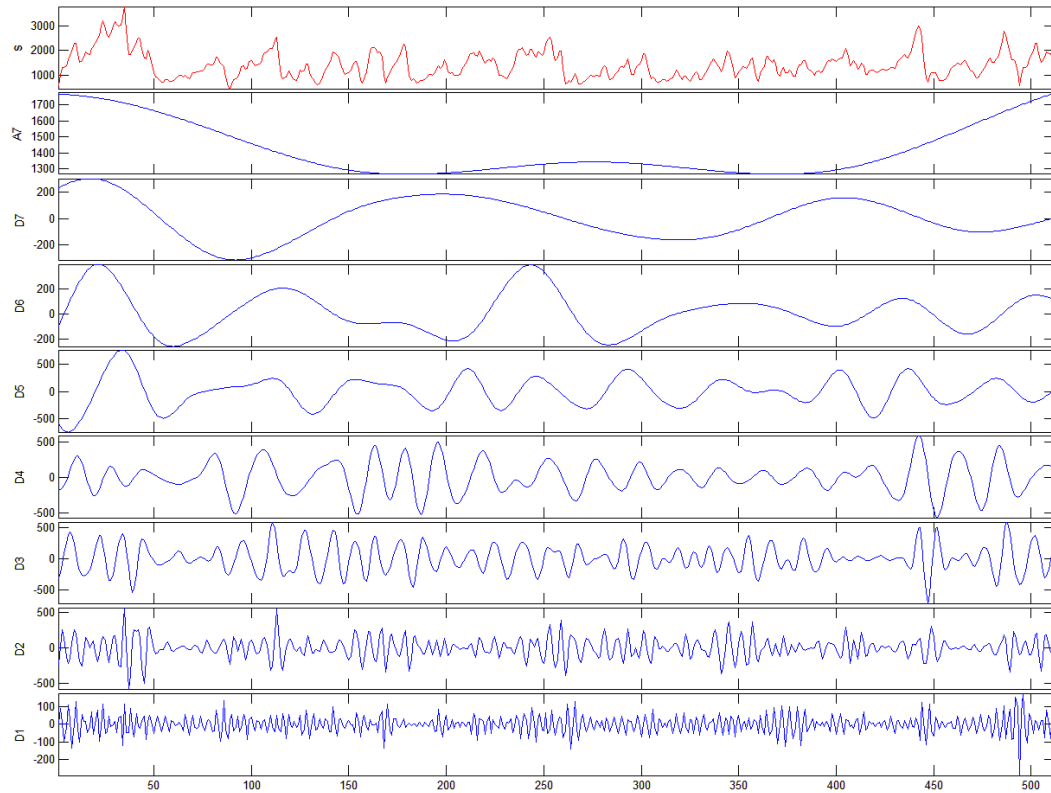
Σήμα: Fz_3-6-cut2 coil5 διακριτός μετασχηματισμός κυματίδιου του σήματος. Επίπεδο 7



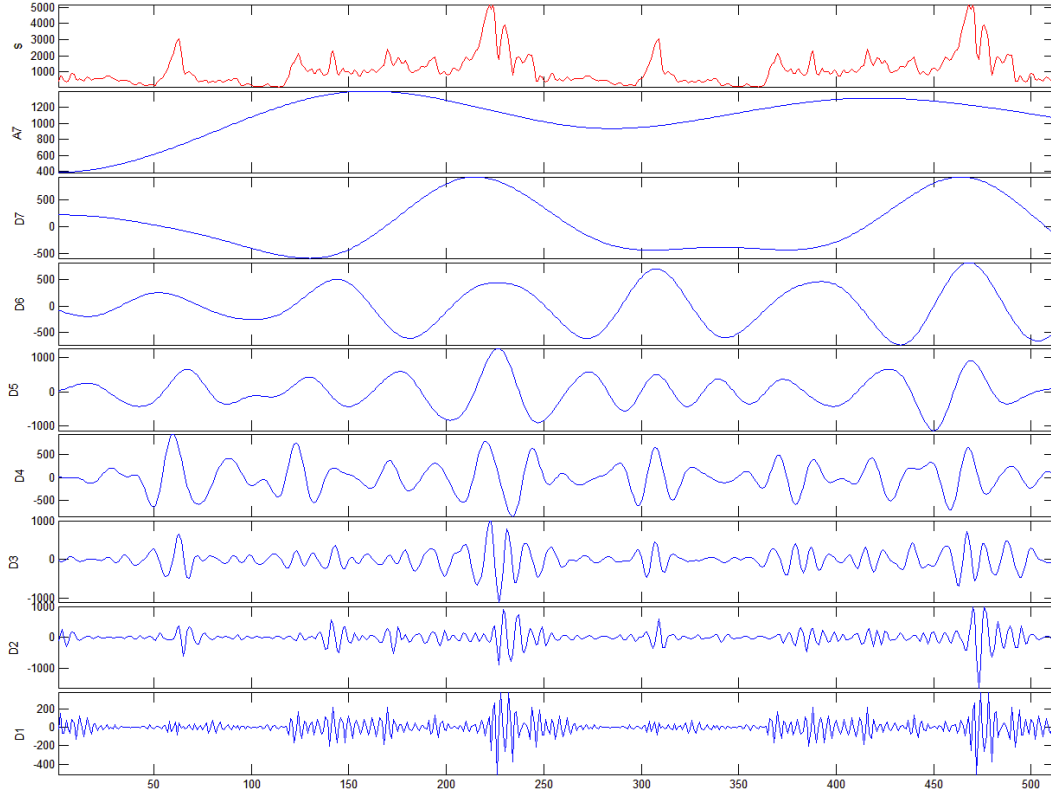
Σήμα: Fz_3-7-cut1 coil5 διακριτός μετασχηματισμός κυματού του σήματος. Επίπεδο 7



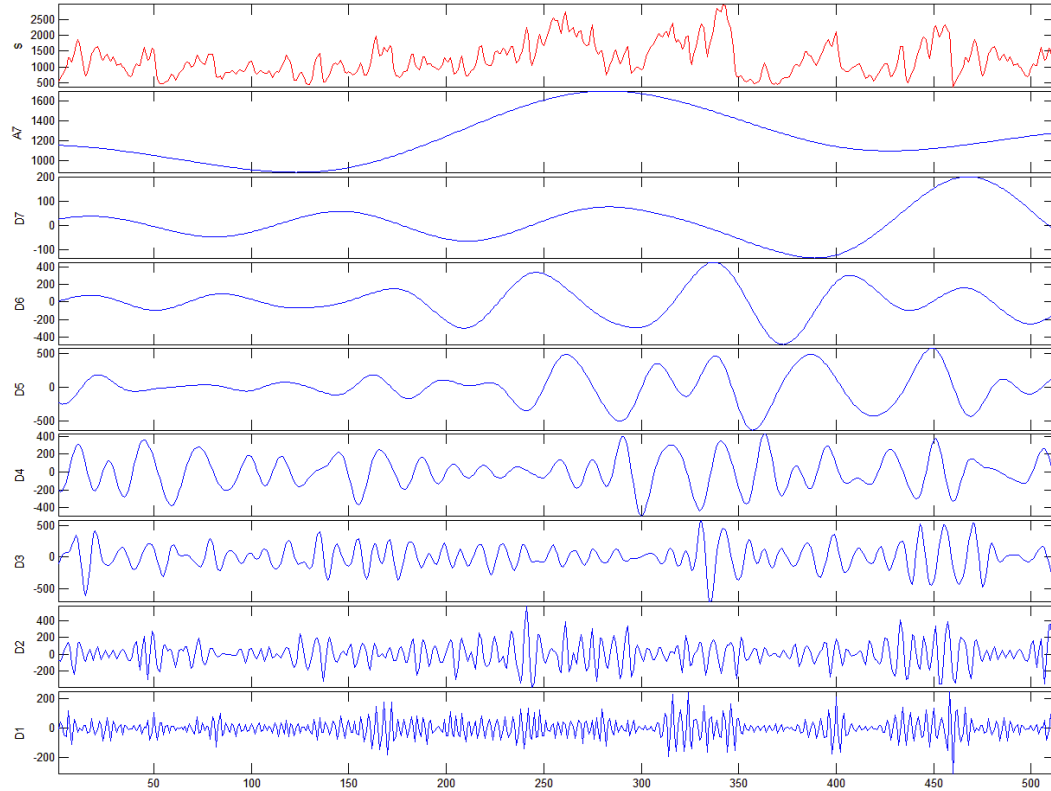
Σήμα: Fz_3-7-cut2 coil5 διακριτός μετασχηματισμός κυματού του σήματος. Επίπεδο 7



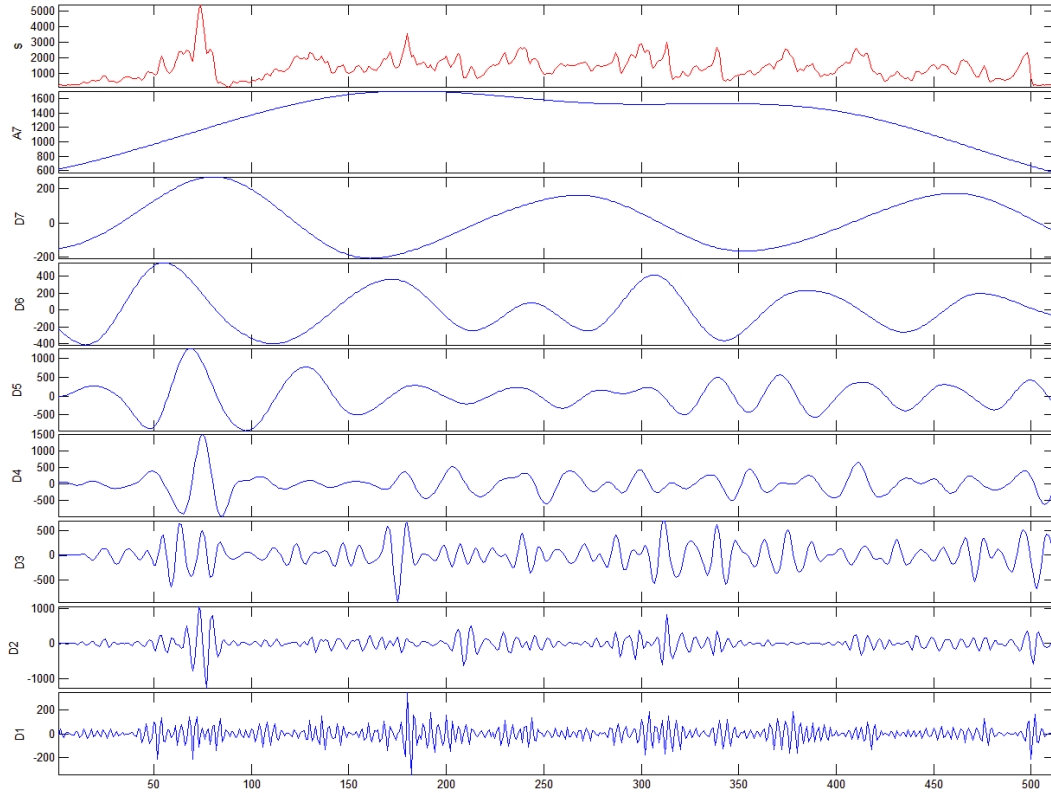
Σήμα: Fz_3-7-cut3 coil5 διακριτός μετασχηματισμός κυματού του σήματος. Επίπεδο 7



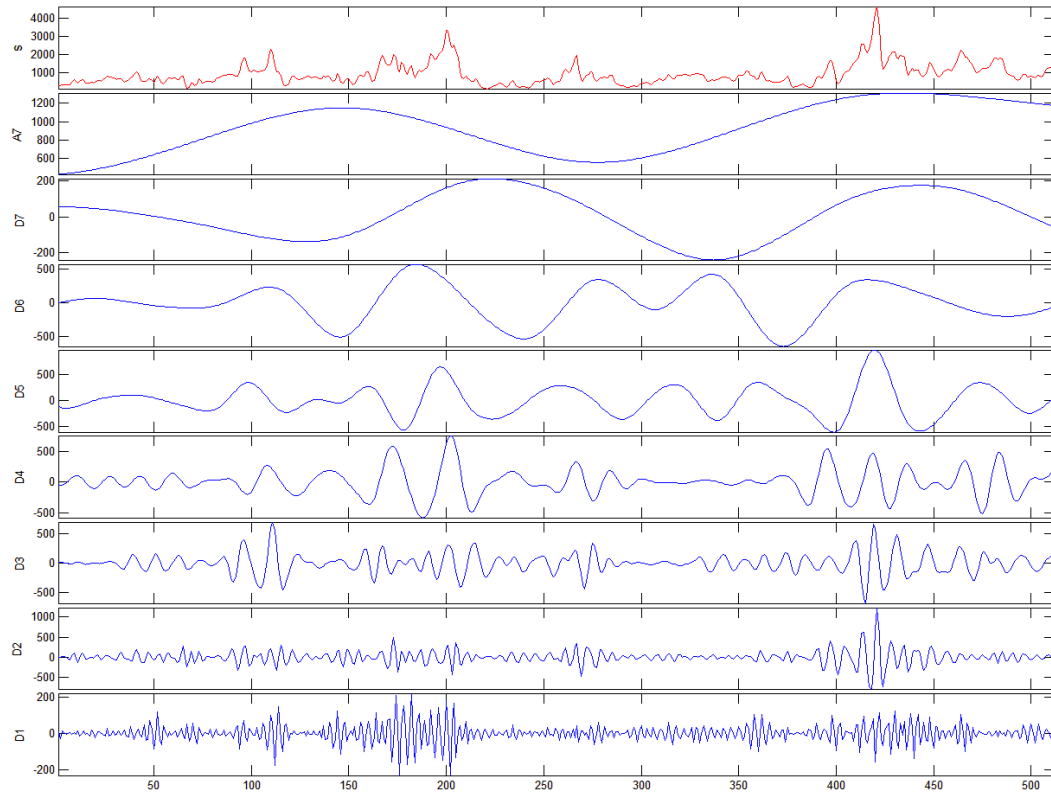
Σήμα: Fz_3-7-cut4 coil5 διακριτός μετασχηματισμός κυματού του σήματος. Επίπεδο 7



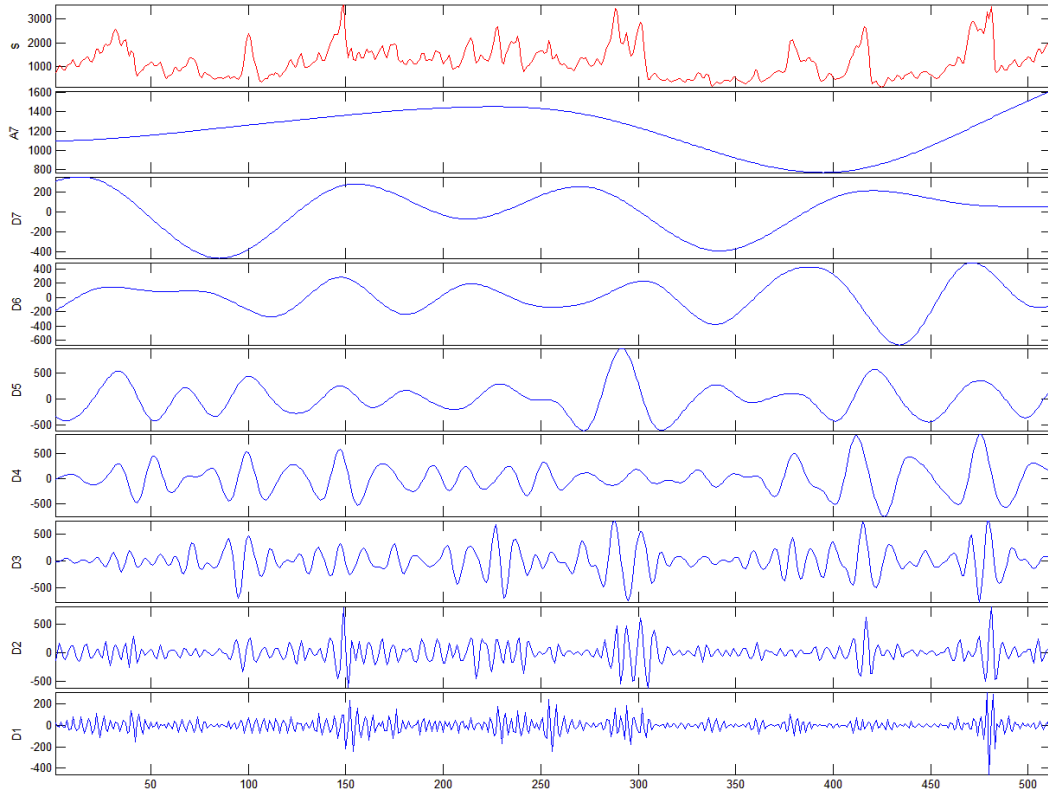
Σήμα: Fz_3-8-cut1 coil5 διακριτός μετασχηματισμός κυματού του σήματος. Επίπεδο 7



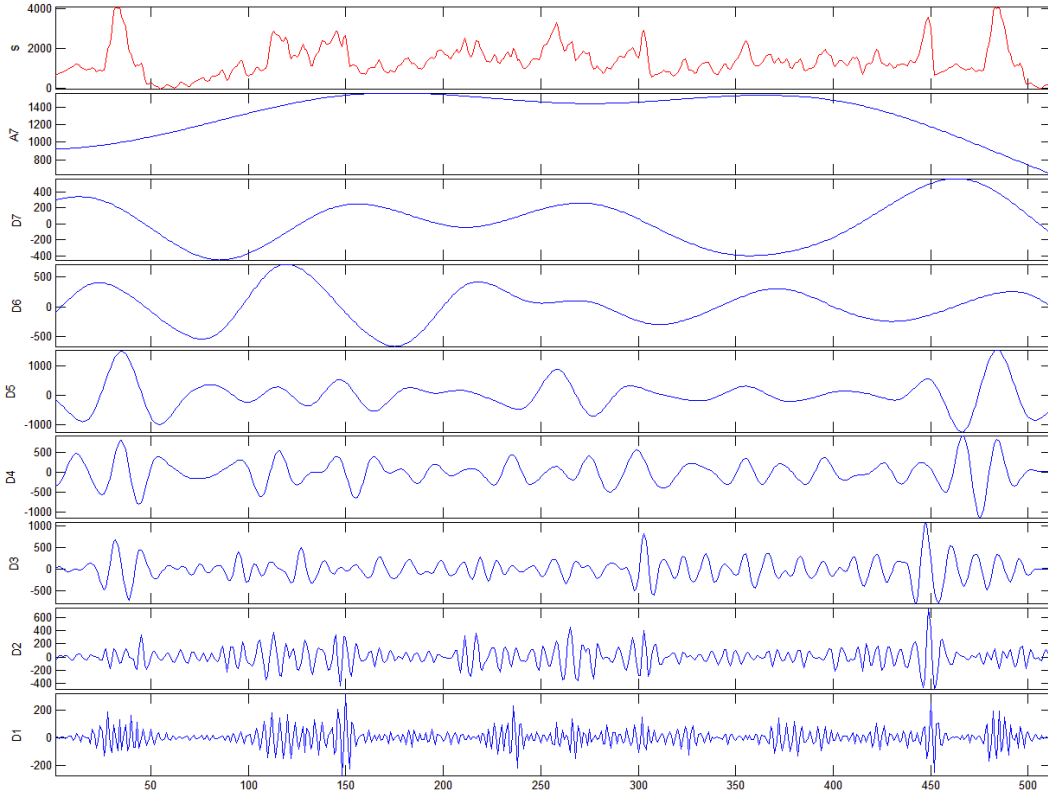
Σήμα: Fz_3-8-cut2 coil5 διακριτός μετασχηματισμός κυματού του σήματος. Επίπεδο 7



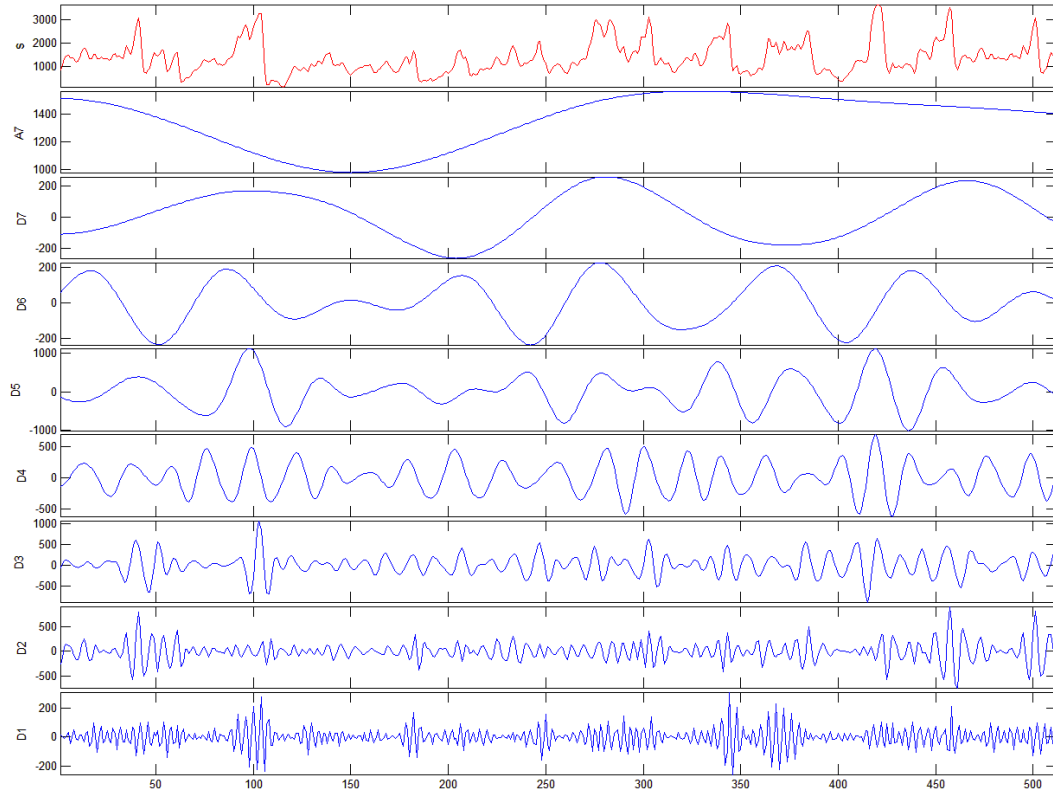
Σήμα: Fz_3-8-cut3 coil5 διακριτός μετασχηματισμός κυματού του σήματος. Επίπεδο 7



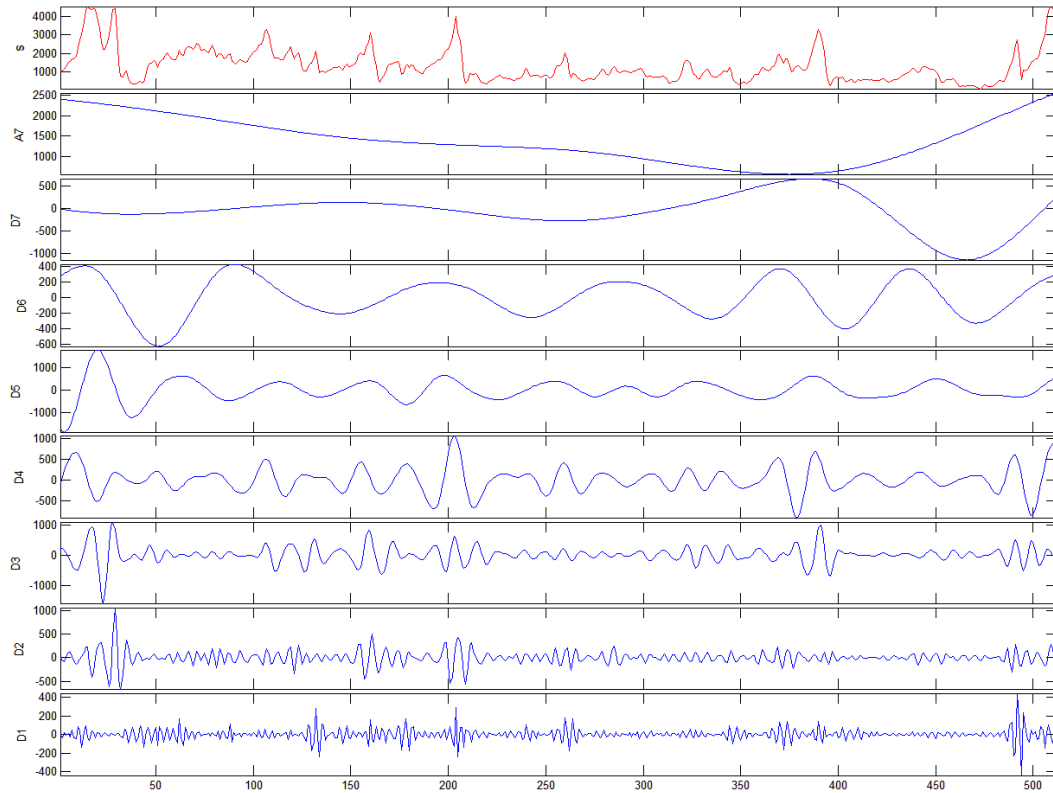
Σήμα: Fz_4-1-cut1 coil5 διακριτός μετασχηματισμός κυματού του σήματος. Επίπεδο 7



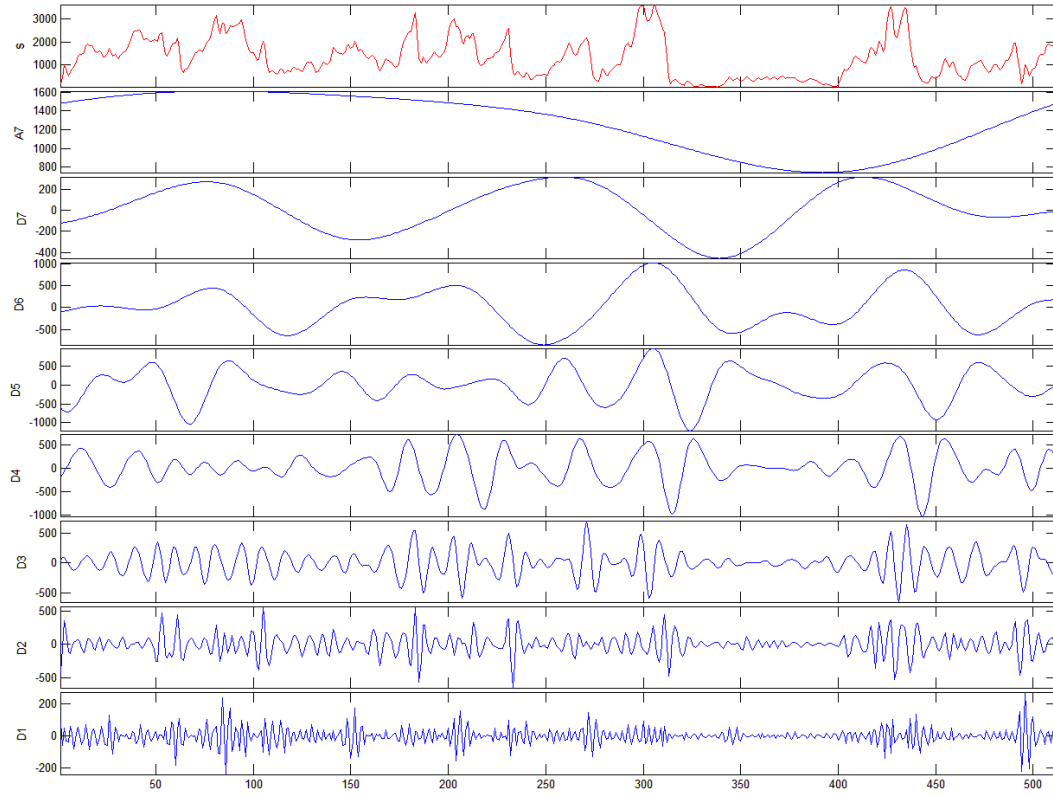
Σήμα: Fz_4-1-cut3 coil5 διακριτός μετασχηματισμός κυματού του σήματος. Επίπεδο 7



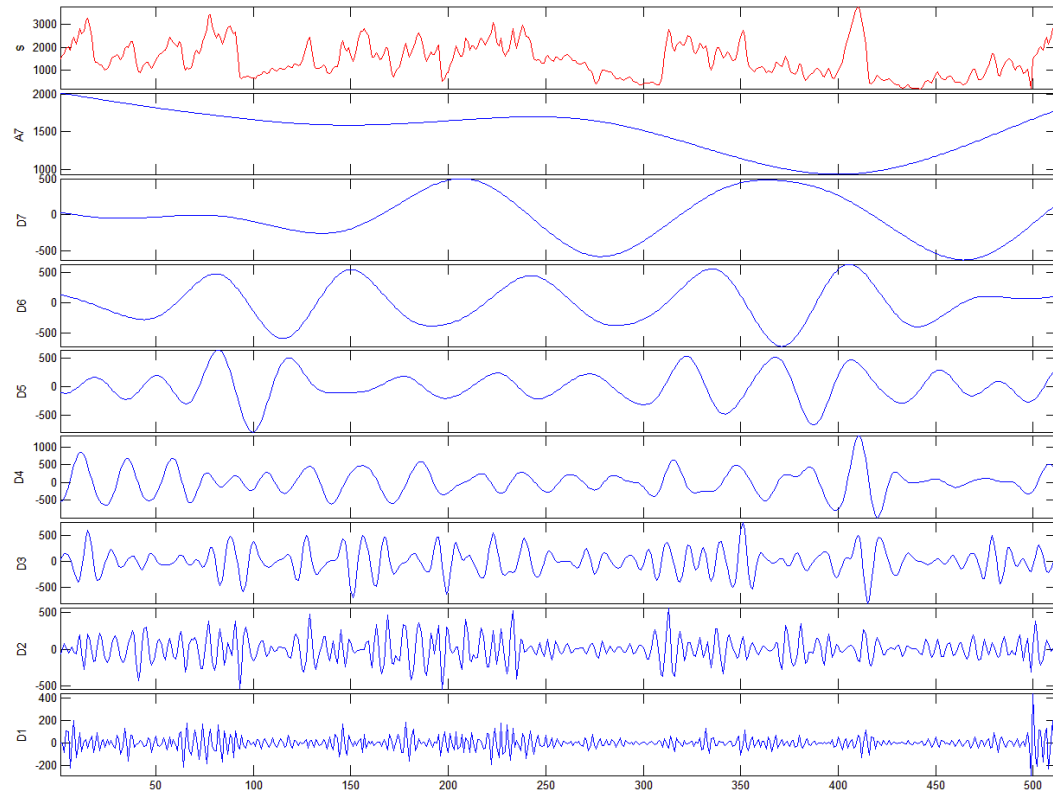
Σήμα: Fz_4-1-cut4 coil5 διακριτός μετασχηματισμός κυματού του σήματος. Επίπεδο 7



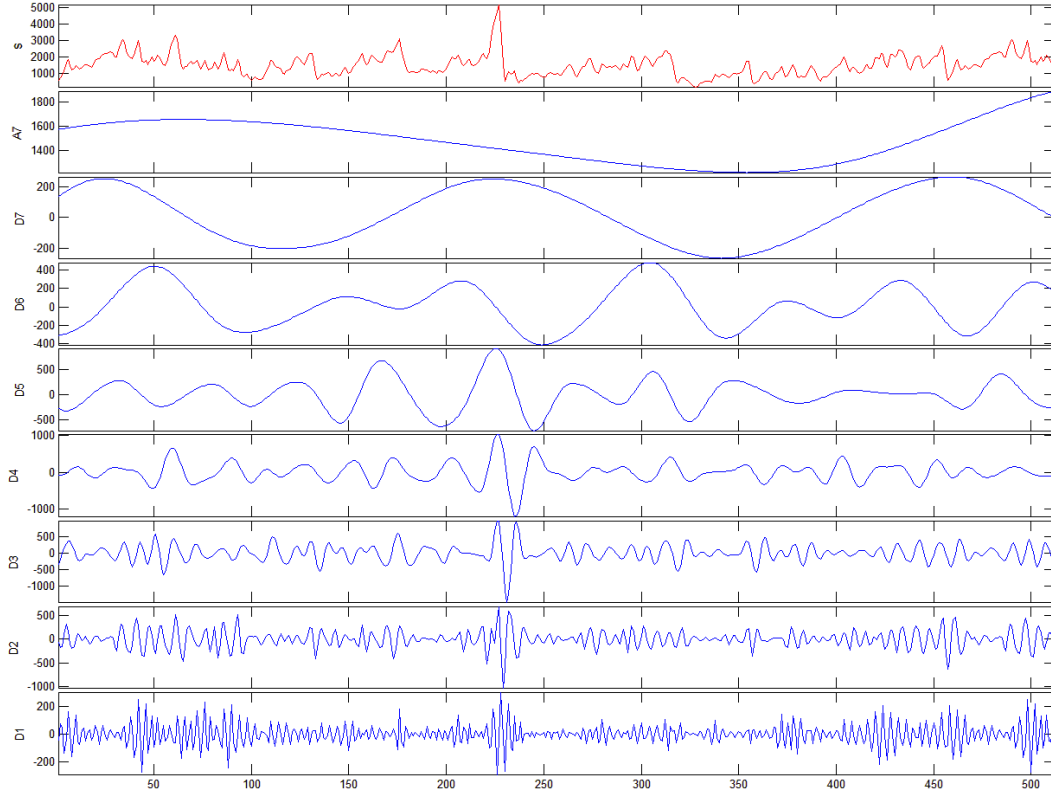
Σήμα: Fz_4-4-cut1 coil5 διακριτός μετασχηματισμός κυματού του σήματος. Επίπεδο 7



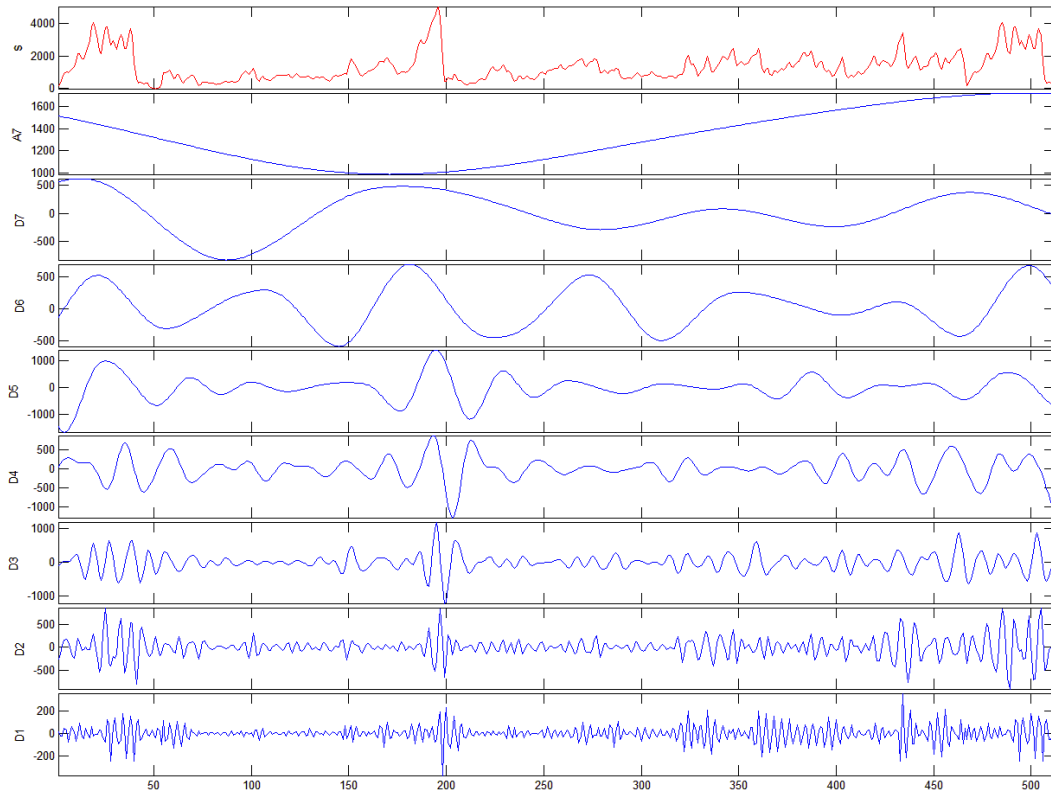
Σήμα: Fz_4-4-cut2 coil5 διακριτός μετασχηματισμός κυματού του σήματος. Επίπεδο 7



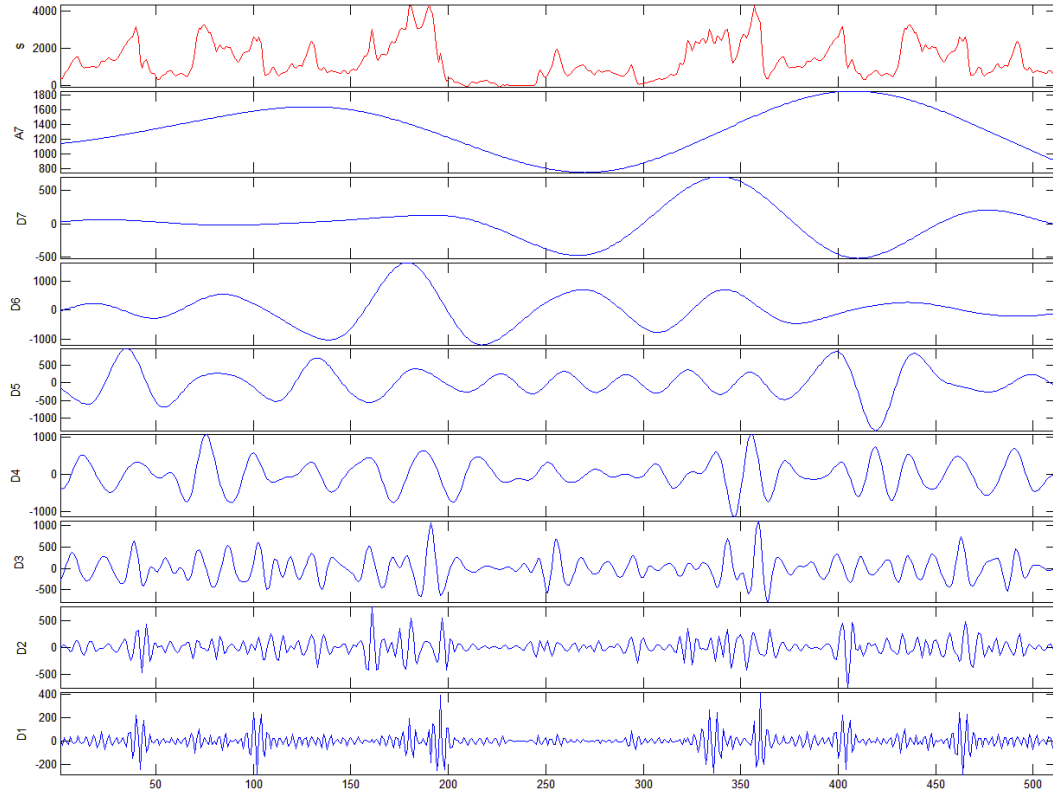
Σήμα: Fz_4-5-cut1 coil5 διακριτός μετασχηματισμός κυματίδιου του σήματος. Επίπεδο 7



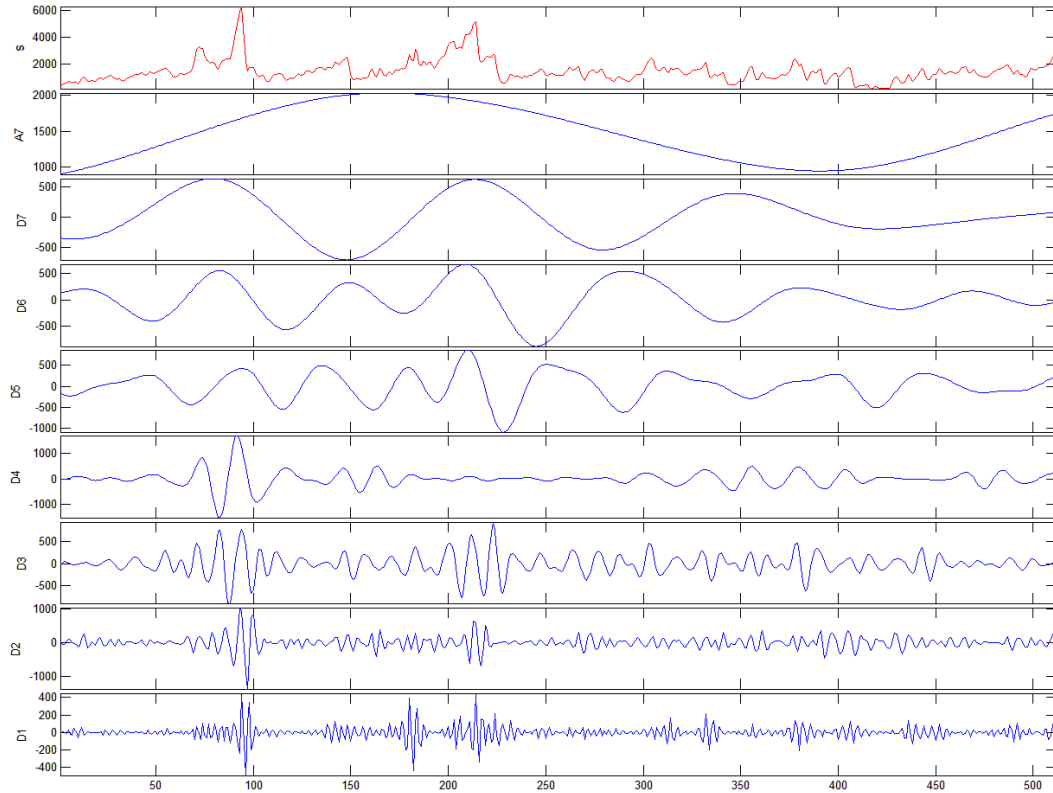
Σήμα: Fz_4-5-cut2 coil5 διακριτός μετασχηματισμός κυματίδιου του σήματος. Επίπεδο 7



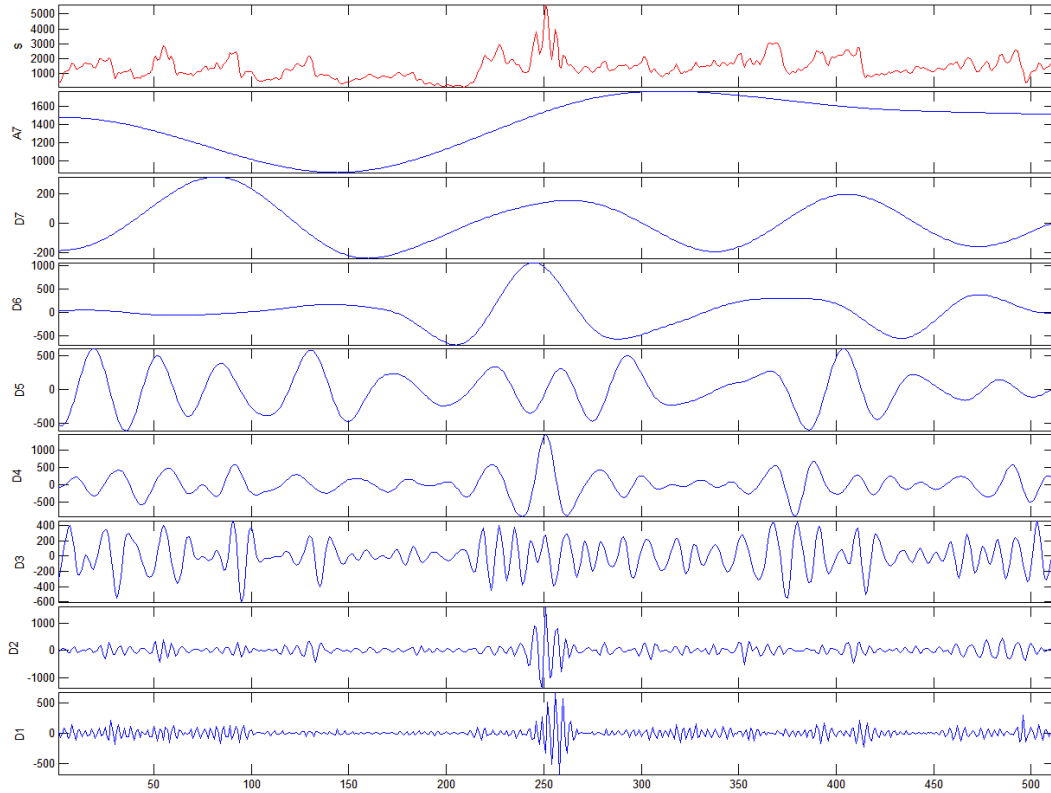
Σήμα: Fz_4-6-cut1 coil5 διακριτός μετασχηματισμός κυματίου του σήματος. Επίπεδο 7



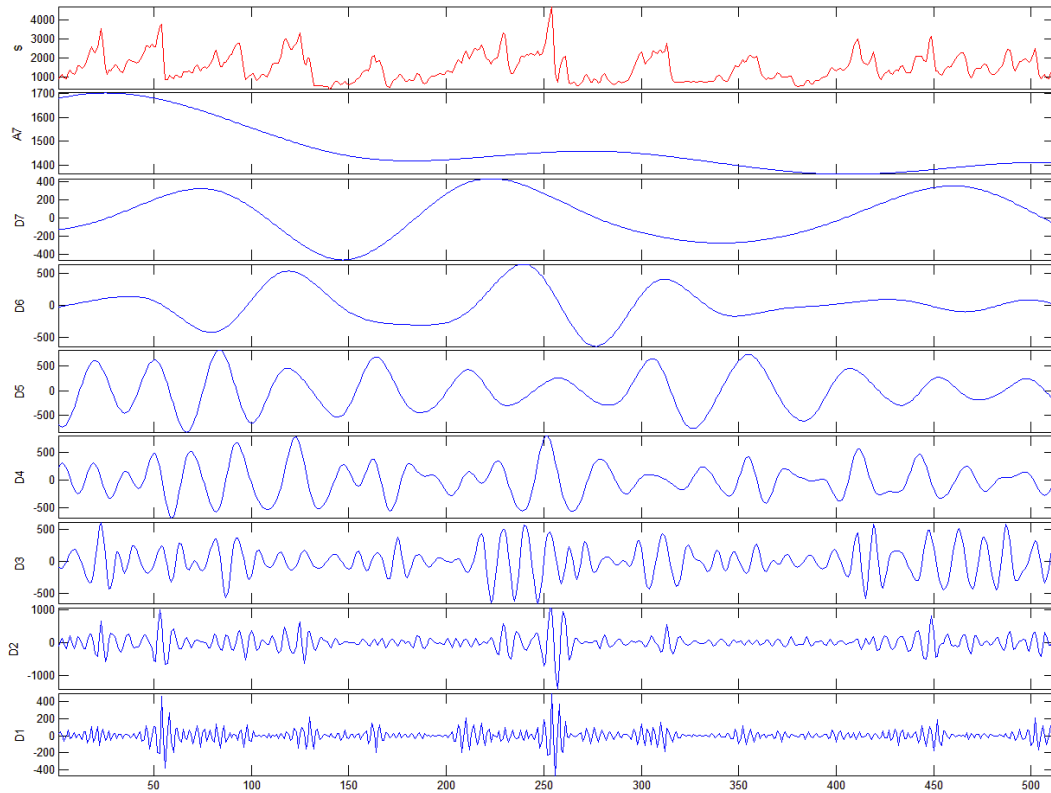
Σήμα: Fz_4-6-cut2 coil5 διακριτός μετασχηματισμός κυματίου του σήματος. Επίπεδο 7



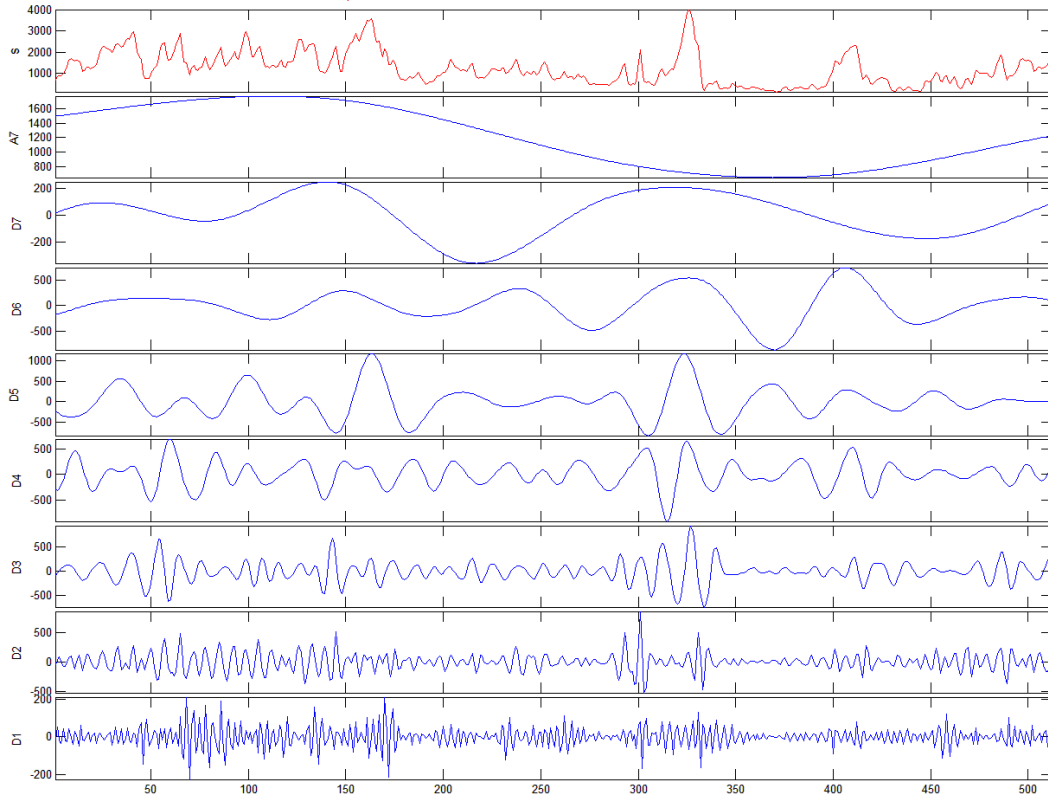
Σήμα: Fz_4-6-cut3 coil5 διακριτός μετασχηματισμός κυματίδιου του σήματος. Επίπεδο 7



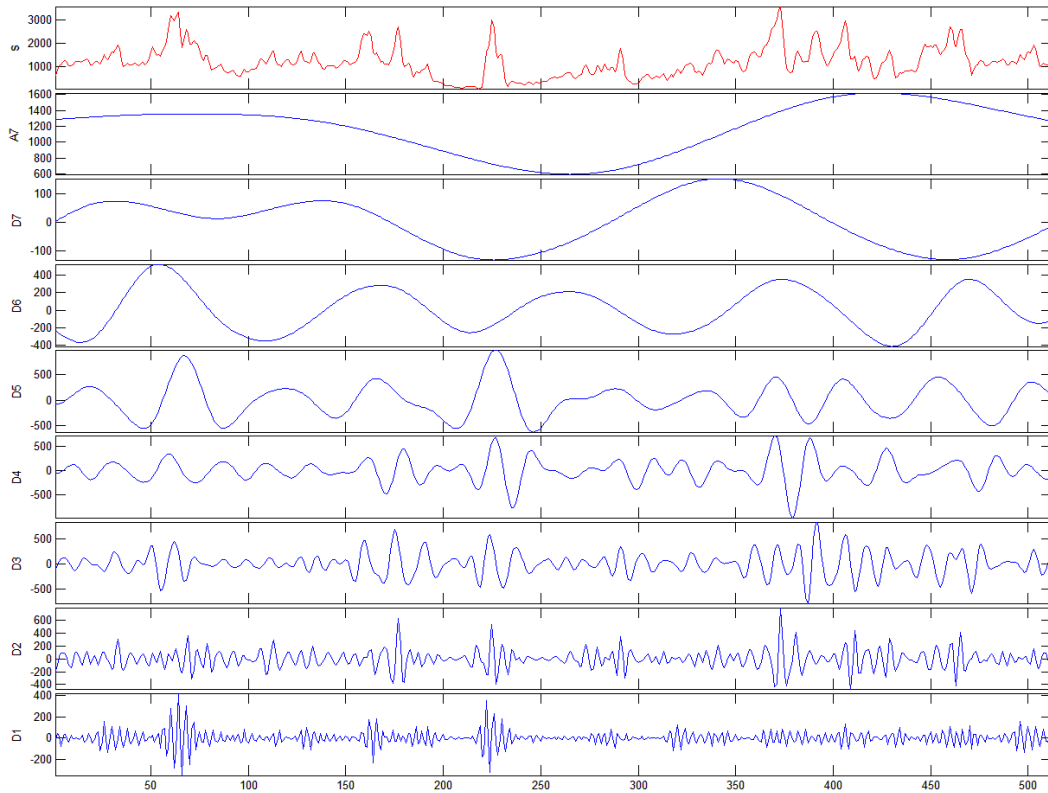
Σήμα: Fz_4-7-cut1 coil5 διακριτός μετασχηματισμός κυματίδιου του σήματος. Επίπεδο 7



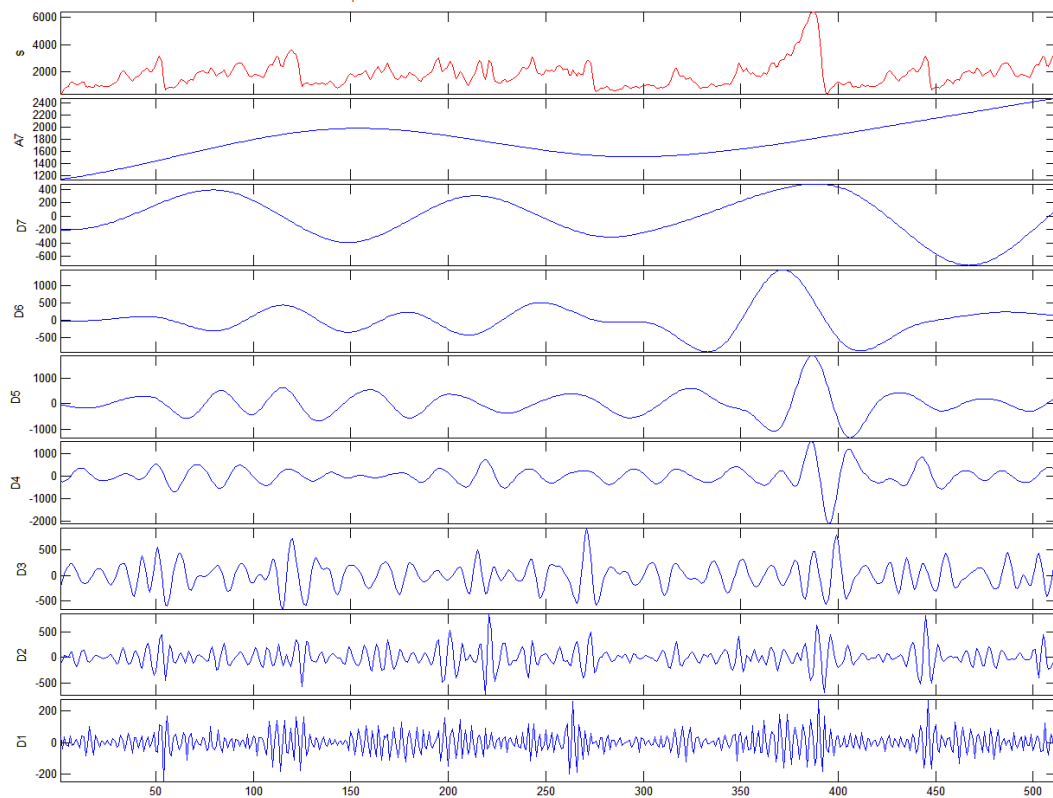
Σήμα: Fz_4-7-cut2 coil5 διακριτός μετασχηματισμός κυματίδιου του σήματος. Επίπεδο 7



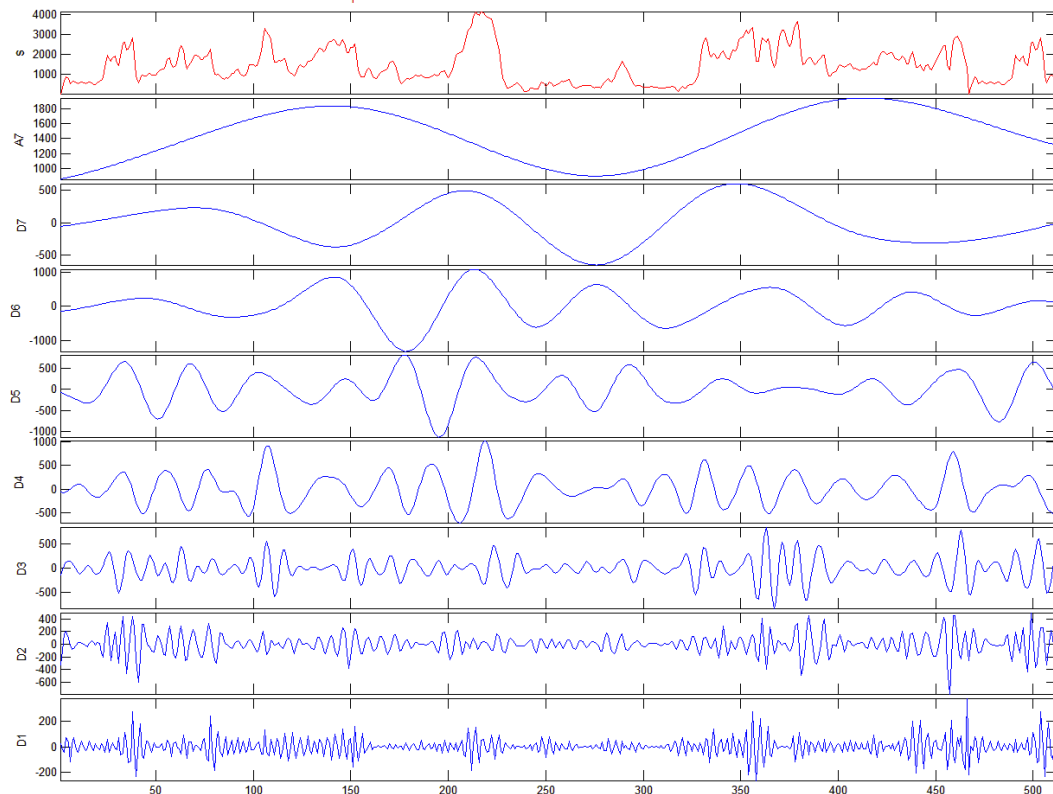
Σήμα: Fz_4-7-cut3 coil5 διακριτός μετασχηματισμός κυματίδιου του σήματος. Επίπεδο 7



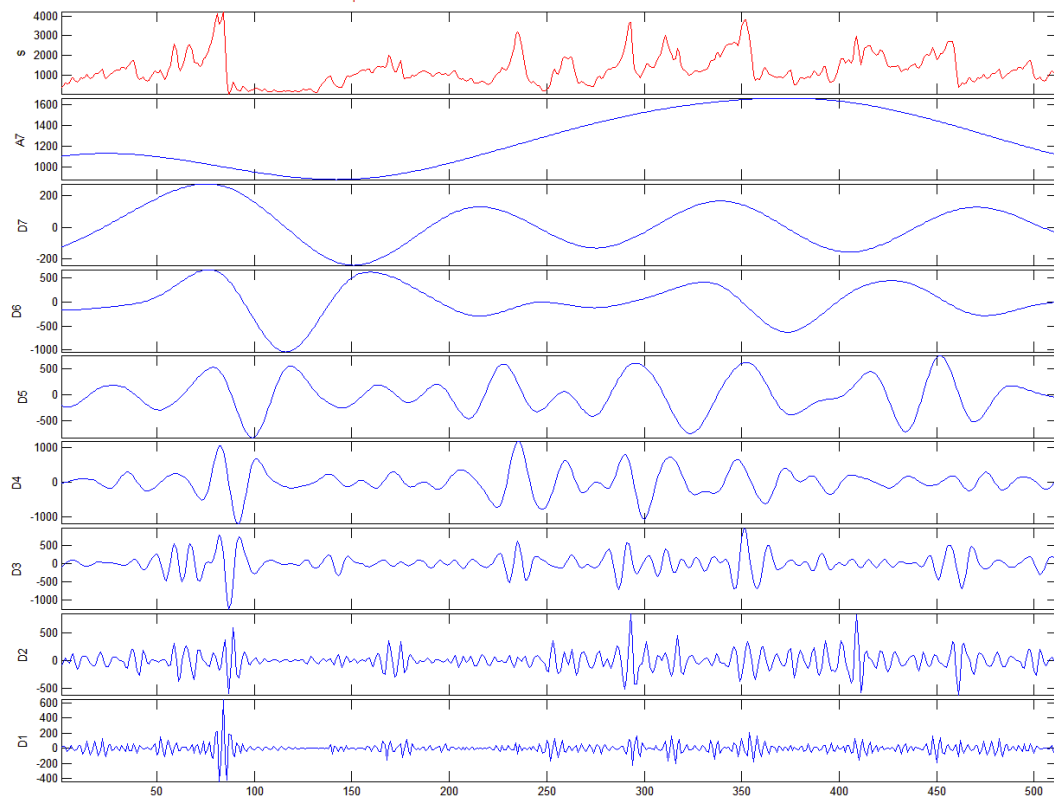
Σήμα: Fz_4-7-cut4 coil5 διακριτός μετασχηματισμός κυματίδιου του σήματος. Επίπεδο 7



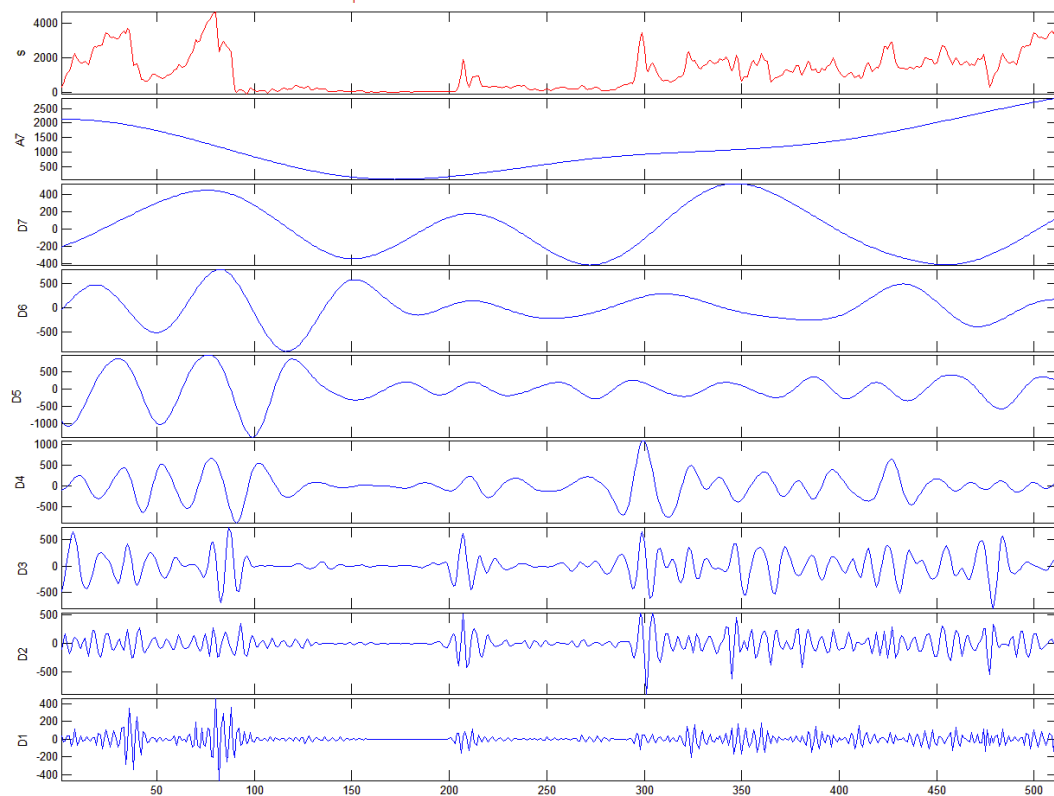
Σήμα: Fz_4-8-cut1 coil5 διακριτός μετασχηματισμός κυματίδιου του σήματος. Επίπεδο 7



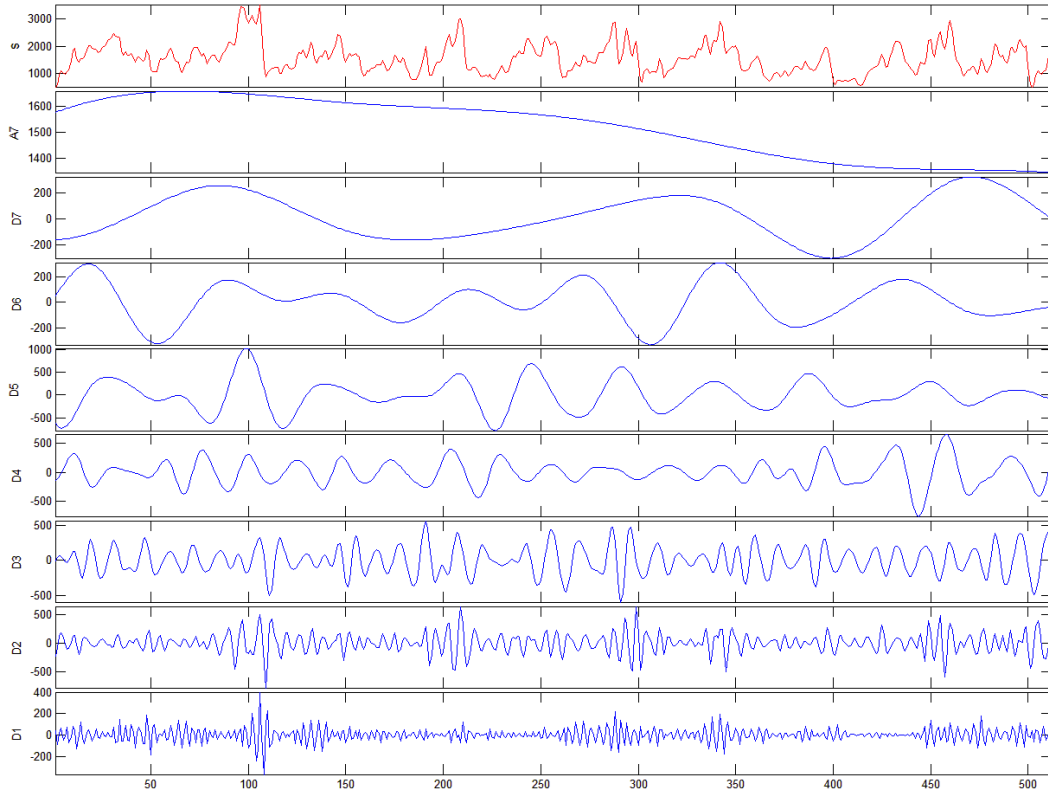
Σήμα: Fz_4-8-cut2 coil5 διακριτός μετασχηματισμός κυματίδιου του σήματος. Επίπεδο 7



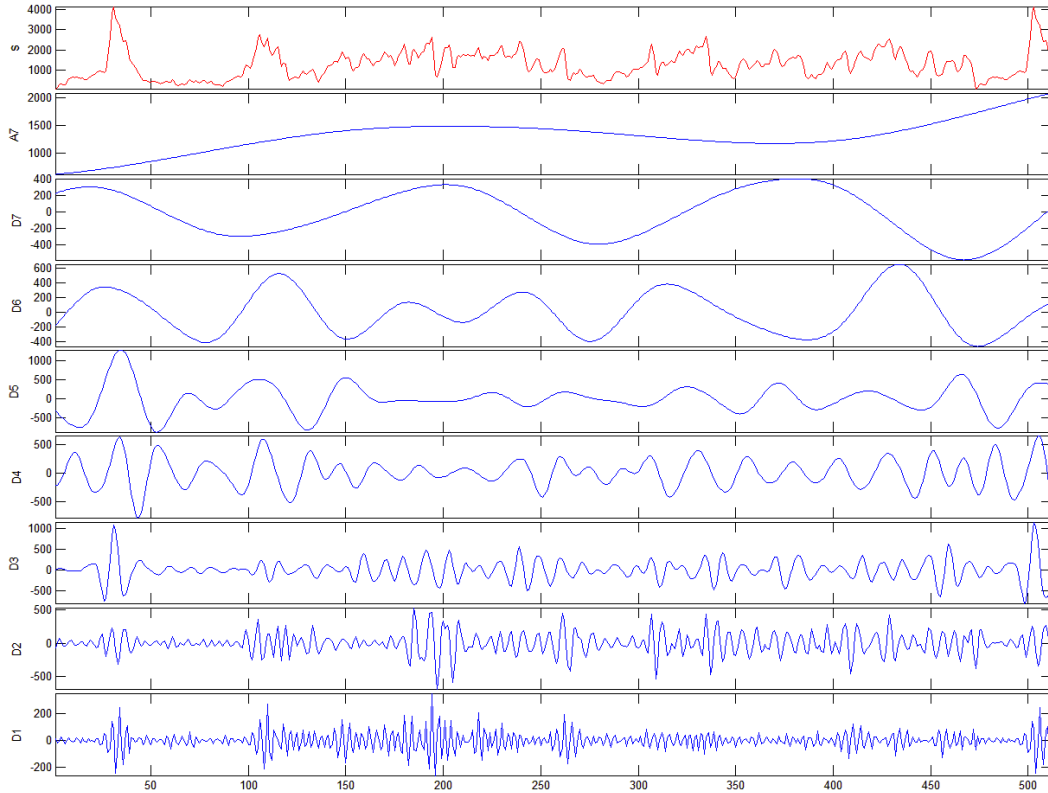
Σήμα: Fz_4-8-cut3 coil5 διακριτός μετασχηματισμός κυματίδιου του σήματος. Επίπεδο 7



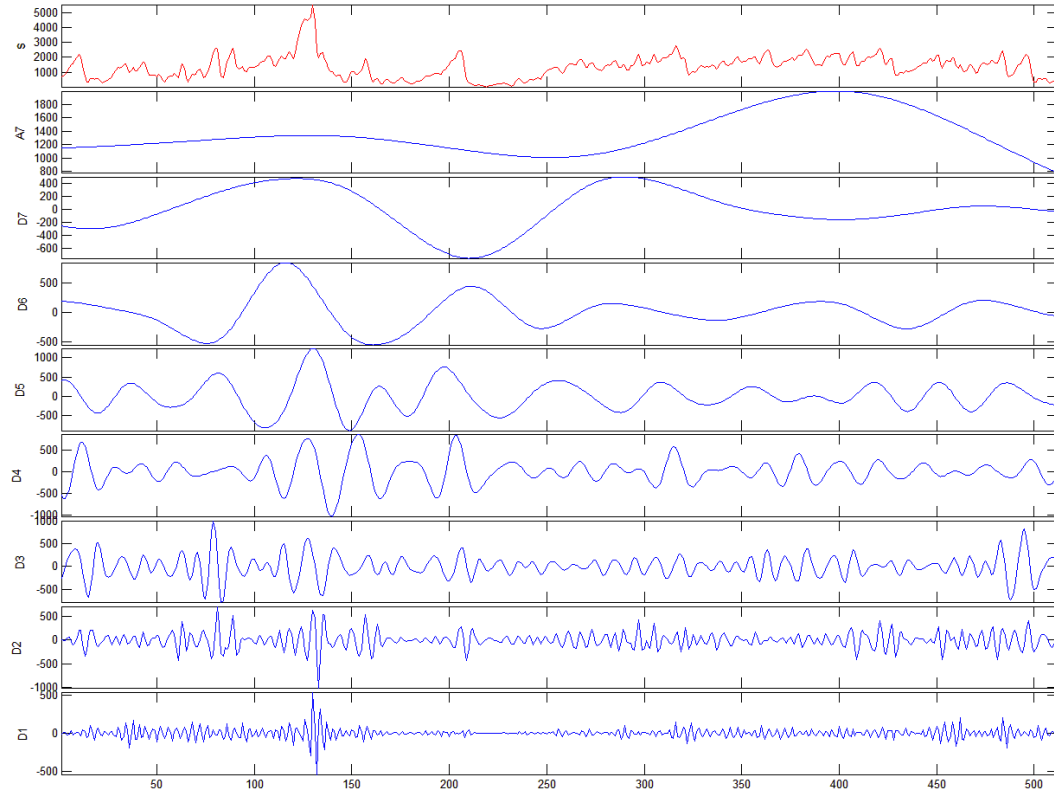
Σήμα: Fz_4-8-cut4 coil5 διακριτός μετασχηματισμός κυματού του σήματος. Επίπεδο 7



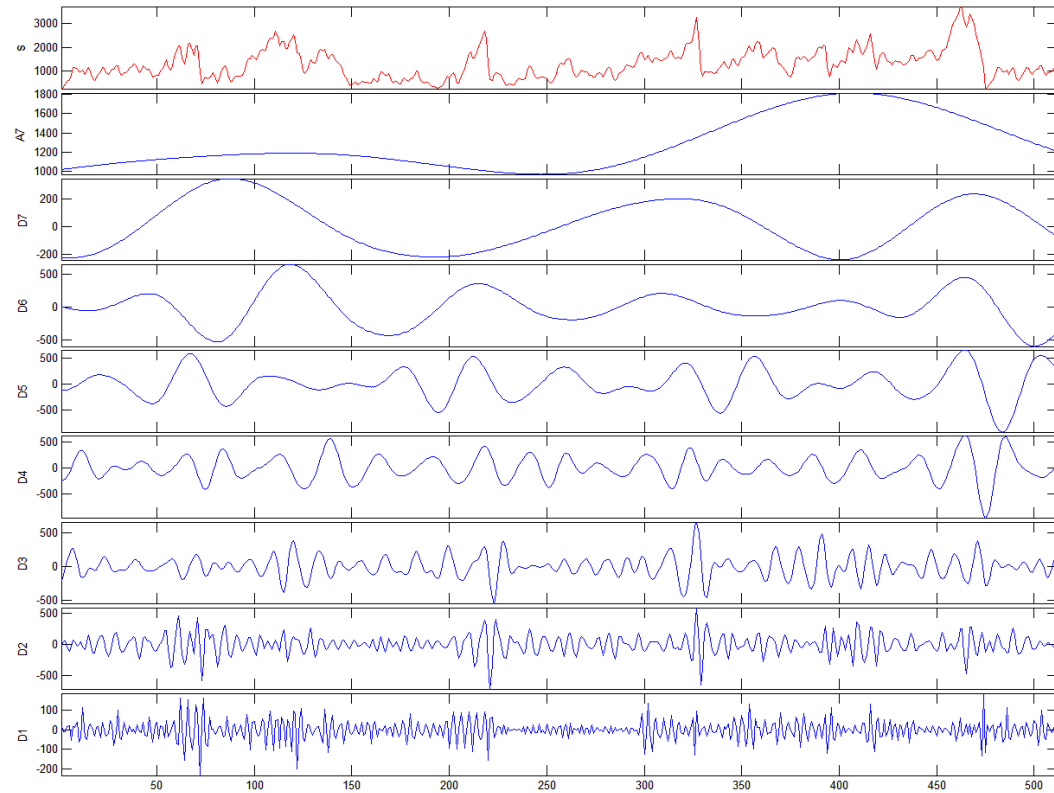
Σήμα: Fz_5-1-cut1 coil5 διακριτός μετασχηματισμός κυματού του σήματος. Επίπεδο 7



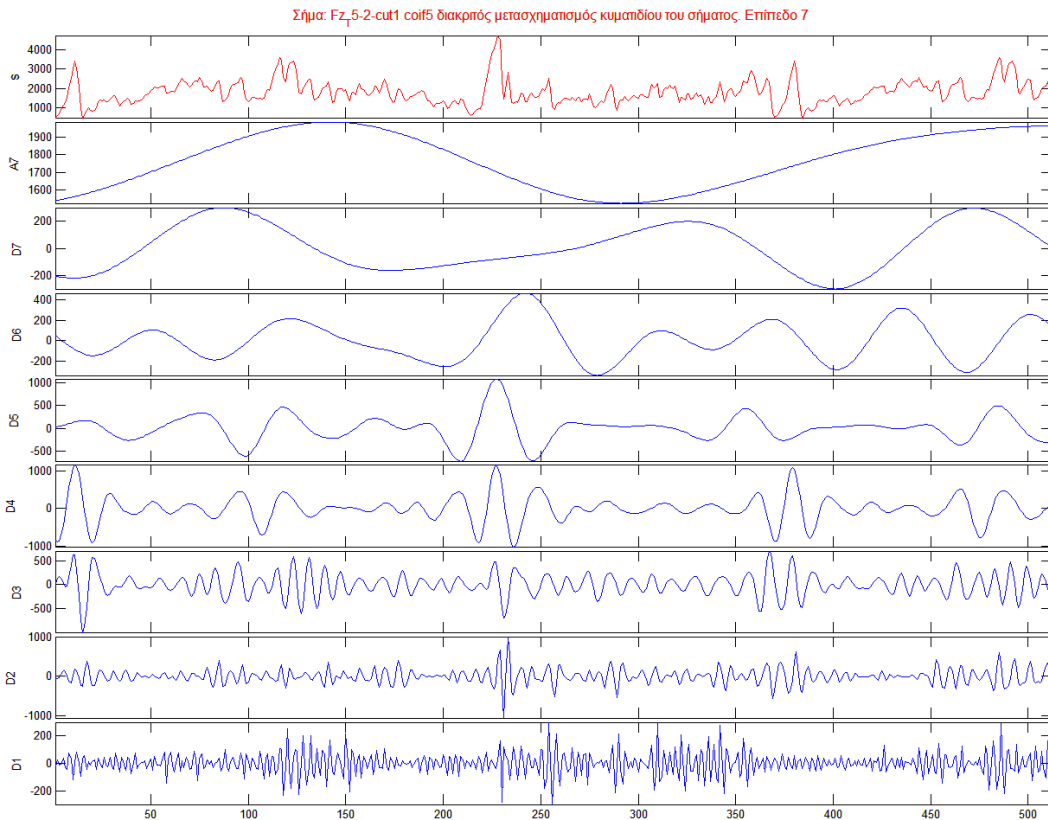
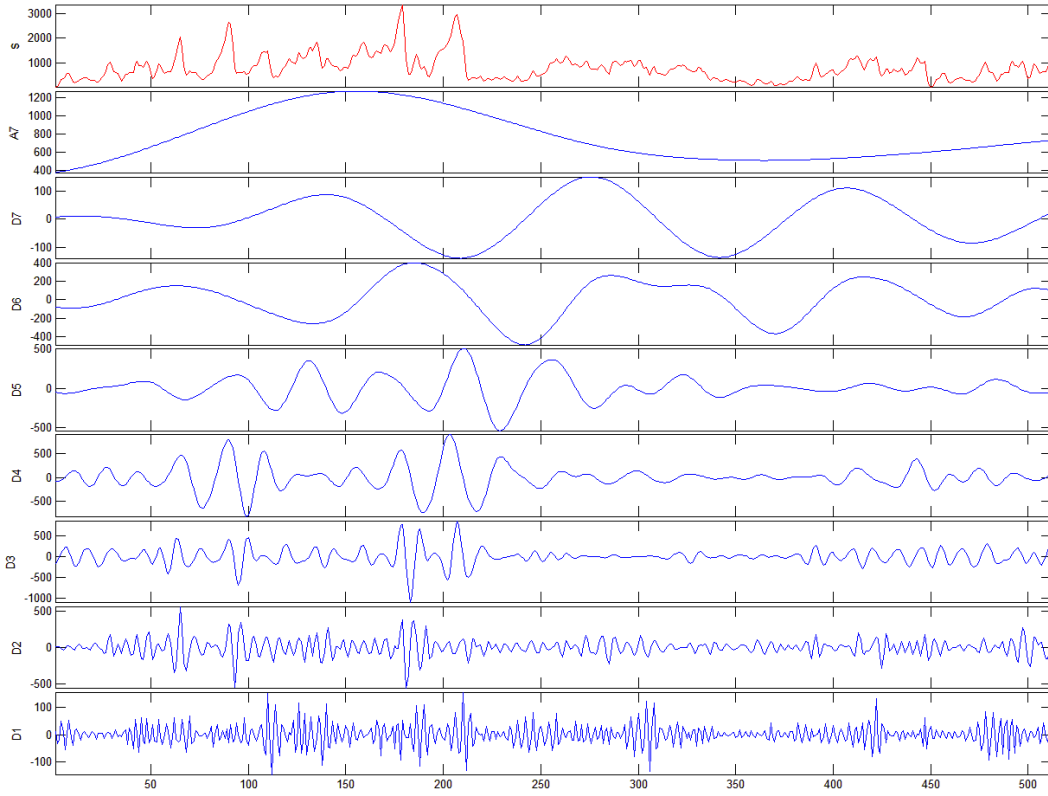
Σήμα: Fz_5-1-cut2 coil5 διακριτός μετασχηματισμός κυματοδίου του σήματος. Επίπεδο 7



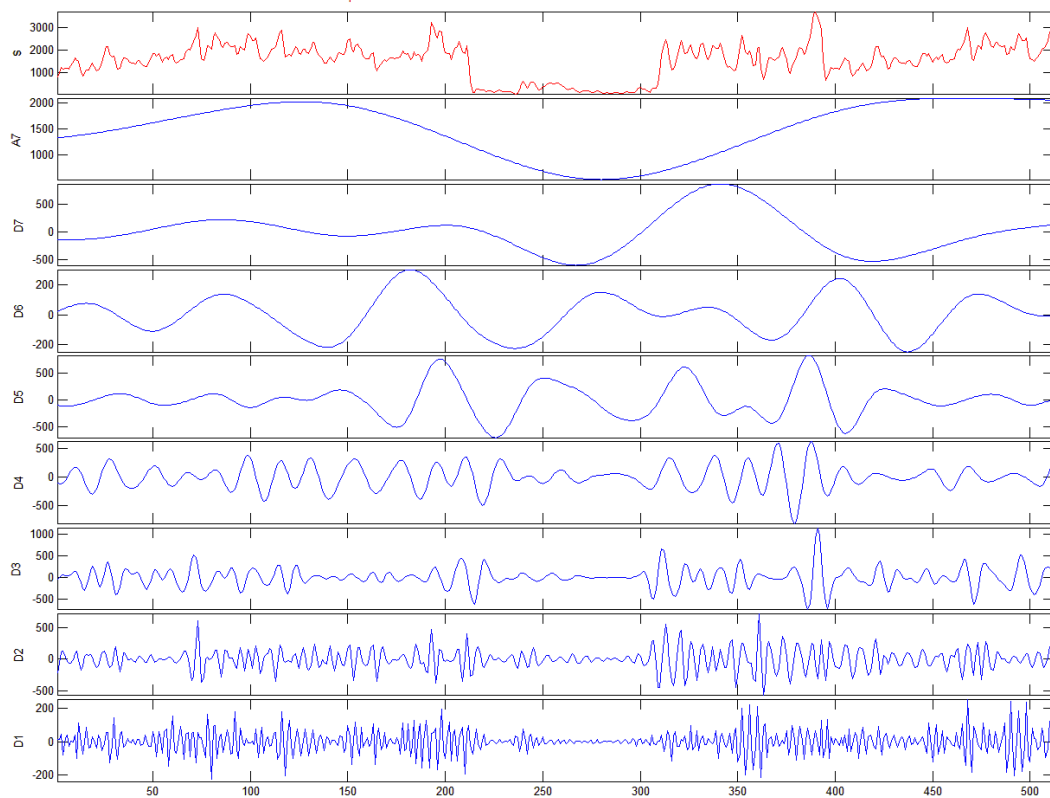
Σήμα: Fz_5-1-cut3 coil5 διακριτός μετασχηματισμός κυματοδίου του σήματος. Επίπεδο 7



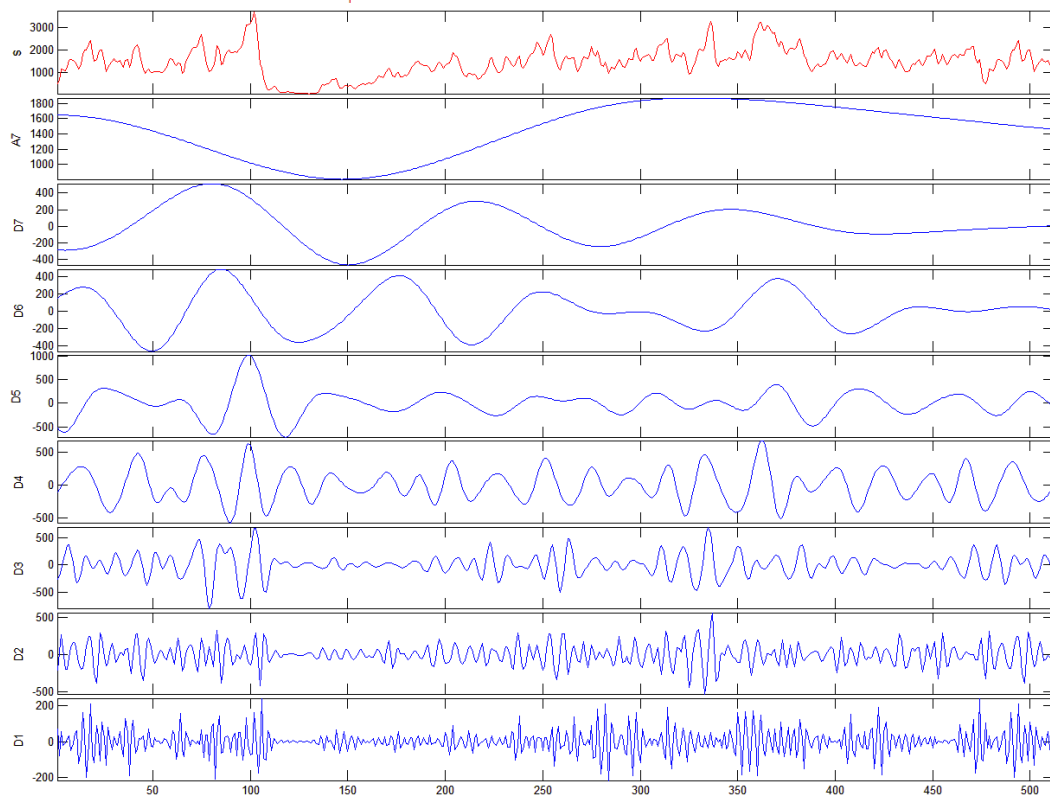
Σήμα: Fz_5-1-cut4 coil5 διακριτός μετασχηματισμός κυματού του σήματος. Επίπεδο 7



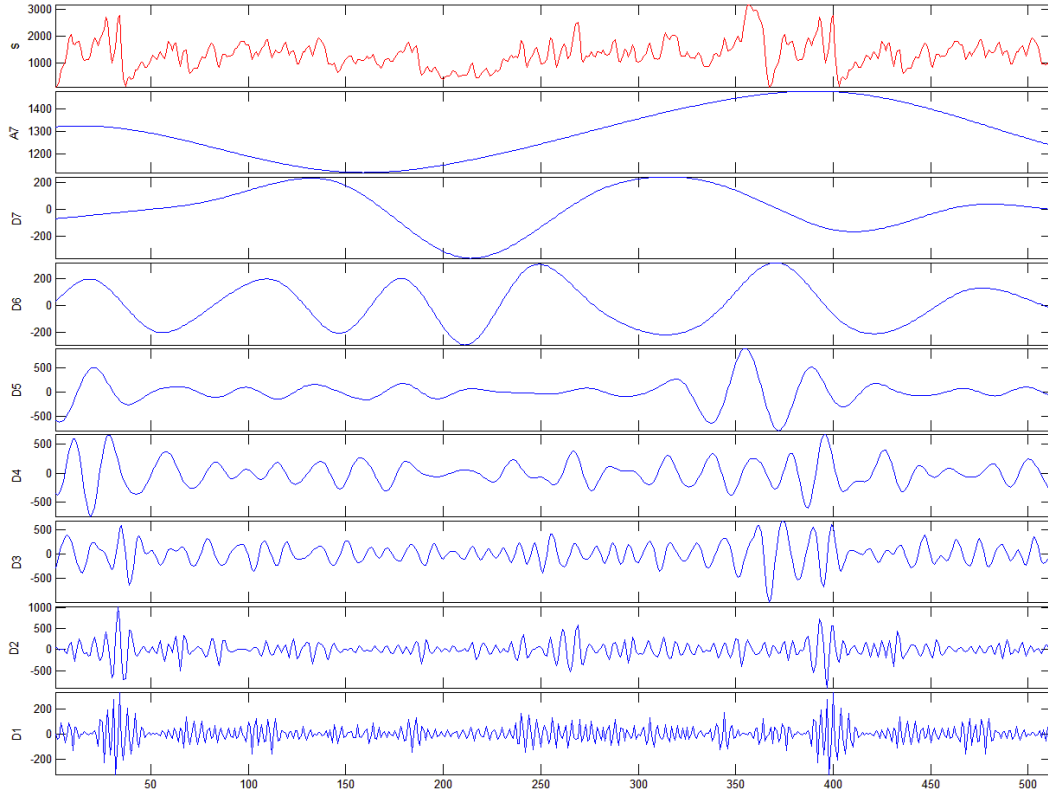
Σήμα: Fz_5-2-cut2 coil5 διακριτός μετασχηματισμός κυματιδίου του σήματος. Επίπεδο 7



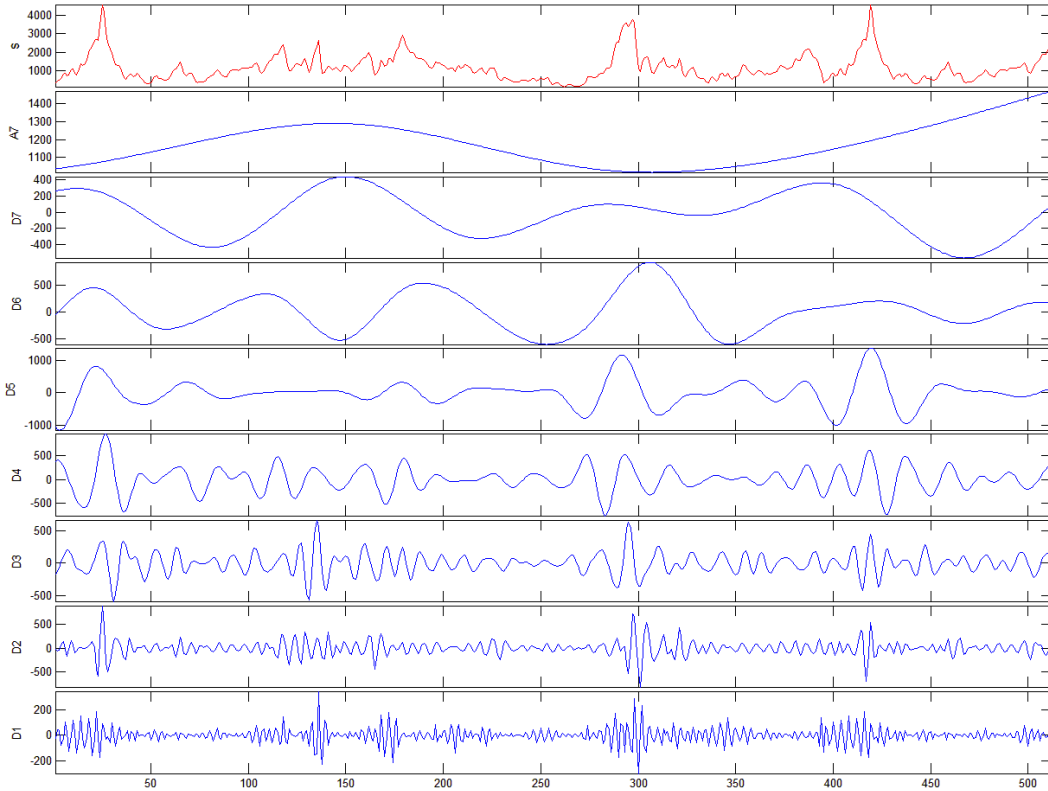
Σήμα: Fz_5-3-cut1 coil5 διακριτός μετασχηματισμός κυματιδίου του σήματος. Επίπεδο 7



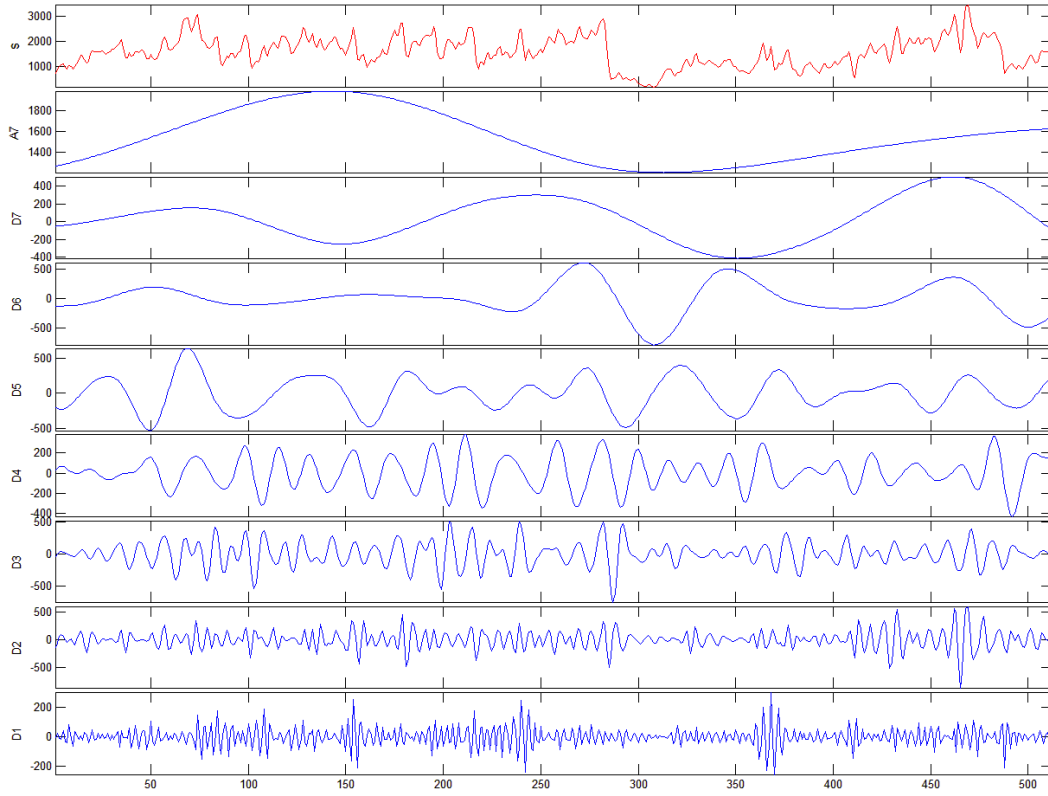
Σήμα: Fz_5-3-cut2 coil5 διακριτός μετασχηματισμός κυματίου του σήματος. Επίπεδο 7



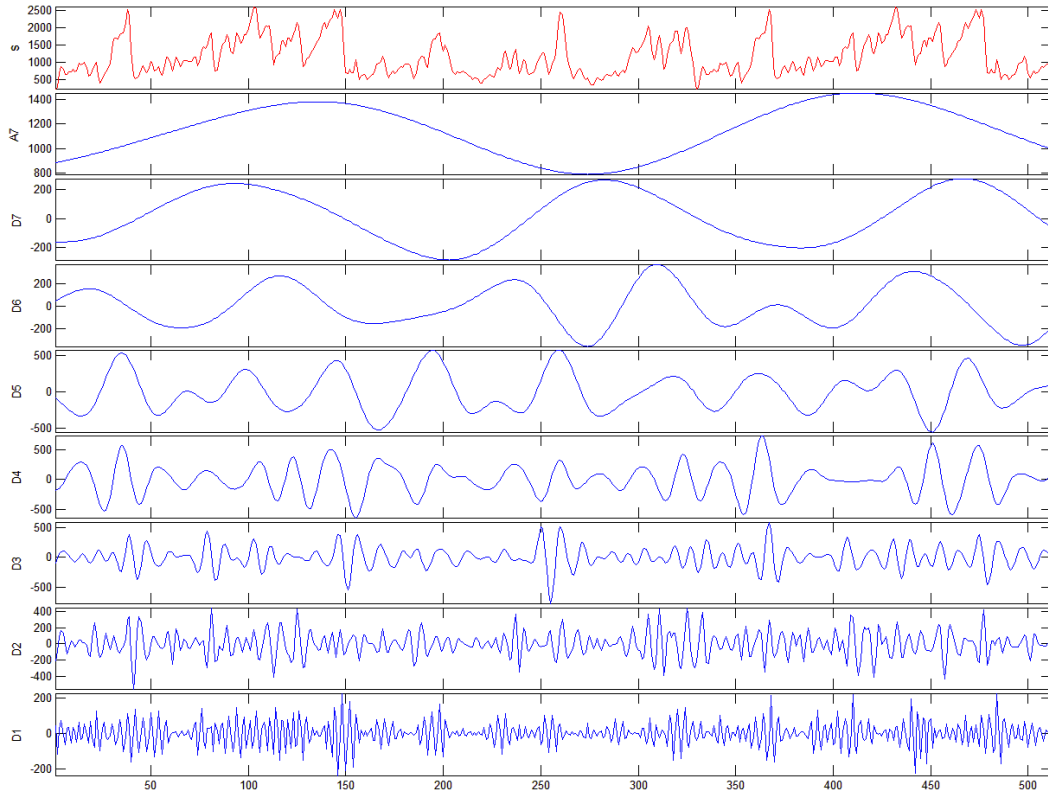
Σήμα: Fz_5-3-cut3 coil5 διακριτός μετασχηματισμός κυματίου του σήματος. Επίπεδο 7



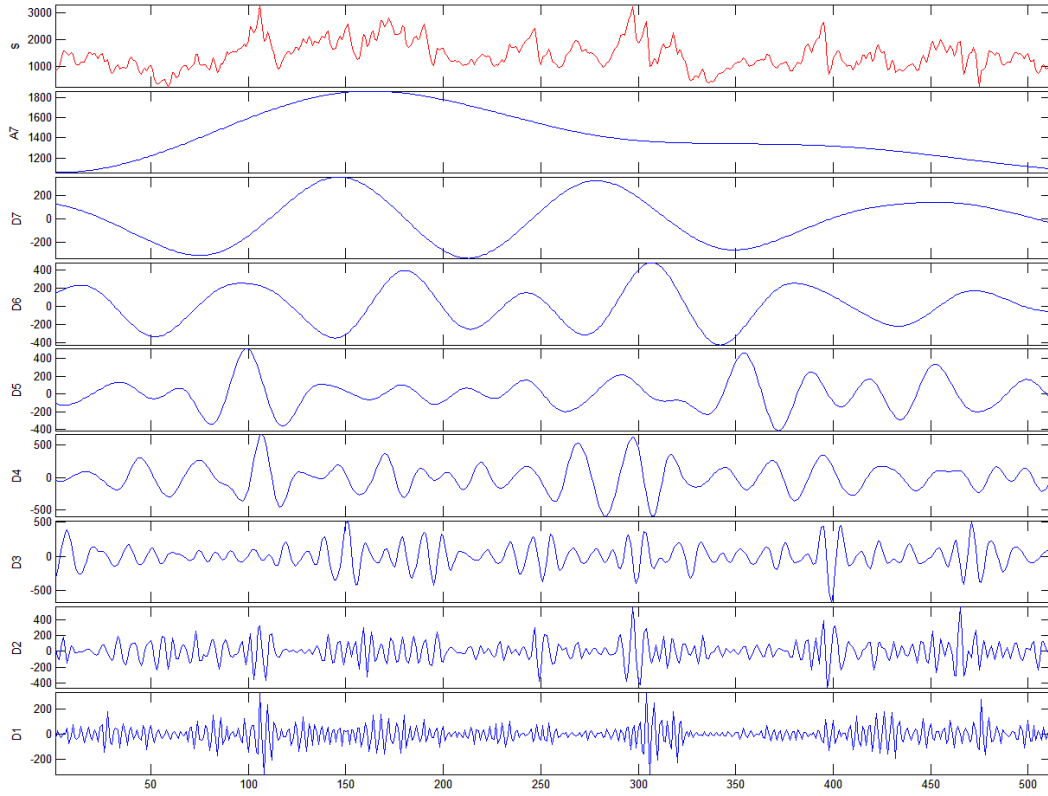
Σήμα: Fz_5-5-cut1 coil5 διακριτός μετασχηματισμός κυματού του σήματος. Επίπεδο 7



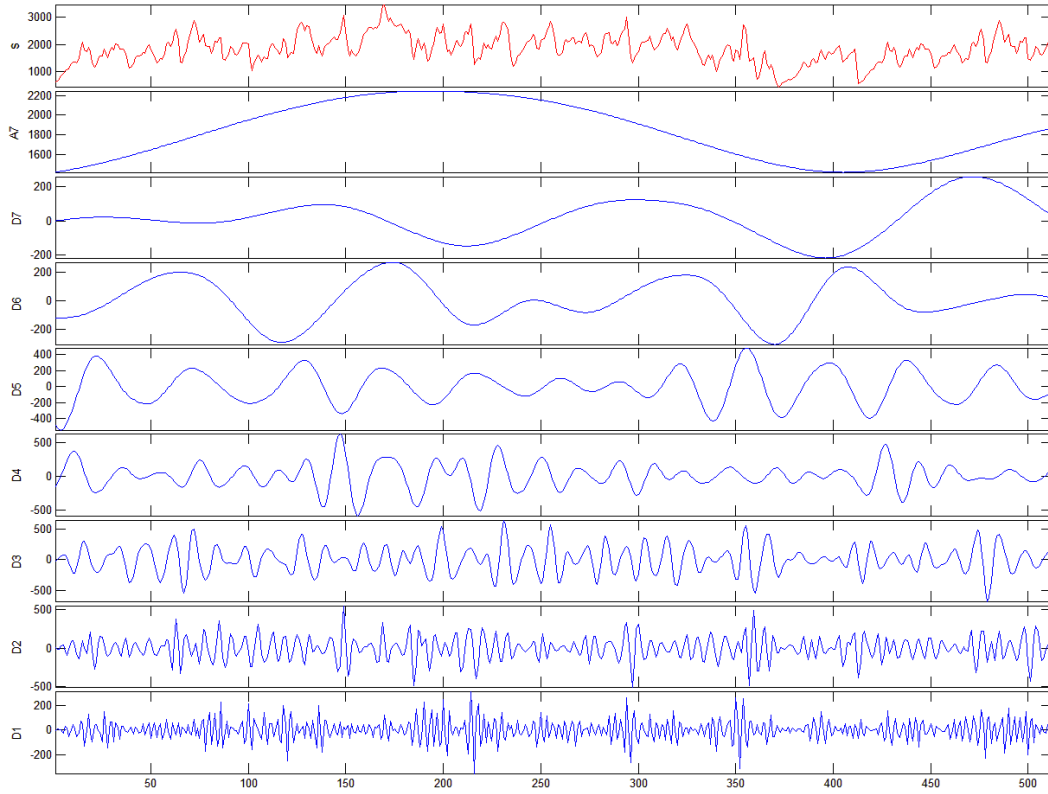
Σήμα: Fz_5-5-cut2 coil5 διακριτός μετασχηματισμός κυματού του σήματος. Επίπεδο 7



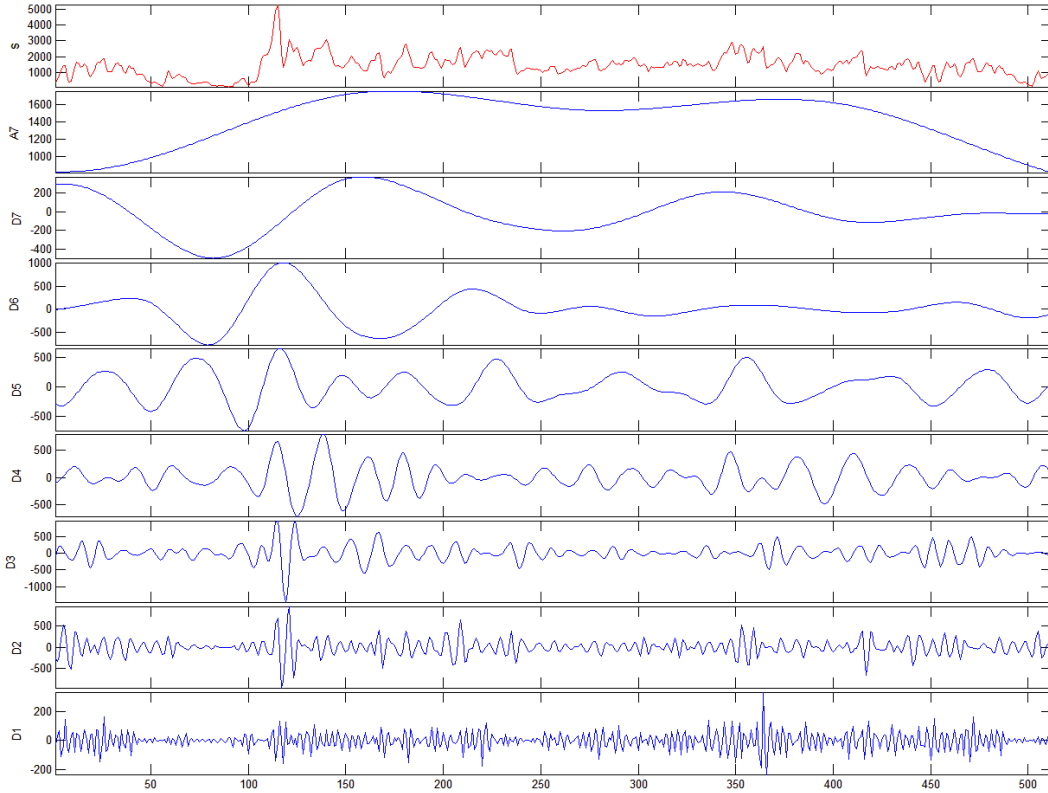
Σήμα: Fz_5-5-cut3 coil5 διακριτός μετασχηματισμός κυματιδίου του σήματος. Επίπεδο 7



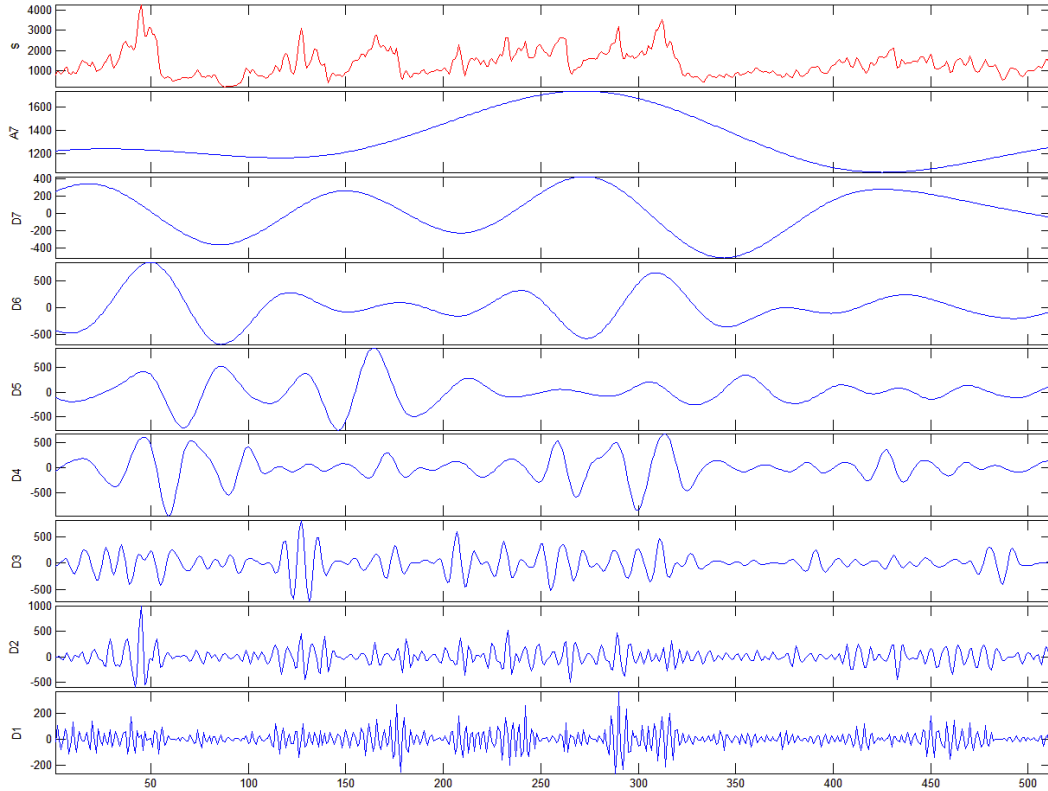
Σήμα: Fz_5-7-cut1 coil5 διακριτός μετασχηματισμός κυματιδίου του σήματος. Επίπεδο 7



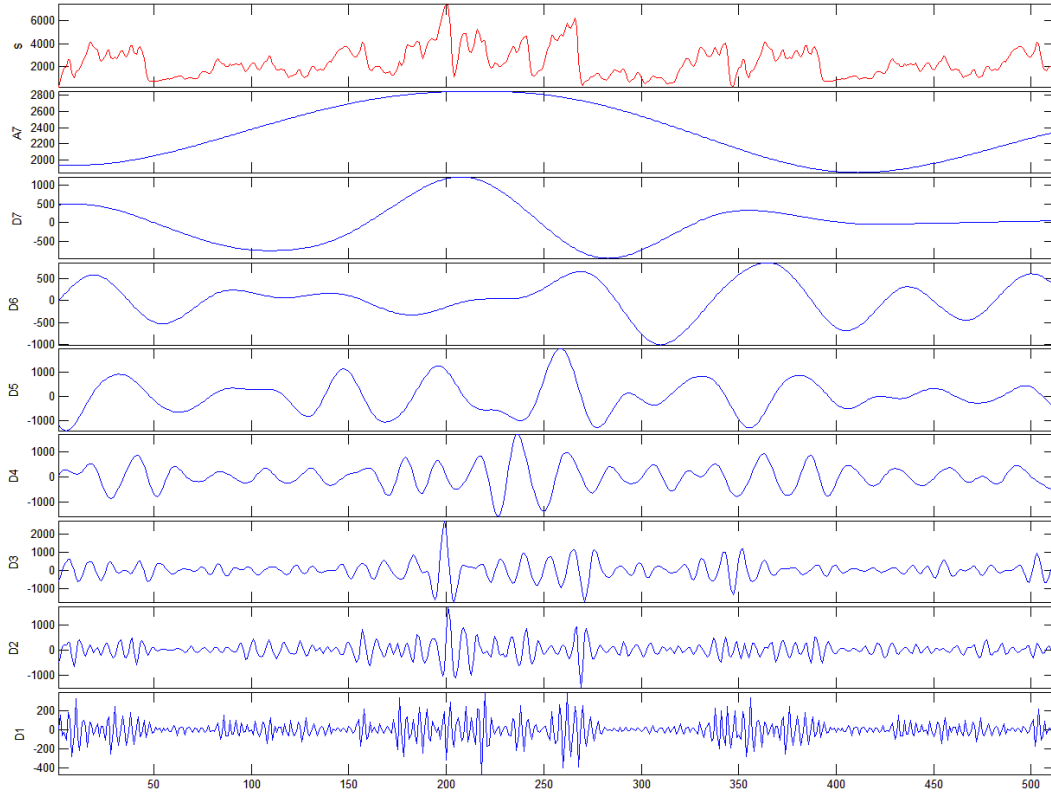
Σήμα: Fz_5-7-cut2 coil5 διακριτός μετασχηματισμός κυματίου του σήματος. Επίπεδο 7



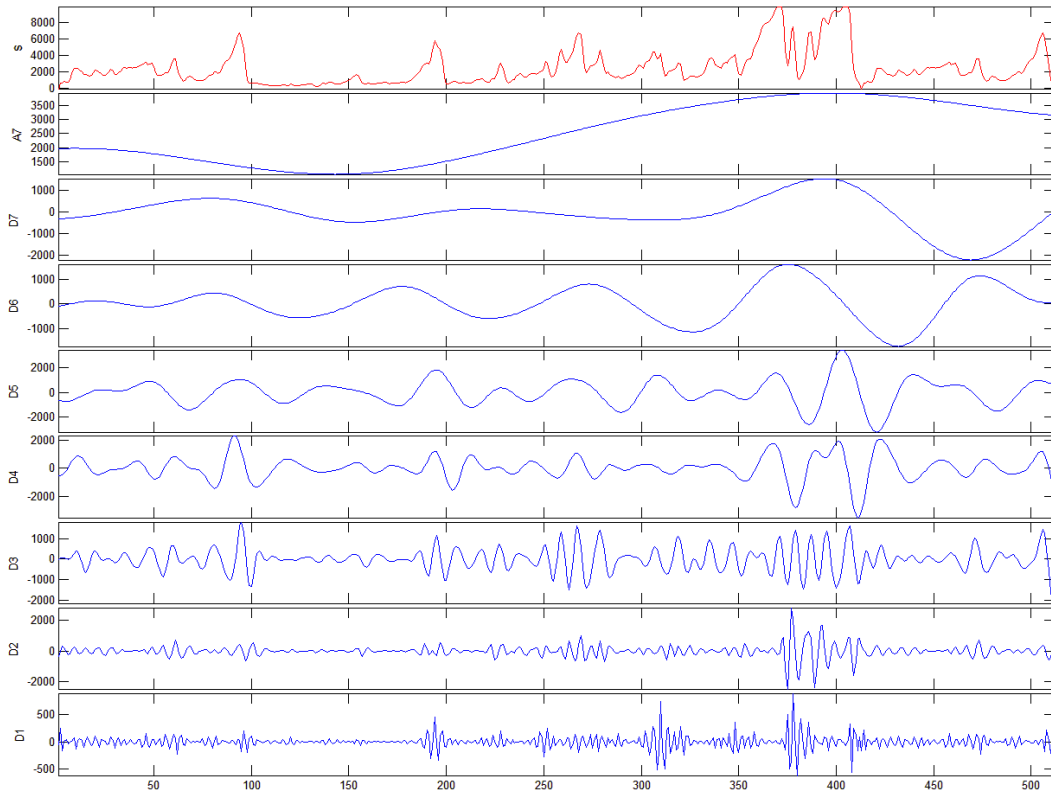
Σήμα: Fz_5-7-cut4 coil5 διακριτός μετασχηματισμός κυματίου του σήματος. Επίπεδο 7



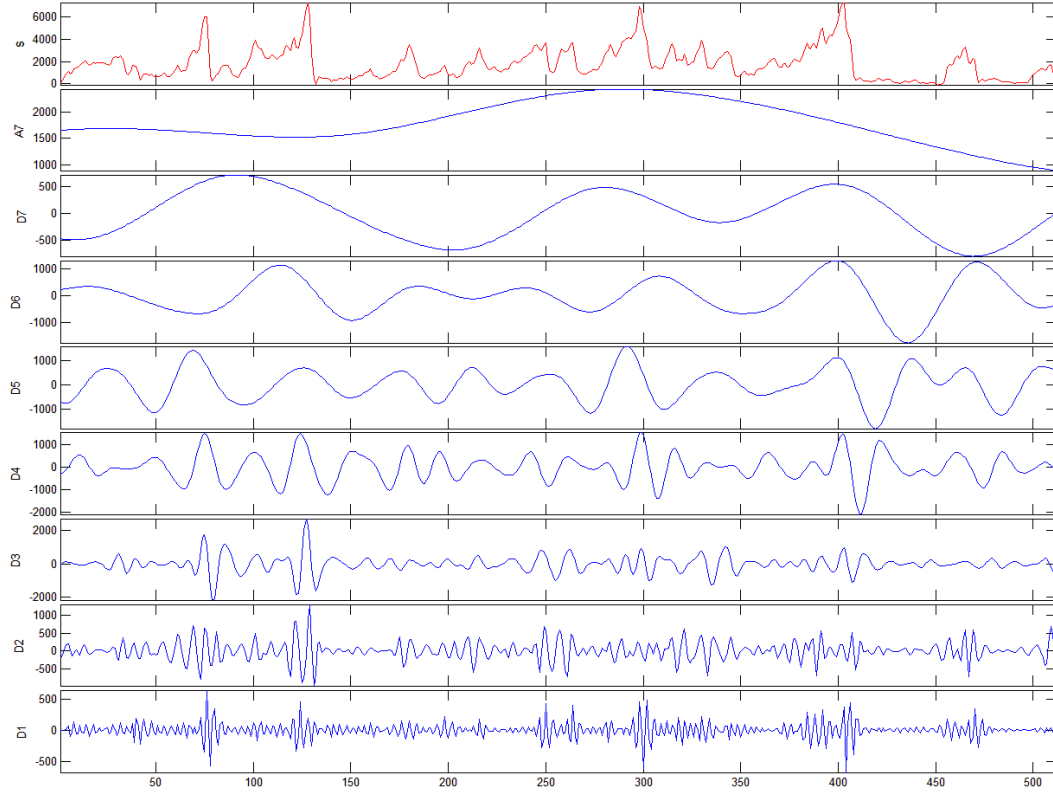
Σημά: Fz_emepegas-3x-2 coil5 διακριτός μετασχηματισμός κυματίου του σήματος. Επίπεδο 7



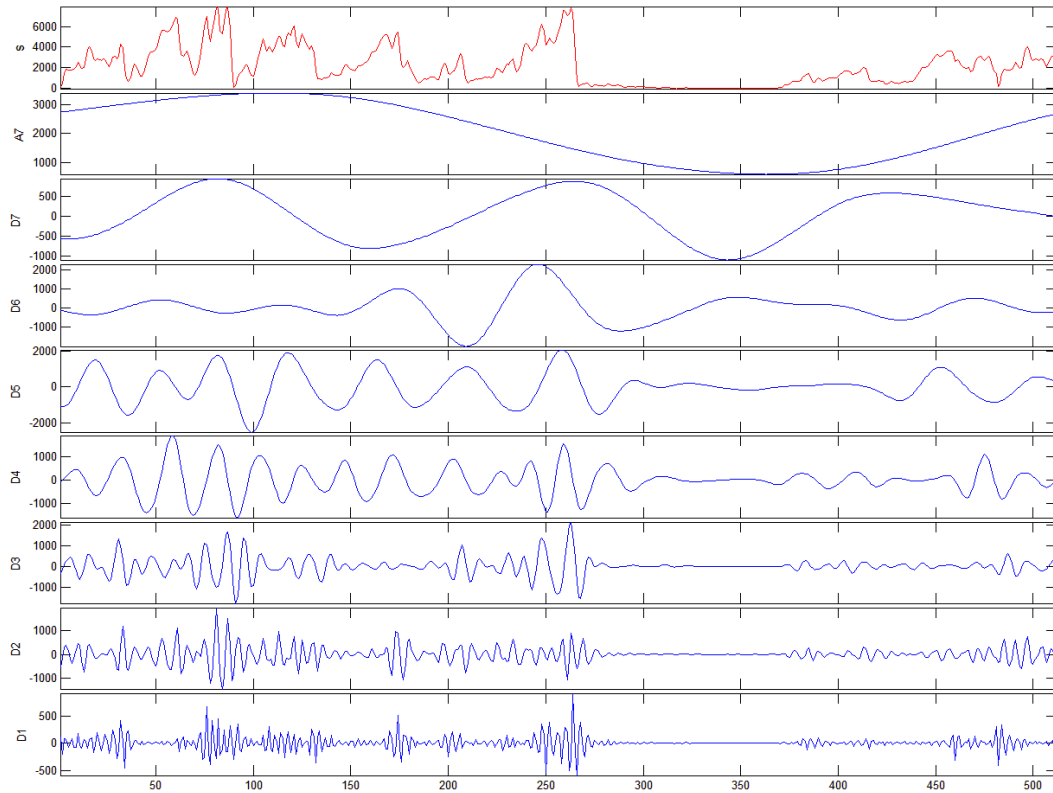
Σημά: Fz_emepegas-3y-1 coil5 διακριτός μετασχηματισμός κυματίου του σήματος. Επίπεδο 7



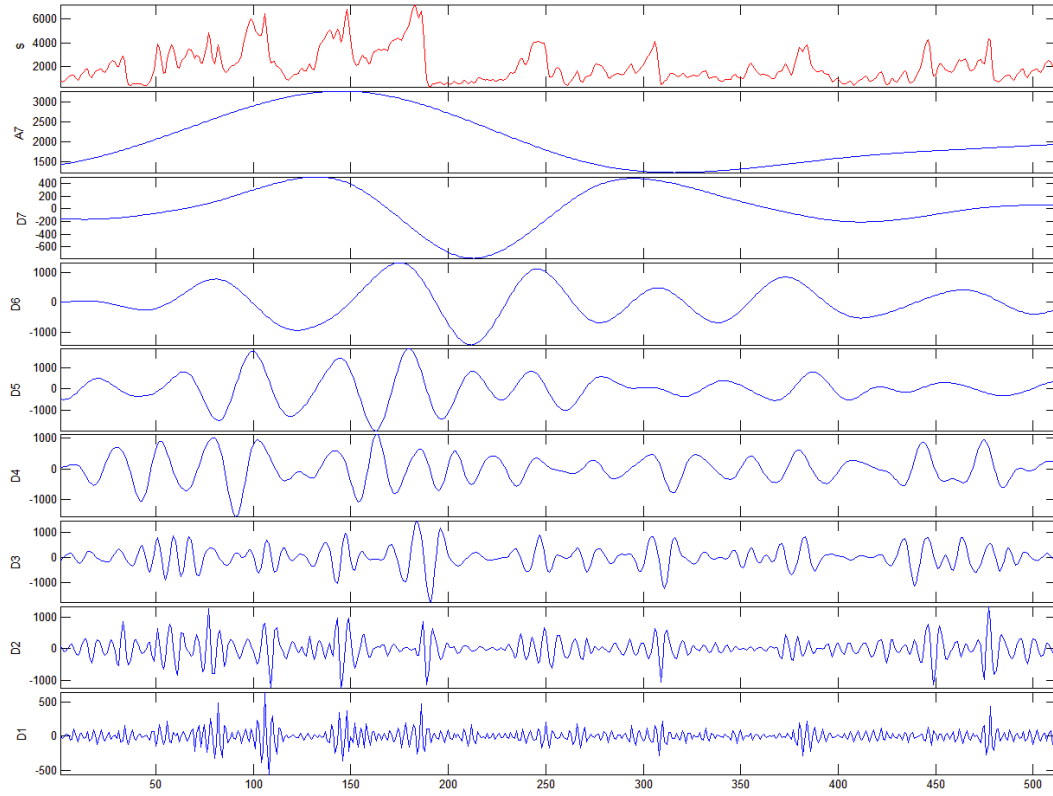
Σημά: Fz_emepegas-3y-2 coil5 διακριτός μετασχηματισμός κυματίου του σήματος. Επίπεδο 7



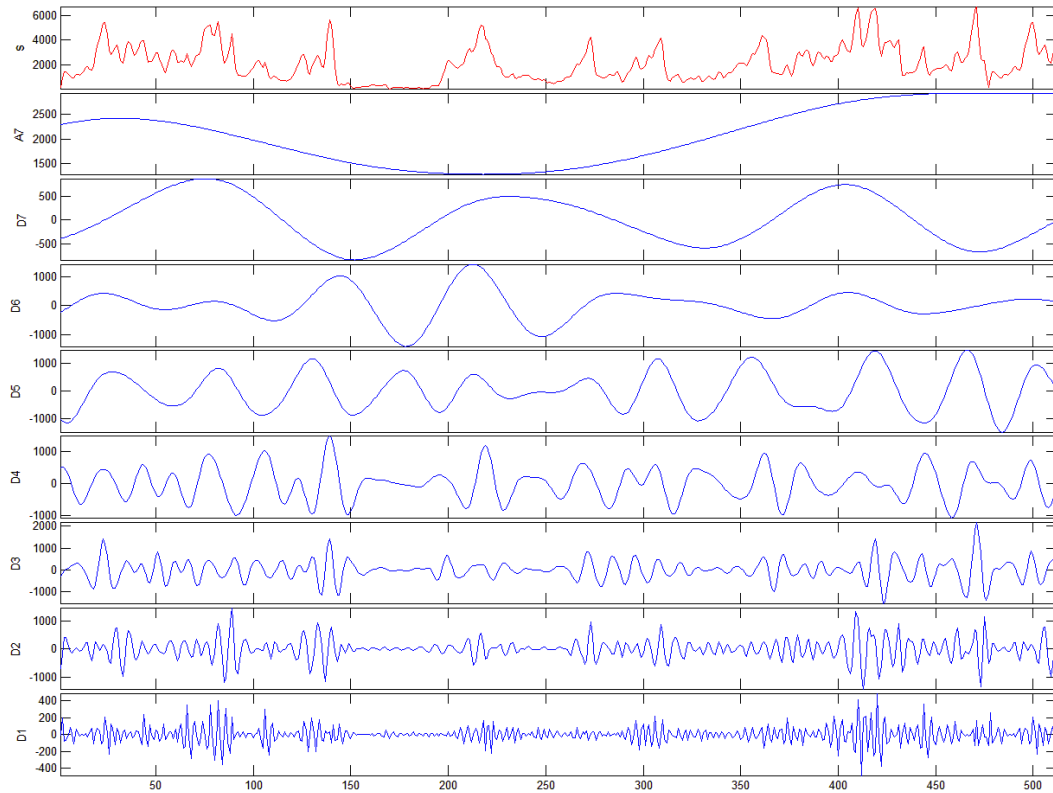
Σημά: Fz_emepegas-3y-3 coil5 διακριτός μετασχηματισμός κυματίου του σήματος. Επίπεδο 7



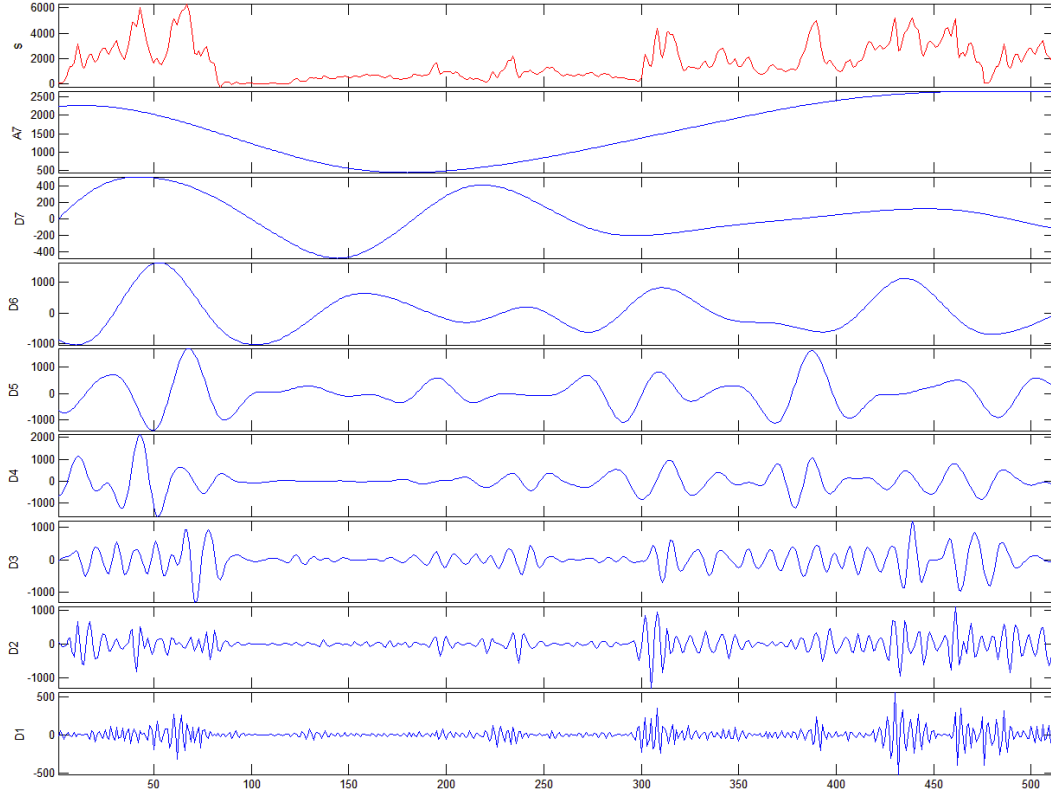
Σημά: Fz_emenegas-3z-1 coil5 διακριτός μετασχηματισμός κυματίου του σήματος. Επίπεδο 7



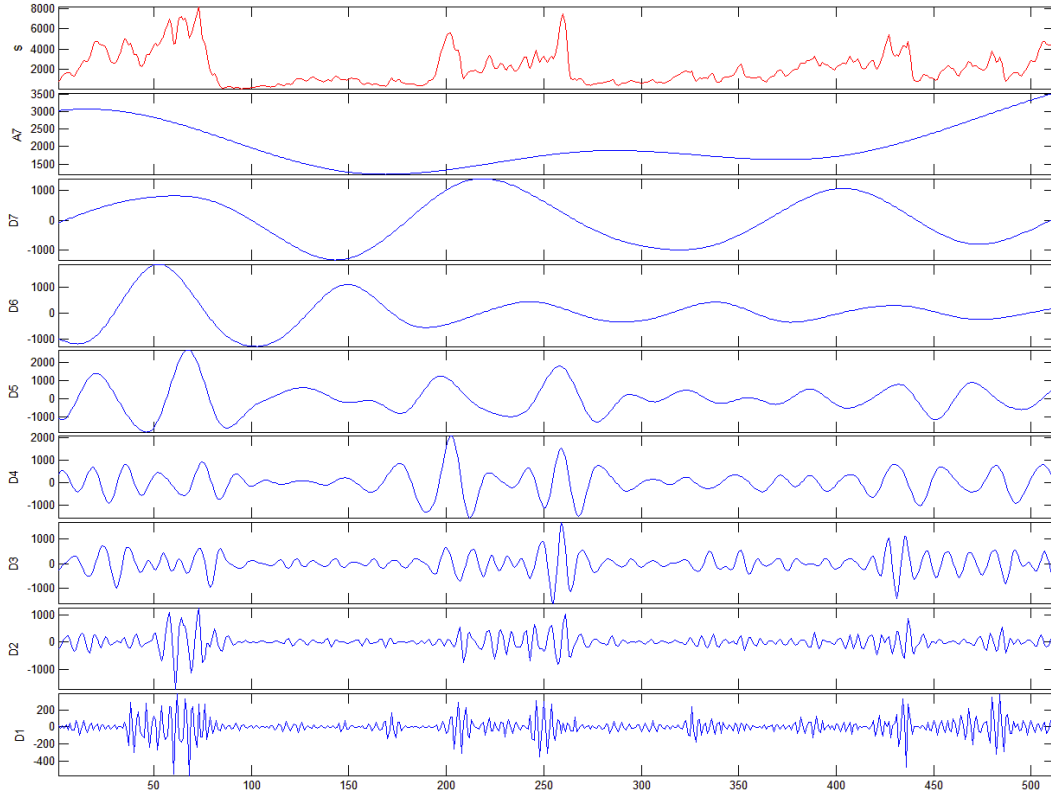
Σημά: Fz_emenegas-3z-2 coil5 διακριτός μετασχηματισμός κυματίου του σήματος. Επίπεδο 7



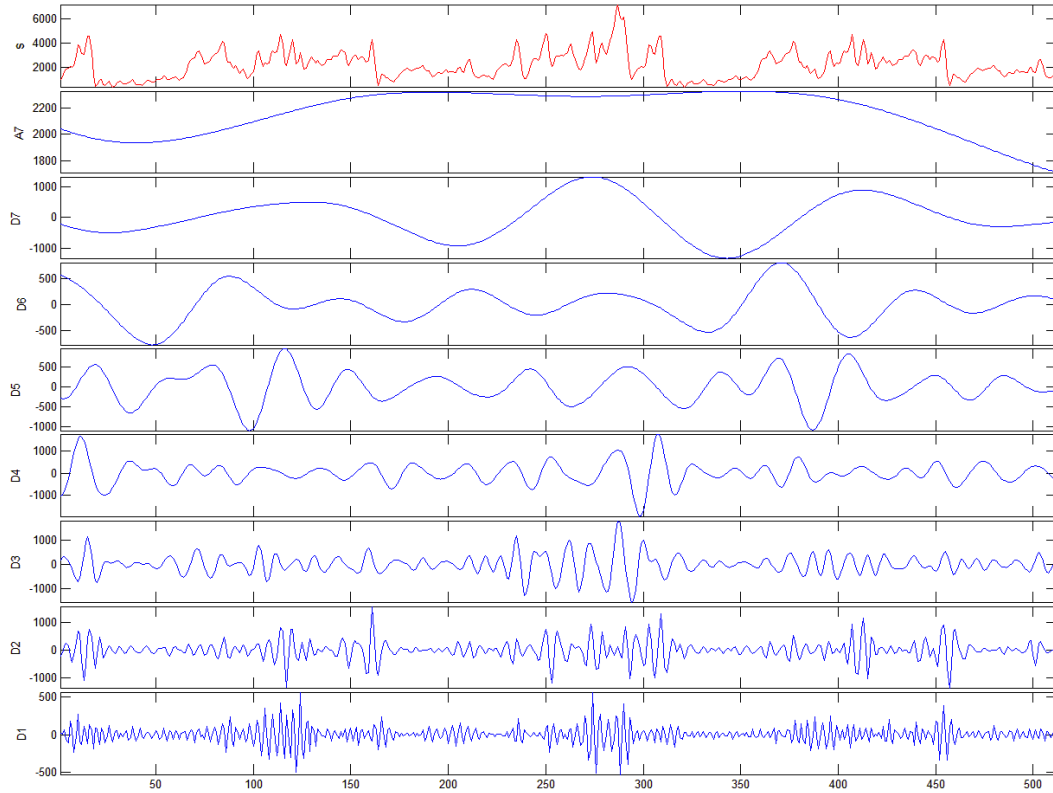
Σημά: Fz_emenegas-3z-3 coil5 διακριτός μετασχηματισμός κυματίδιου του σήματος. Επίπεδο 7



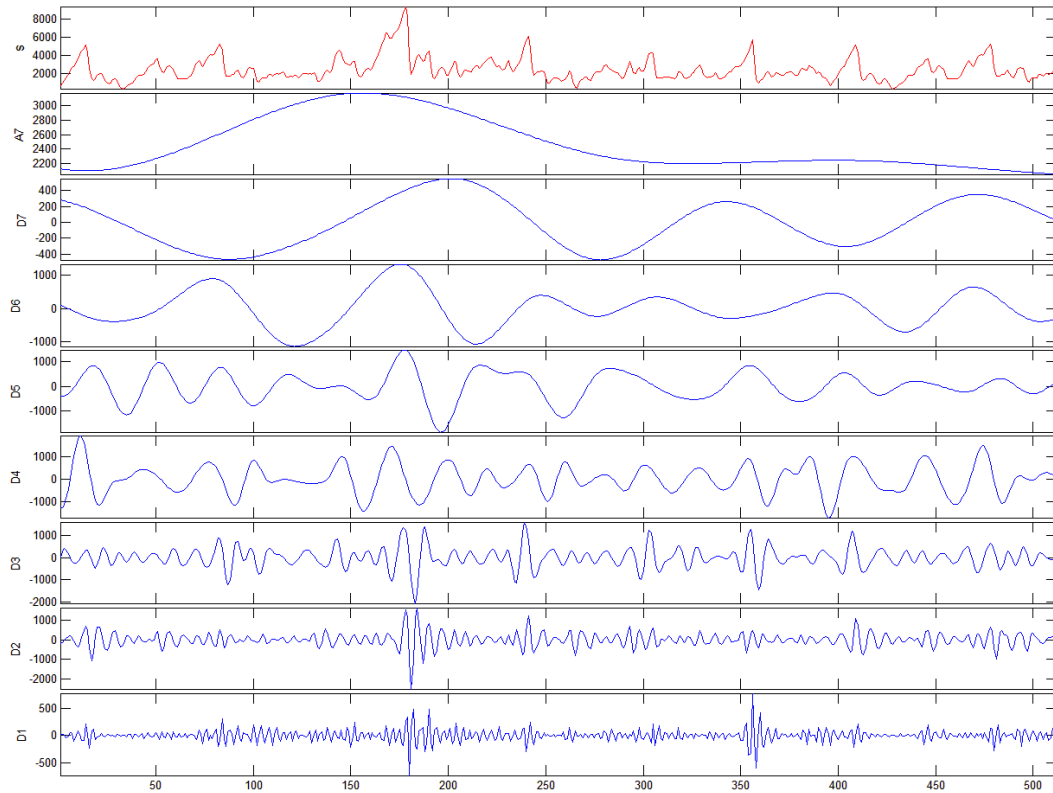
Σημά: Fz_emenegas-3z-4 coil5 διακριτός μετασχηματισμός κυματίδιου του σήματος. Επίπεδο 7



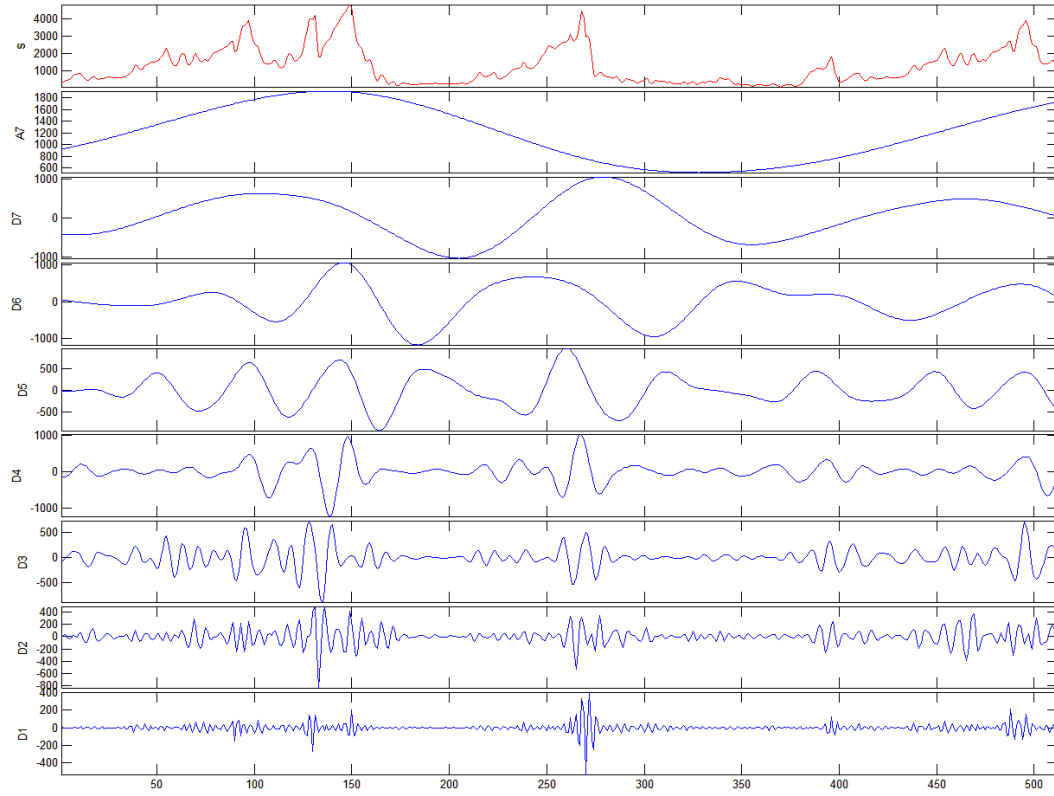
Σημά: Fz_emenegas-5x-1 coil5 διακριτός μετασχηματισμός κυματίου του σήματος. Επίπεδο 7



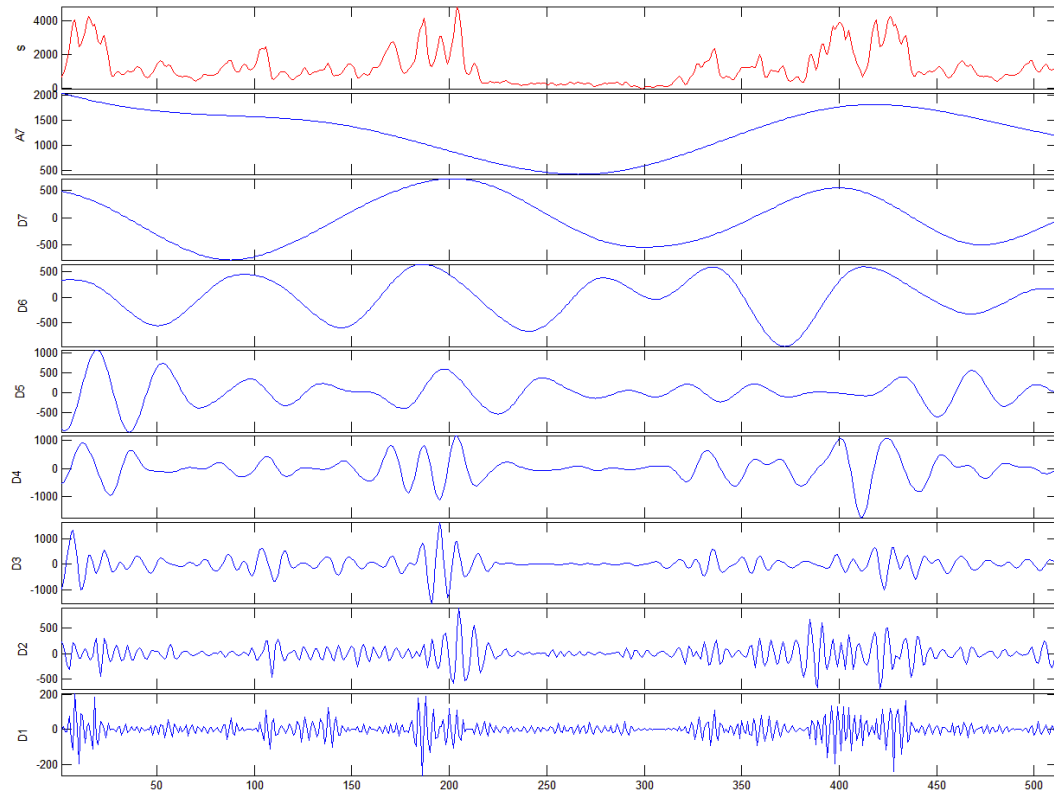
Σημά: Fz_emenegas-5x-2 coil5 διακριτός μετασχηματισμός κυματίου του σήματος. Επίπεδο 7



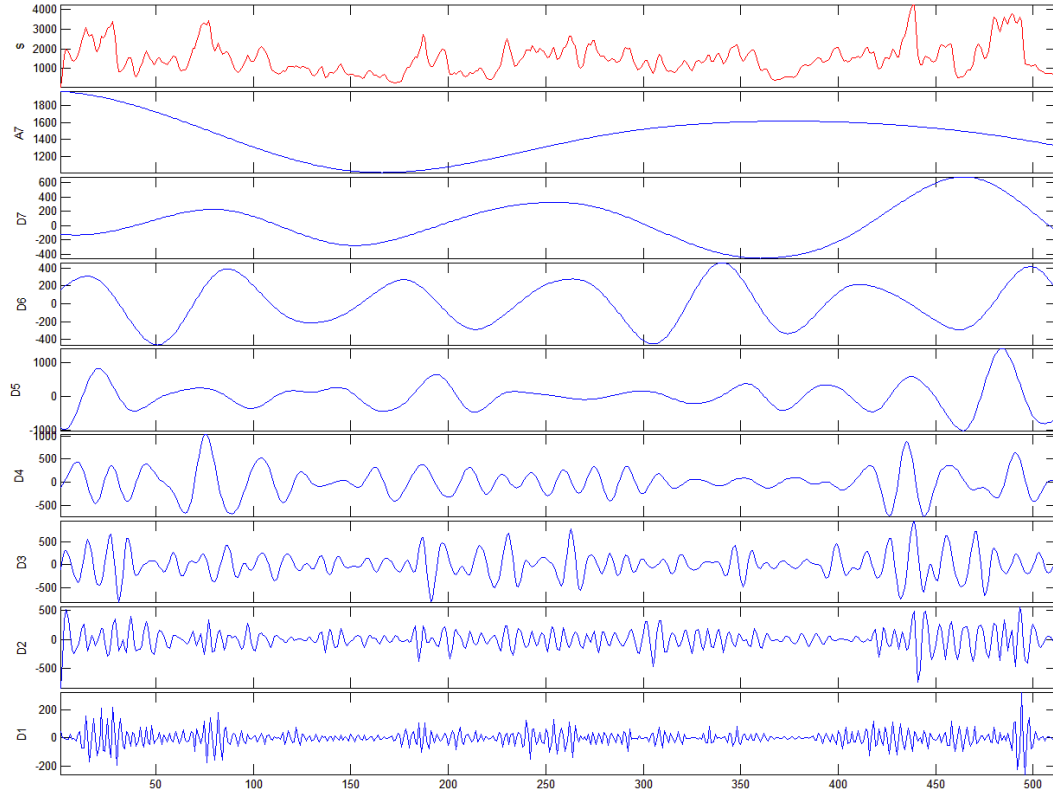
Σημά: Fz_emenegas-5x-3 coil5 διακριτός μετασχηματισμός κυματίου του σήματος. Επίπεδο 7



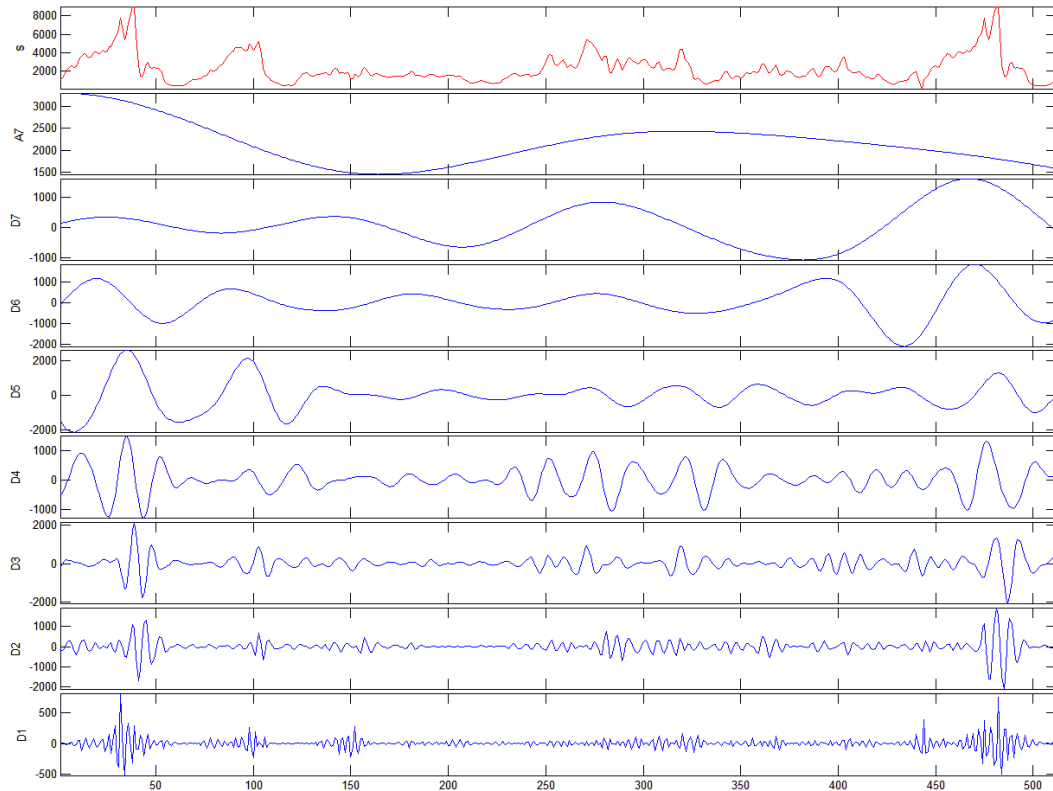
Σημά: Fz_emenegas-5y-1 coil5 διακριτός μετασχηματισμός κυματίου του σήματος. Επίπεδο 7



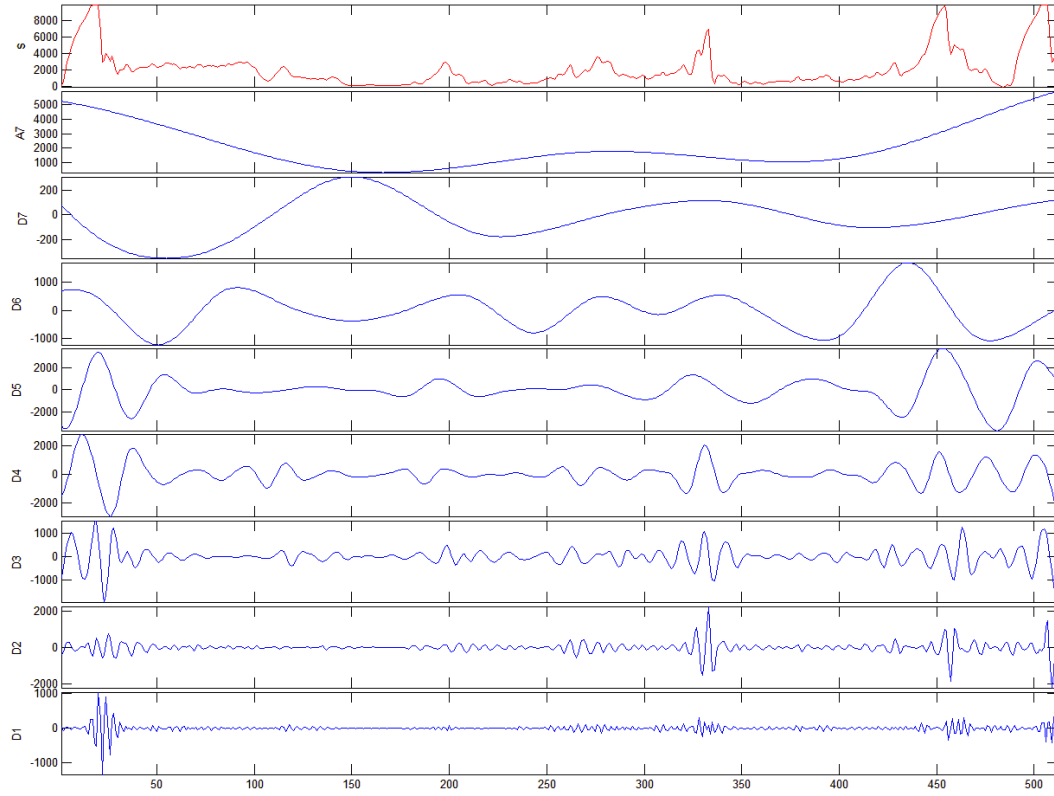
Σημά: Fz_emenegas-5y-2 coil5 διακριτός μετασχηματισμός κυματίου του σήματος. Επίπεδο 7



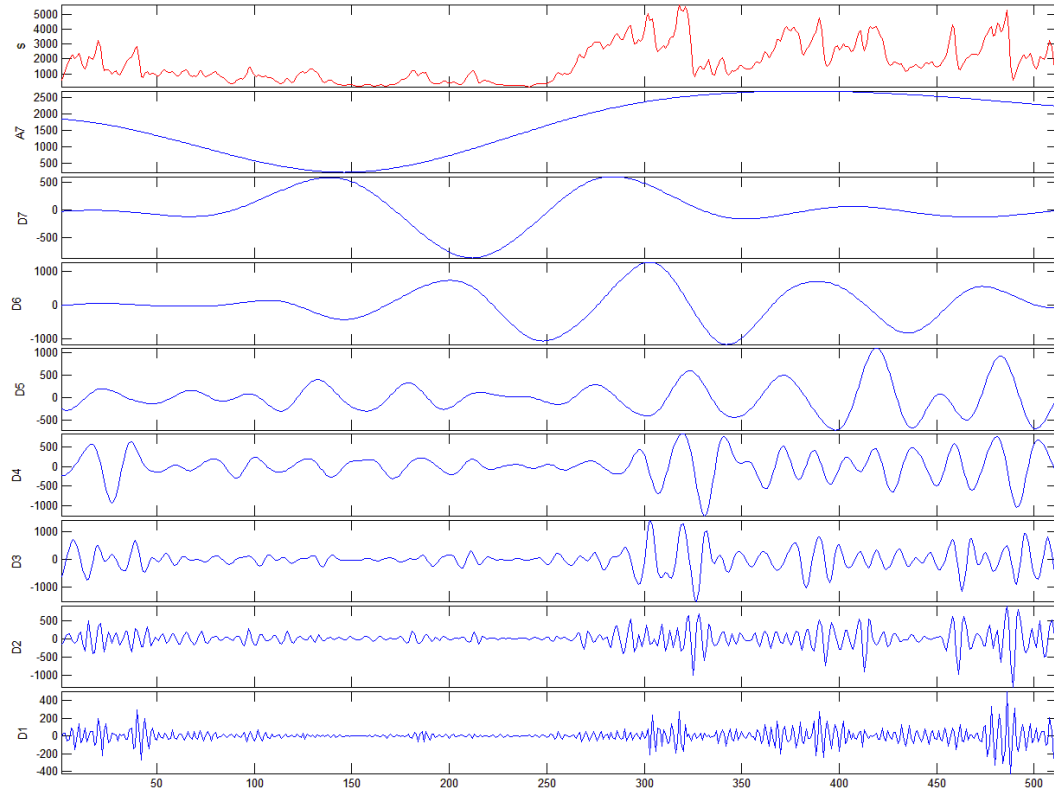
Σημά: Fz_emenegas-5y-3 coil5 διακριτός μετασχηματισμός κυματίου του σήματος. Επίπεδο 7



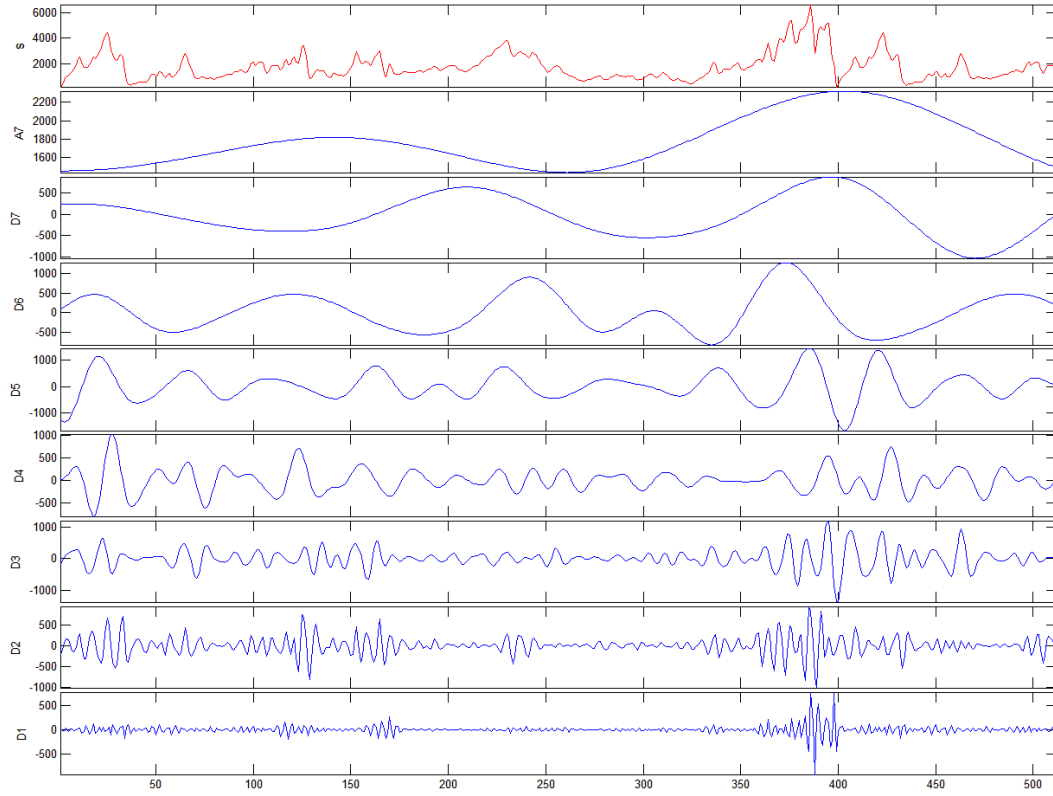
Σημά: Fz_emenegas-5y-4 coil5 διακριτός μετασχηματισμός κυματίου του σήματος. Επίπεδο 7



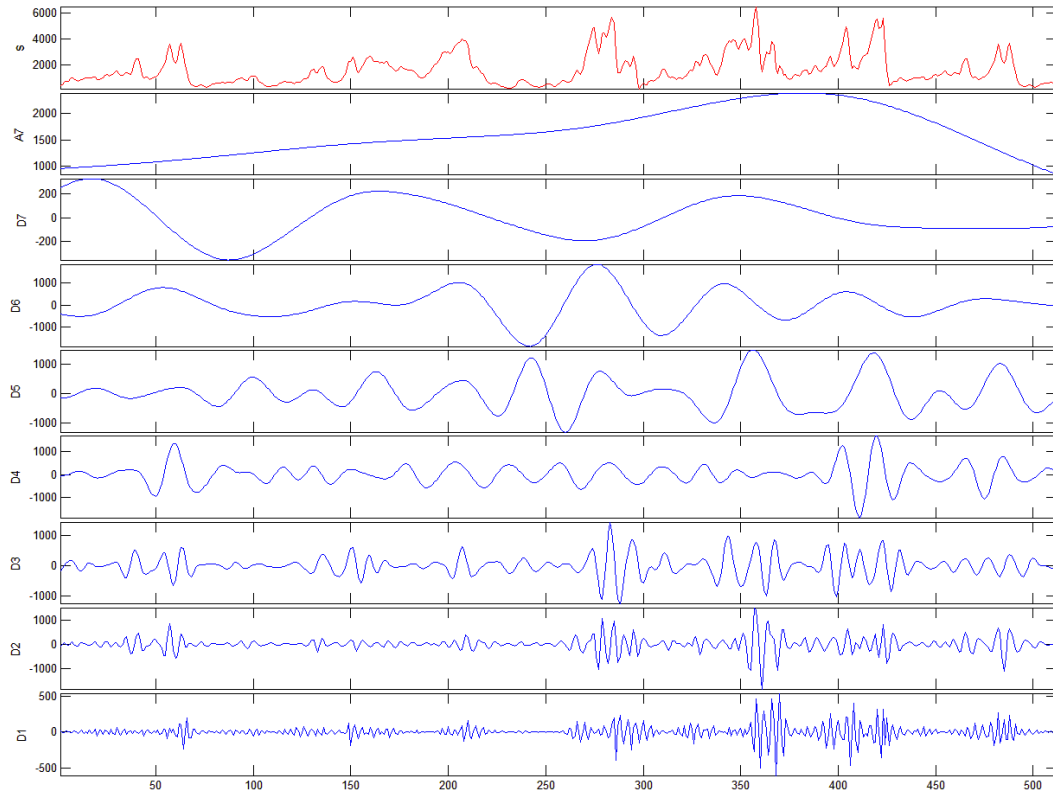
Σημά: Fz_emenegas-5z-1 coil5 διακριτός μετασχηματισμός κυματίου του σήματος. Επίπεδο 7



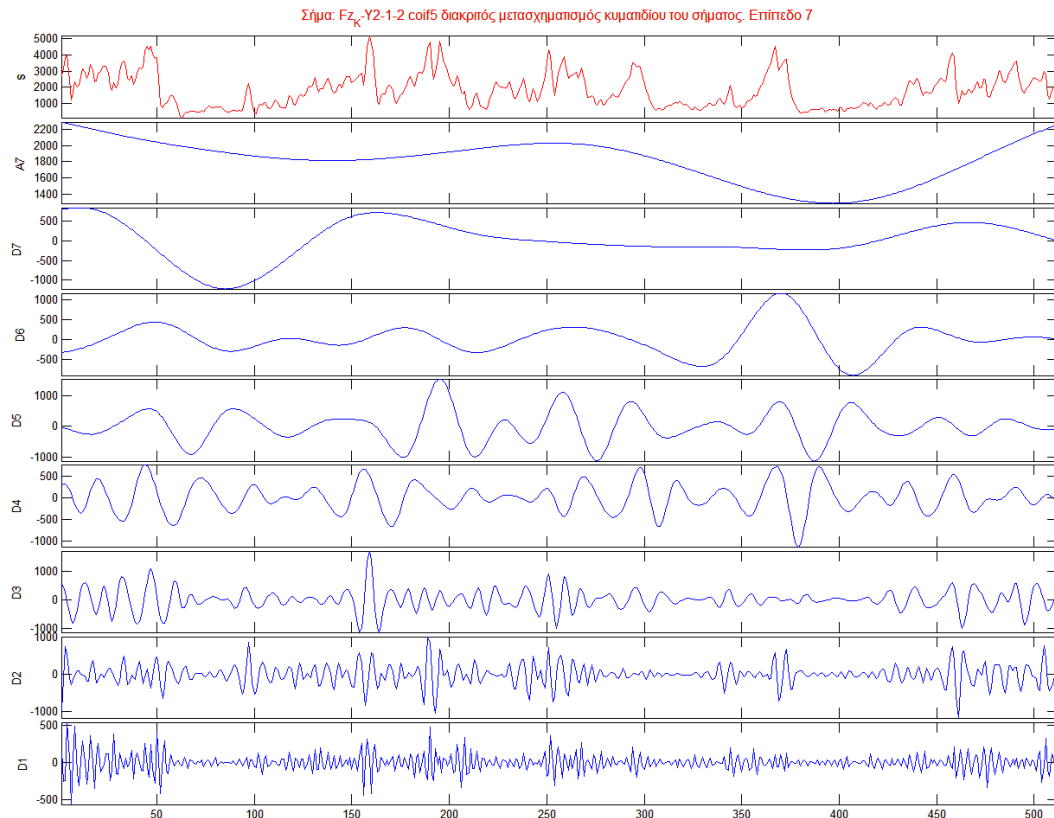
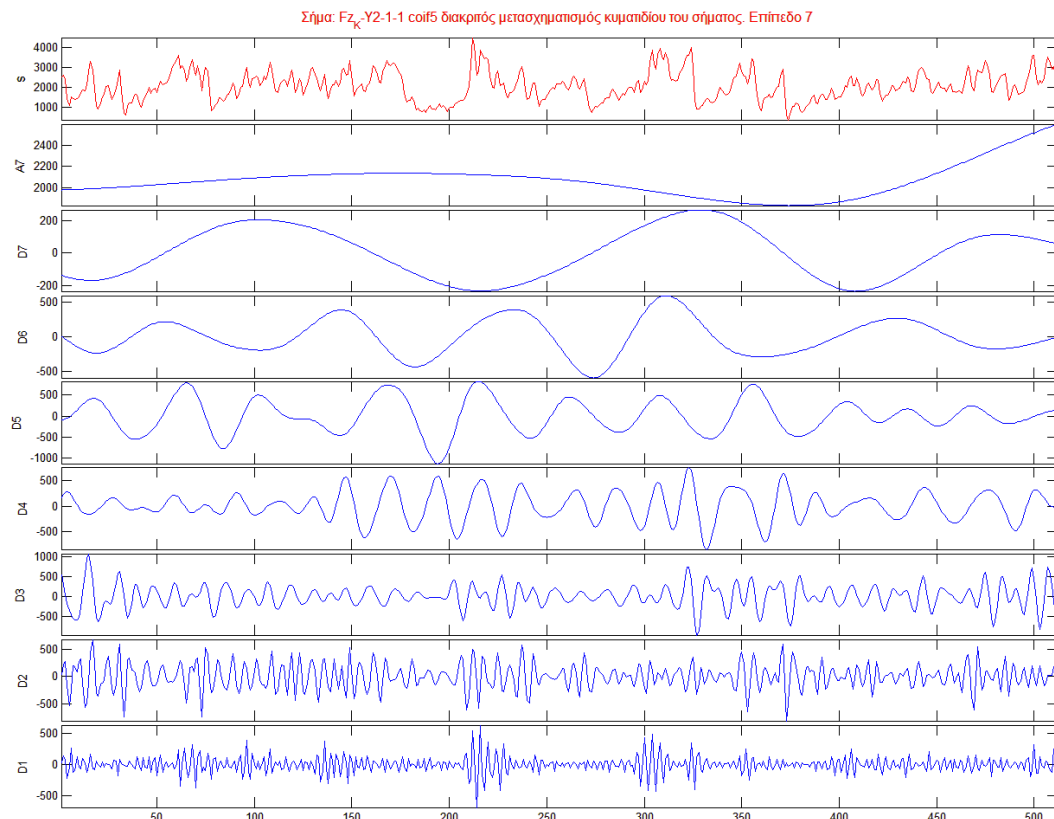
Σημά: Fz_emenegas-5z-2 coil5 διακριτός μετασχηματισμός κυματίου του σήματος. Επίπεδο 7



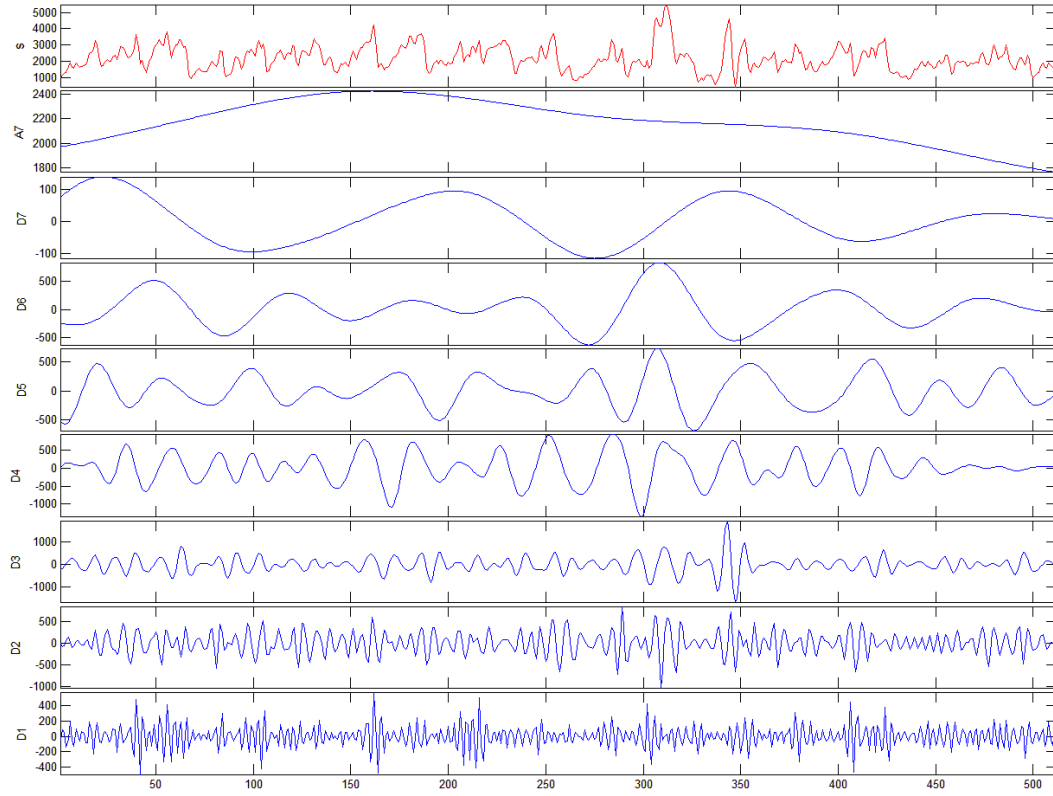
Σημά: Fz_emenegas-5z-3 coil5 διακριτός μετασχηματισμός κυματίου του σήματος. Επίπεδο 7



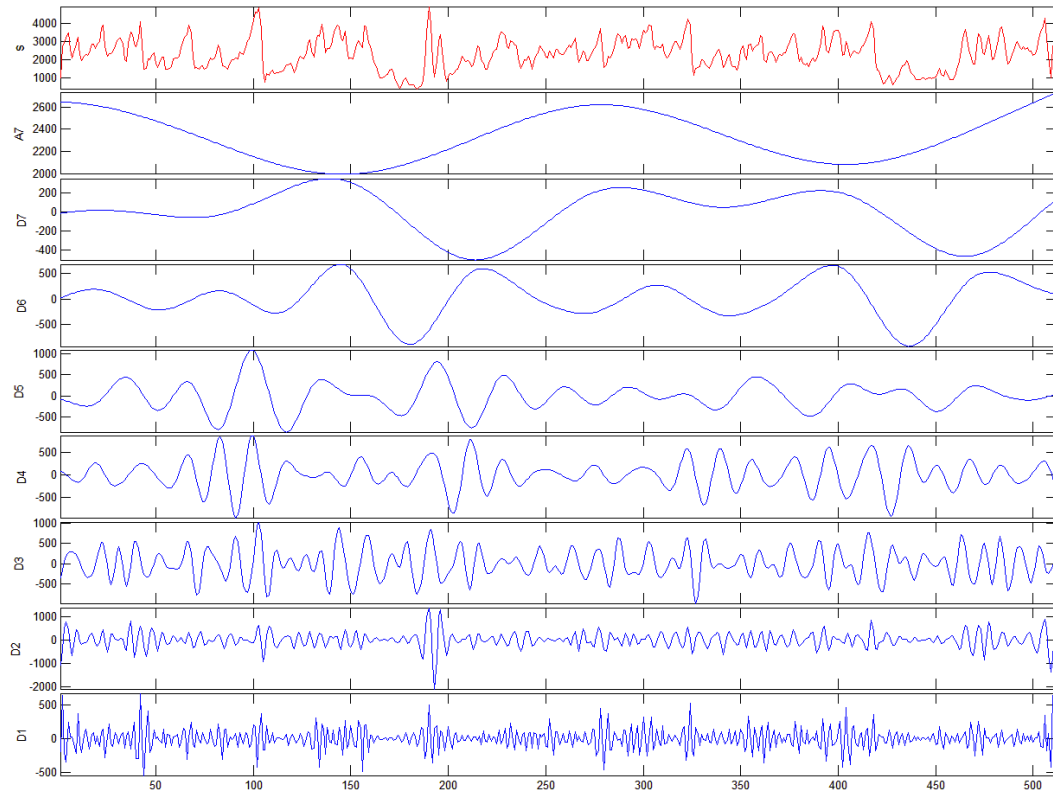
- Ψαμμίτης με ενστρώσεις ασβεστιτικού υλικού από τους παχυστρωματώδεις ψαμμίτες της ζώνης του φλύσχη της Πίνδου - (*psam*).



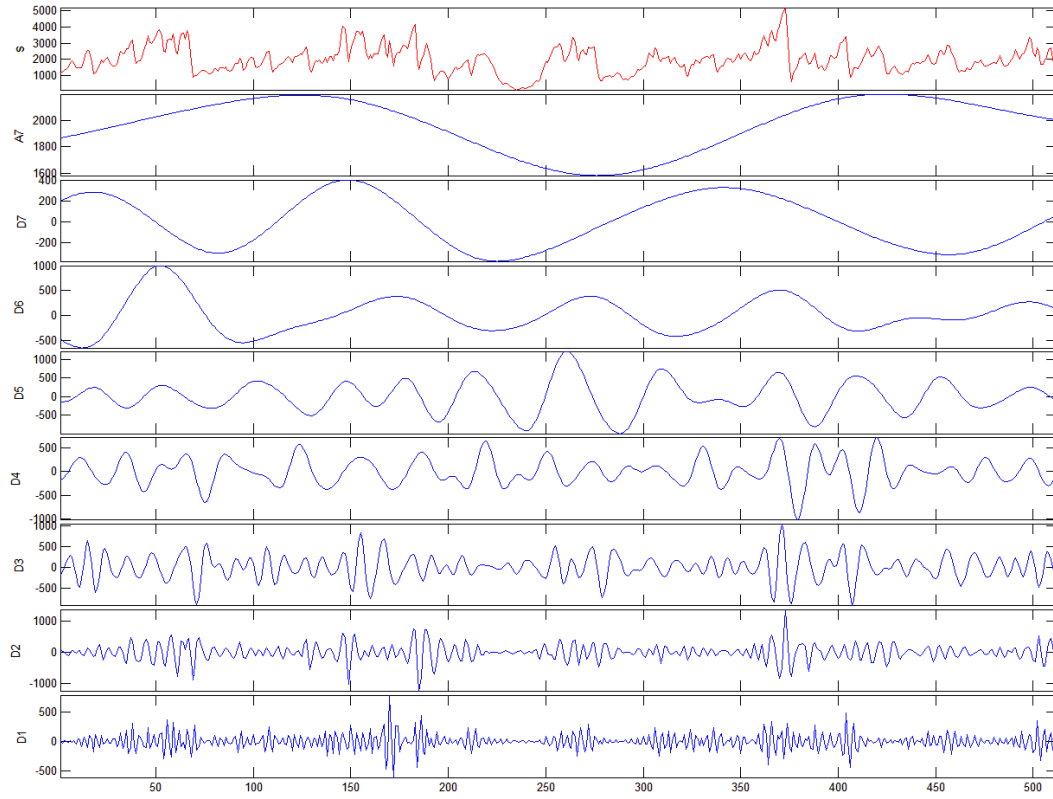
Σήμα: Fz_κ-Y2-1-3 coil5 διακριτός μετασχηματισμός κυματιδίου του σήματος. Επίπεδο 7



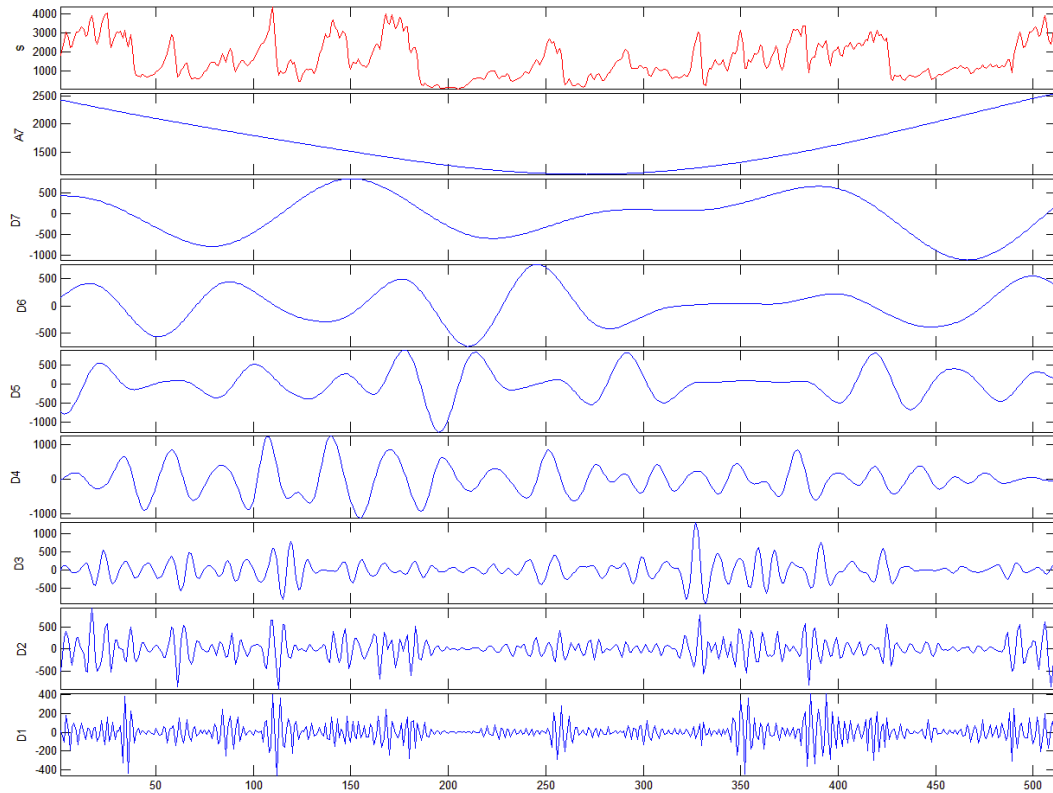
Σήμα: Fz_κ-Y2-1-4 coil5 διακριτός μετασχηματισμός κυματιδίου του σήματος. Επίπεδο 7



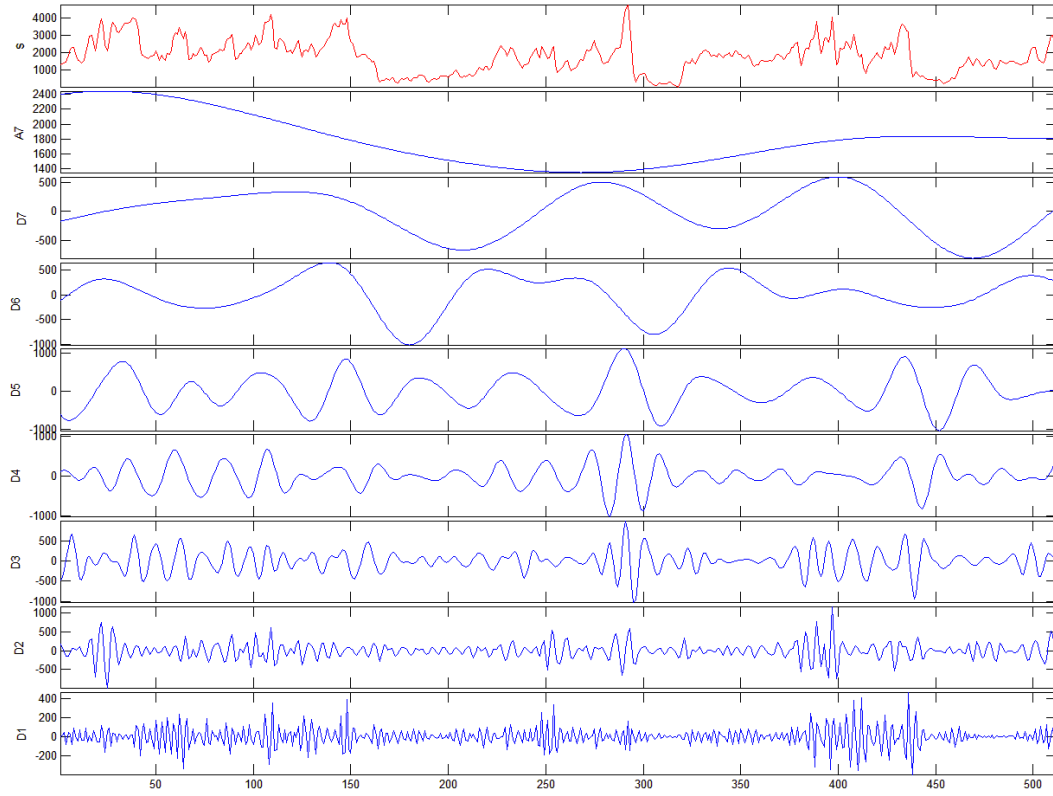
Σήμα: Fz_κ-Y2-2-1 coil5 διακριτός μετασχηματισμός κυμαθδίου του σήματος. Επίπεδο 7



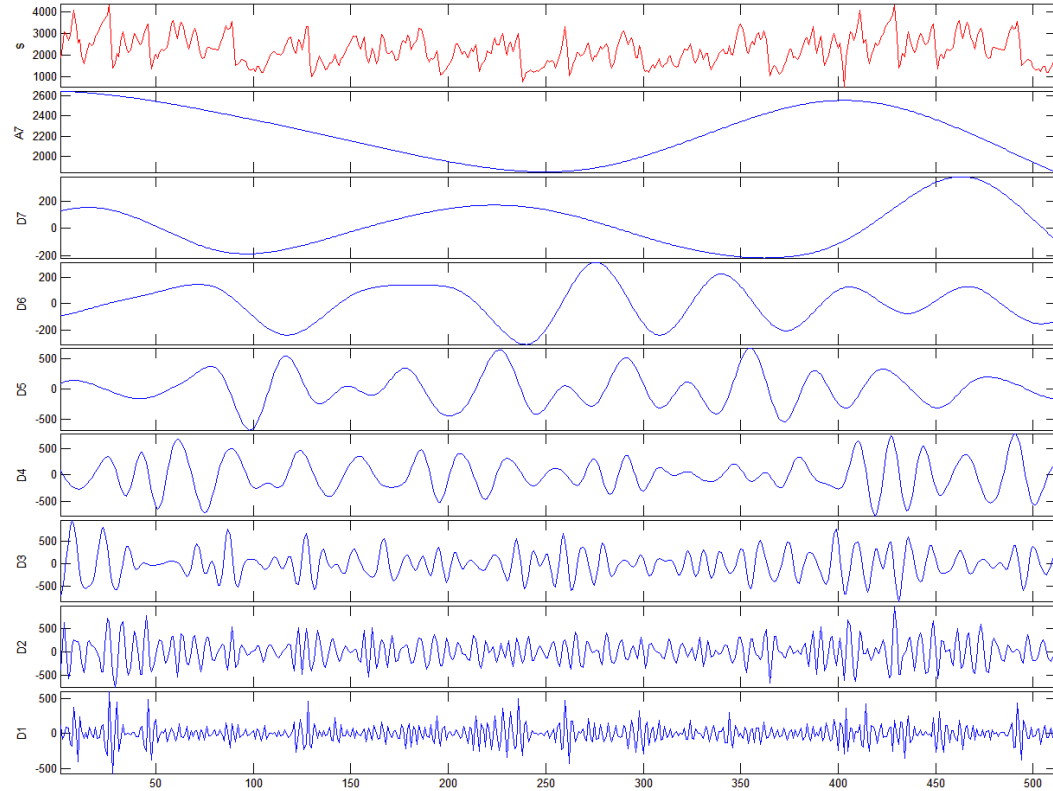
Σήμα: Fz_κ-Y2-2-2 coil5 διακριτός μετασχηματισμός κυμαθδίου του σήματος. Επίπεδο 7

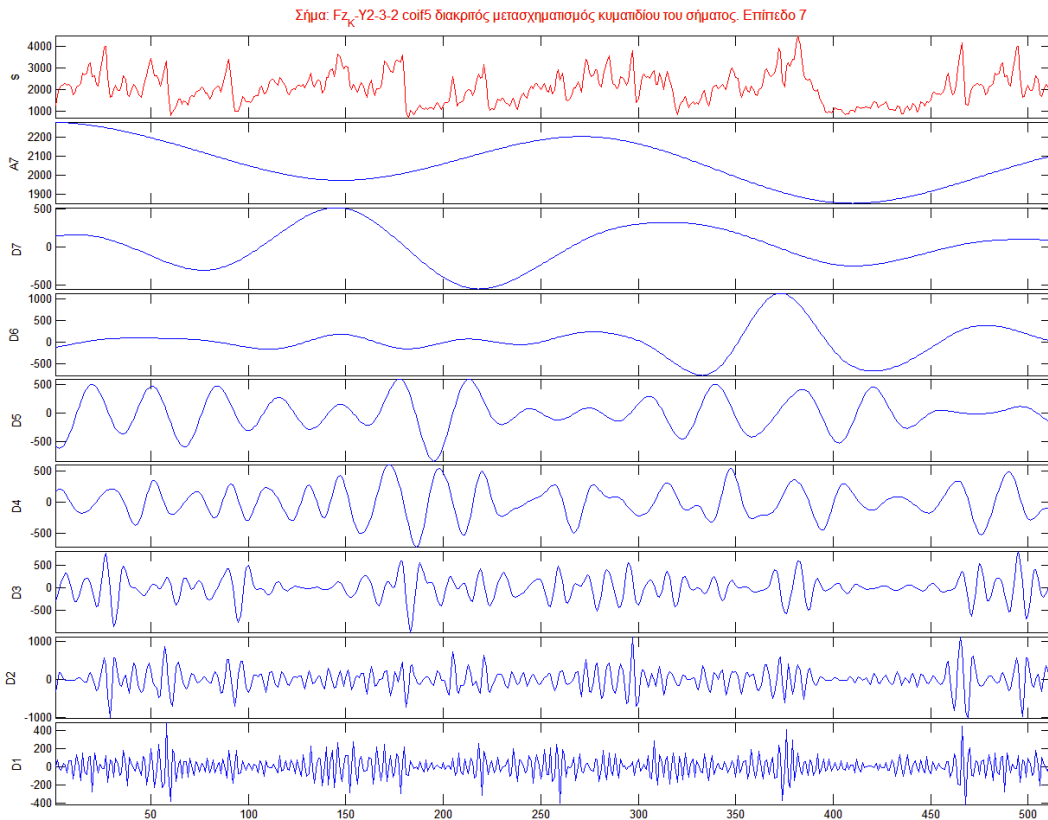
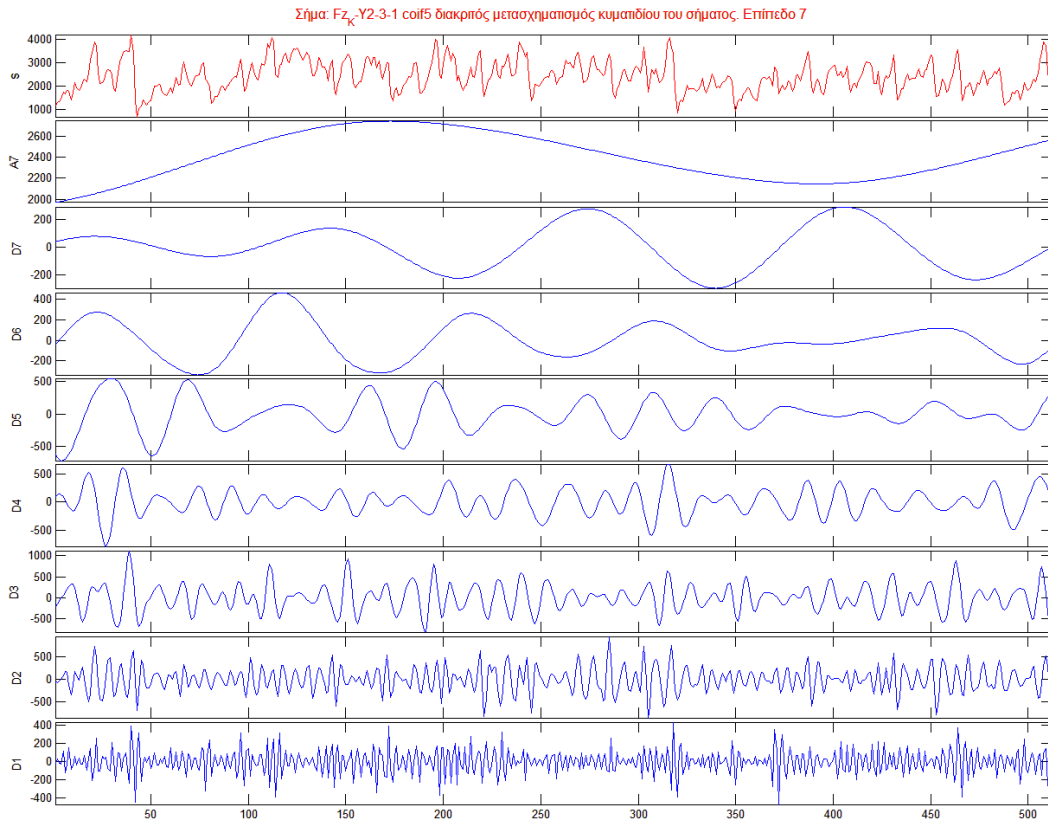


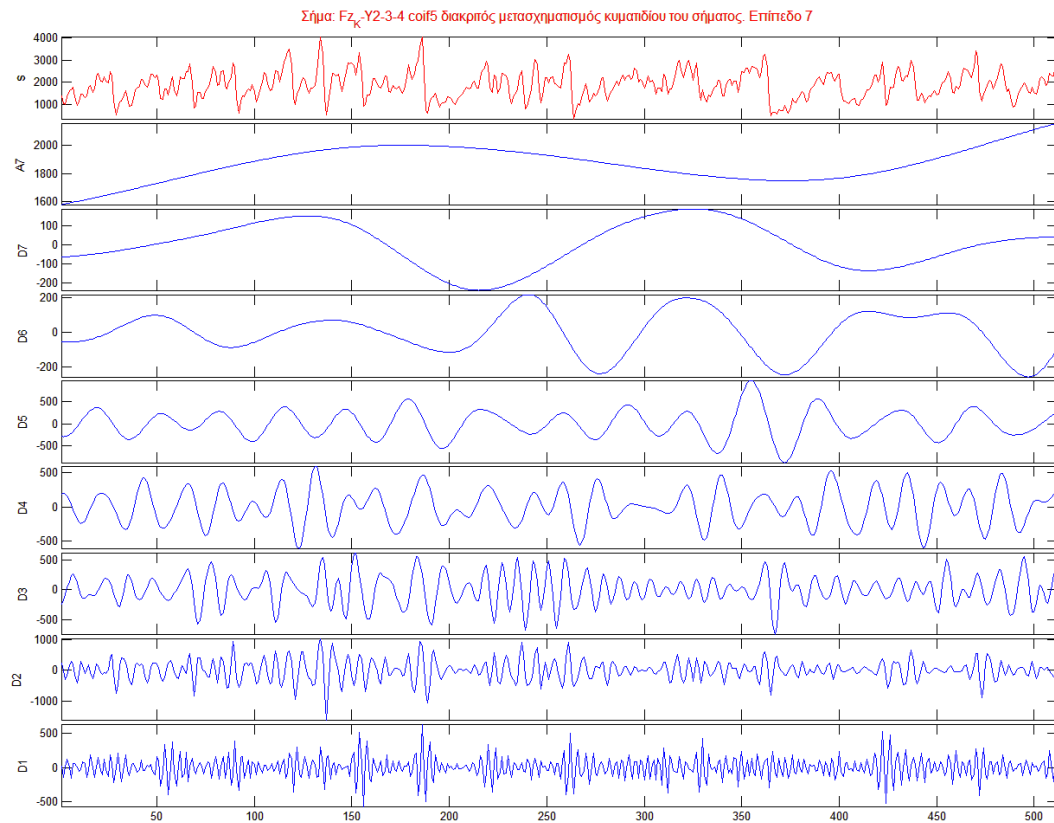
Σήμα: Fz_γ-Y2-2.3 coil5 διακριτός μετασχηματισμός κυμαθδίου του σήματος. Επίπεδο 7



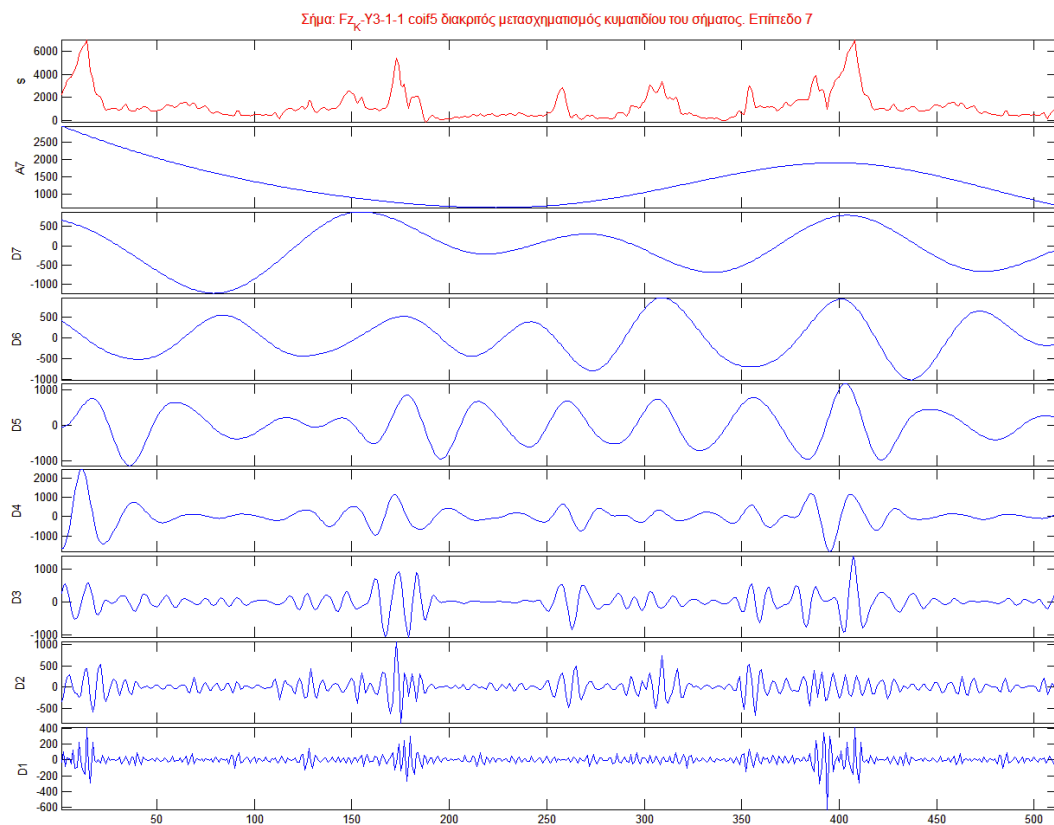
Σήμα: Fz_γ-Y2-2.4 coil5 διακριτός μετασχηματισμός κυμαθδίου του σήματος. Επίπεδο 7



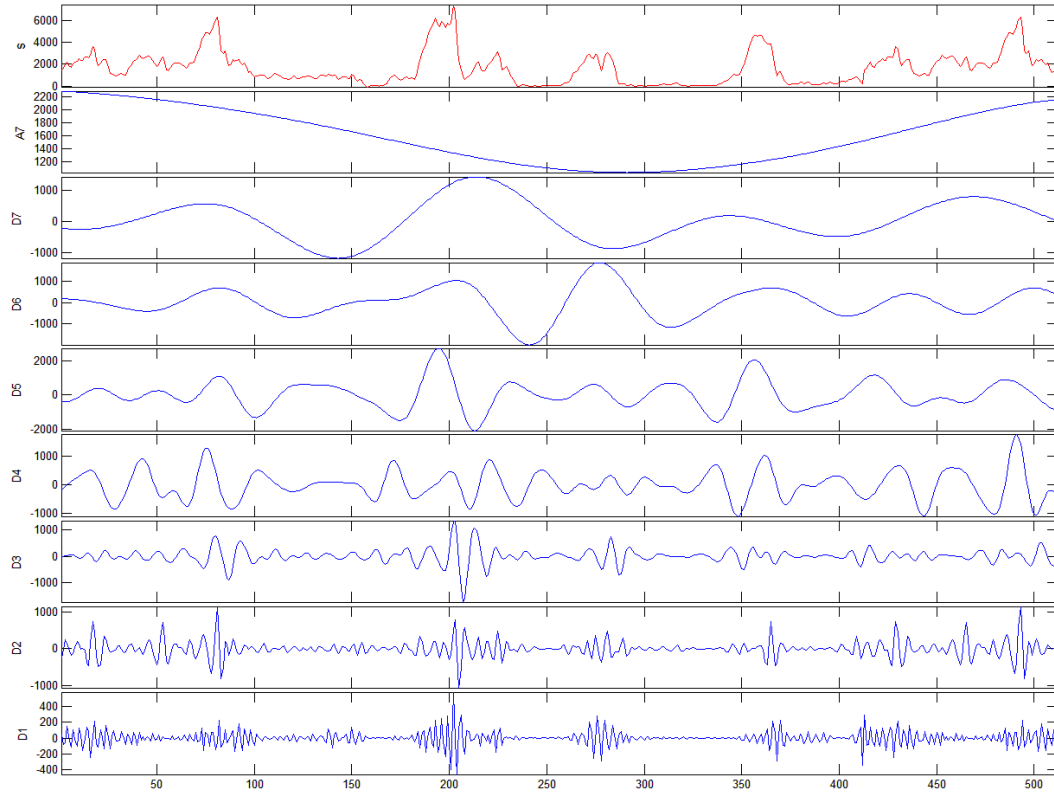




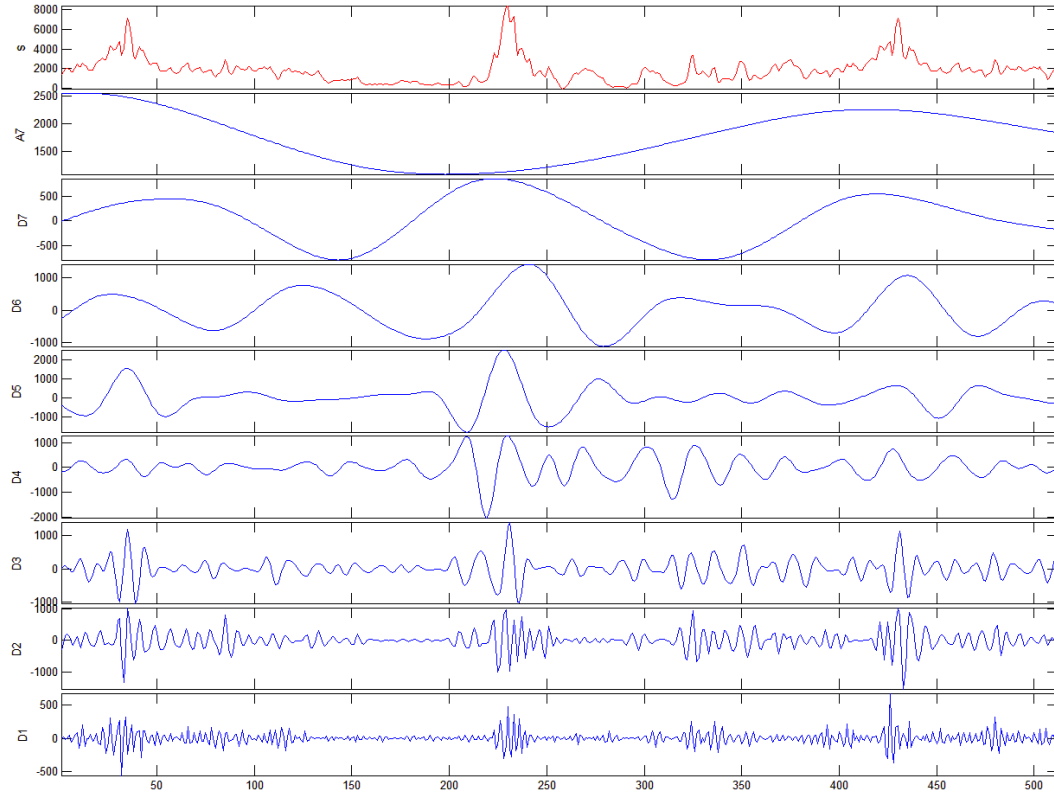
- Συμπαγής ψαμμούχος στρωματώδης ιλιόλιθος σε επαφή με ψαμμούχο ασβεστόλιθο με ασβεστιτικές ενστρώσεις, από την ενότητα του πινδικού φλύσχη - (*ilio*)



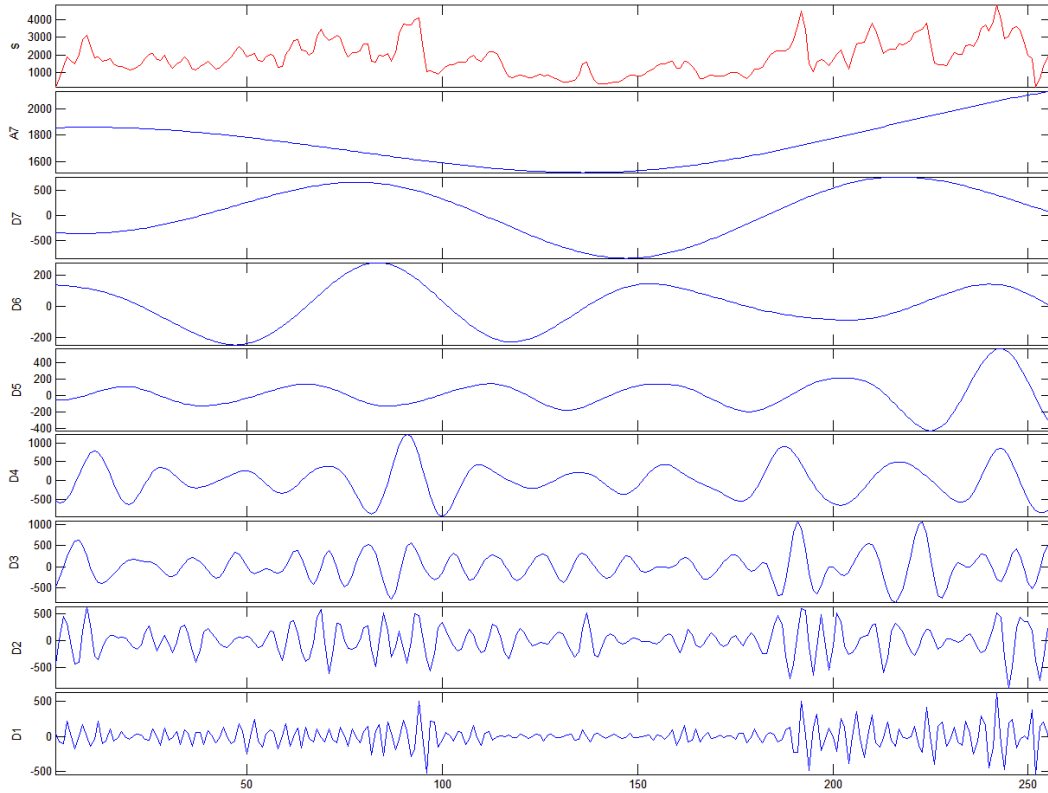
Σήμα: Fz_κ-Y3-1-2 coil5 διακριτός μετασχηματισμός κυματίδιου του σήματος. Επίπεδο 7



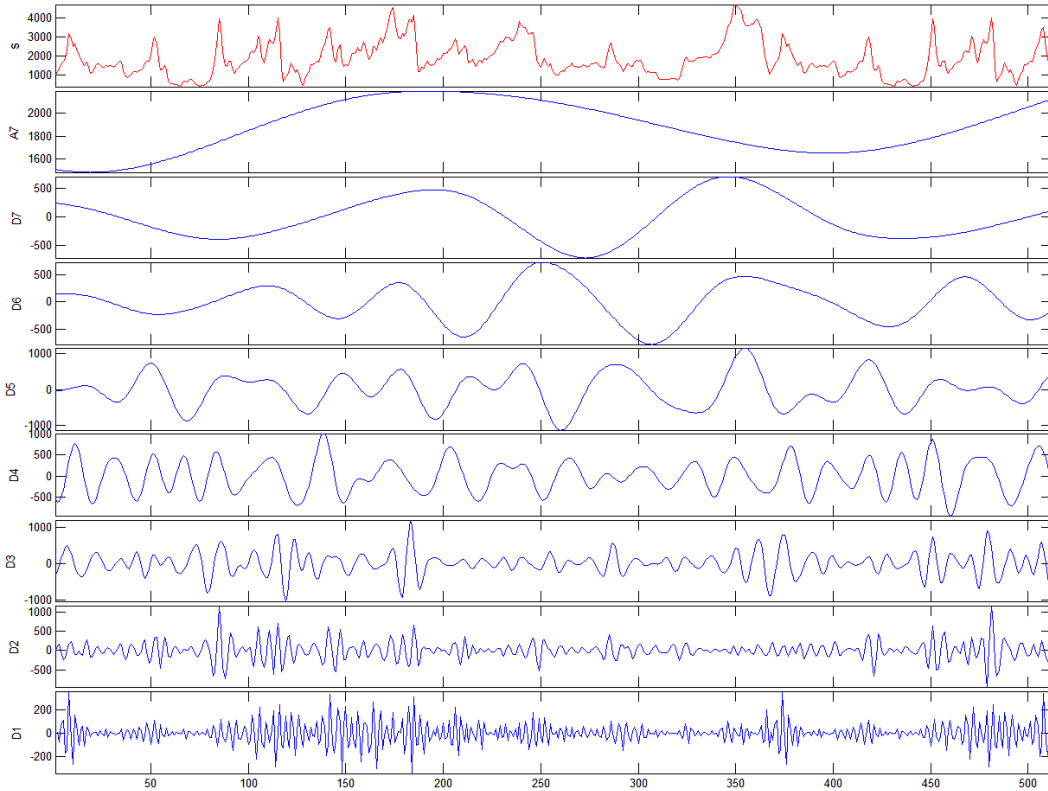
Σήμα: Fz_κ-Y3-1-3 coil5 διακριτός μετασχηματισμός κυματίδιου του σήματος. Επίπεδο 7



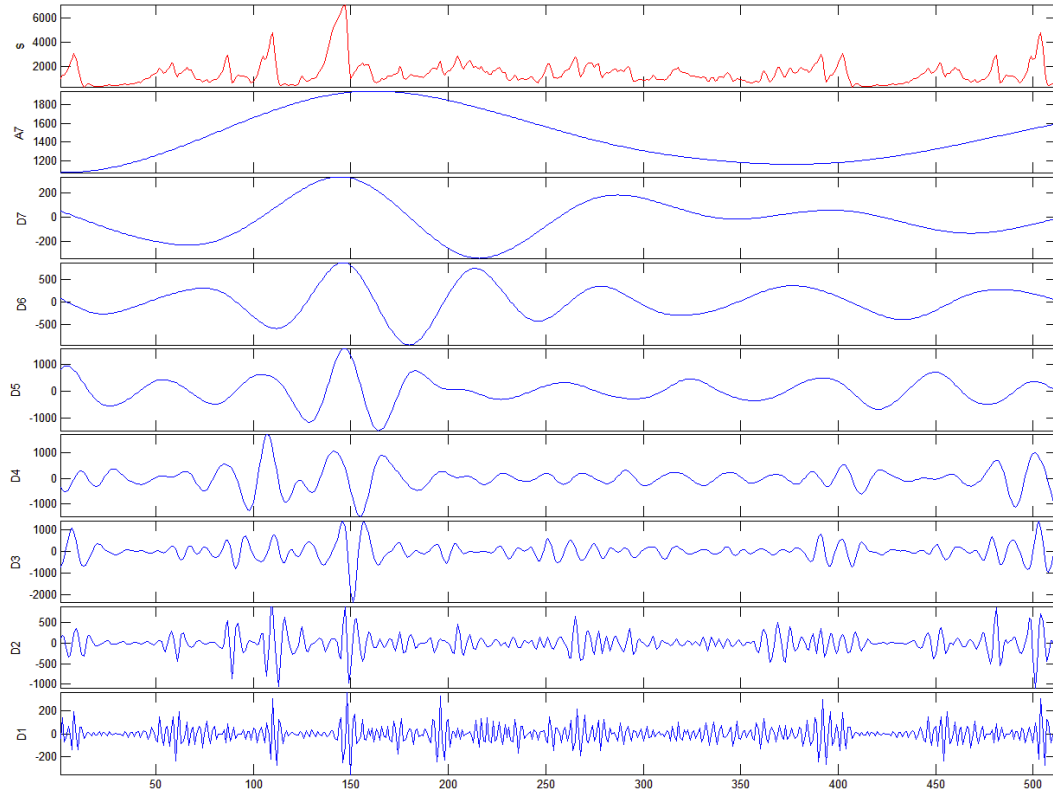
Σήμα: Fz_κ-Y3-1-4 coil5 διακριτός μετασχηματισμός κυματίδιου του σήματος. Επίπεδο 7



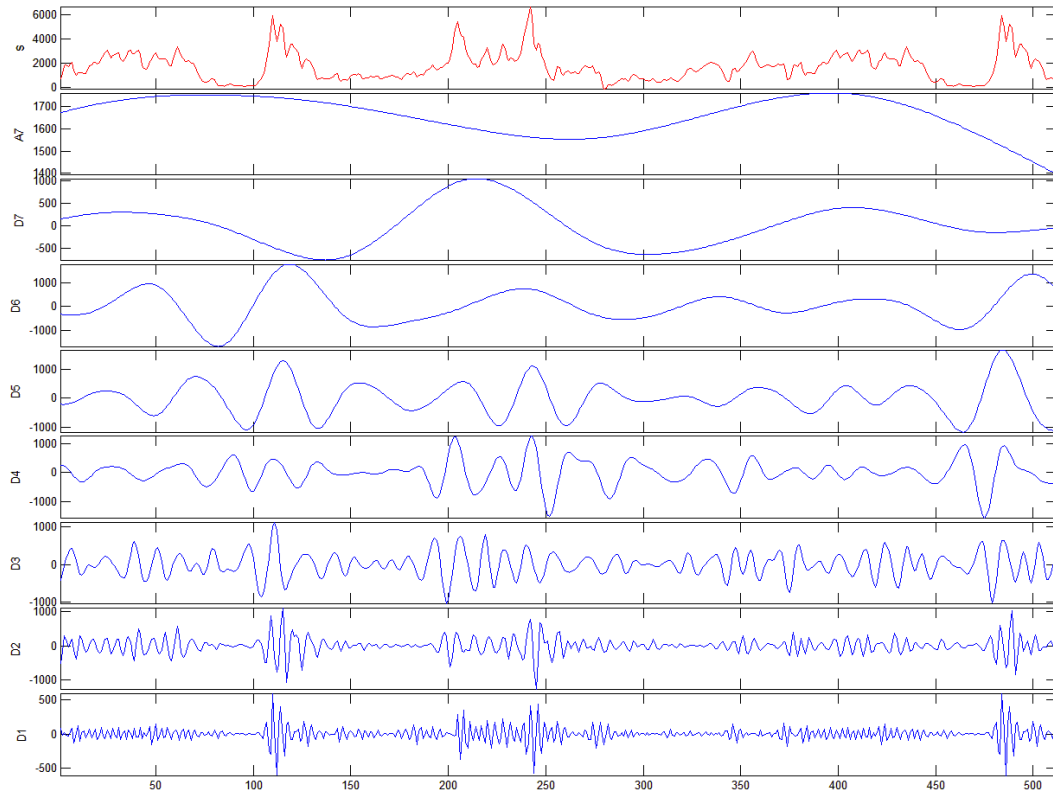
Σήμα: Fz_κ-Y3-2-1 coil5 διακριτός μετασχηματισμός κυματίδιου του σήματος. Επίπεδο 7



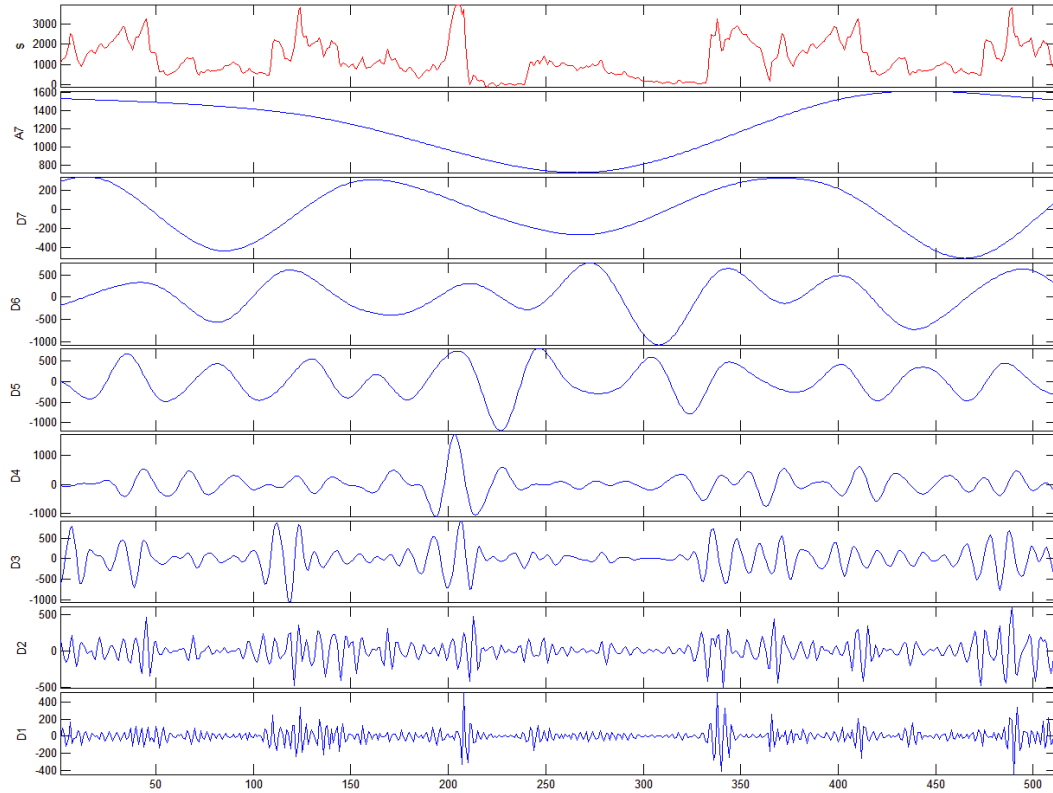
Σήμα: Fz_κ-γ3-2-2 coil5 διακριτός μετασχηματισμός κυματίδιου του σήματος. Επίπεδο 7



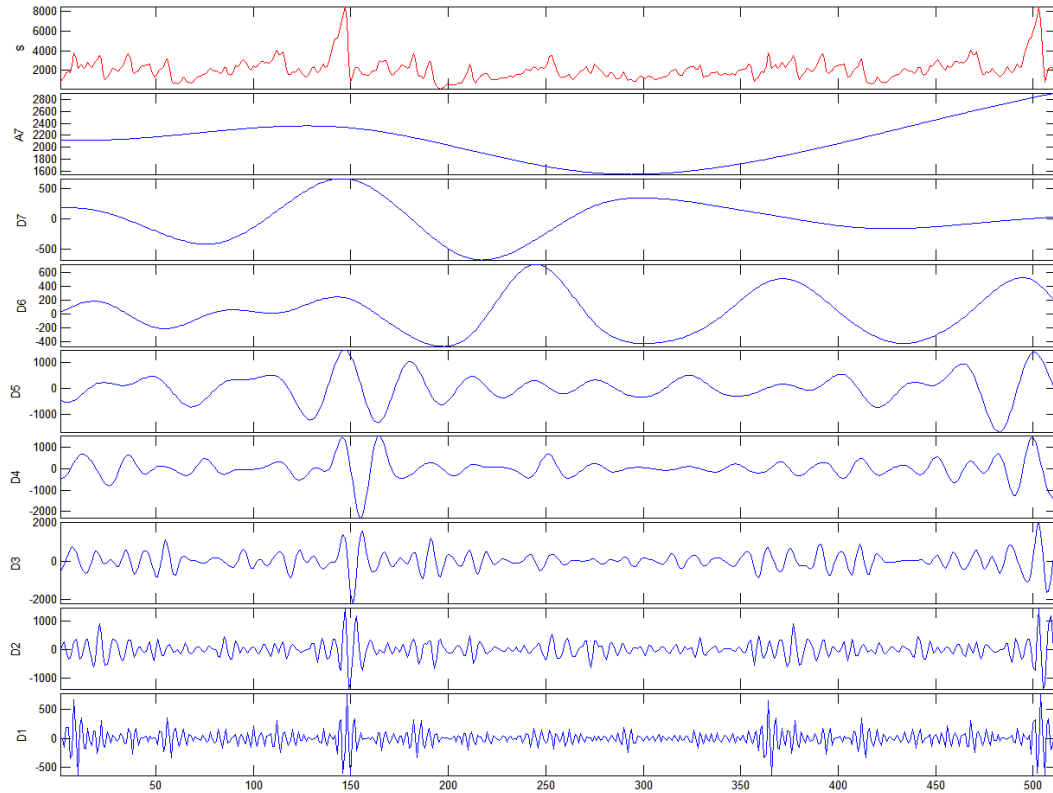
Σήμα: Fz_κ-γ3-2-3 coil5 διακριτός μετασχηματισμός κυματίδιου του σήματος. Επίπεδο 7



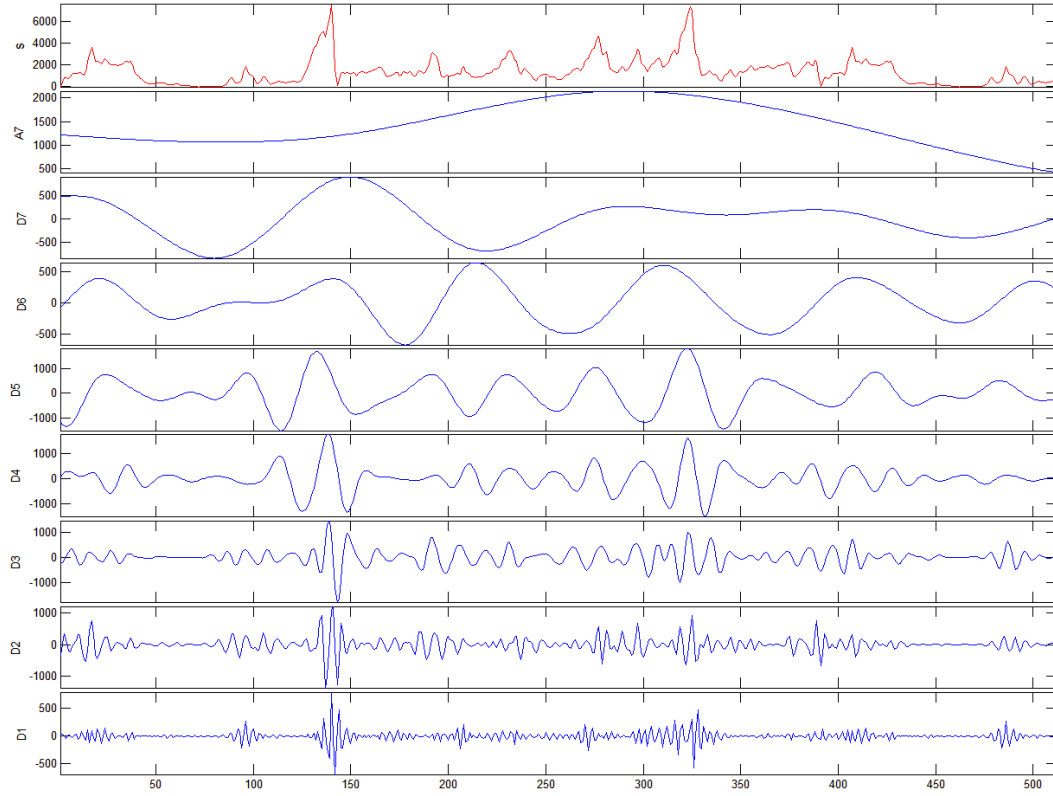
Σήμα: Fz_κ-Υ3-3-1 coil5 διακριτός μετασχηματισμός κυματίδιου του σήματος. Επίπεδο 7



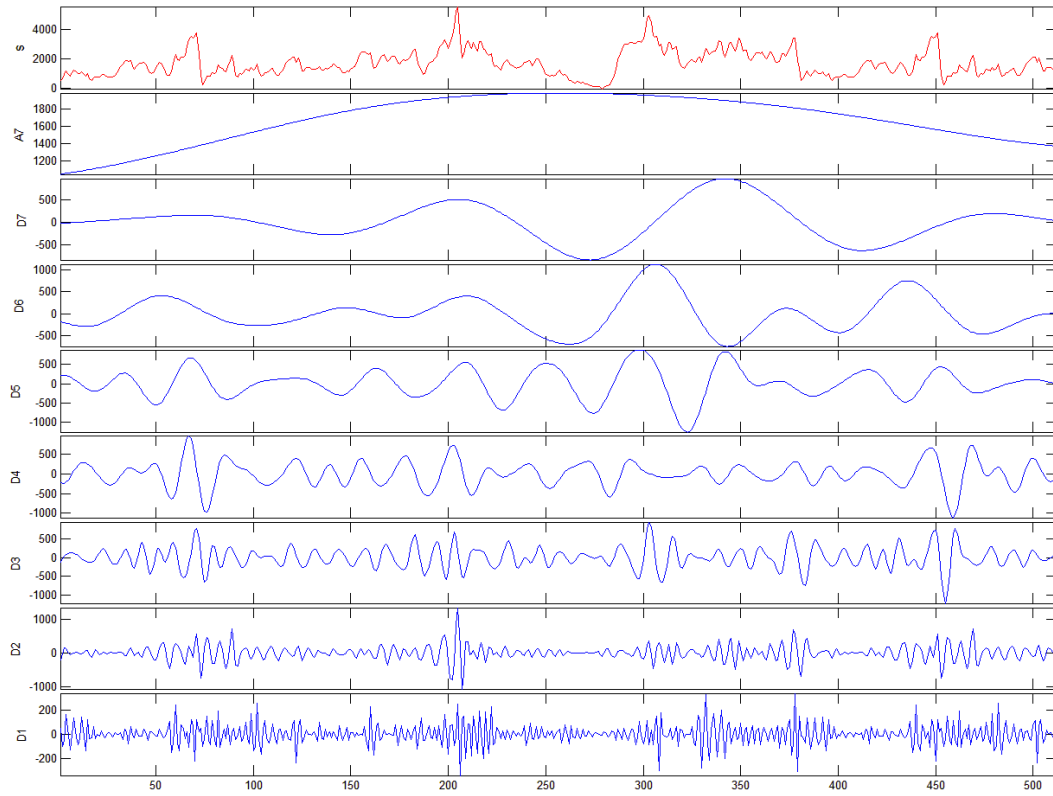
Σήμα: Fz_κ-Υ3-3-2 coil5 διακριτός μετασχηματισμός κυματίδιου του σήματος. Επίπεδο 7



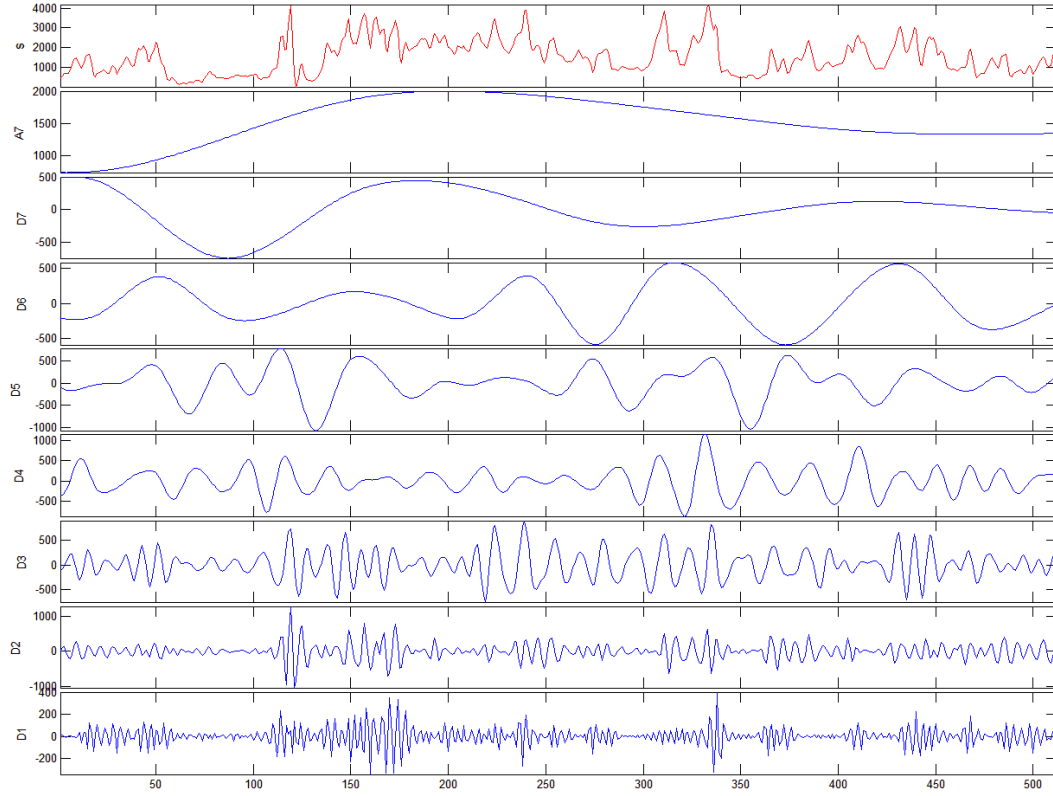
Σήμα: Fz_κ-Y3-3-3 coil5 διακριτός μετασχηματισμός κυματίδιου του σήματος. Επίπεδο 7



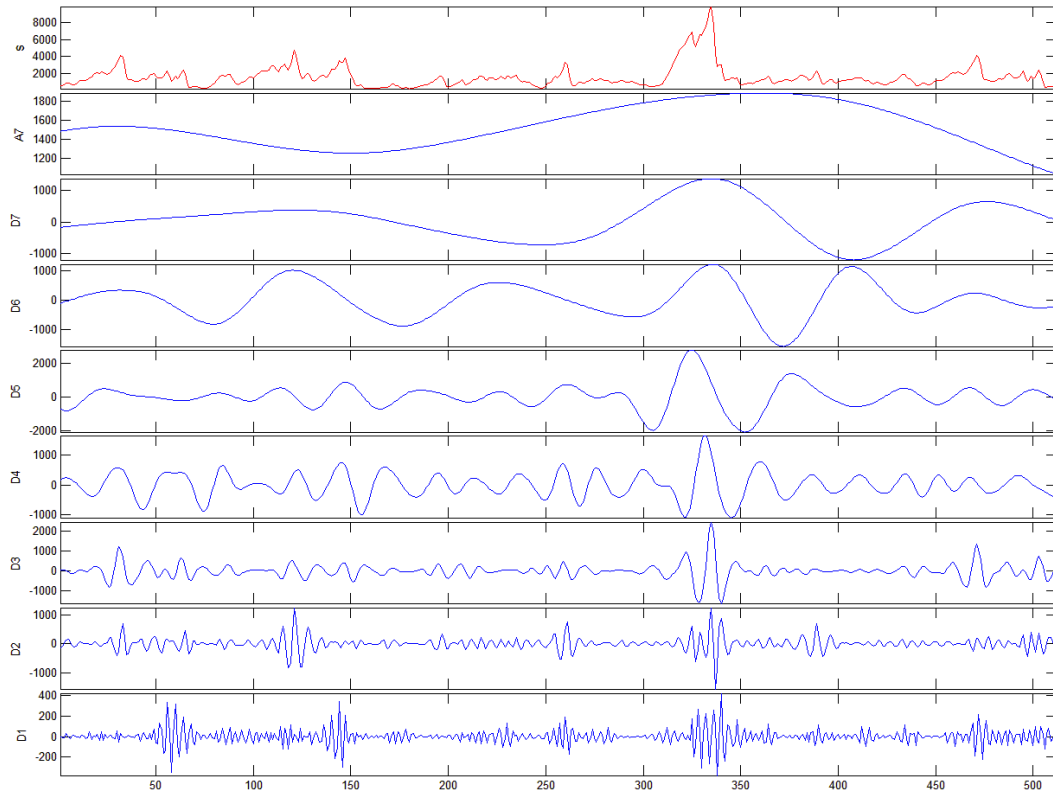
Σήμα: Fz_κ-Y3-3-4 coil5 διακριτός μετασχηματισμός κυματίδιου του σήματος. Επίπεδο 7



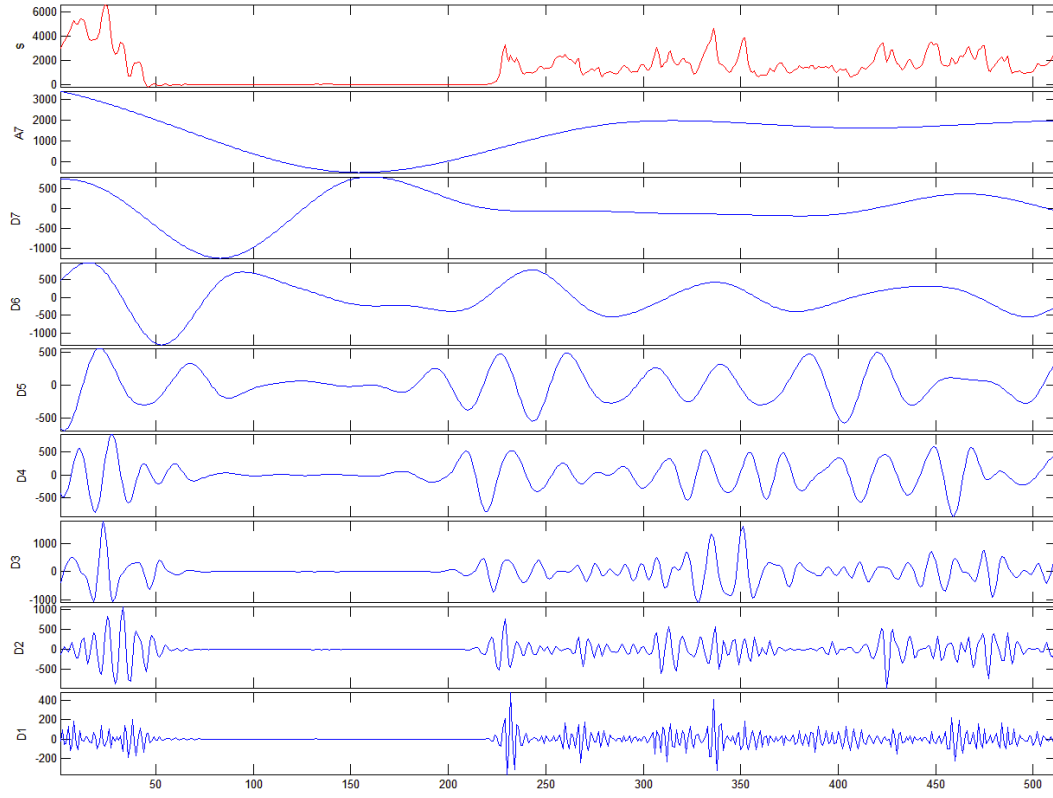
Σήμα: Fz_Y4-1-2 coil5 διακριτός μετασχηματισμός κυματίδιου του σήματος. Επίπεδο 7



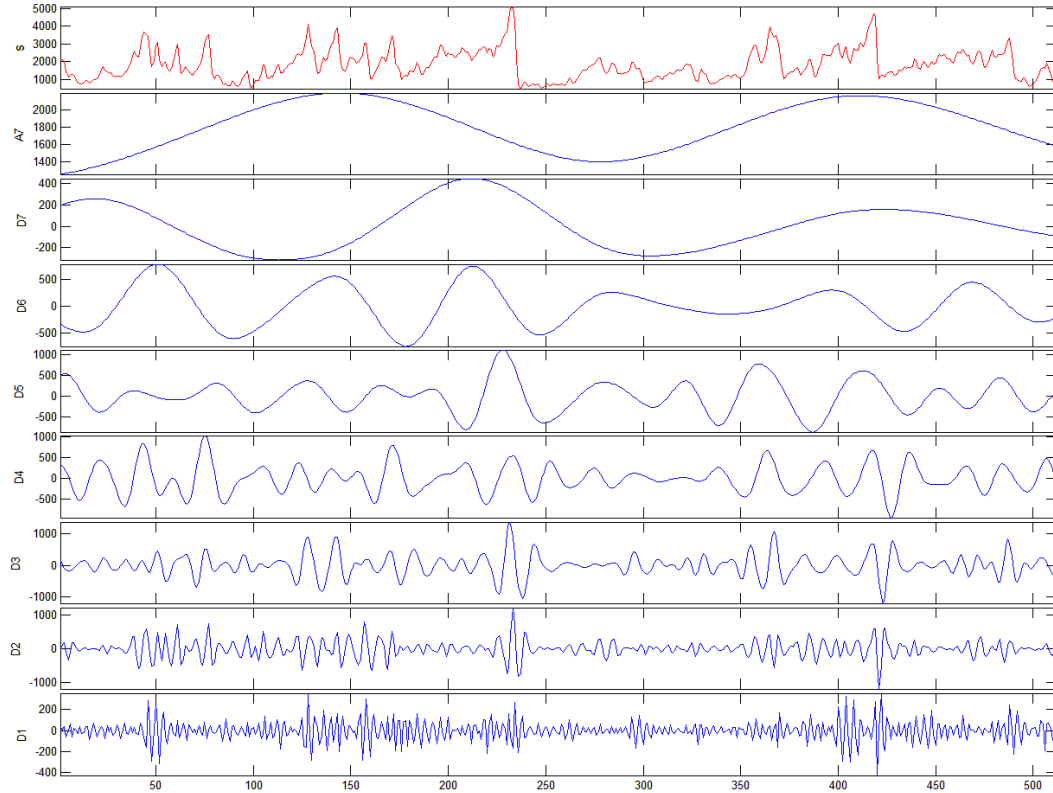
Σήμα: Fz_Y4-1-3 coil5 διακριτός μετασχηματισμός κυματίδιου του σήματος. Επίπεδο 7



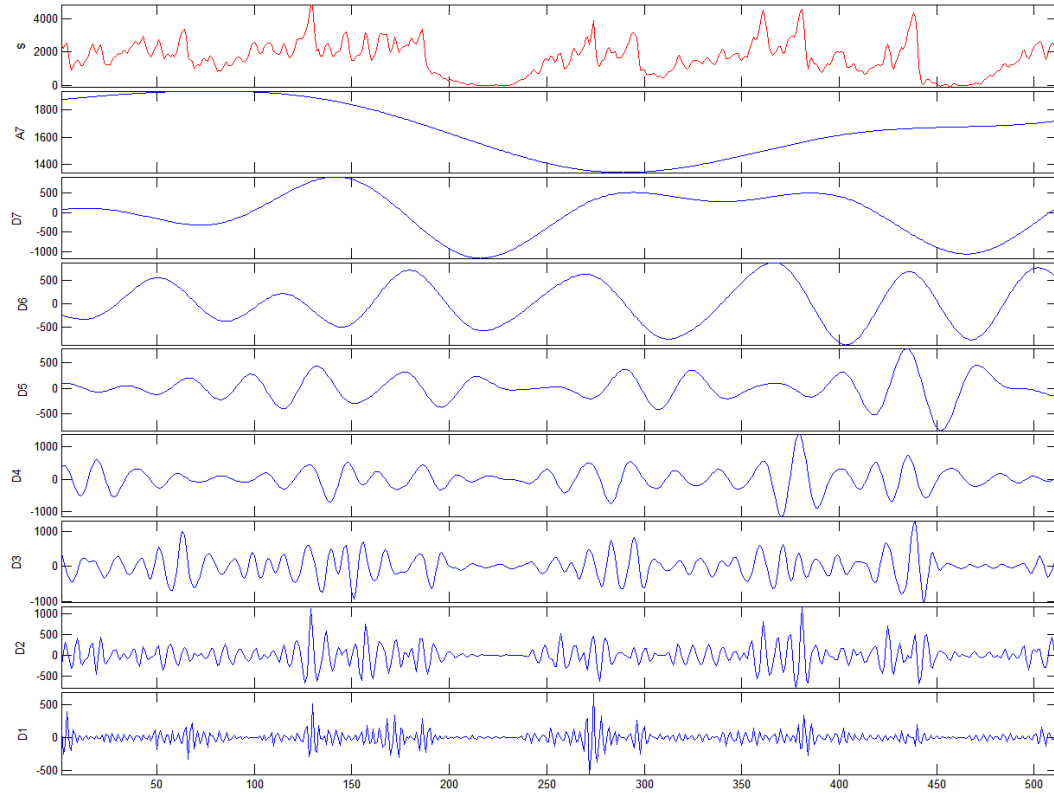
Σήμα: Fz_κ-Y4-2-1 coil5 διακριτός μετασχηματισμός κυματιδίου του σήματος. Επίπεδο 7



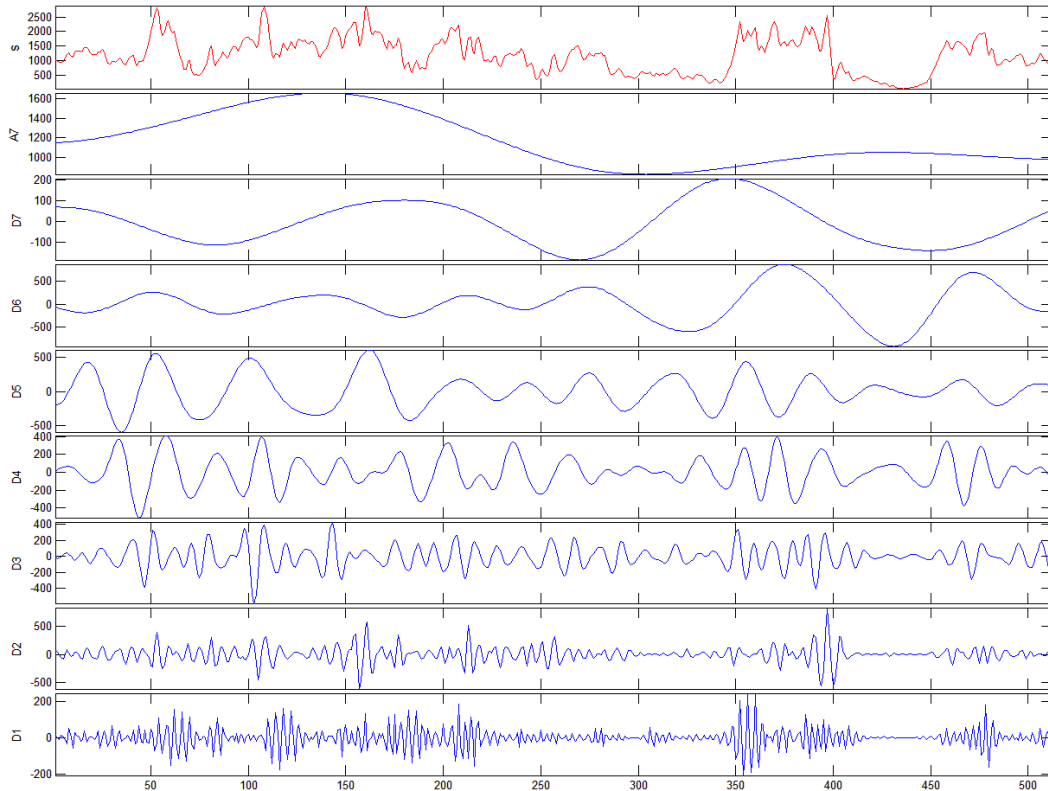
Σήμα: Fz_κ-Y4-2-2 coil5 διακριτός μετασχηματισμός κυματιδίου του σήματος. Επίπεδο 7

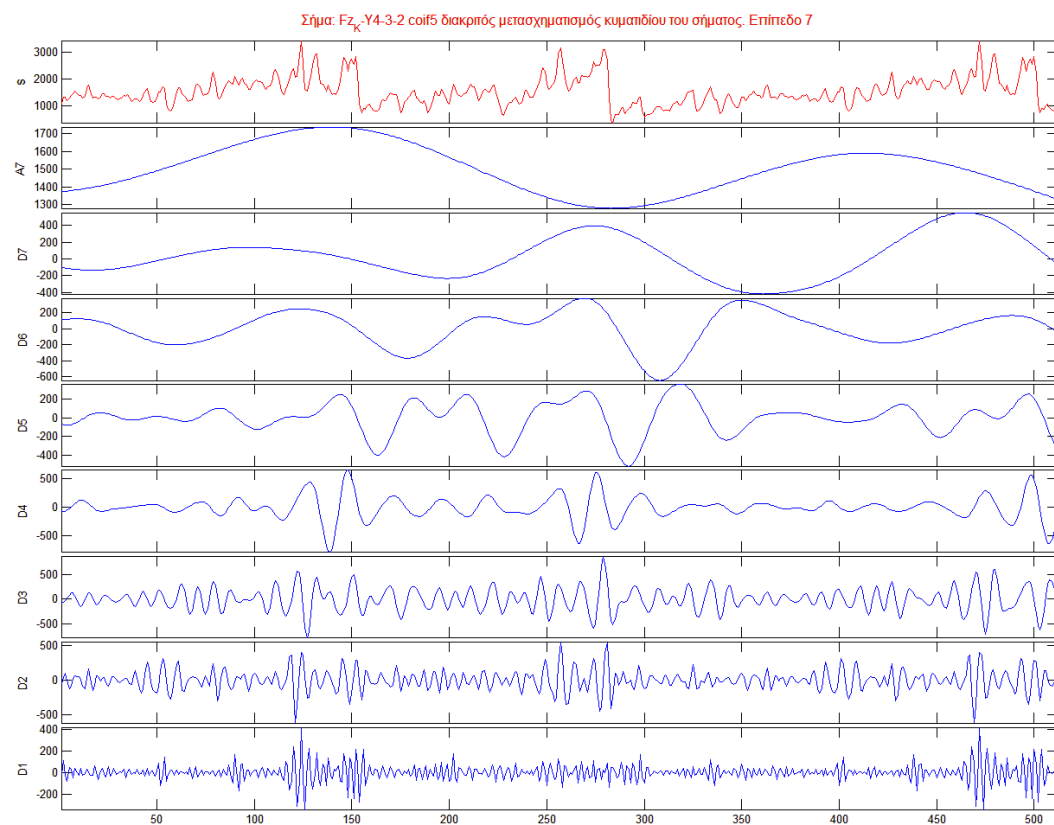
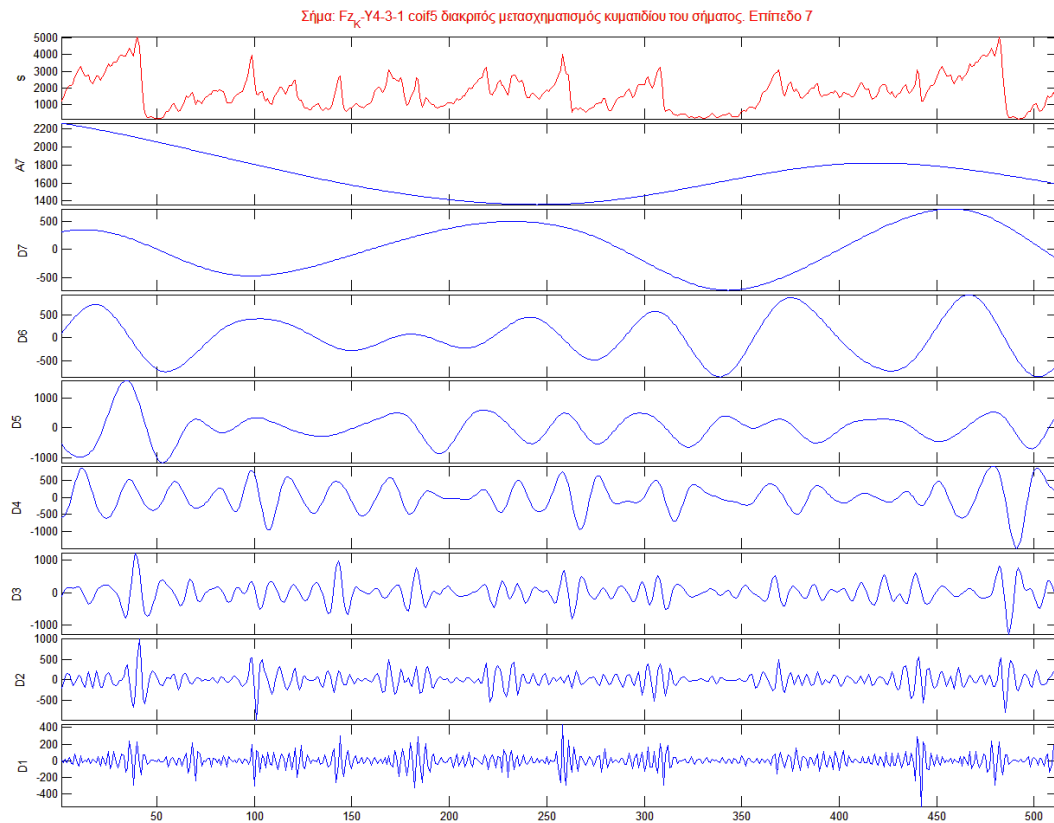


Σήμα: Fz_κ-Y4-2-3 coil5 διακριτός μετασχηματισμός κυματιδίου του σήματος. Επίπεδο 7

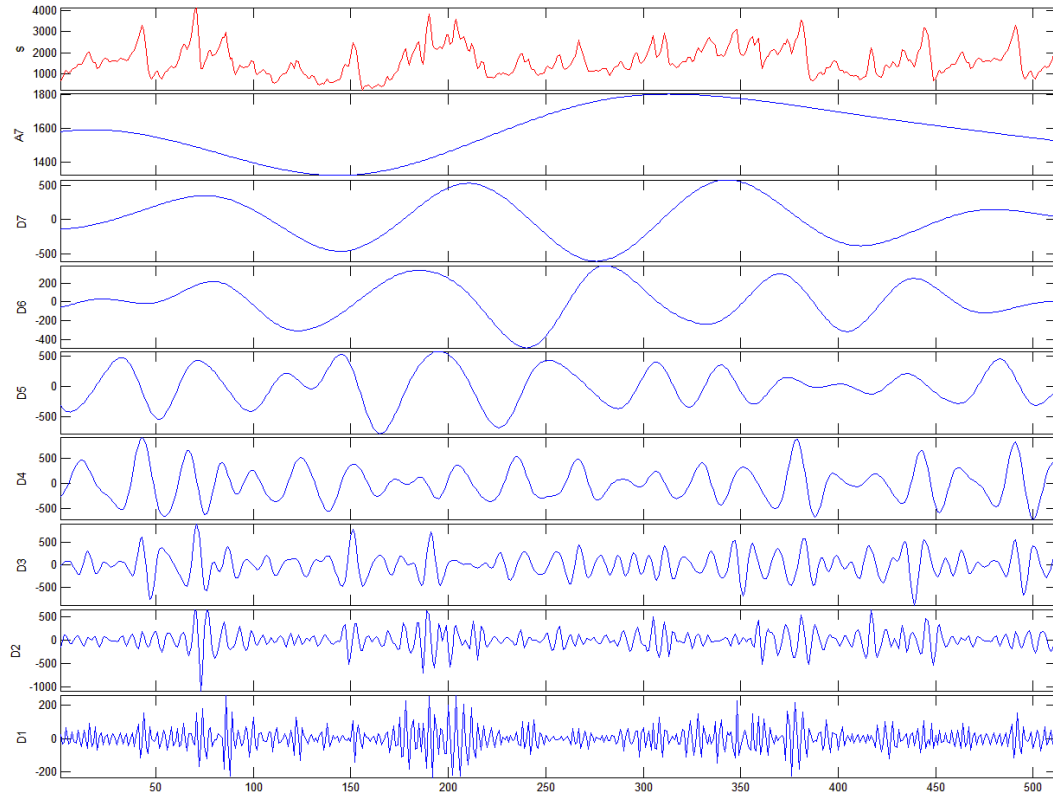


Σήμα: Fz_κ-Y4-2-4 coil5 διακριτός μετασχηματισμός κυματιδίου του σήματος. Επίπεδο 7

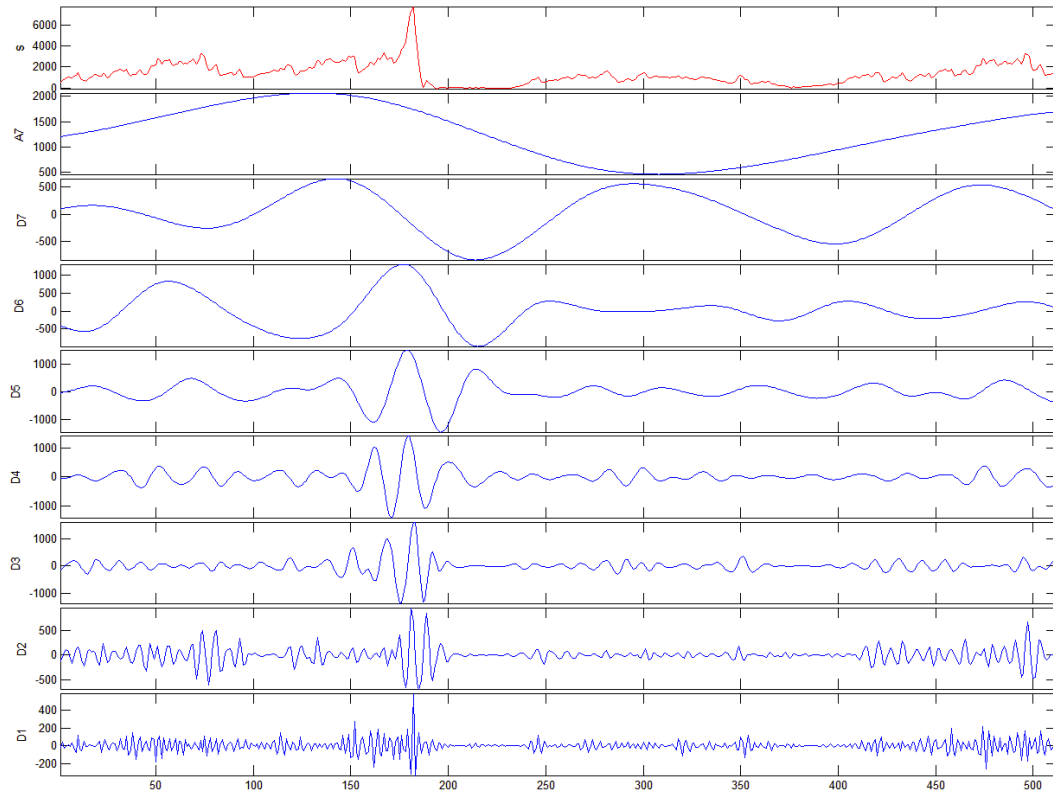




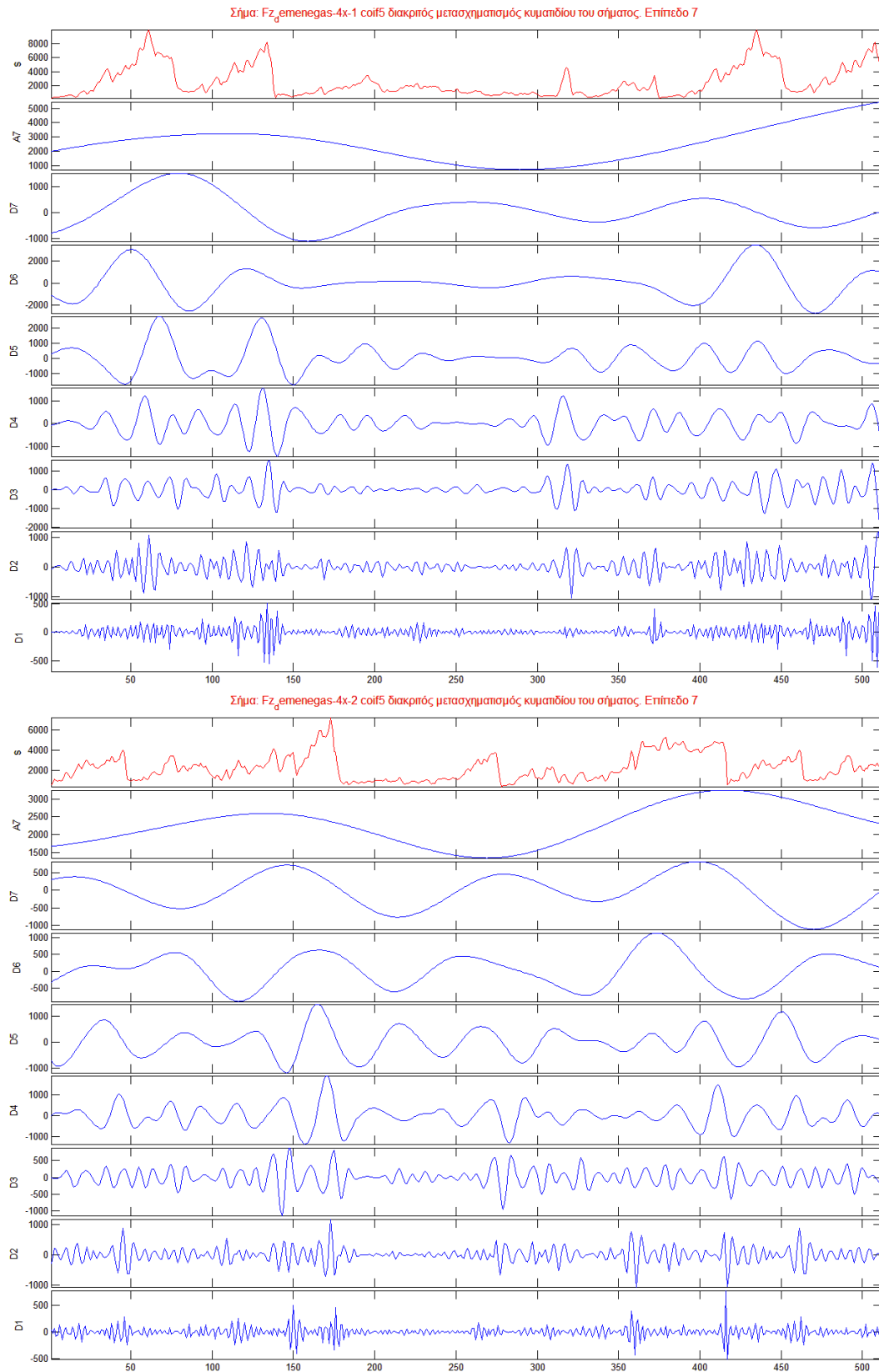
Σήμα: Fz_Y4-3-3 coil5 διακριτός μετασχηματισμός κυμαθδίου του σήματος. Επίπεδο 7



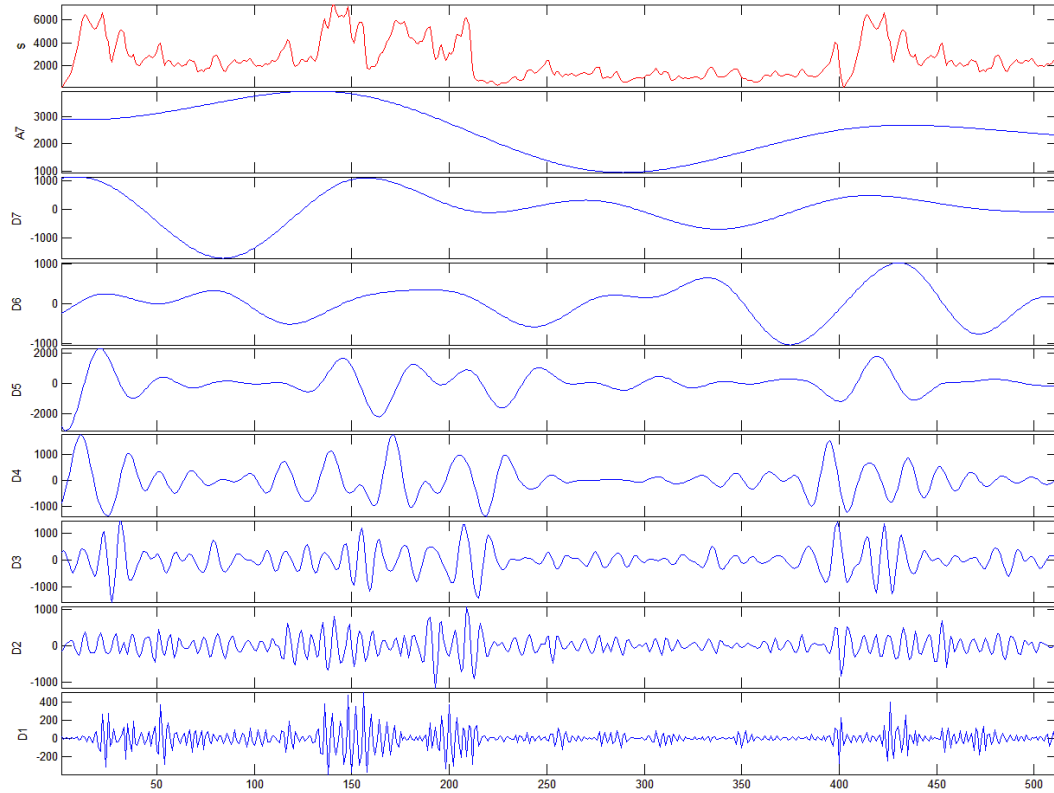
Σήμα: Fz_Y4-3-4 coil5 διακριτός μετασχηματισμός κυμαθδίου του σήματος. Επίπεδο 7



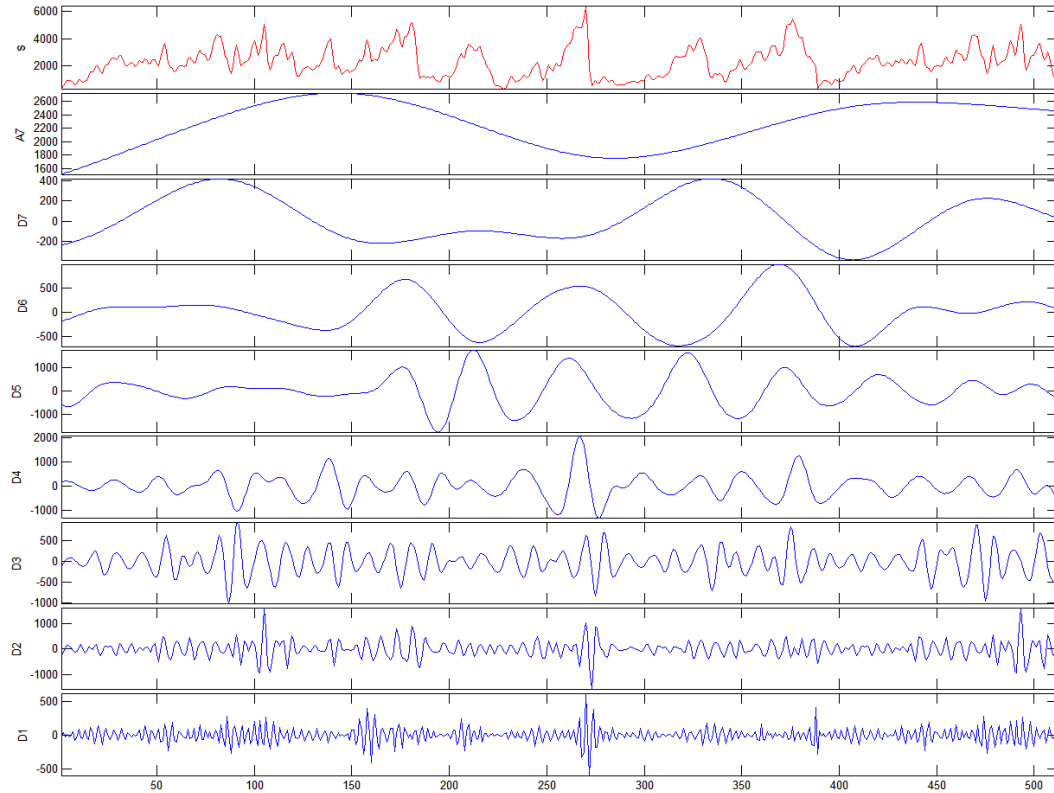
- Ερυθρότεφρος ασβεστόλιθος του ανώτερου Τριαδικού από τον ορεινό όγκο Λέμφι της Ελευσίνας (TITAN) - (asn2)



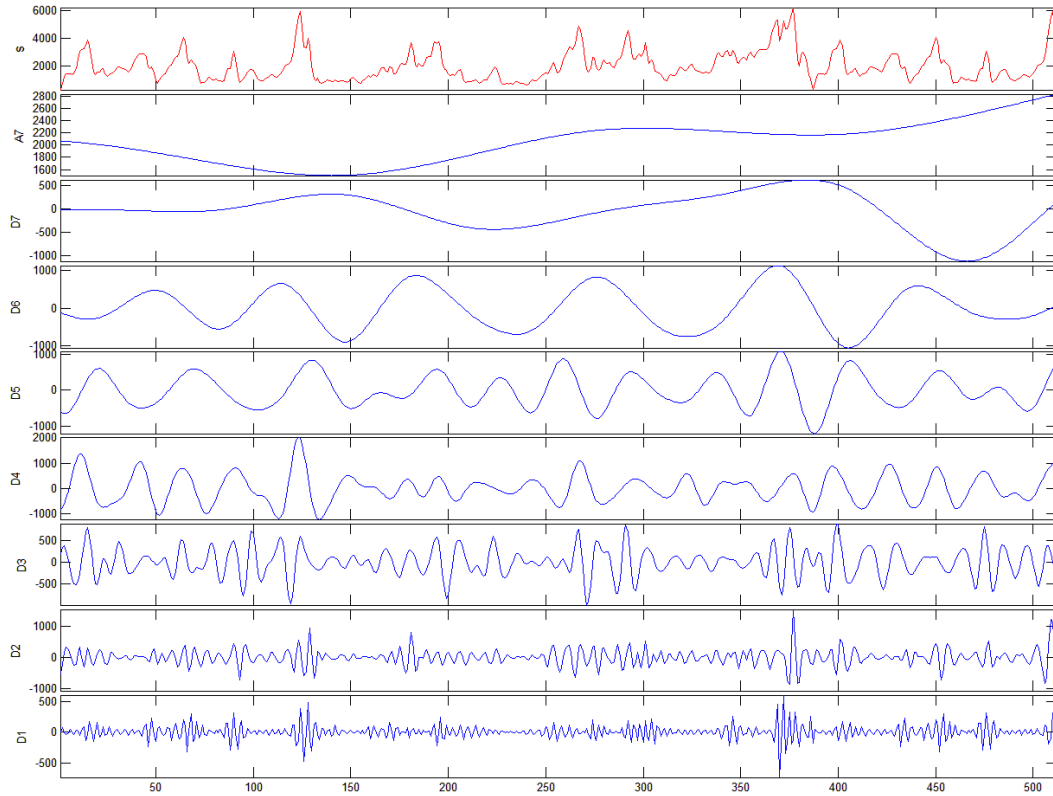
Σημά: Fz_emenegas-4x-3 coil5 διακριτός μετασχηματισμός κυματίου του σήματος. Επίπεδο 7



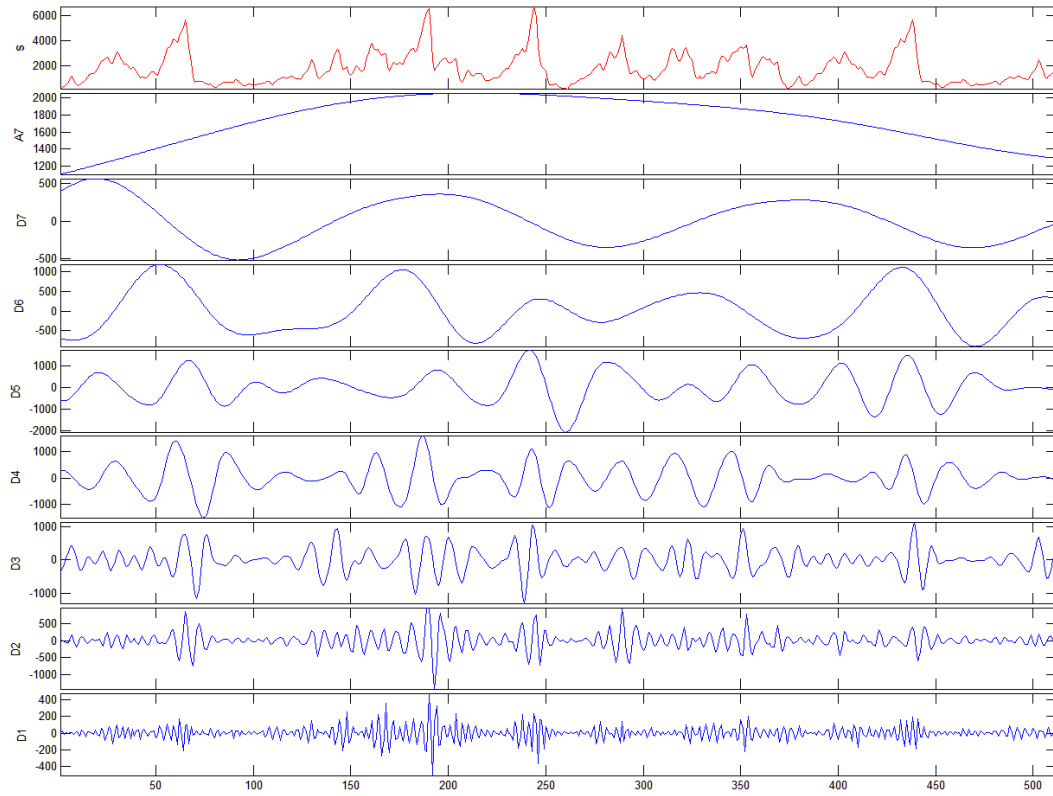
Σημά: Fz_emenegas-4y-1 coil5 διακριτός μετασχηματισμός κυματίου του σήματος. Επίπεδο 7



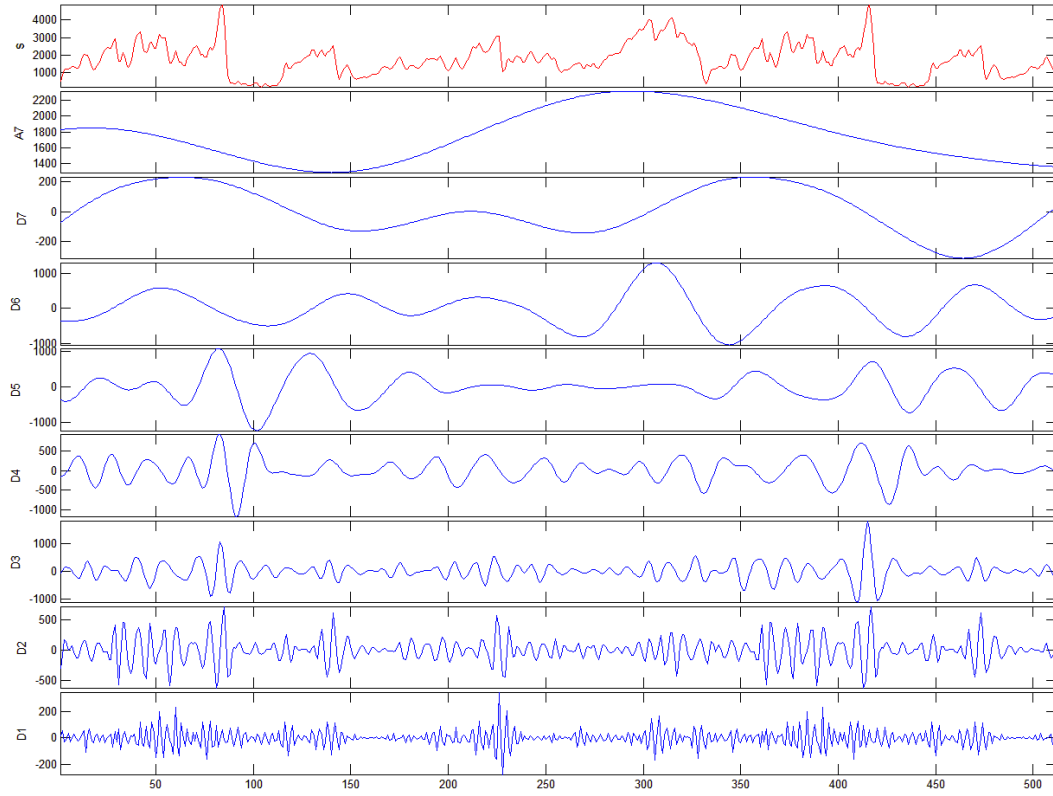
Σημά: Fz_emenegas-4γ-2 coil5 διακριτός μετασχηματισμός κυματίου του σήματος. Επίπεδο 7



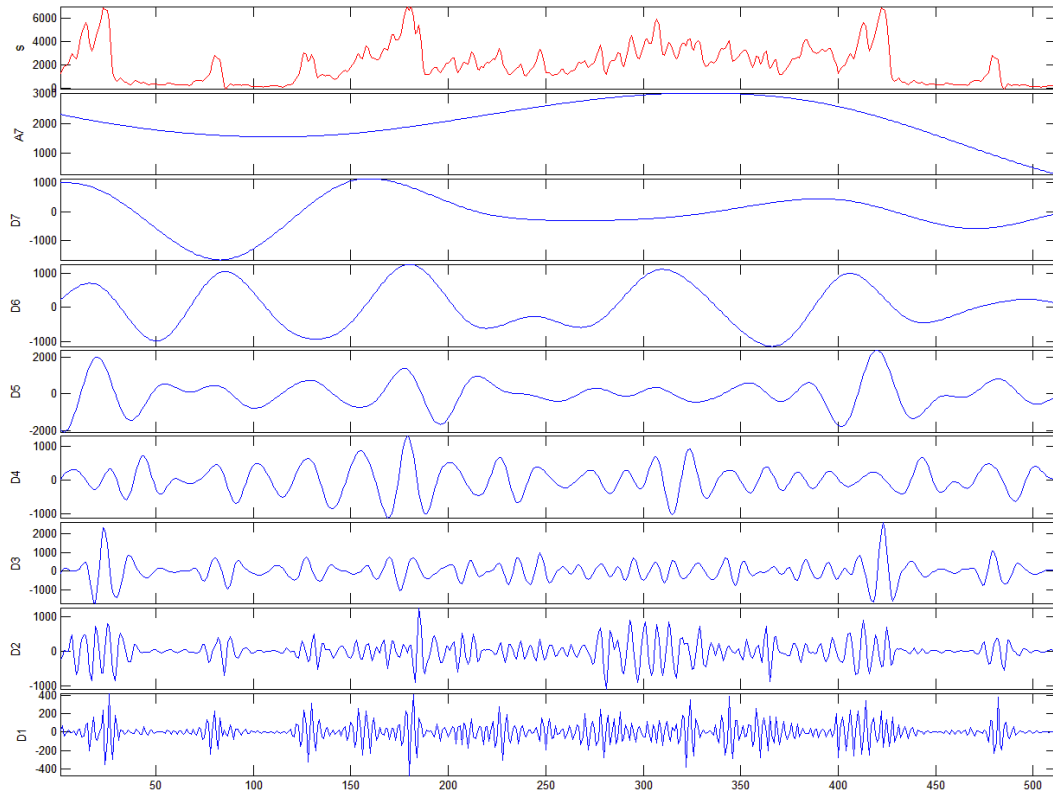
Σημά: Fz_emenegas-4z-1 coil5 διακριτός μετασχηματισμός κυματίου του σήματος. Επίπεδο 7



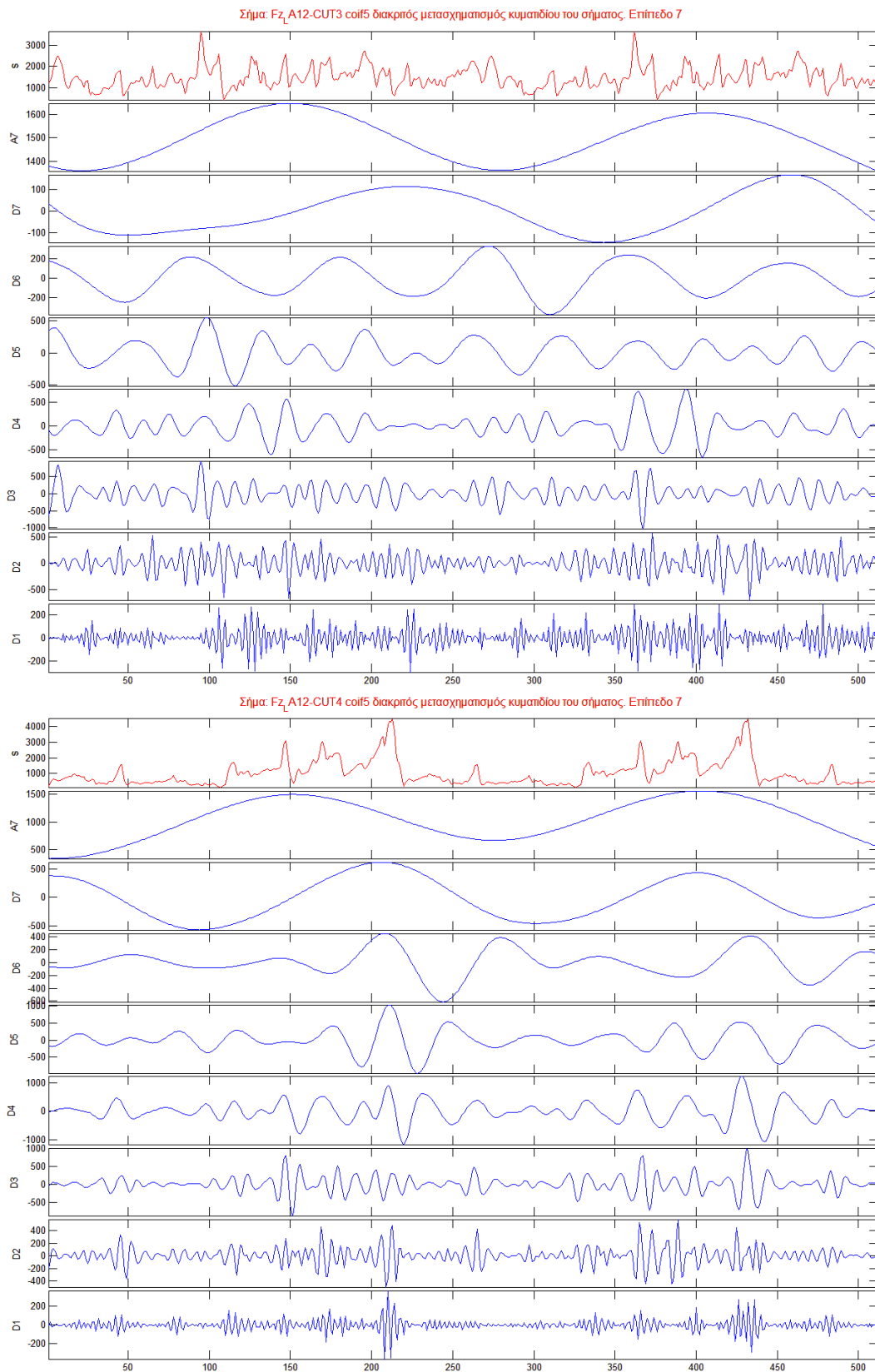
Σημά: Fz_emenegas-4z-2 coil5 διακριτός μετασχηματισμός κυματίου του σήματος. Επίπεδο 7



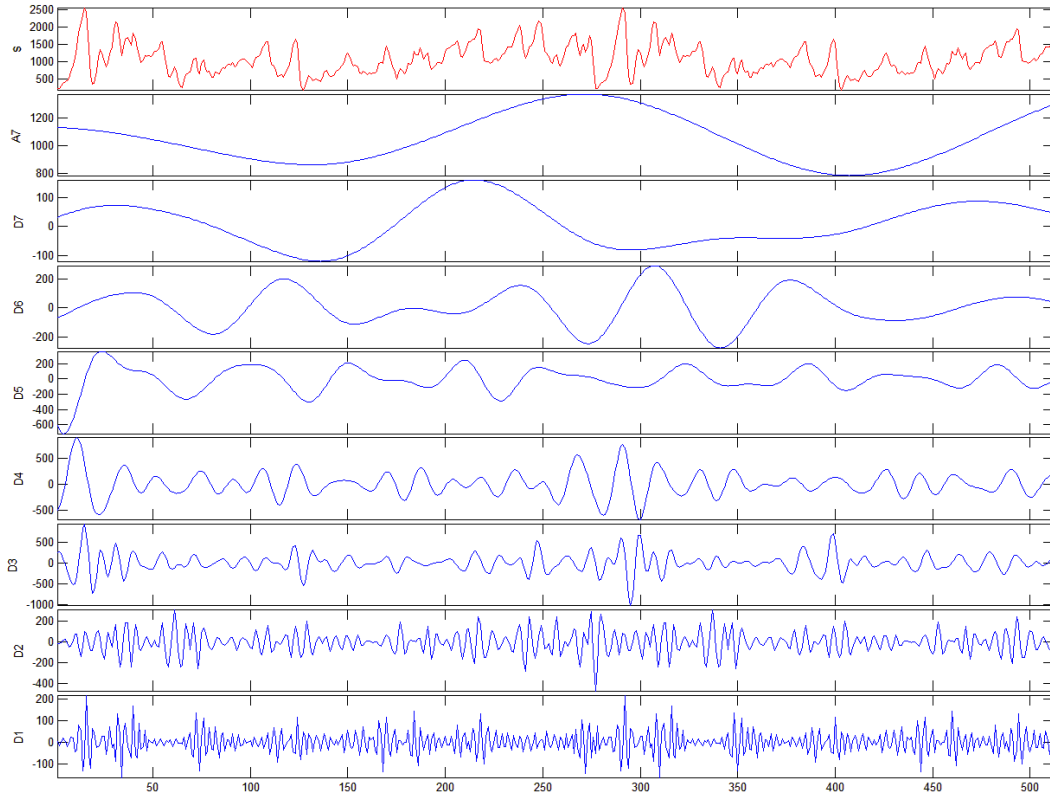
Σημά: Fz_emenegas-4z-3 coil5 διακριτός μετασχηματισμός κυματίου του σήματος. Επίπεδο 7



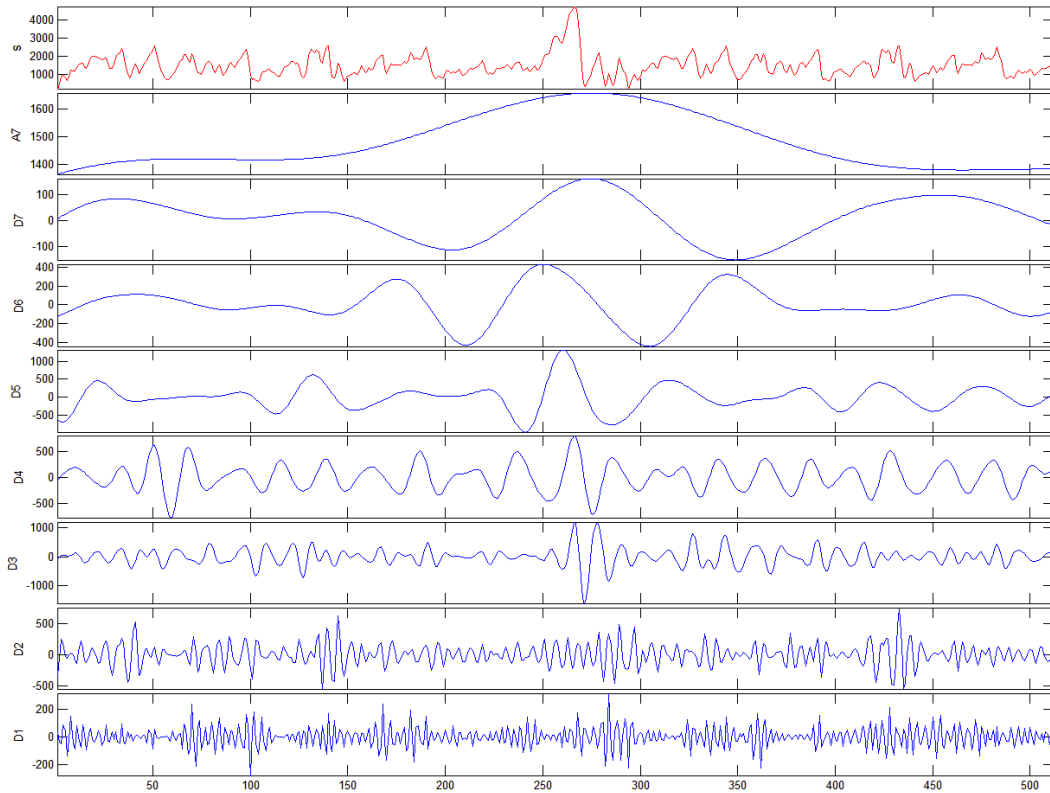
• Ασβεστόλιθος Άνω Κρητιδικού – Μεταλλείο Αγ. Ιωάννη ΛΑΡΚΟ Α.Ε. -
(asn3)



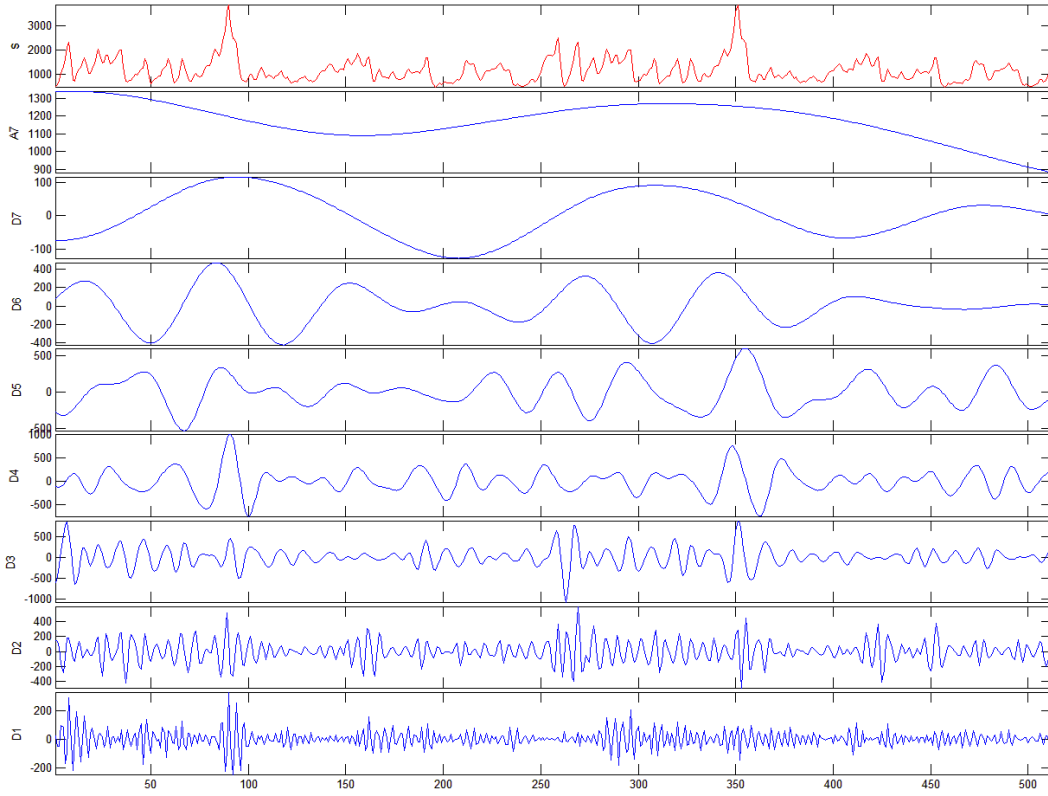
Σήμα: Fz_A13-CUT1 coil5 διακριτός μετασχηματισμός κυματίου του σήματος. Επίπεδο 7



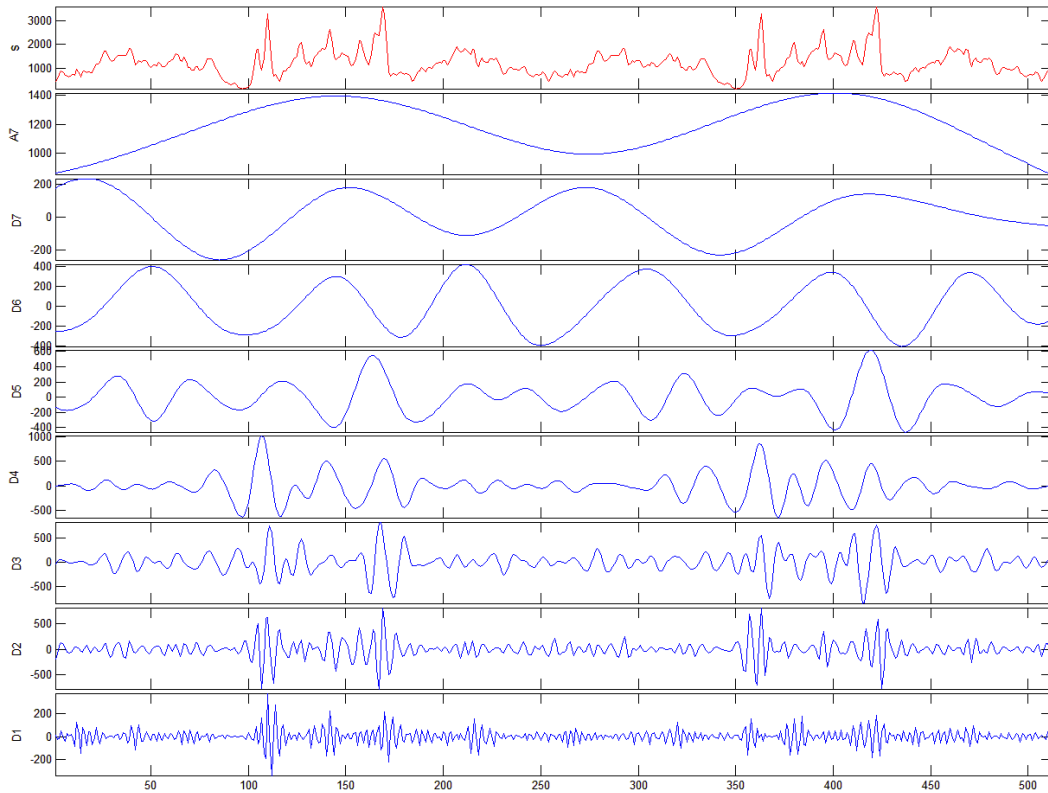
Σήμα: Fz_A14-CUT2 coil5 διακριτός μετασχηματισμός κυματίου του σήματος. Επίπεδο 7



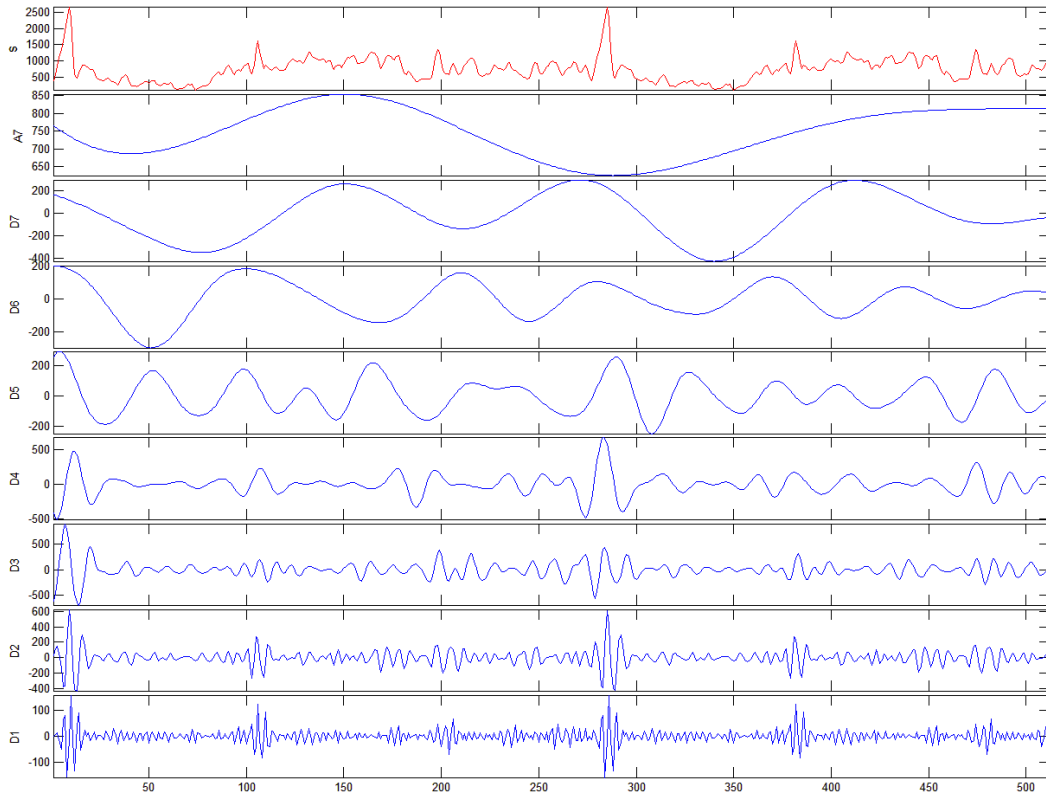
Σημά: Fz_A14-CUT3 coil5 διακριτός μετασχηματισμός κυματίου του σήματος. Επίπεδο 7



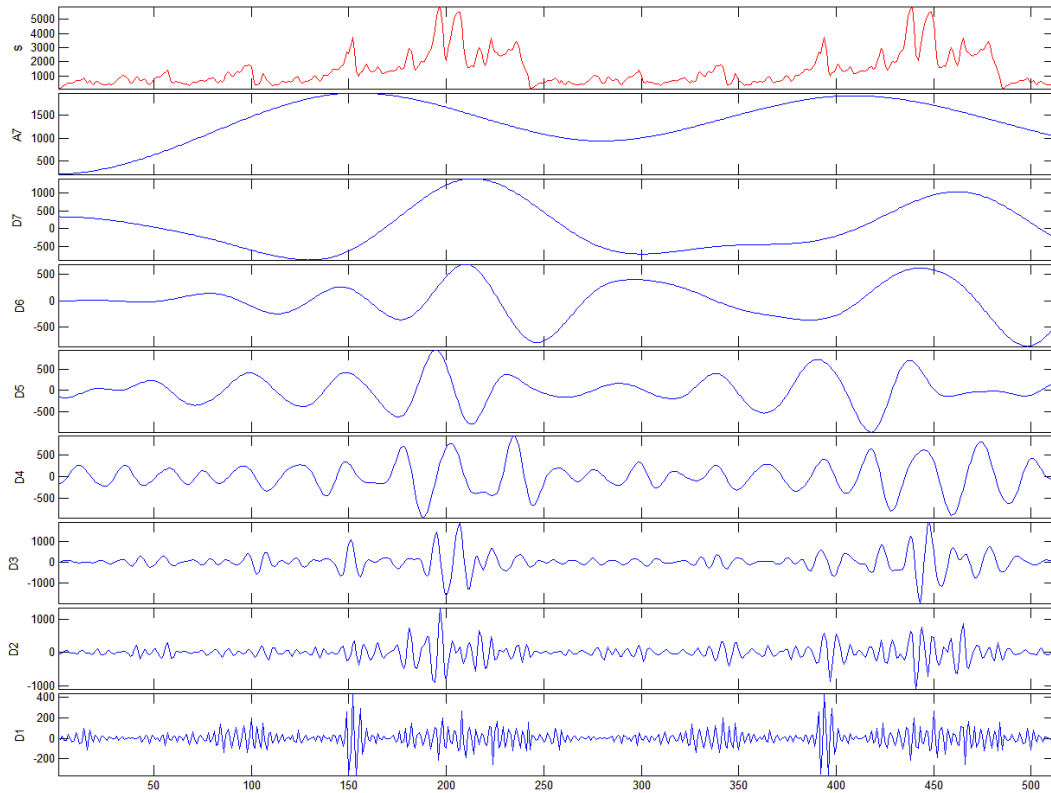
Σημά: Fz_A14-CUT4 coil5 διακριτός μετασχηματισμός κυματίου του σήματος. Επίπεδο 7



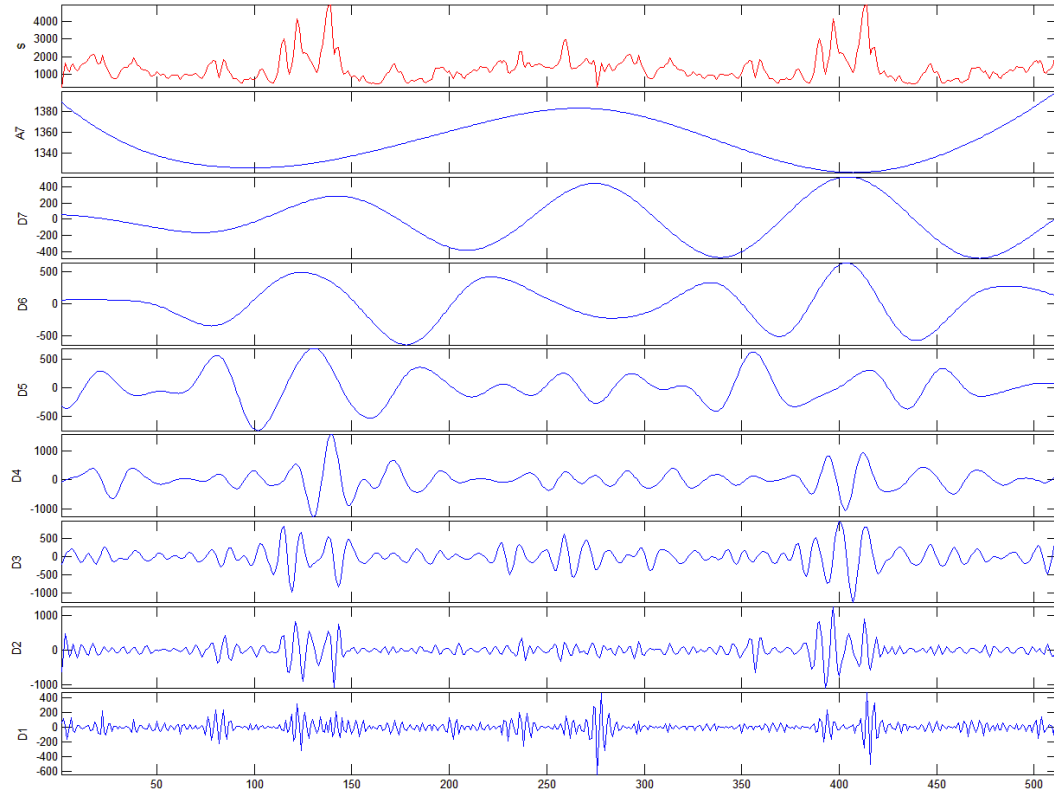
Σήμα: Fz_A15-CUT1 coil5 διακριτός μετασχηματισμός κυματίδιου του σήματος. Επίπεδο 7



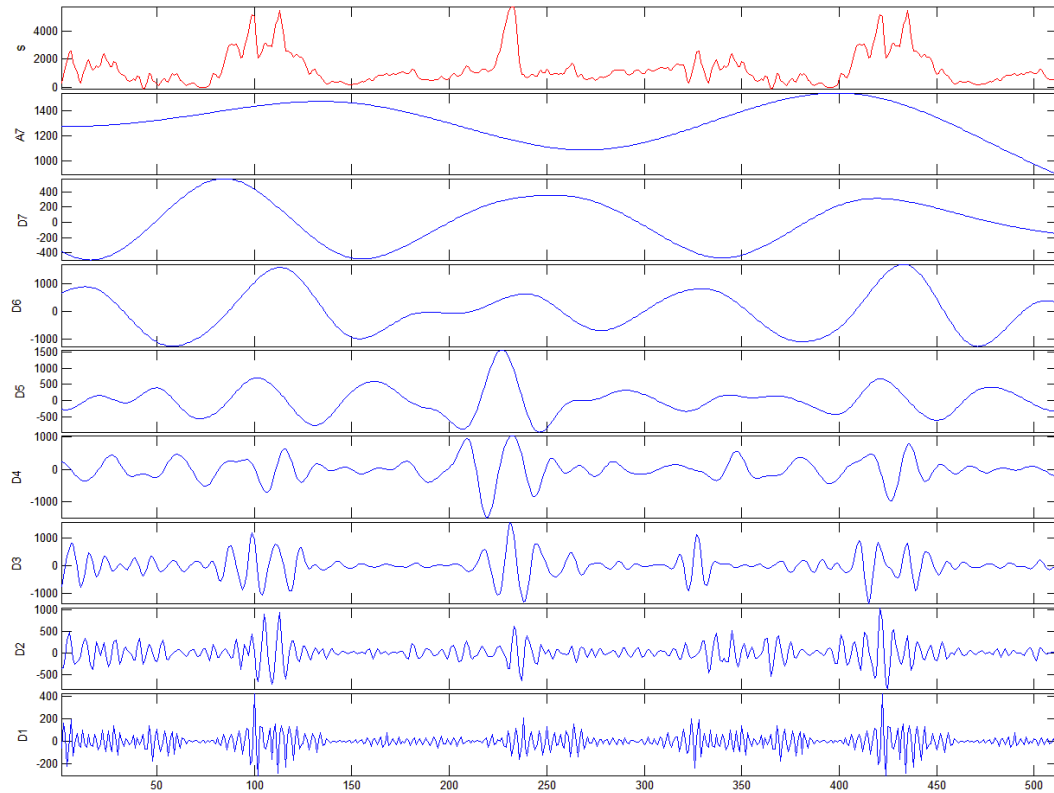
Σήμα: Fz_A15-CUT2 coil5 διακριτός μετασχηματισμός κυματίδιου του σήματος. Επίπεδο 7



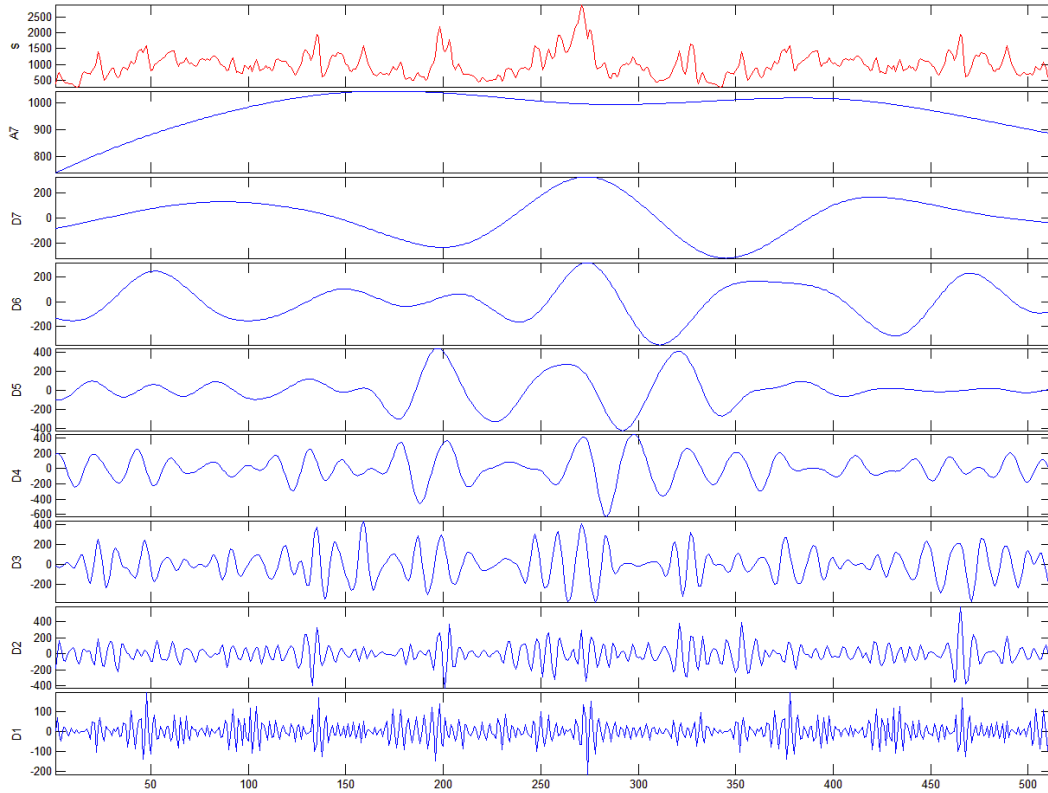
Σήμα: Fz_A15-CUT3 coils διακριτός μετασχηματισμός κυματίου του σήματος. Επίπεδο 7



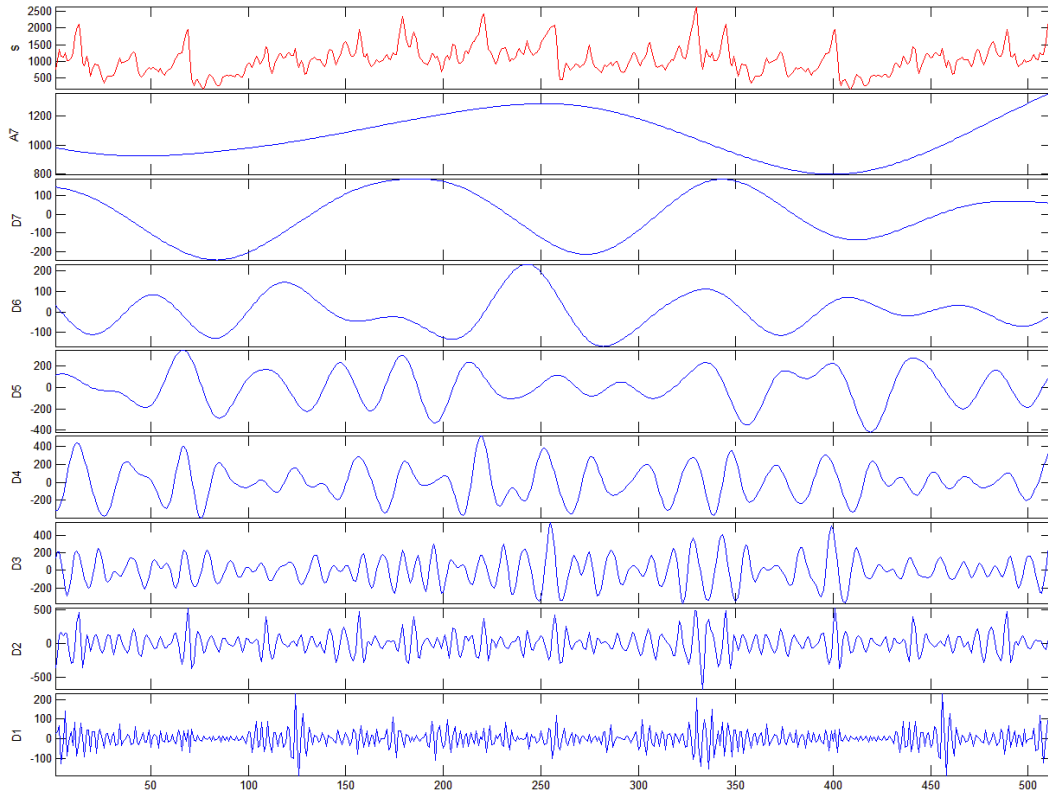
Σήμα: Fz_A17-CUT1 coils διακριτός μετασχηματισμός κυματίου του σήματος. Επίπεδο 7



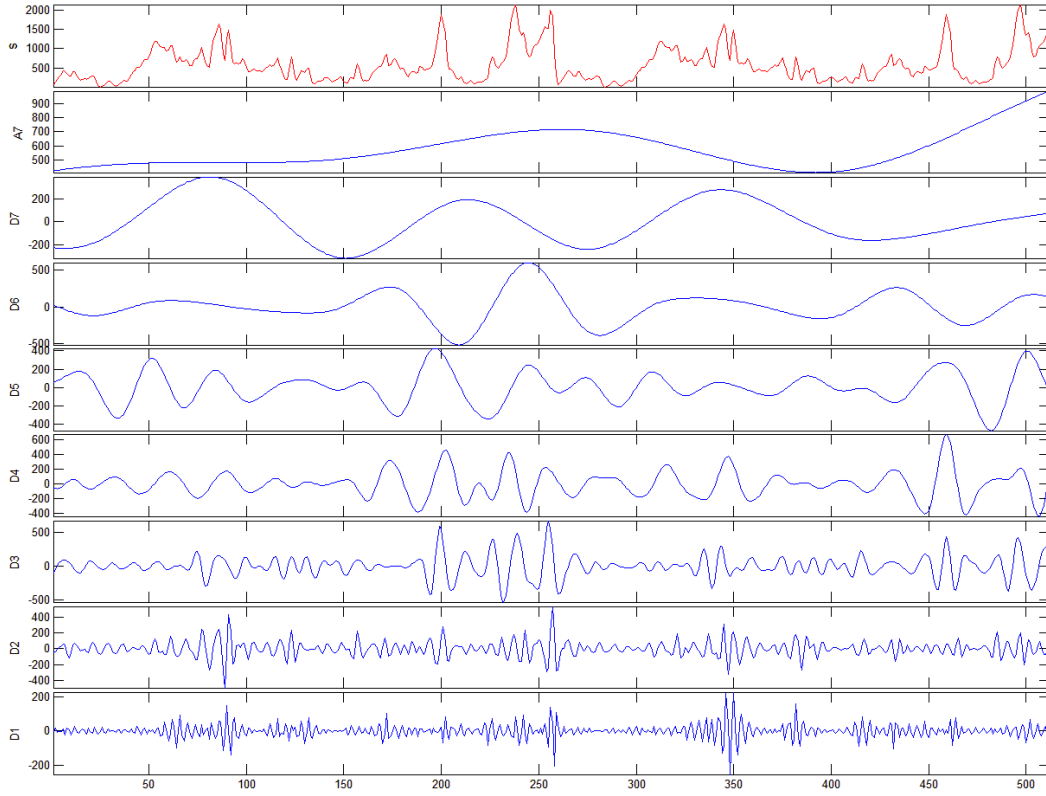
Σημά: Fz_A17-CUT2 coil5 διακριτός μετασχηματισμός κυματίδιου του σήματος. Επίπεδο 7



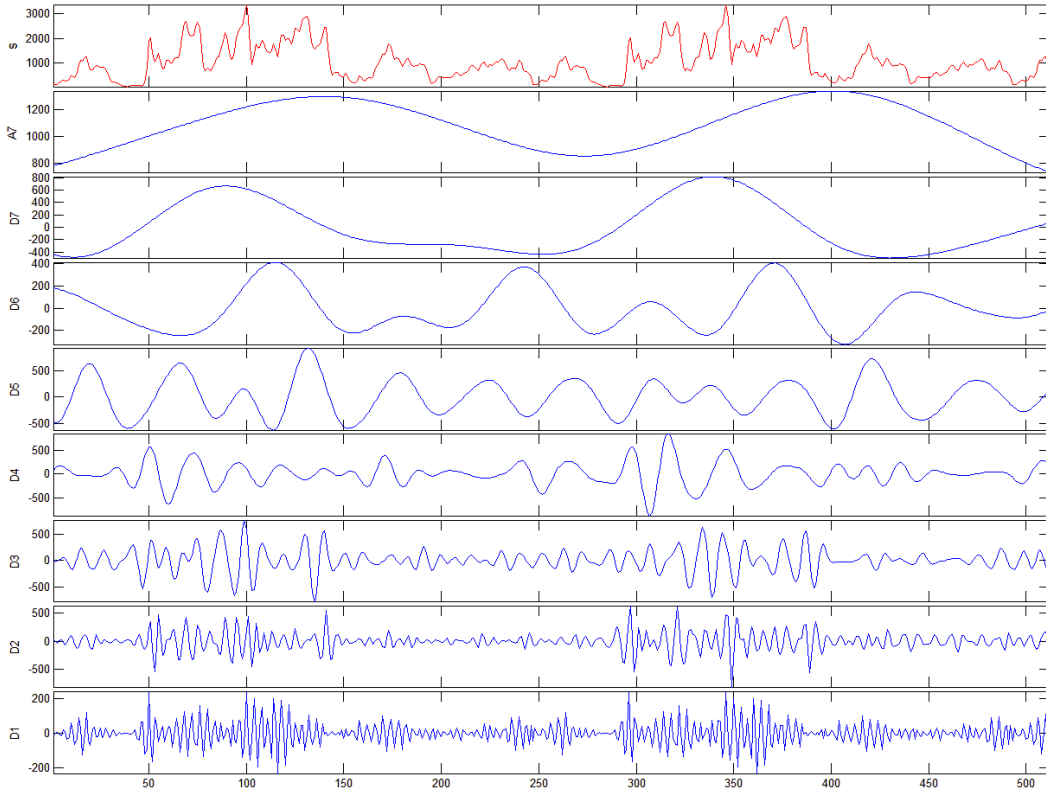
Σημά: Fz_A17-CUT3 coil5 διακριτός μετασχηματισμός κυματίδιου του σήματος. Επίπεδο 7



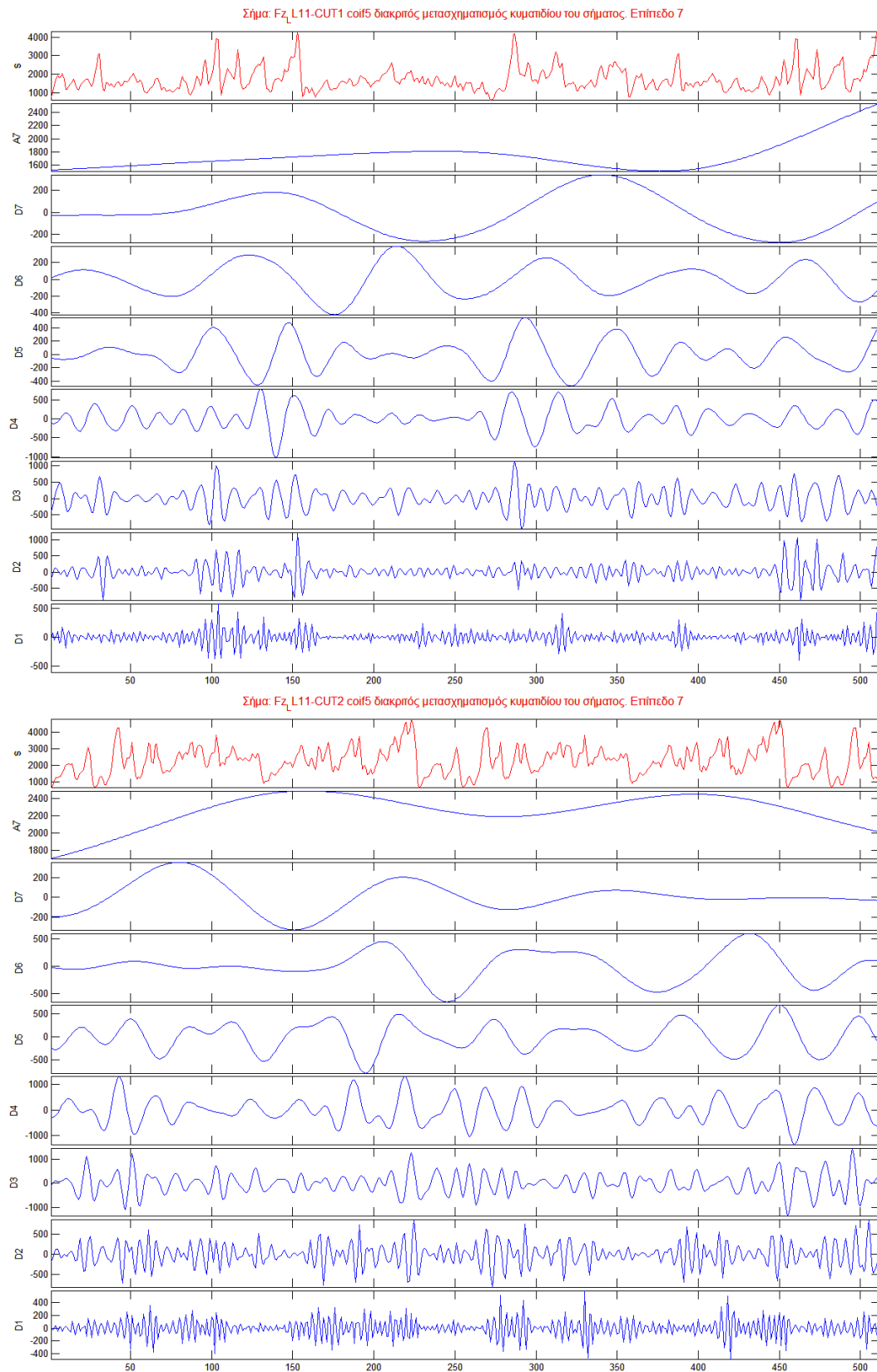
Σημά: Fz_A12-CUT1 coil5 διακριτός μετασχηματισμός κυματίου του σήματος. Επίπεδο 7



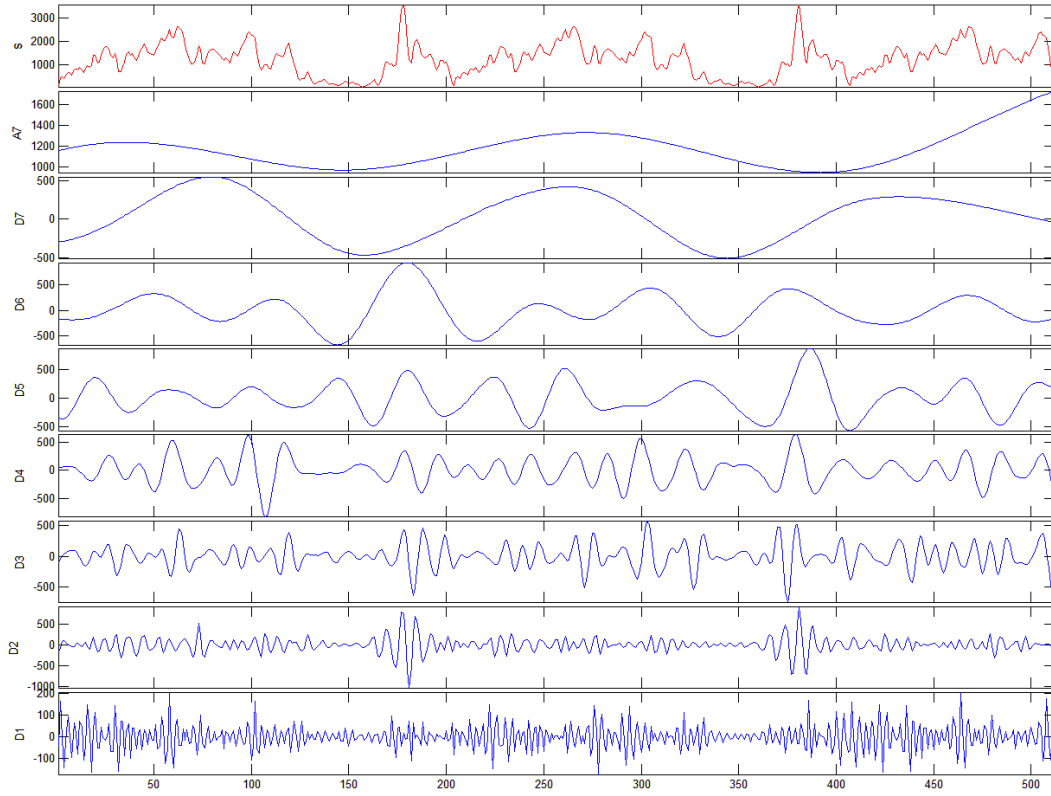
Σημά: Fz_A12-CUT2 coil5 διακριτός μετασχηματισμός κυματίου του σήματος. Επίπεδο 7



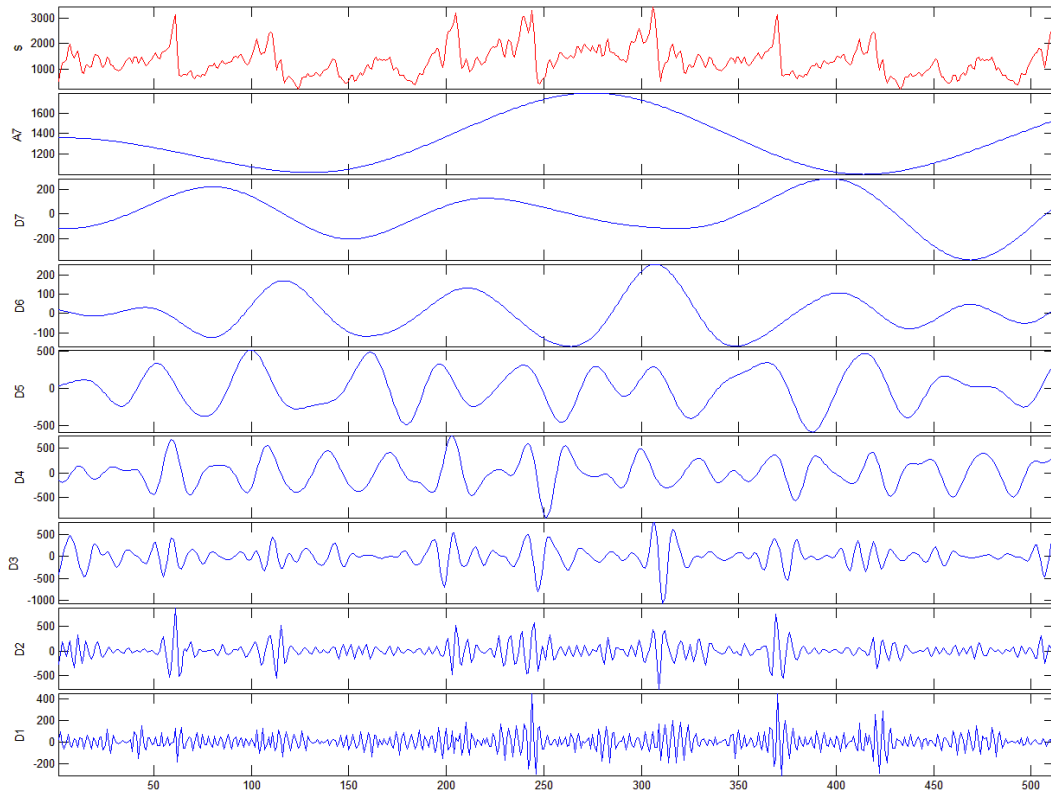
- Σιδηρονικελιούχος Λατερίτης – Μεταλλείο Αγ. Ιωάννη ΛΑΡΚΟ Α.Ε. -
(lat)



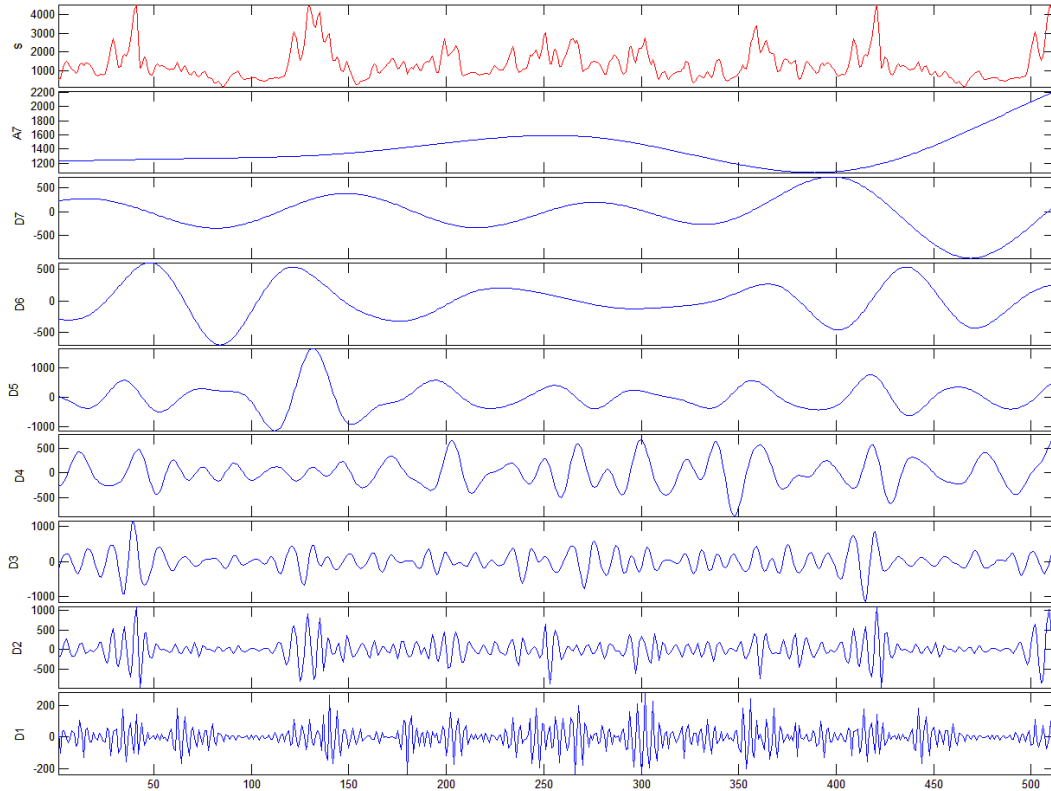
Σημά: Fz L11-CUT3 coil5 διακριτός μετασχηματισμός κυματίδιου του σήματος. Επίπεδο 7



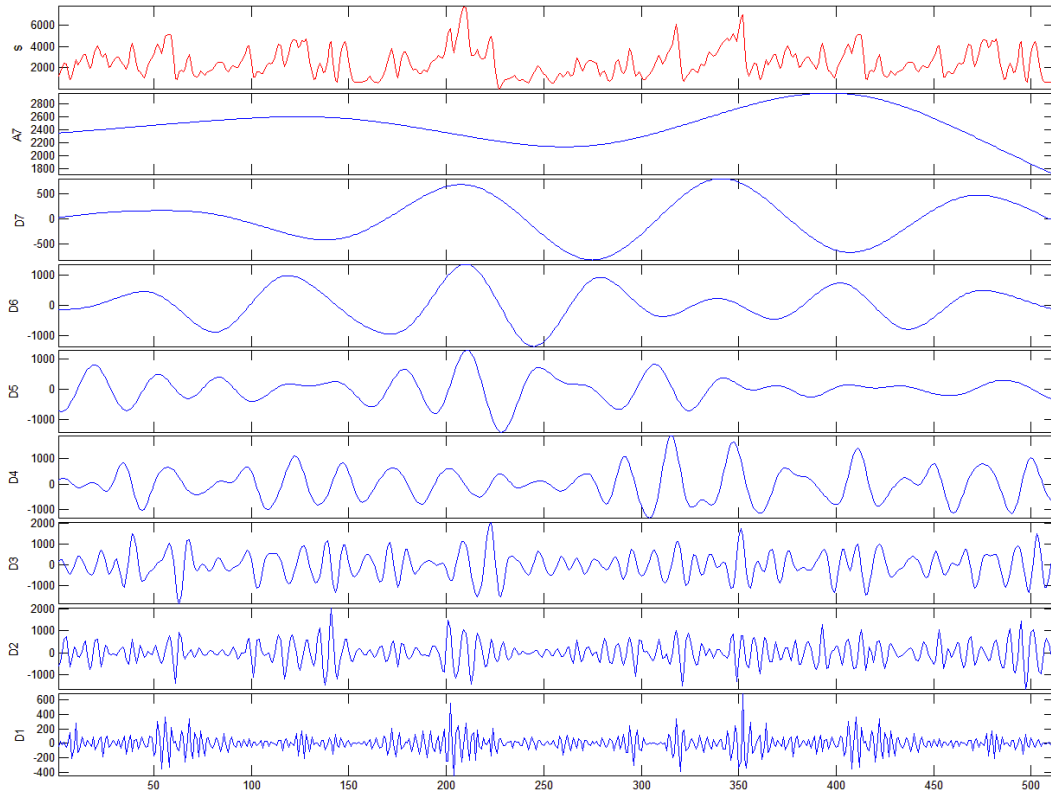
Σημά: Fz L11-CUT4 coil5 διακριτός μετασχηματισμός κυματίδιου του σήματος. Επίπεδο 7



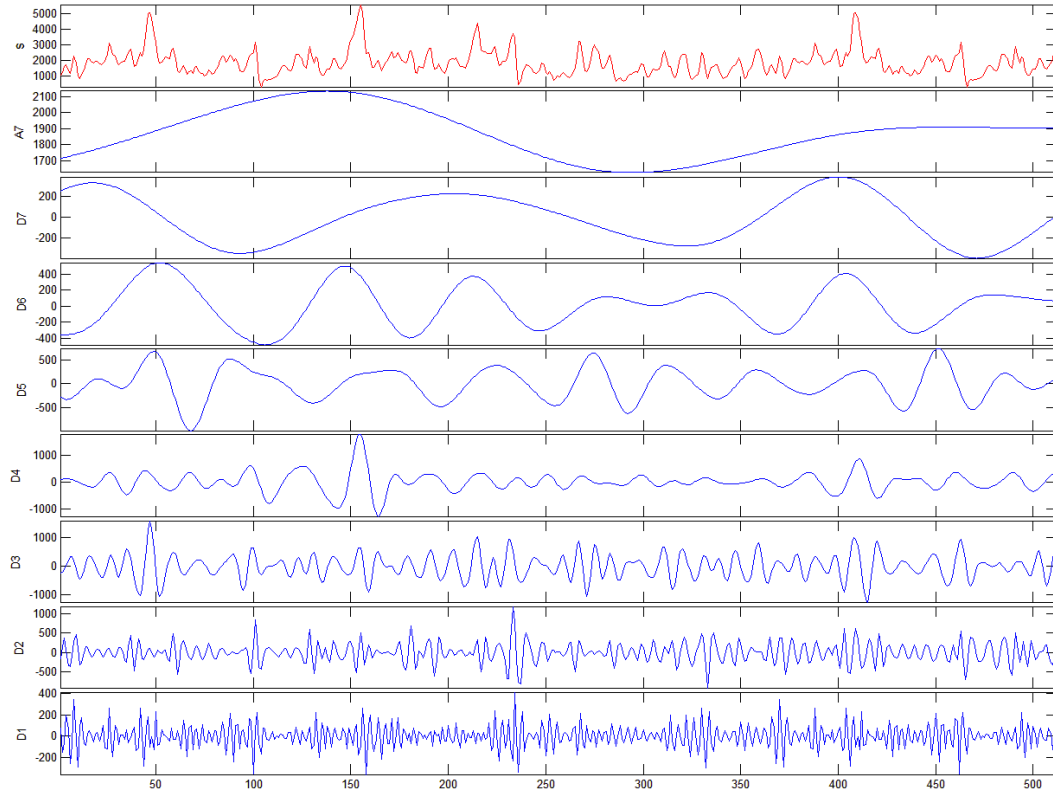
Σημά: Fz L12-CUT1 coil5 διακριτός μετασχηματισμός κυματίου του σήματος. Επίπεδο 7



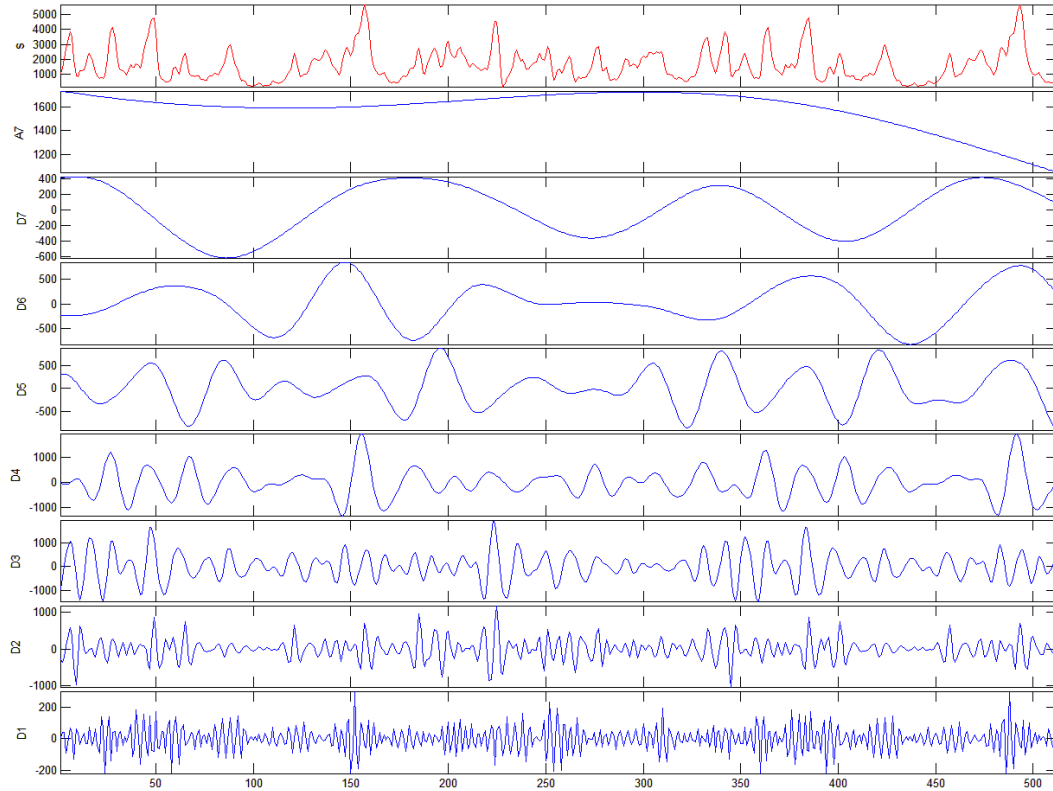
Σημά: Fz L12-CUT2 coil5 διακριτός μετασχηματισμός κυματίου του σήματος. Επίπεδο 7



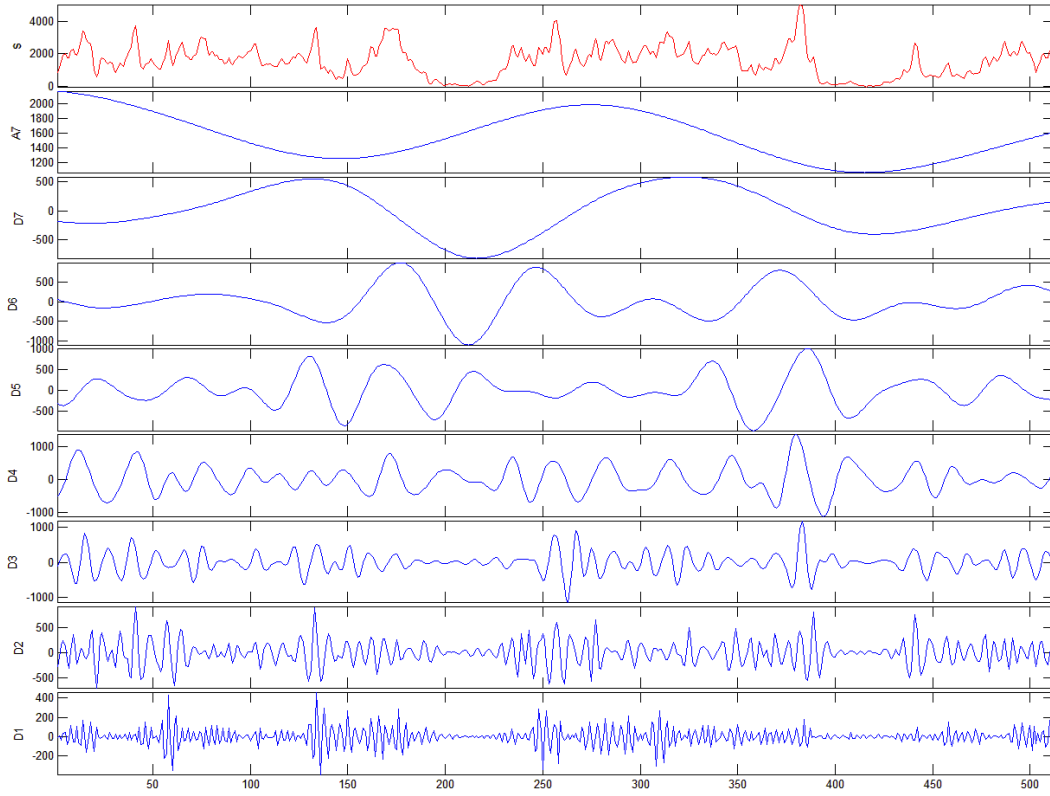
Σημά: Fz L13-CUT1 coil5 διακριτός μετασχηματισμός κυματίδιου του σήματος. Επίπεδο 7



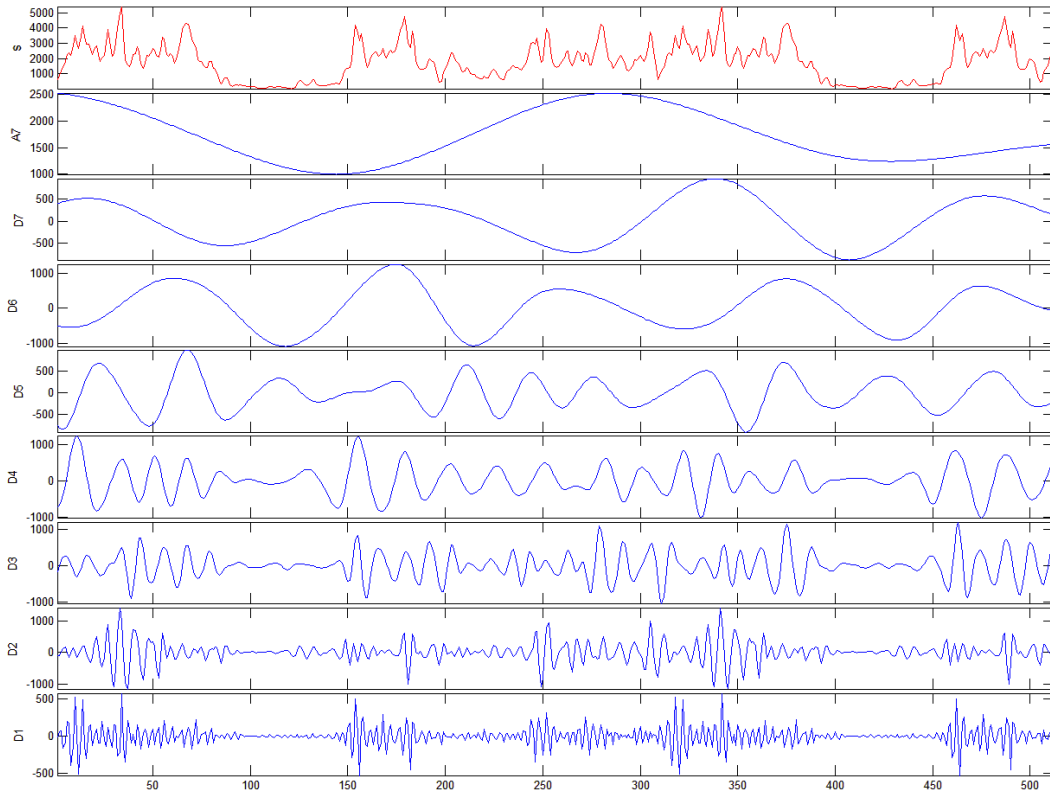
Σημά: Fz L13-CUT2 coil5 διακριτός μετασχηματισμός κυματίδιου του σήματος. Επίπεδο 7



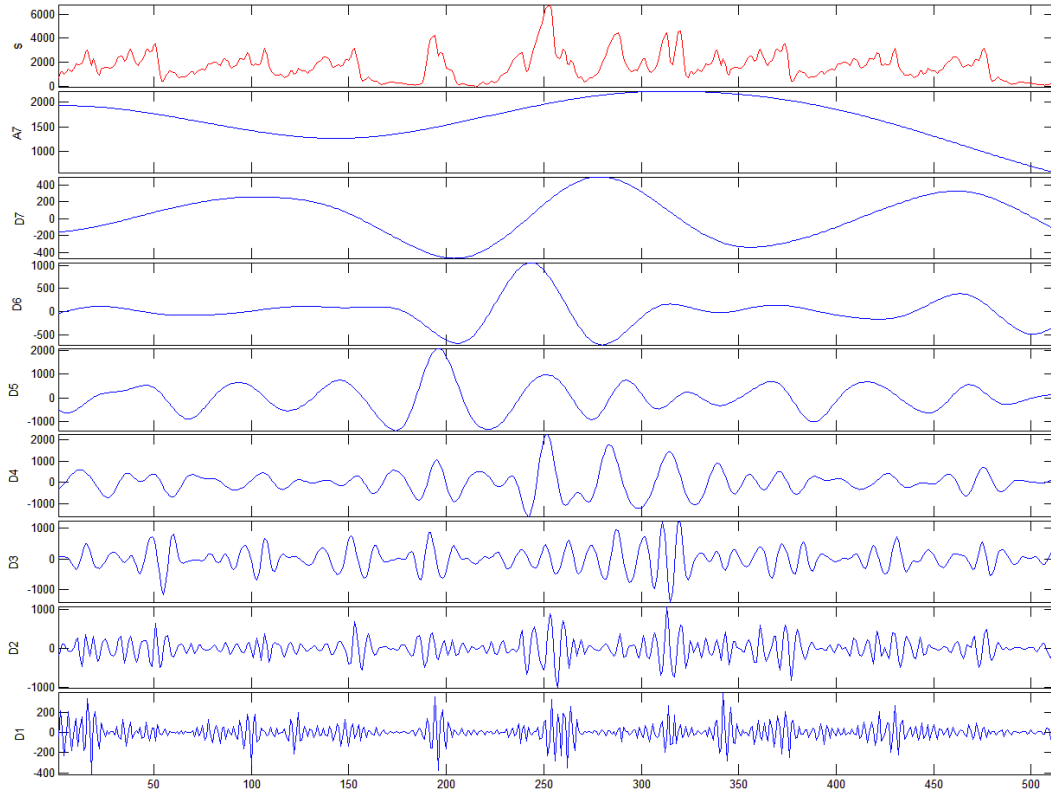
Σημά: Fz L14-CUT1 coil5 διακριτός μετασχηματισμός κυματίου του σήματος. Επίπεδο 7



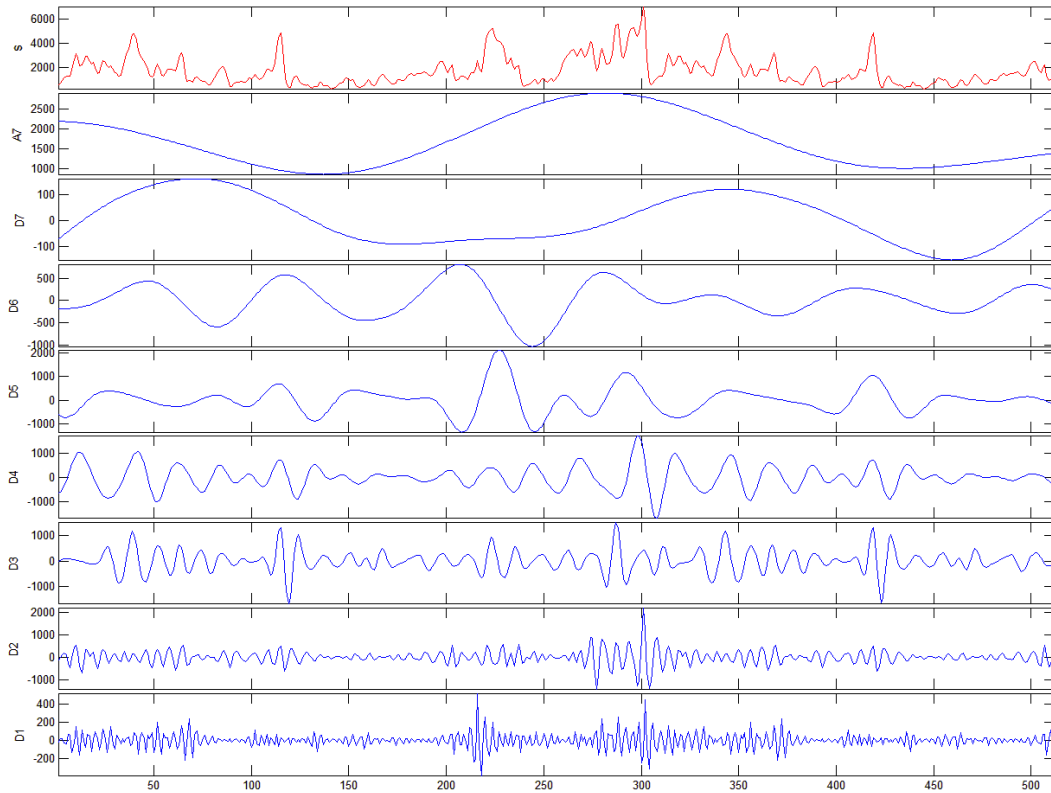
Σημά: Fz L14-CUT2 coil5 διακριτός μετασχηματισμός κυματίου του σήματος. Επίπεδο 7



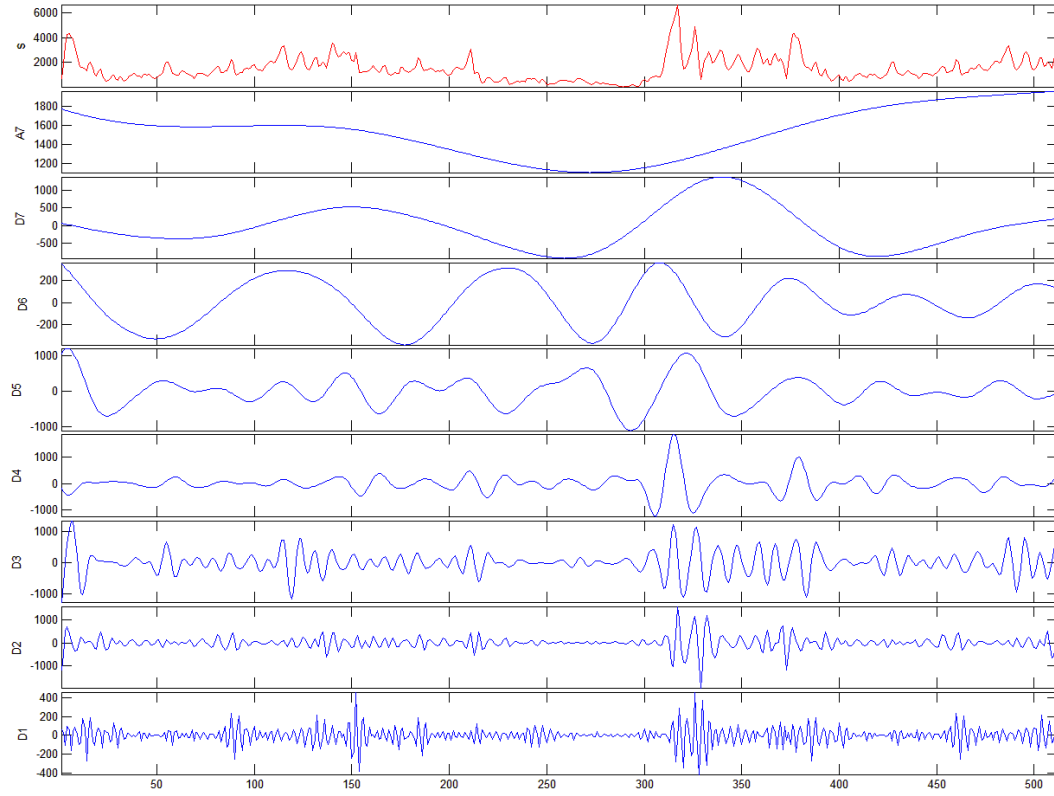
Σημά: Fz L14-CUT3 coil5 διακριτός μετασχηματισμός κυματίου του σήματος. Επίπεδο 7



Σημά: Fz L15-CUT1 coil5 διακριτός μετασχηματισμός κυματίου του σήματος. Επίπεδο 7

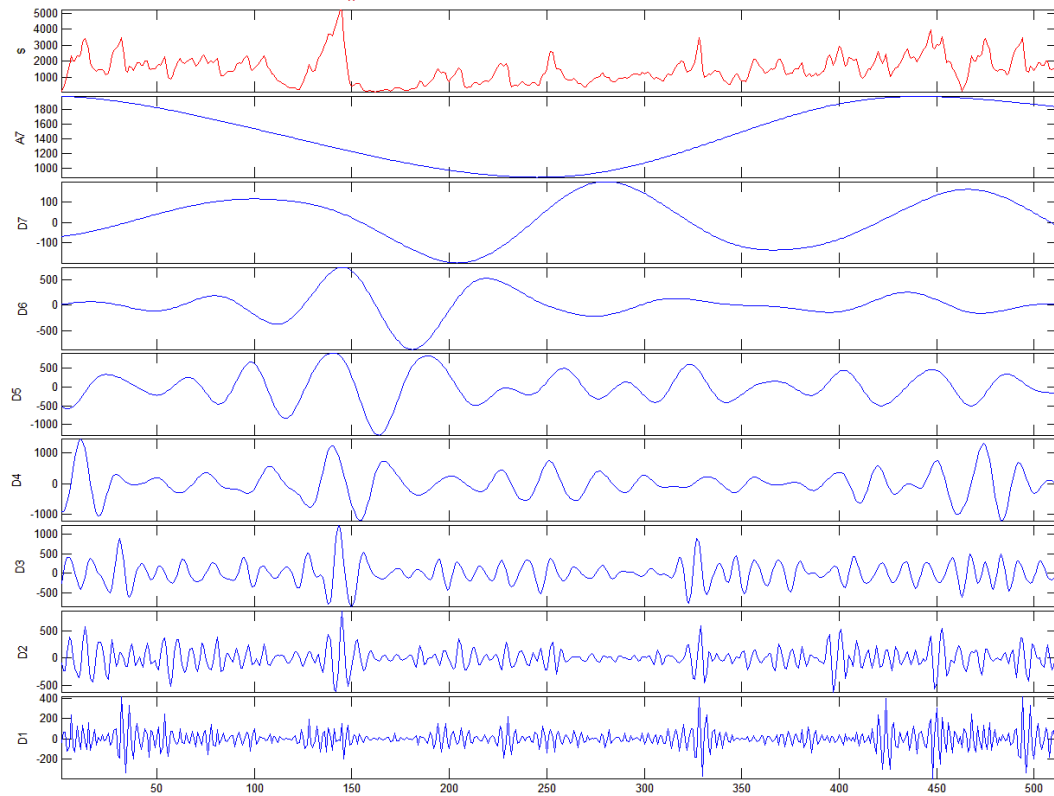


Σήμα: Fz L15-CUT2 coil5 διακριτός μετασχηματισμός κυμαπίου του σήματος. Επίπεδο 7

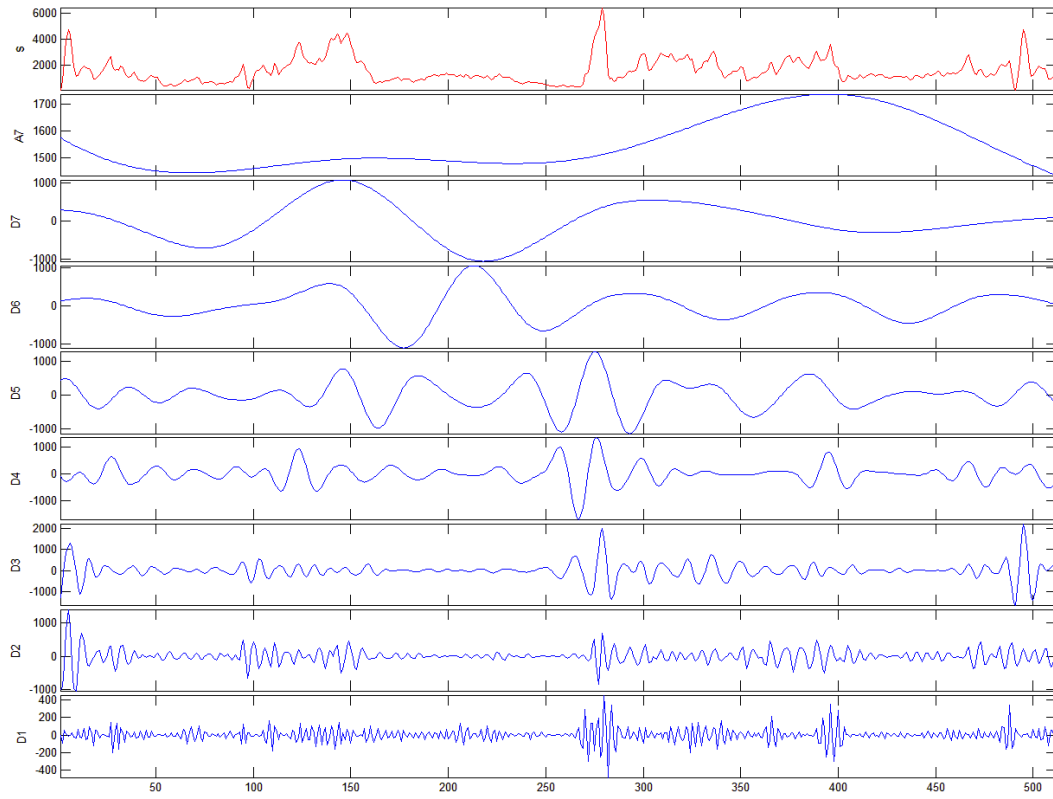


- **Ασβεστόλιθος – Λατομείο Μάνδρας ΧΑΛΥΨ - (asn4)**

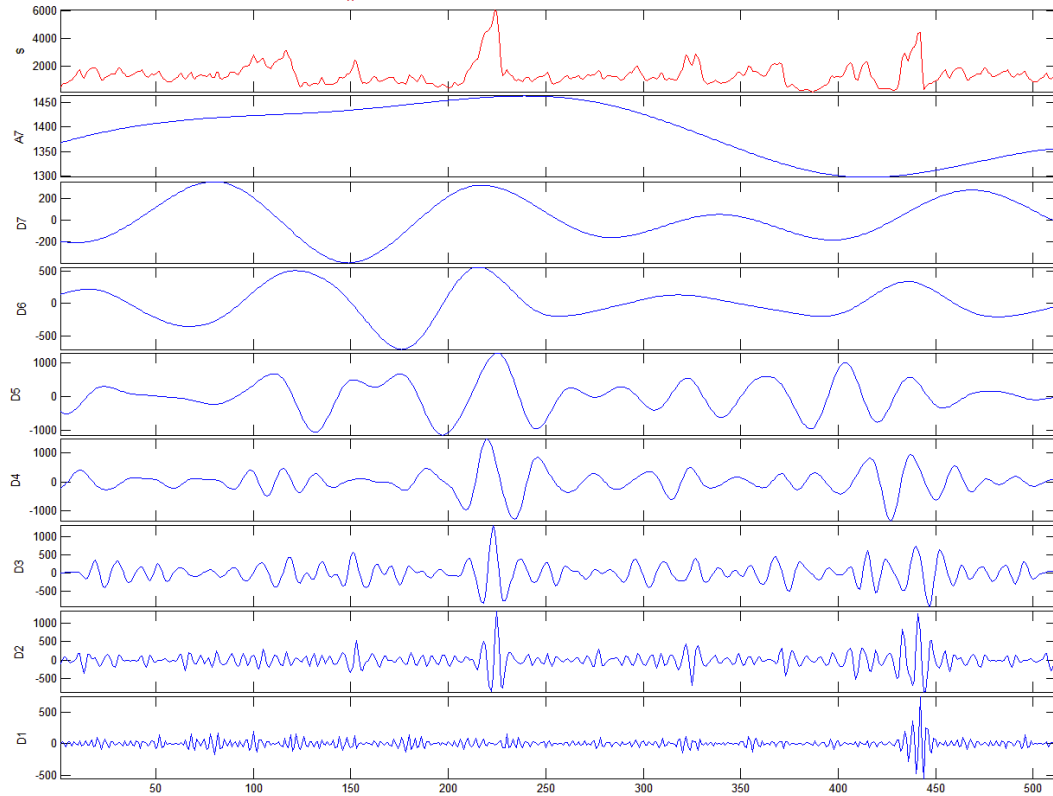
Σήμα: Fz 11-CUT1 coil5 διακριτός μετασχηματισμός κυμαπίου του σήματος. Επίπεδο 7



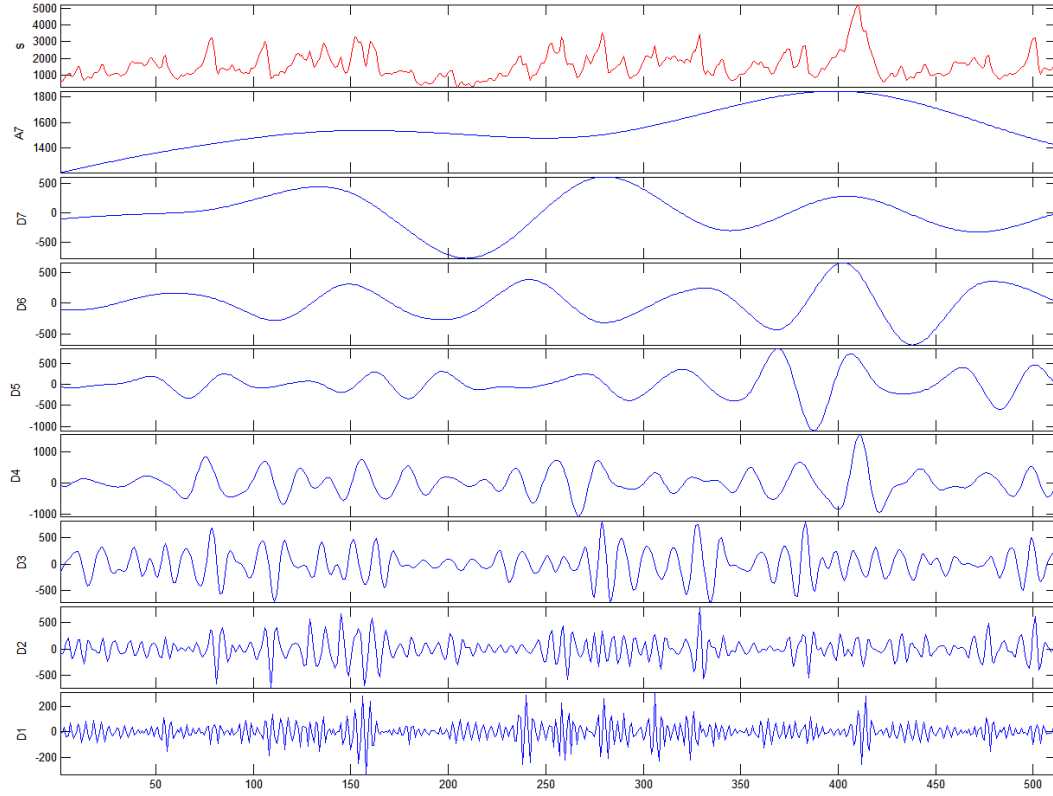
Σήμα: Fz_11-CUT2 coil5 διακριτός μετασχηματισμός κυματίου του σήματος, Επίπεδο 7



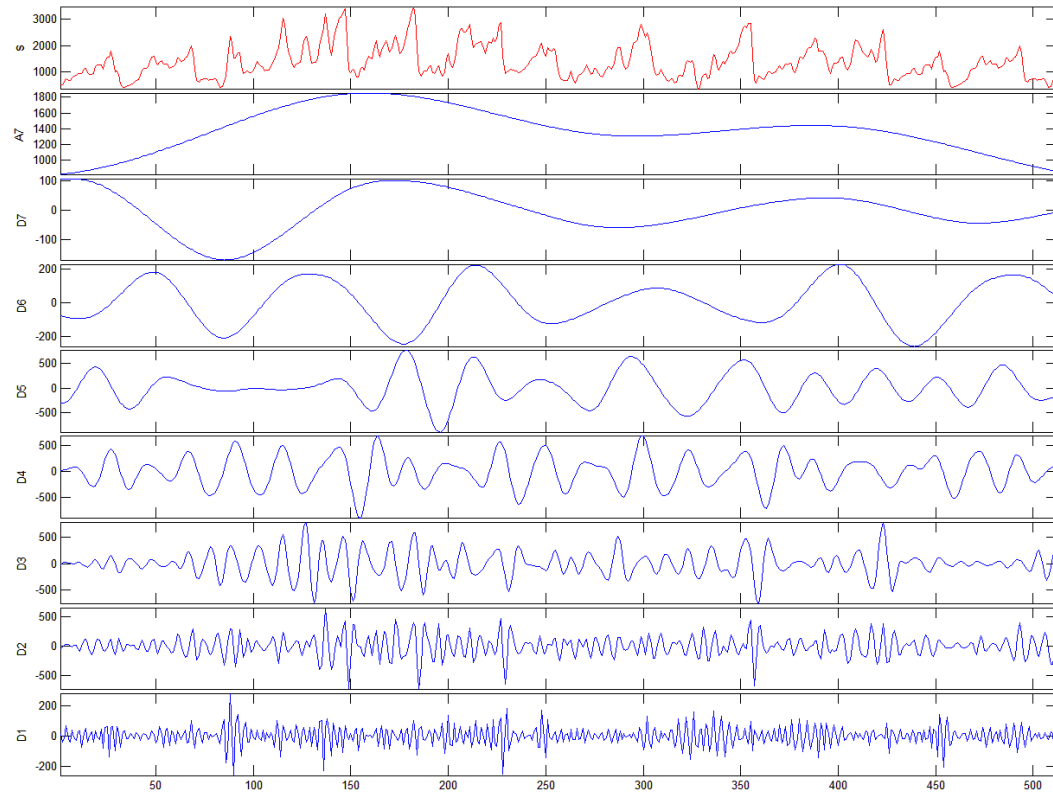
Σήμα: Fz_11-CUT3 coil5 διακριτός μετασχηματισμός κυματίου του σήματος, Επίπεδο 7



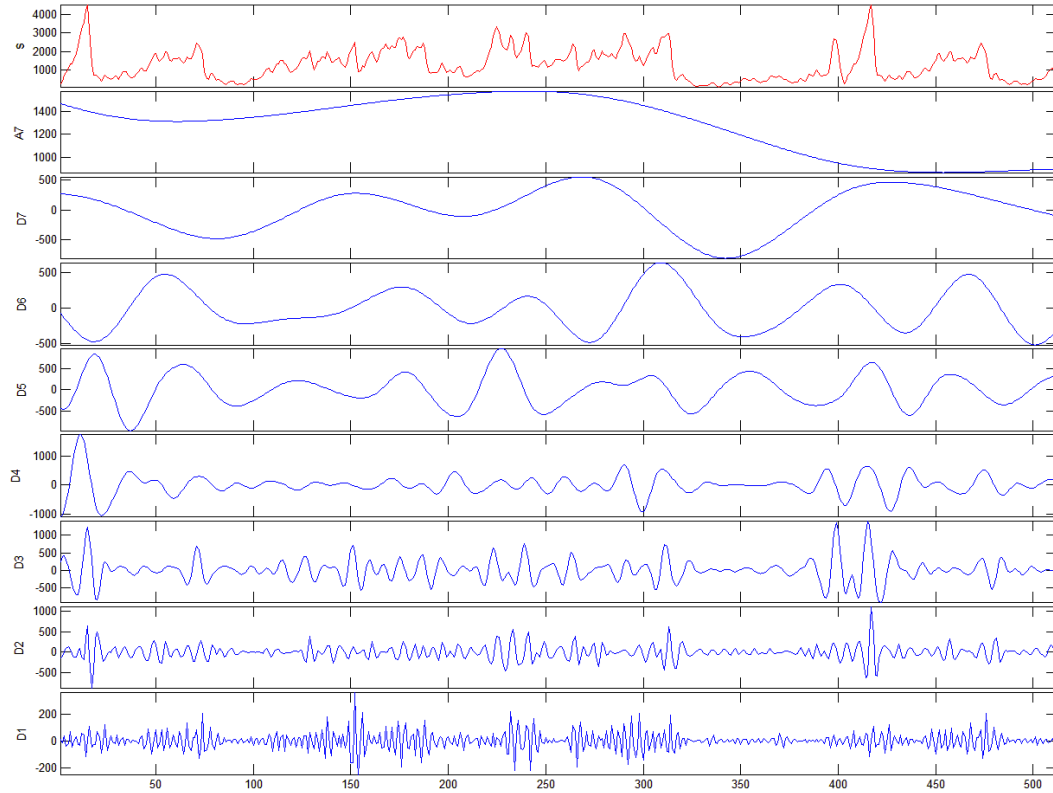
Σήμα: Fz_12-CUT2 coil5 διακριτός μετασχηματισμός κυματιδίου του σήματος, Επίπεδο 7



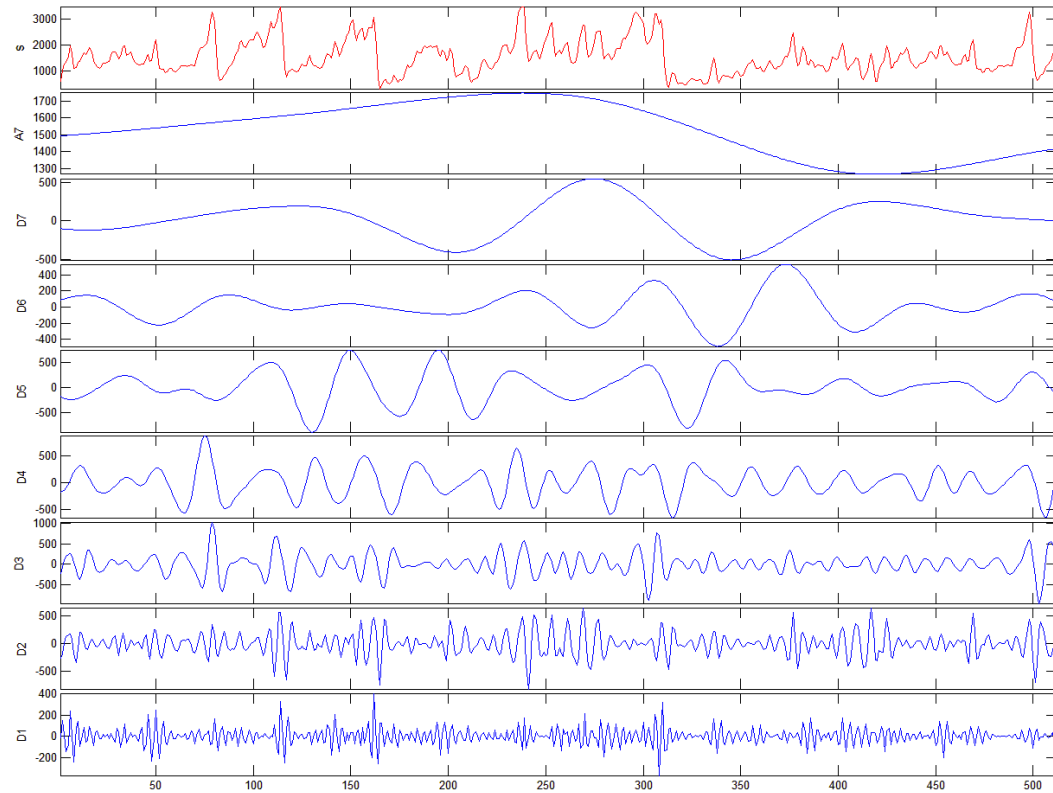
Σήμα: Fz_13-CUT1 coil5 διακριτός μετασχηματισμός κυματιδίου του σήματος, Επίπεδο 7



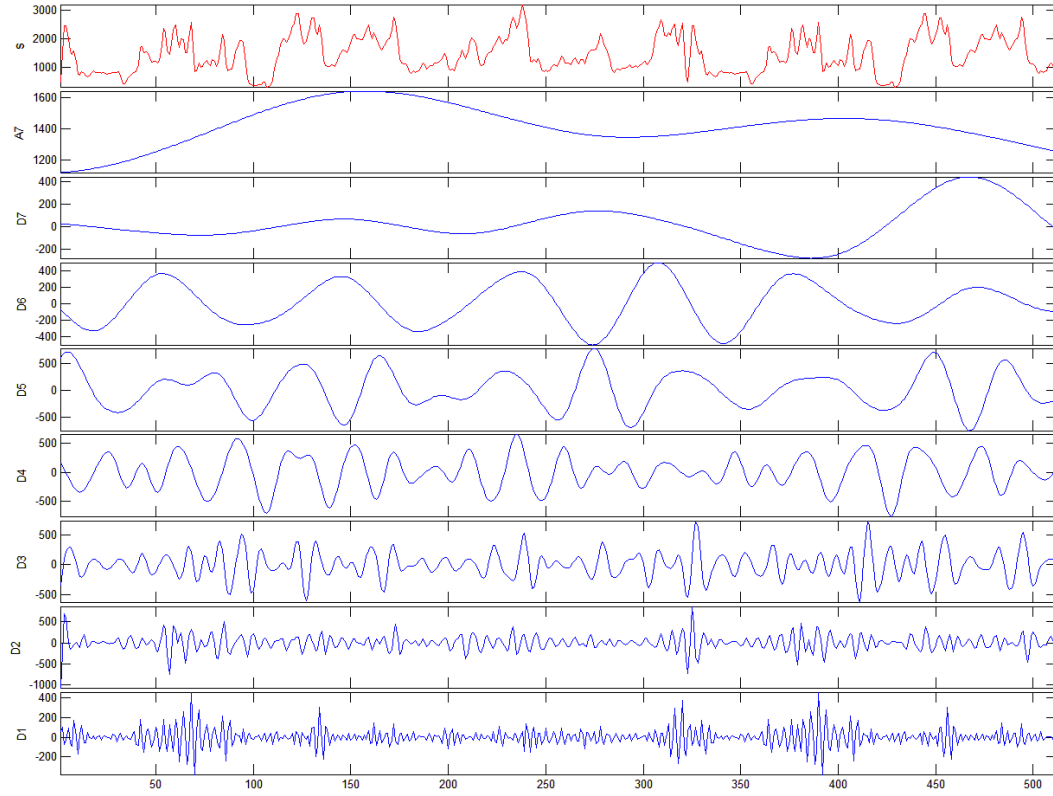
Σήμα: Fz_13-CUT3 coil5 διακριτός μετασχηματισμός κυματίου του σήματος, Επίπεδο 7



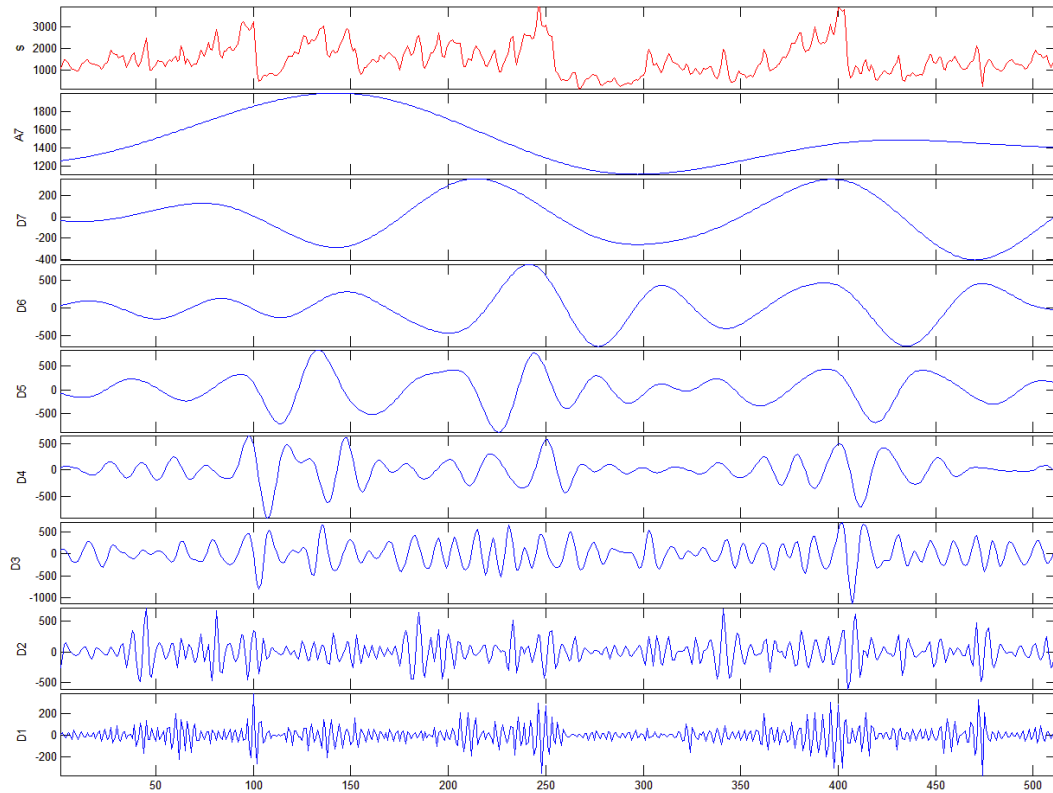
Σήμα: Fz_13-CUT4 coil5 διακριτός μετασχηματισμός κυματίου του σήματος, Επίπεδο 7



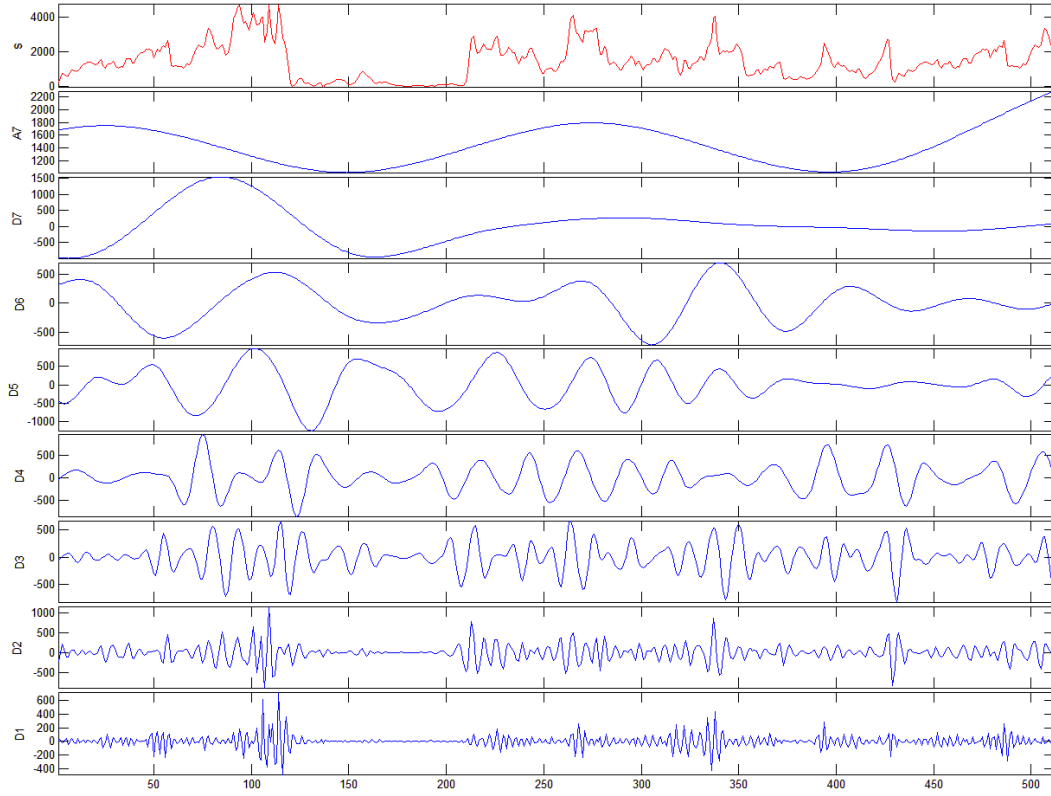
Σήμα: Fz_14-CUT1 coil5 διακριτός μετασχηματισμός κυματίδιου του σήματος, Επίπεδο 7



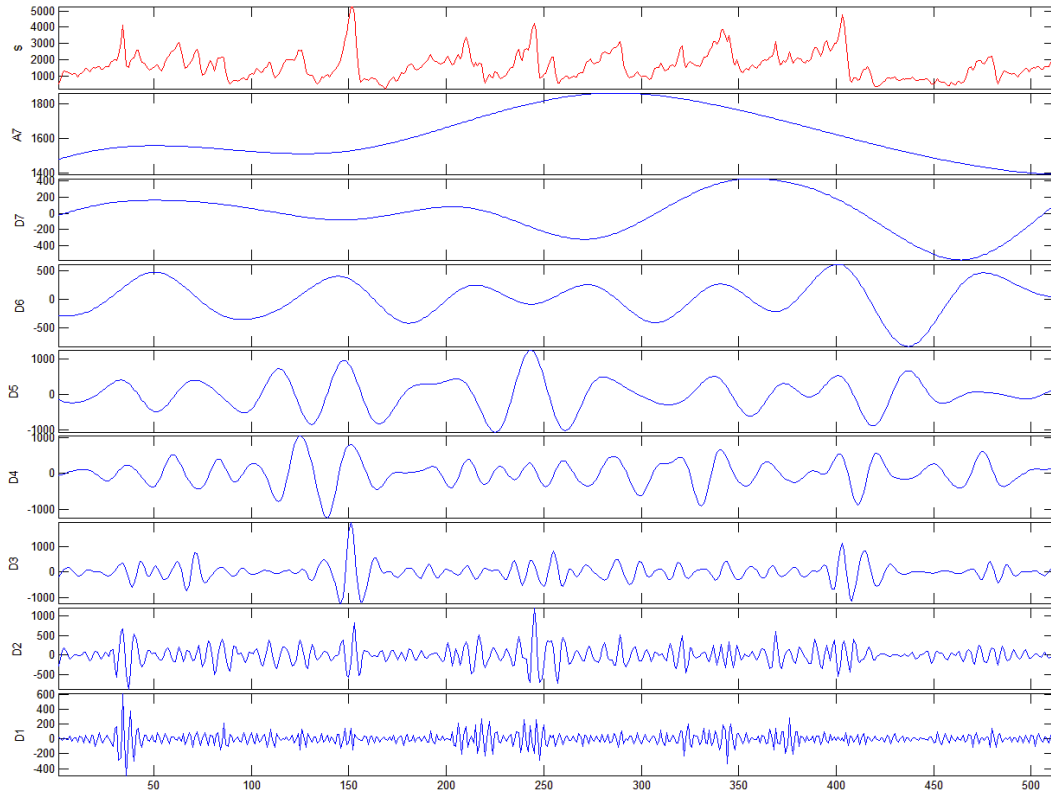
Σήμα: Fz_14-CUT2 coil5 διακριτός μετασχηματισμός κυματίδιου του σήματος, Επίπεδο 7



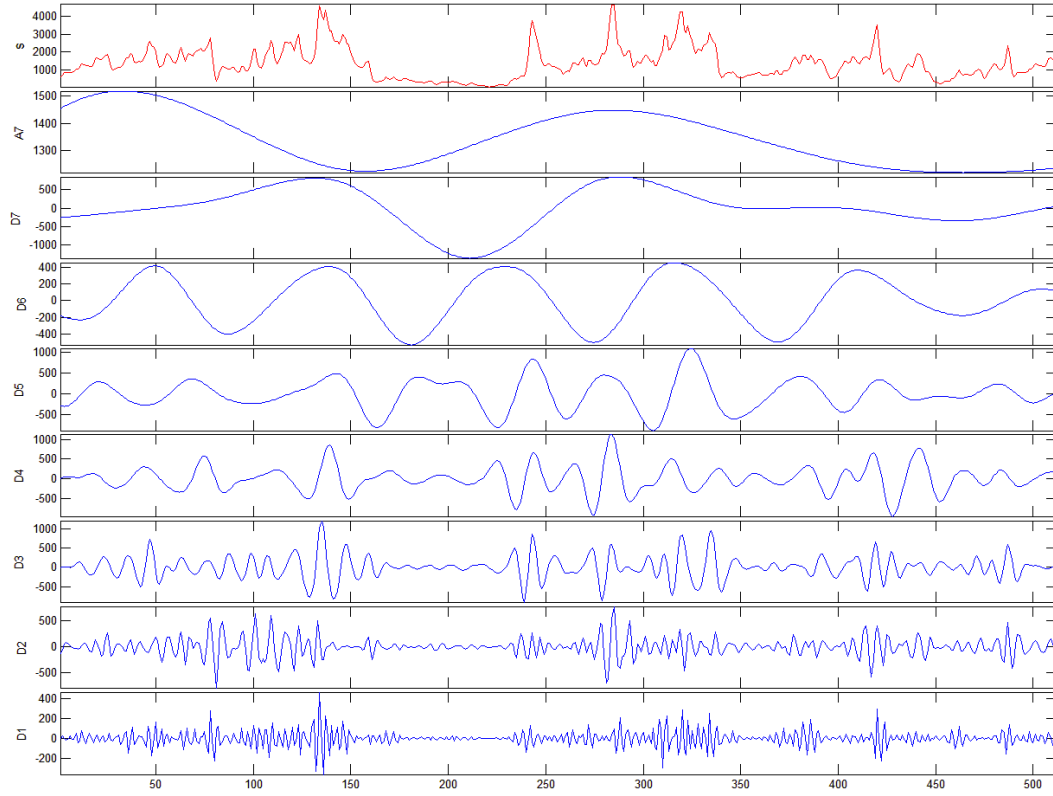
Σήμα: Fz_14-CUT3 coil5 διακριτός μετασχηματισμός κυματίου του σήματος, Επίπεδο 7



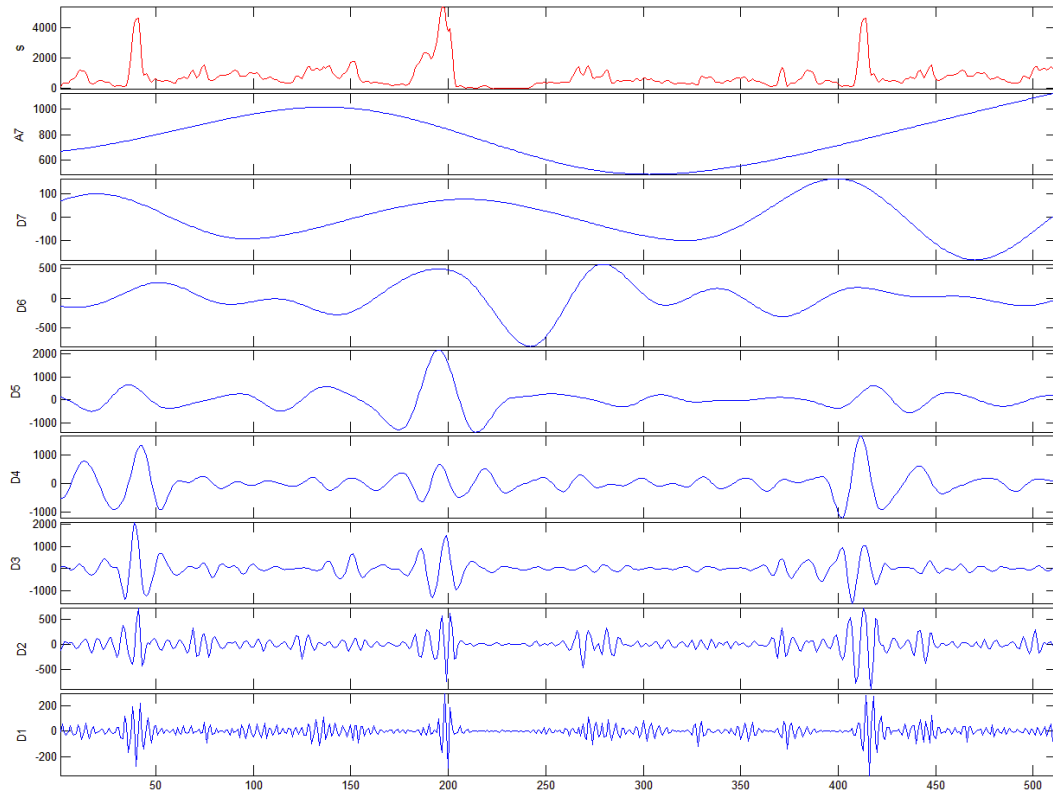
Σήμα: Fz_15-CUT1 coil5 διακριτός μετασχηματισμός κυματίου του σήματος, Επίπεδο 7



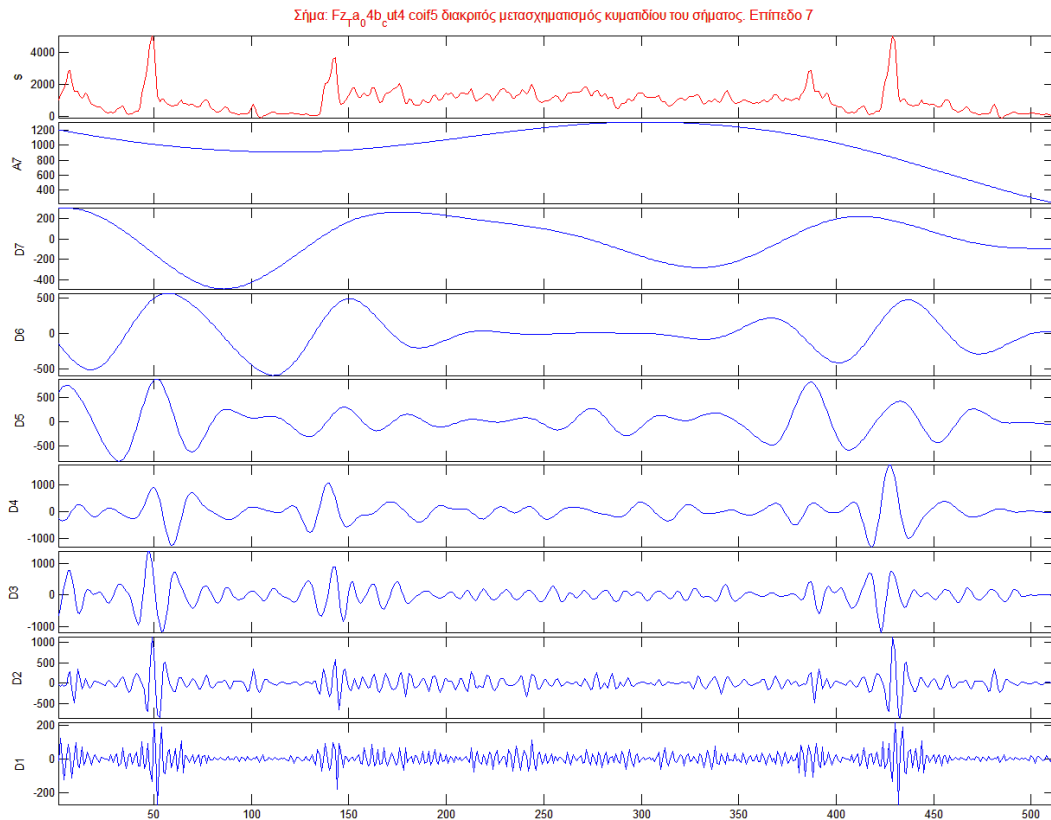
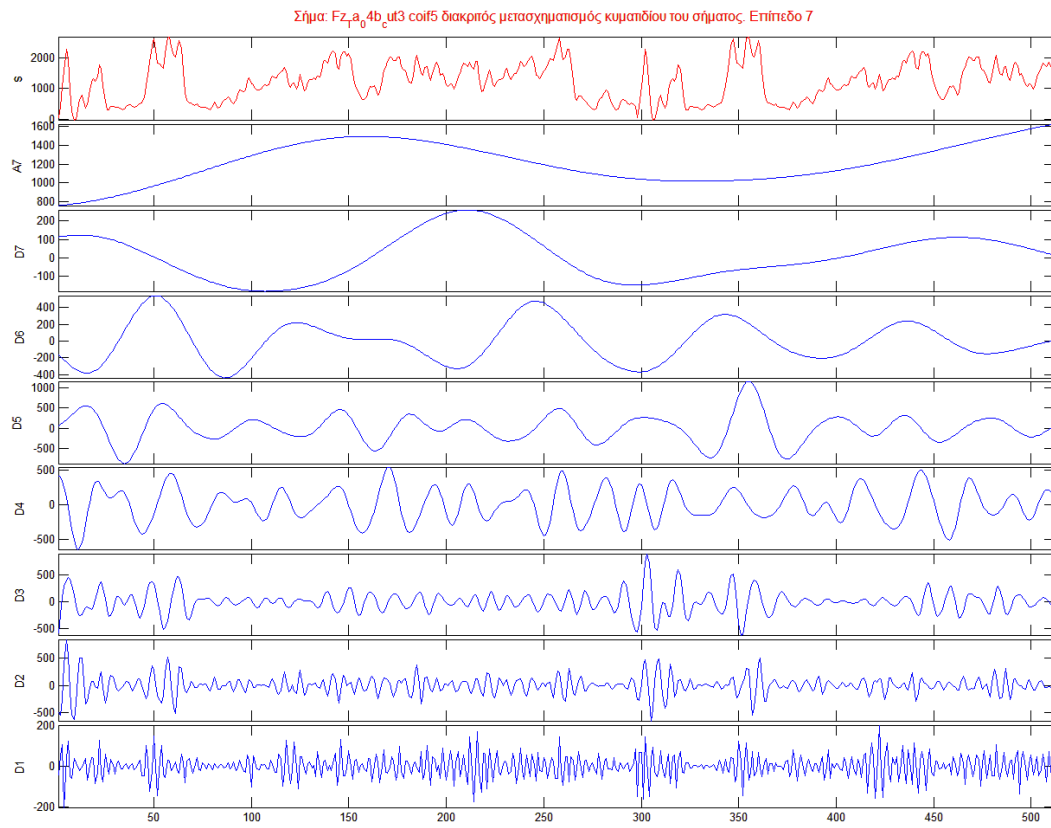
Σήμα: Fz_15-CUT3 coil5 διακριτός μετασχηματισμός κυματιδίου του σήματος, Επίπεδο 7



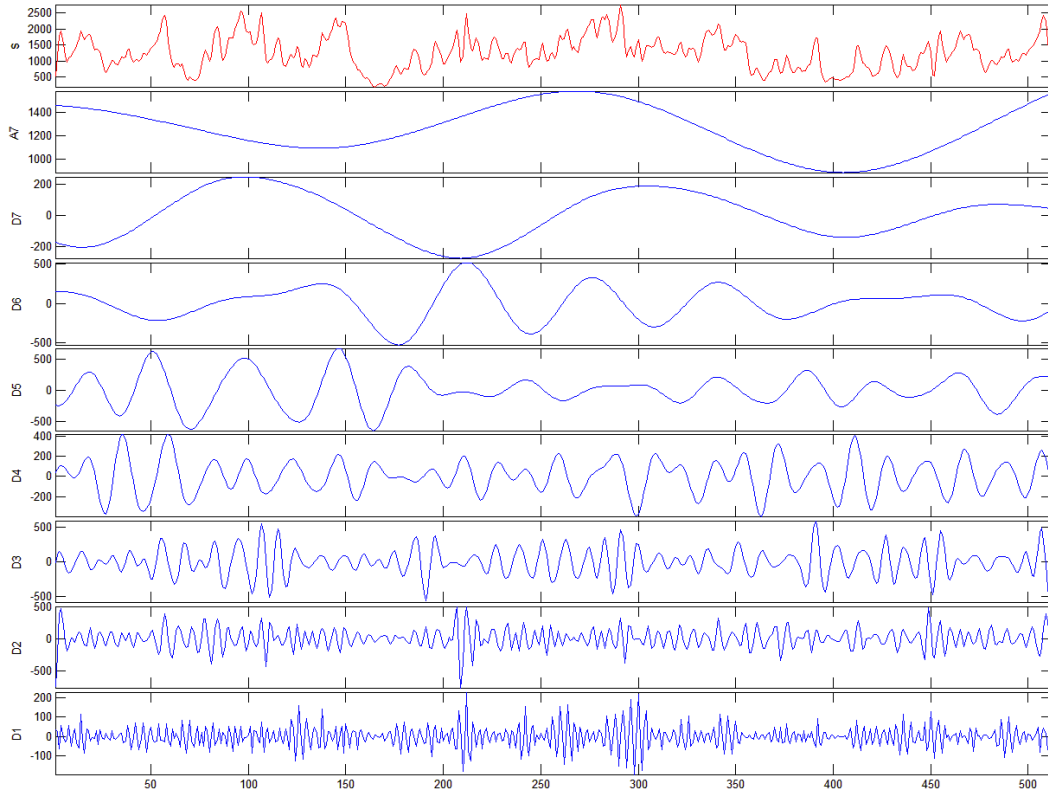
Σήμα: Fz_15-CUT4 coil5 διακριτός μετασχηματισμός κυματιδίου του σήματος, Επίπεδο 7



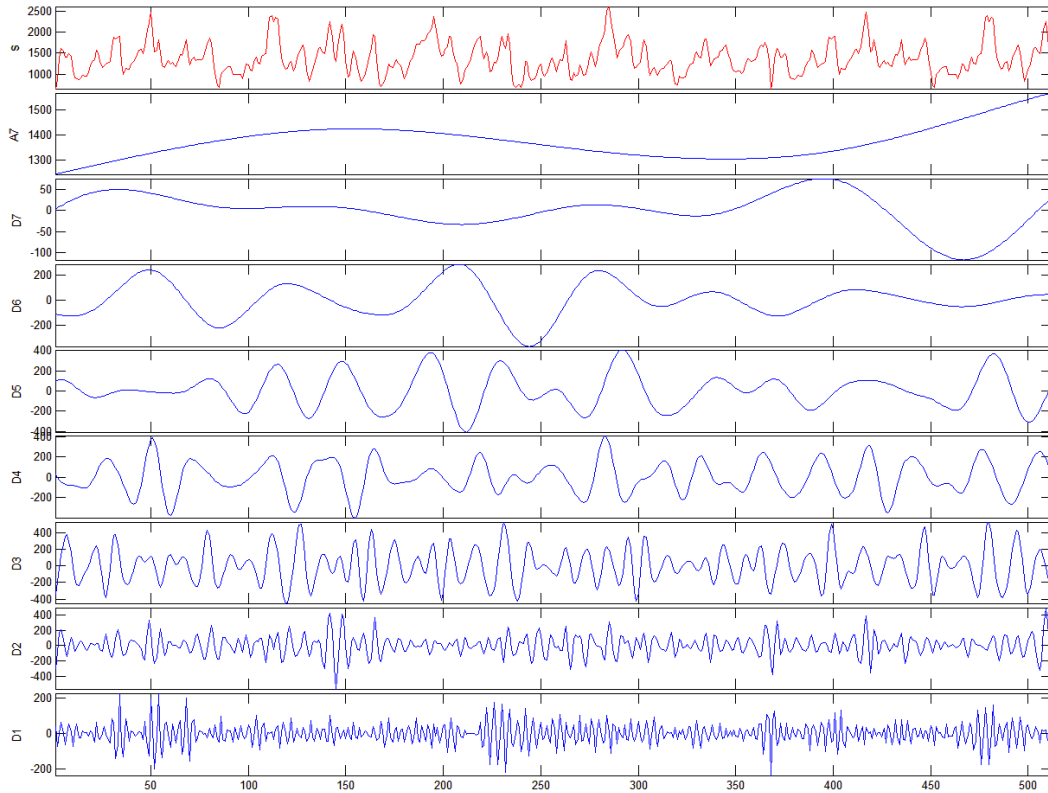
- **Νηρητικός Ασβεστόλιθος Παλαιόκαινου – Λατομείο Καγιάννη Τρίπολη - (asn5)**



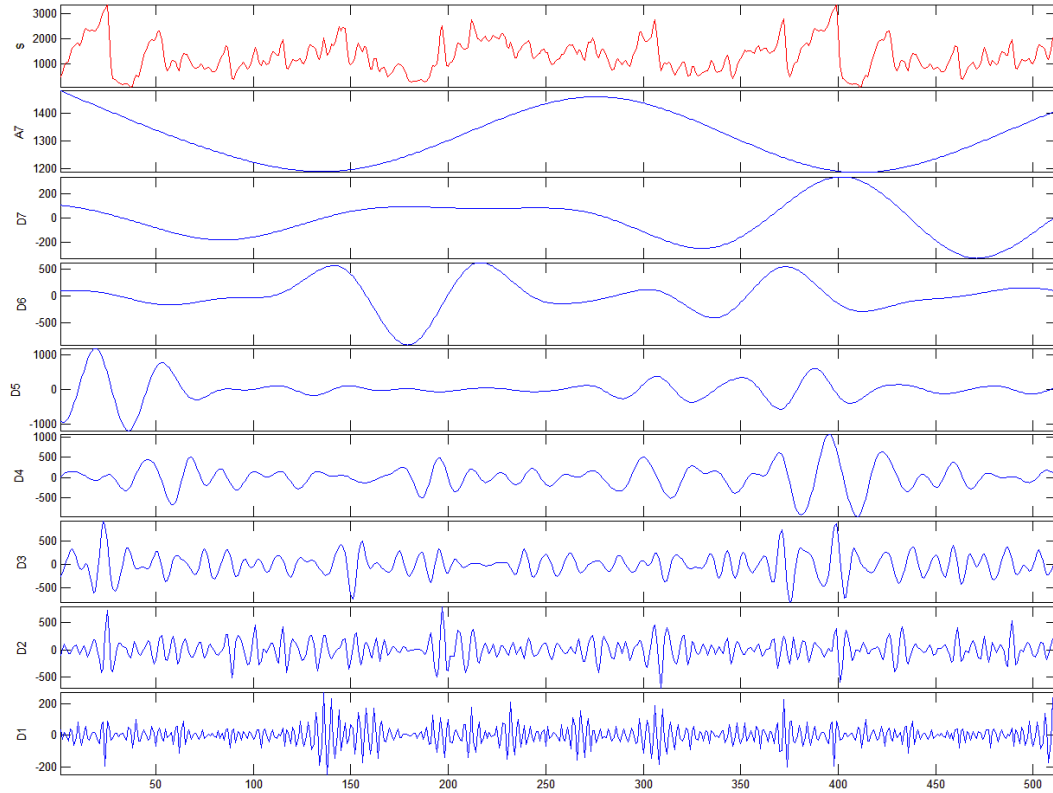
Σήμα: Fz_a_5b_ut1 coif5 διακριτός μετασχηματισμός κυματοδίου του σήματος. Επίπεδο 7



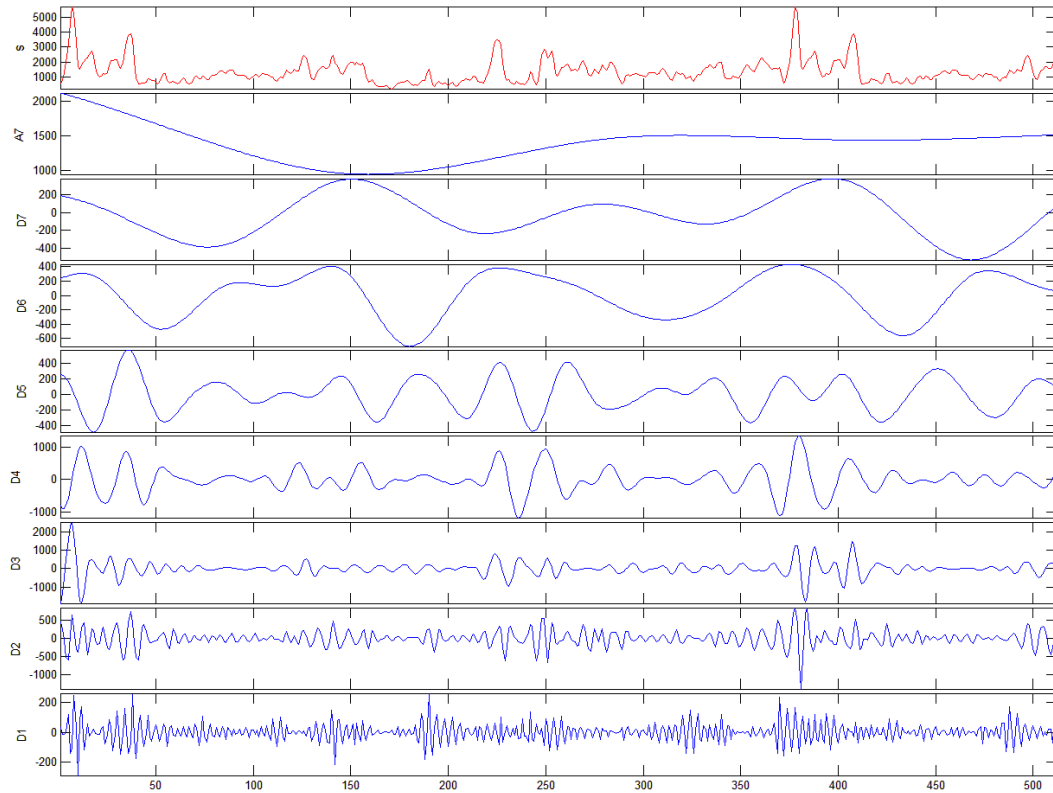
Σήμα: Fz_a_5b_ut2 coif5 διακριτός μετασχηματισμός κυματοδίου του σήματος. Επίπεδο 7



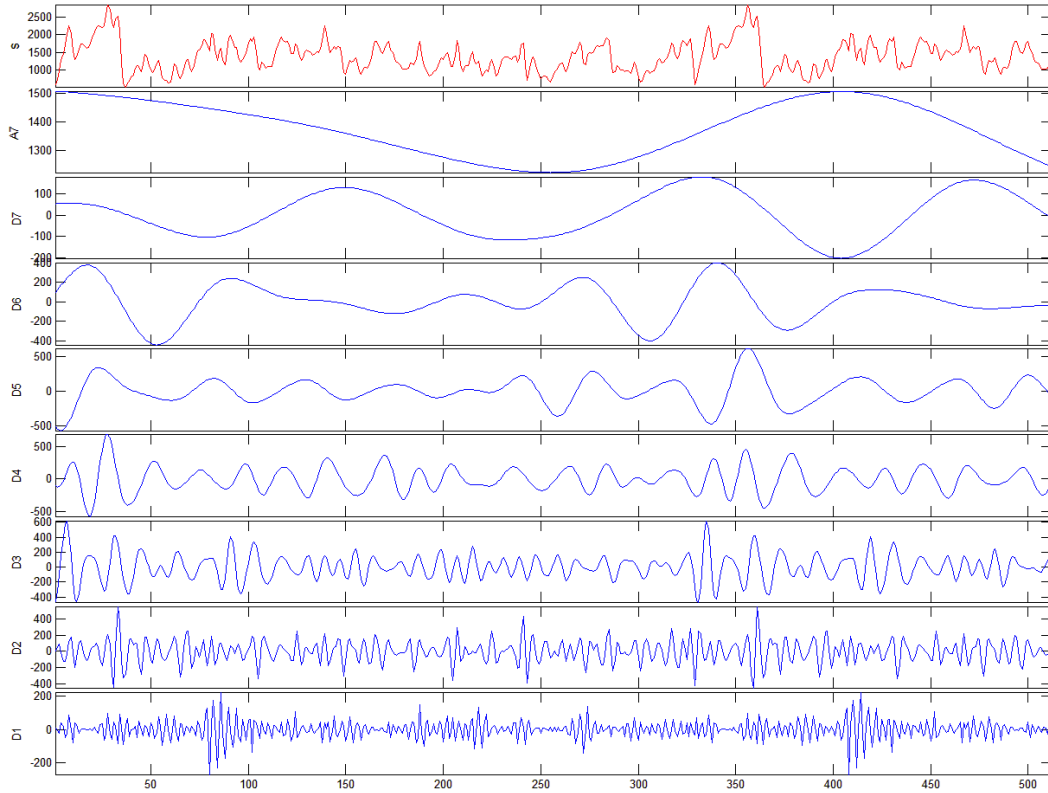
Σήμα: Fz_a_5b_uf3 coi5 διακριτός μετασχηματισμός κυματοδίου του σήματος. Επίπεδο 7



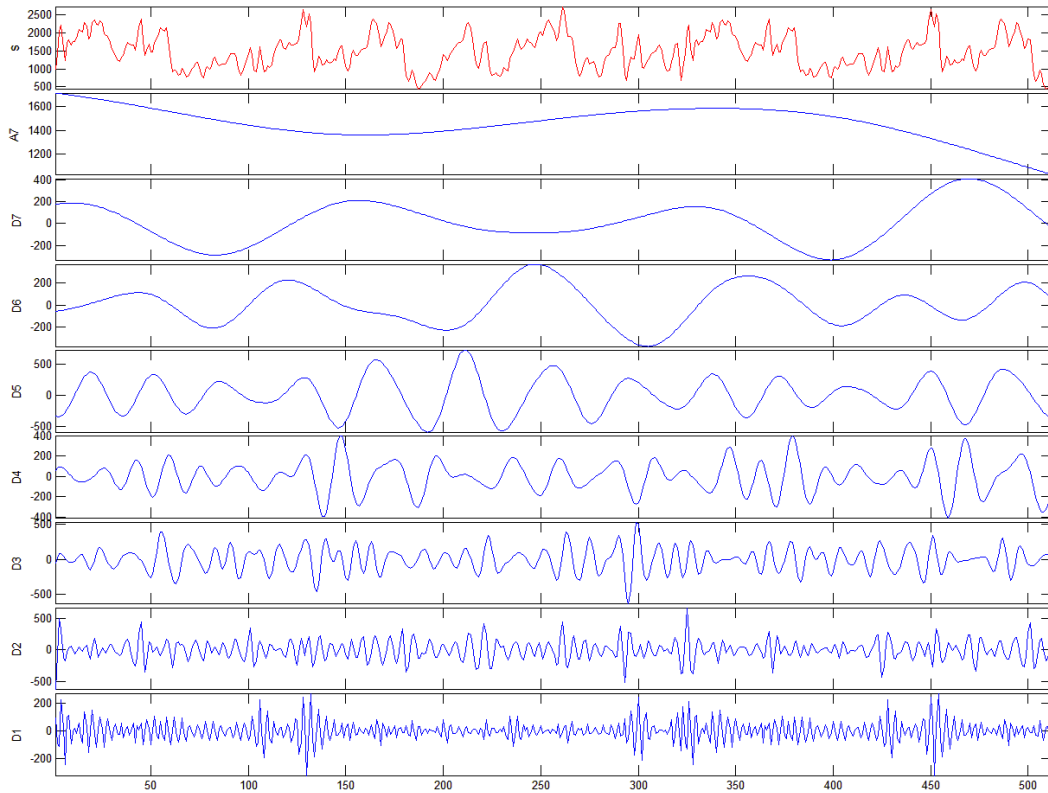
Σήμα: Fz_a_5b_uf4 coi5 διακριτός μετασχηματισμός κυματοδίου του σήματος. Επίπεδο 7



Σήμα: Fz_a0_4b_ut1 coil5 διακριτός μετασχηματισμός κυματίδιου του σήματος. Επίπεδο 7

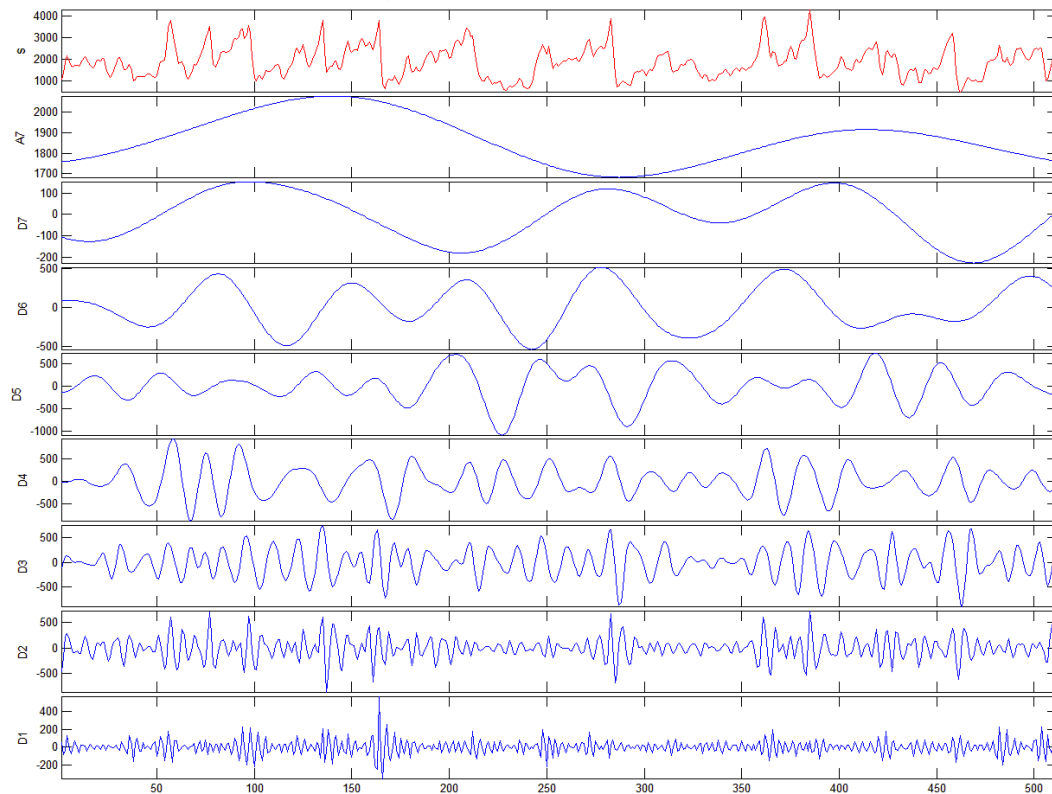


Σήμα: Fz_a0_4b_ut2 coil5 διακριτός μετασχηματισμός κυματίδιου του σήματος. Επίπεδο 7

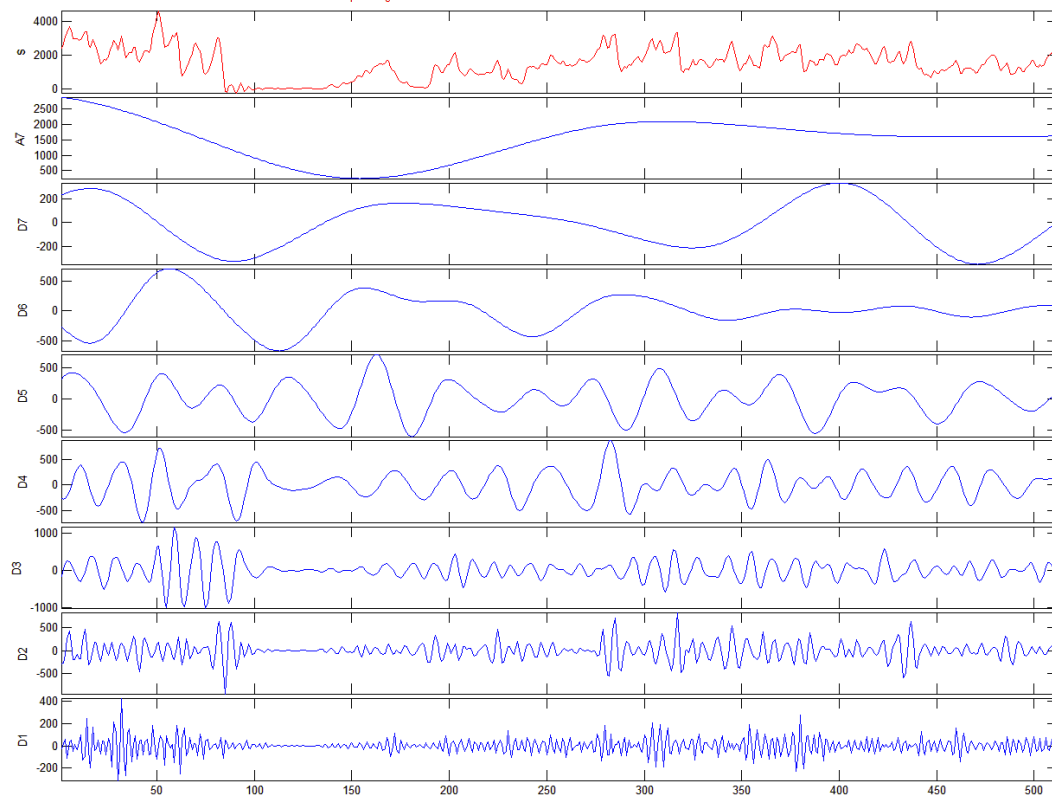


• Ασβεστόλιθος Ιουρασικού – Λατομεία Πρεβέζης - (asn6)

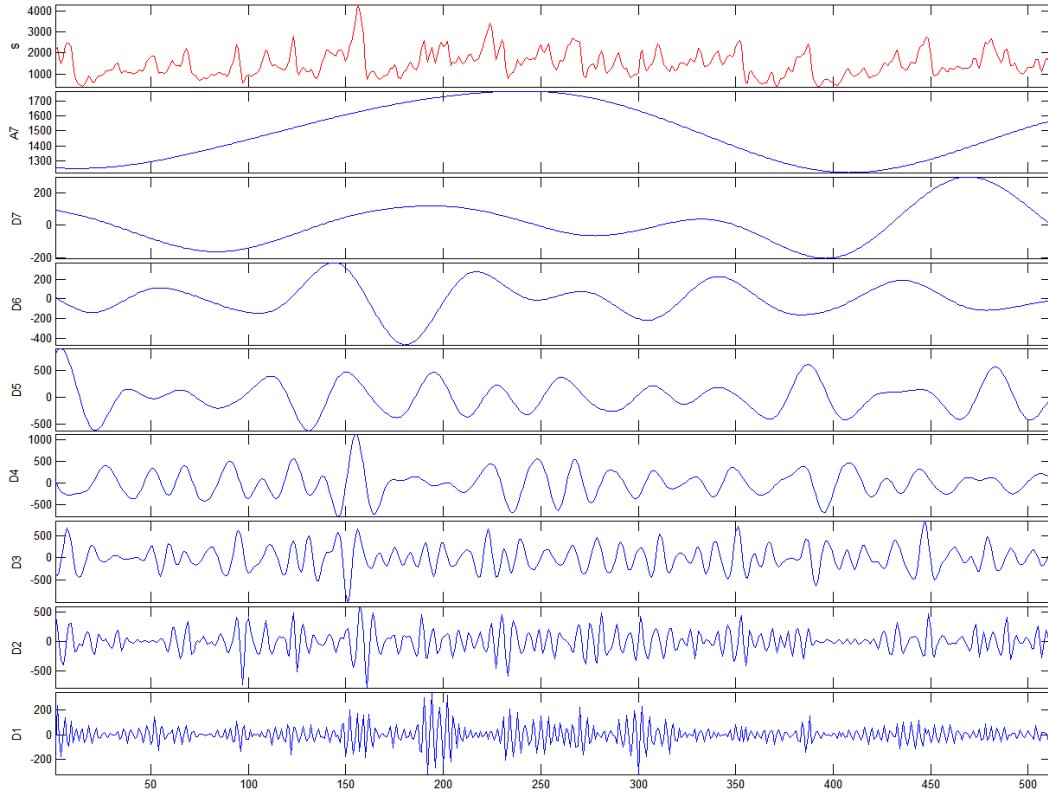
Σήμα: Fz_p-a-07_μ2 coil5 διακριτός μετασχηματισμός κυμασίδου του σήματος. Επίπεδο 7



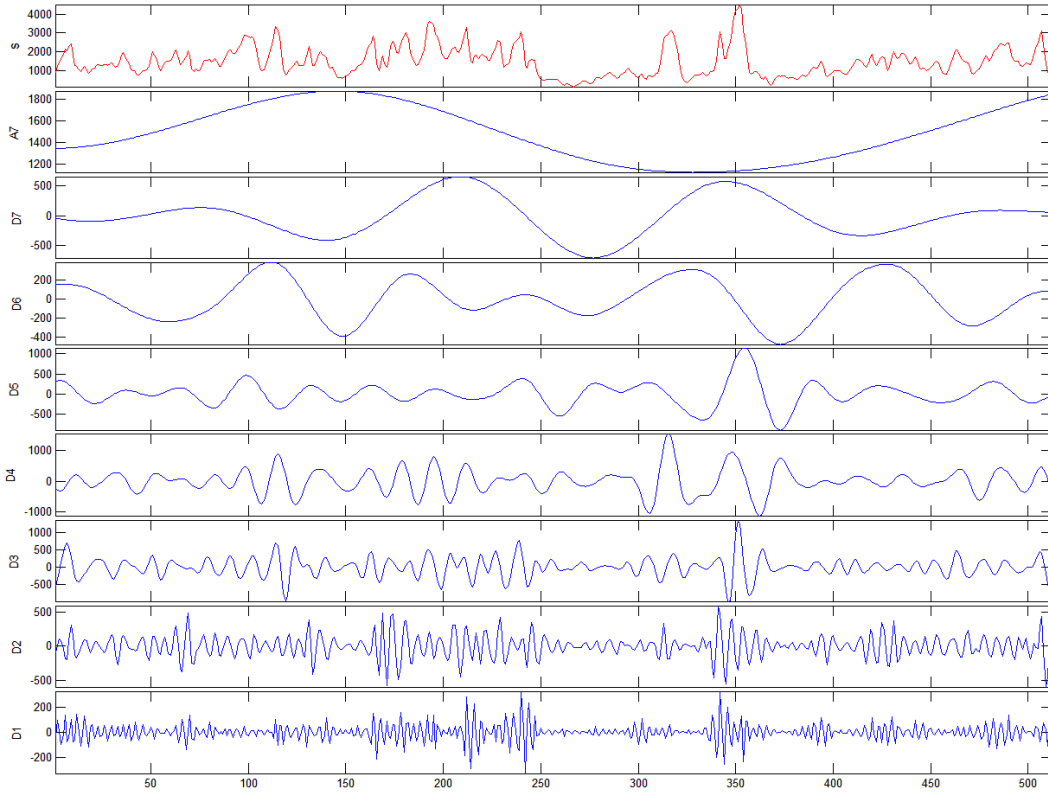
Σήμα: Fz_p-a-01_μ4 coil5 διακριτός μετασχηματισμός κυμασίδου του σήματος. Επίπεδο 7



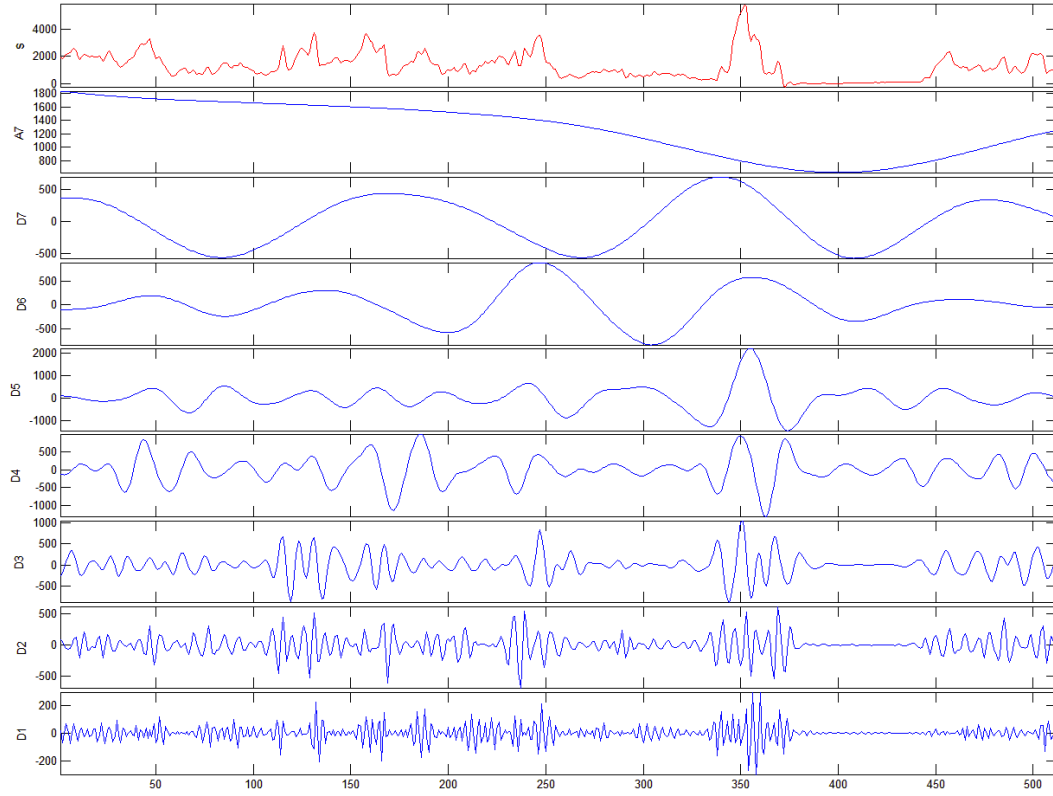
Σήμα: Fz_p-a-02_uf3 coil5 διακριτός μετασχηματισμός κυματοδίου του σήματος. Επίπεδο 7



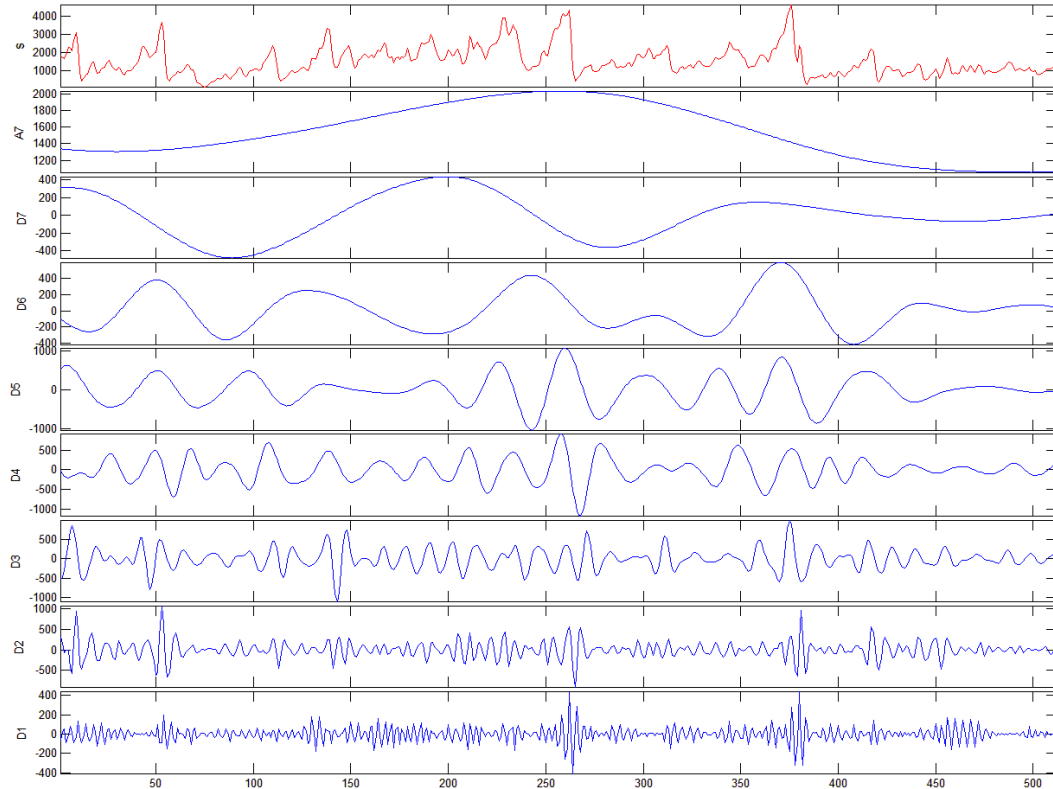
Σήμα: Fz_p-a-02_uf4 coil5 διακριτός μετασχηματισμός κυματοδίου του σήματος. Επίπεδο 7

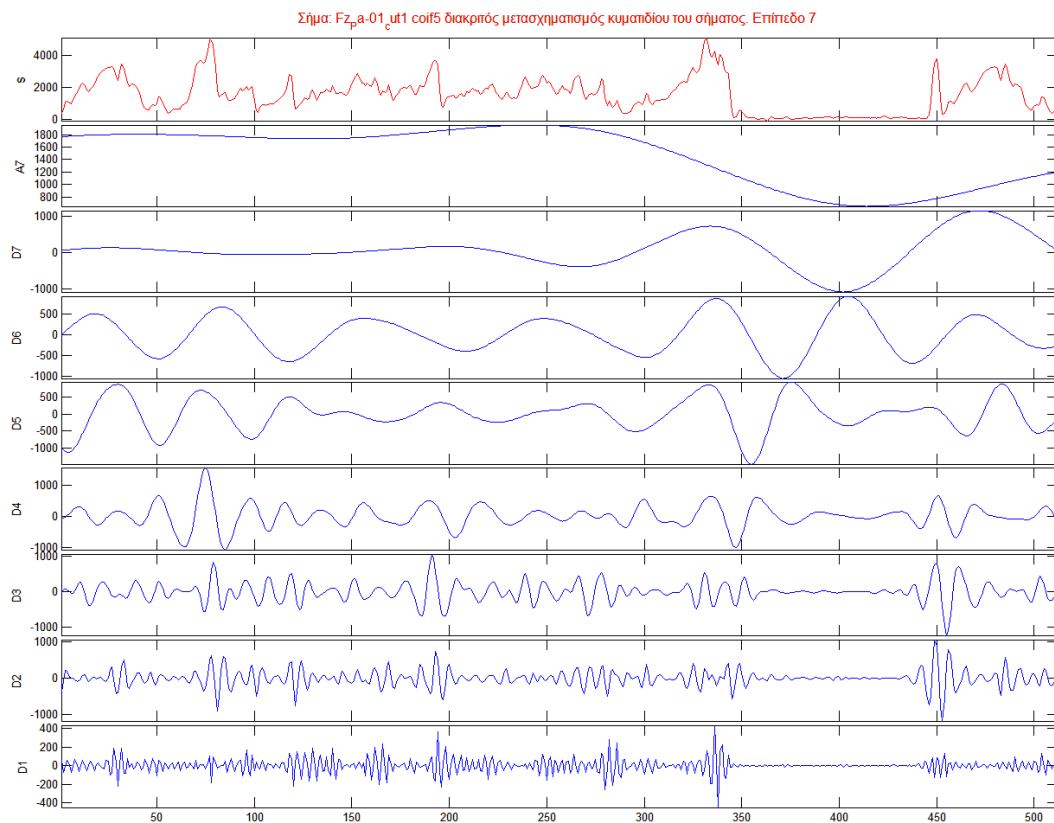
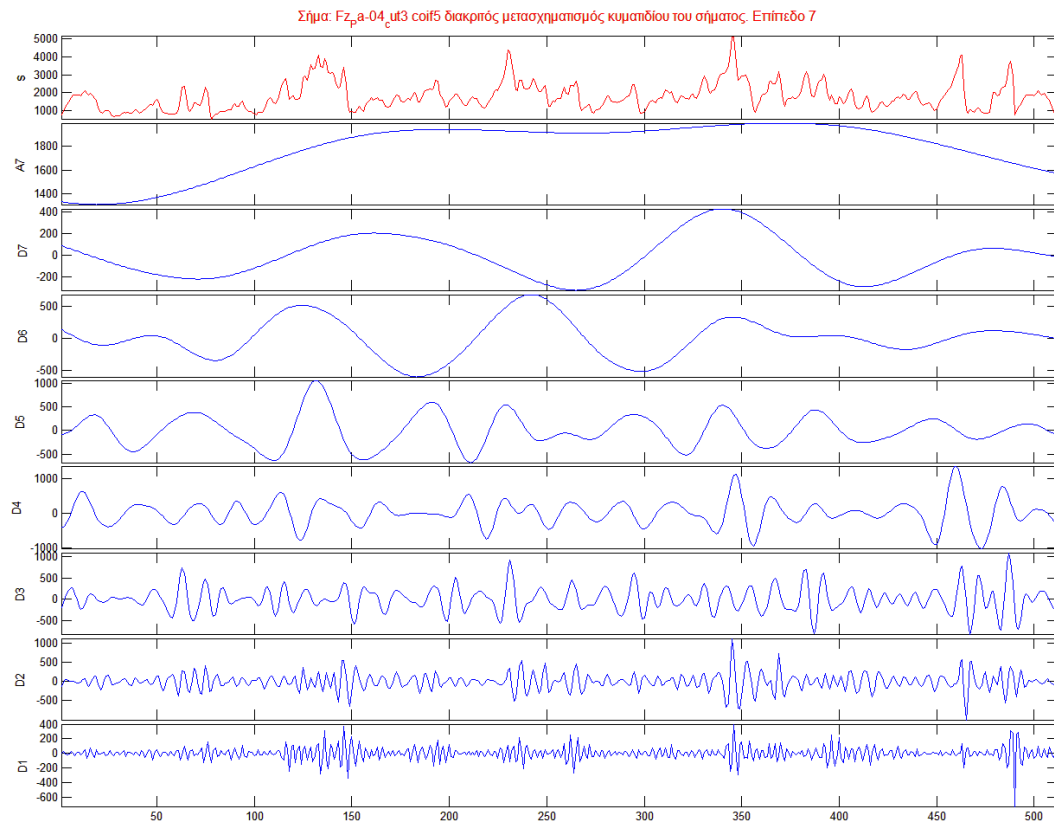


Σήμα: Fz_p-a-04_ut1 coif5 διακριτός μετασχηματισμός κυματοδίου του σήματος. Επίπεδο 7

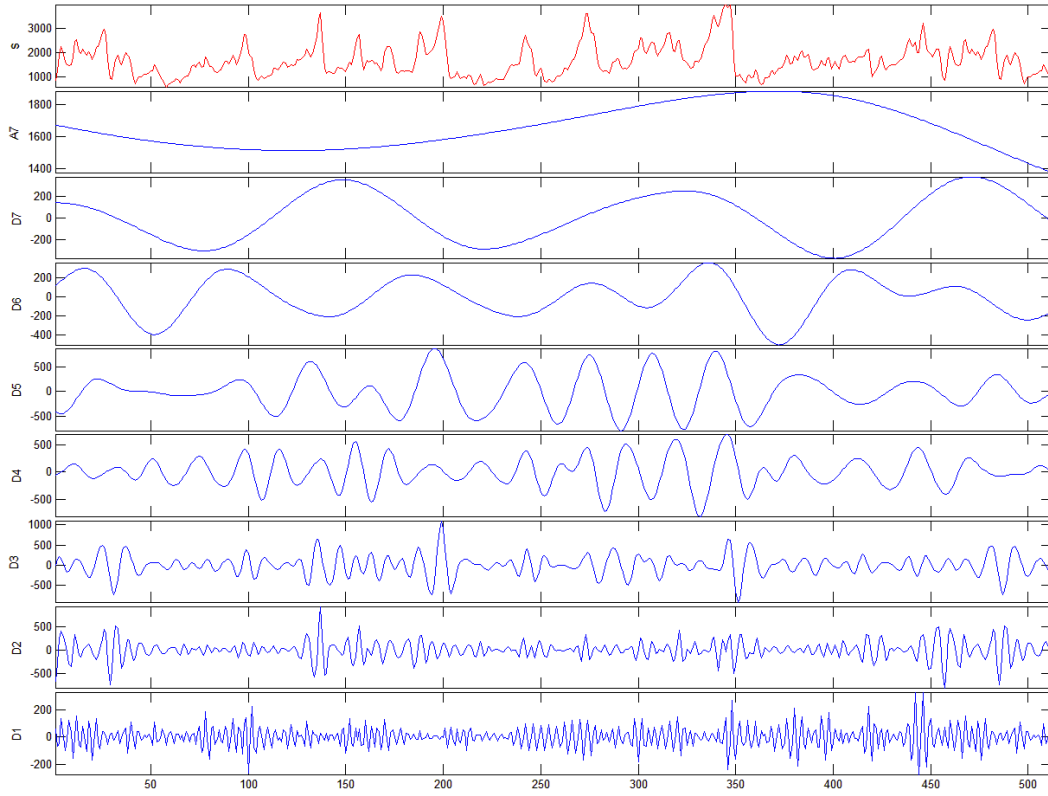


Σήμα: Fz_p-a-04_ut2 coif5 διακριτός μετασχηματισμός κυματοδίου του σήματος. Επίπεδο 7

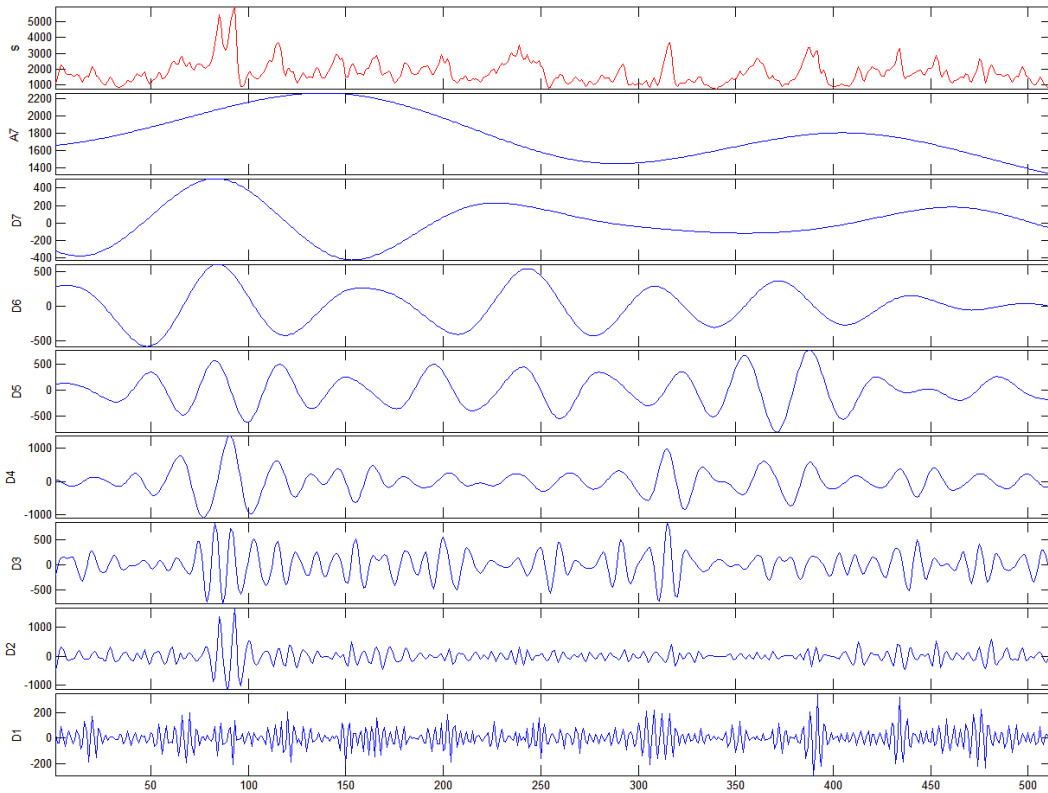




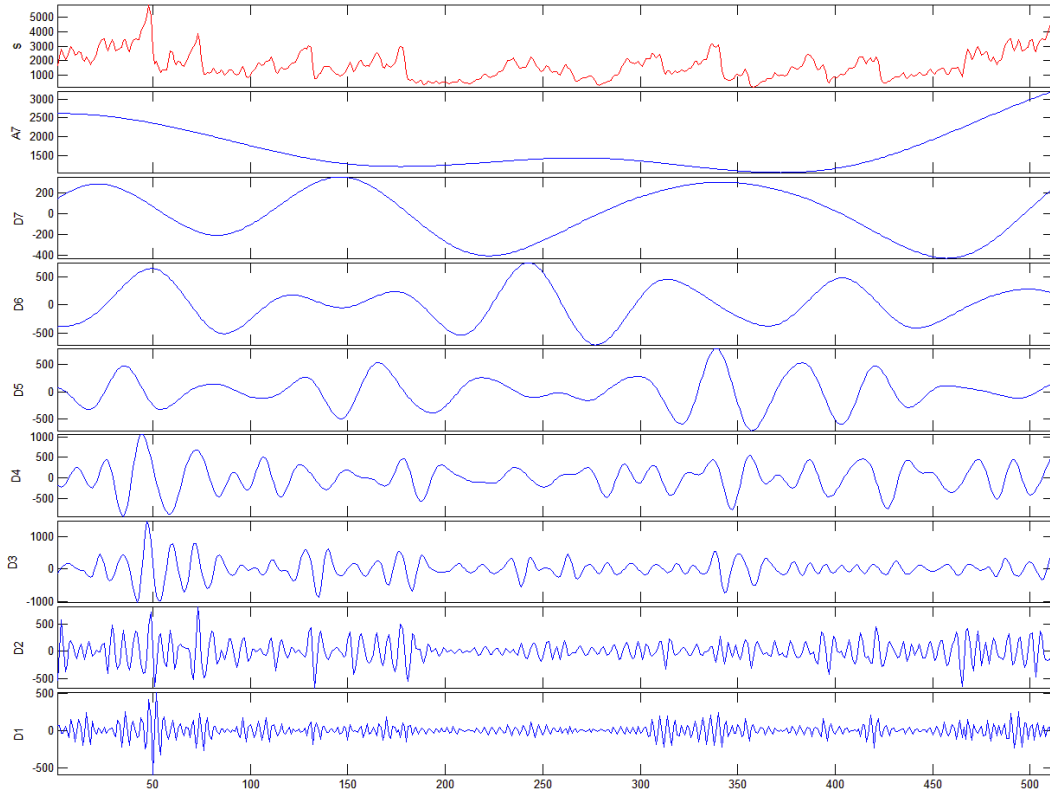
Σήμα: Fz_p-a-04_uf4 coi5 διακριτός μετασχηματισμός κυματιδίου του σήματος. Επίπεδο 7



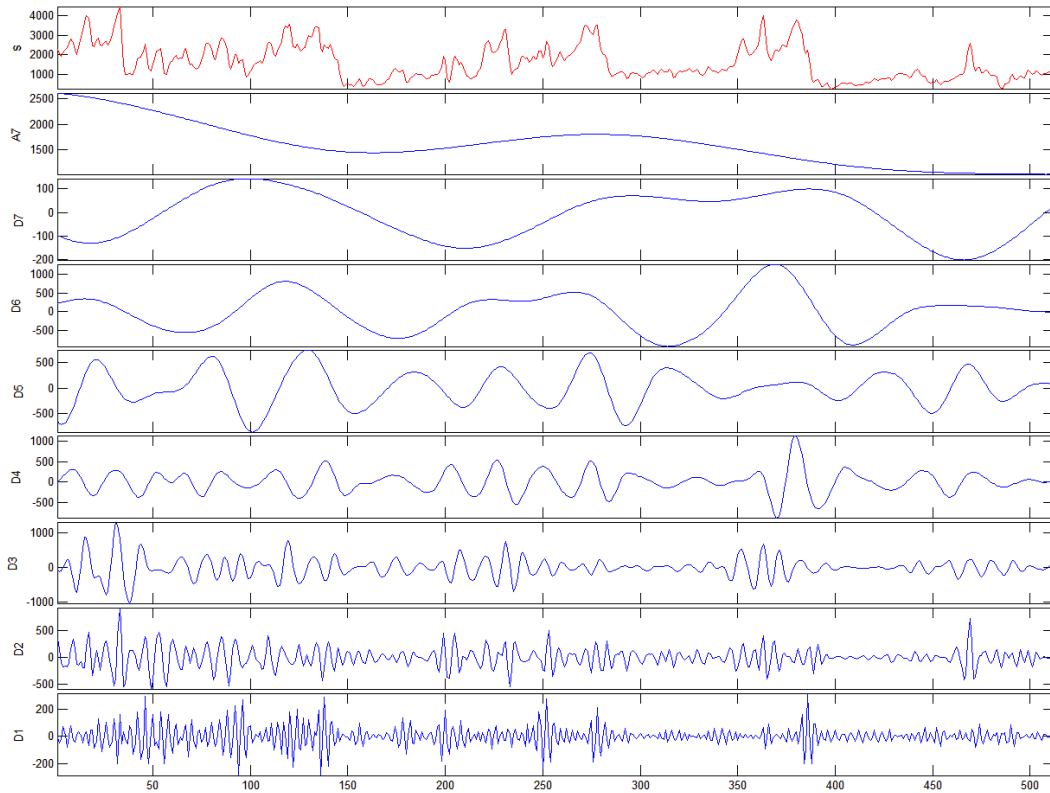
Σήμα: Fz_p-a-01_uf2 coi5 διακριτός μετασχηματισμός κυματιδίου του σήματος. Επίπεδο 7



Σήμα: Fz_p-a-07_uf1 κοίf5 διακριτός μετασχηματισμός κυματιδίου του σήματος. Επίπεδο 7

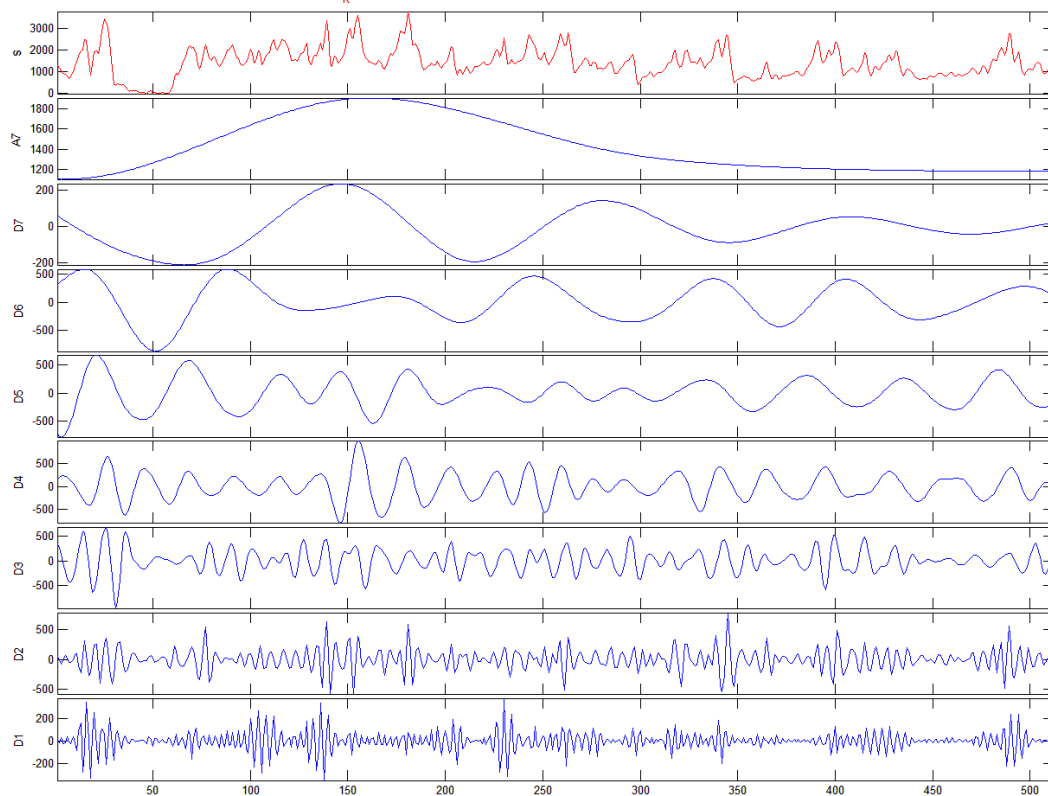


Σήμα: Fz_p-a-01_uf3 κοίf5 διακριτός μετασχηματισμός κυματιδίου του σήματος. Επίπεδο 7

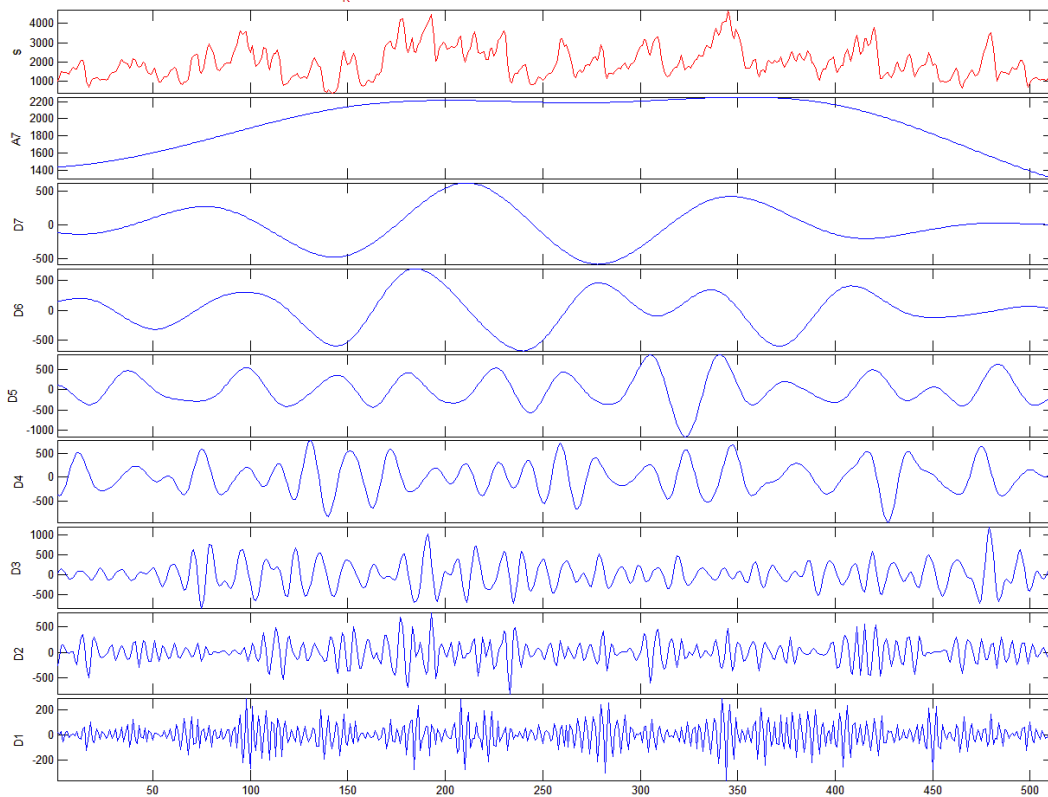


• Ασβεστόλιθος Κρυσταλλικός – Λατομείο Βούλας Τρίκαλα - (asn7)

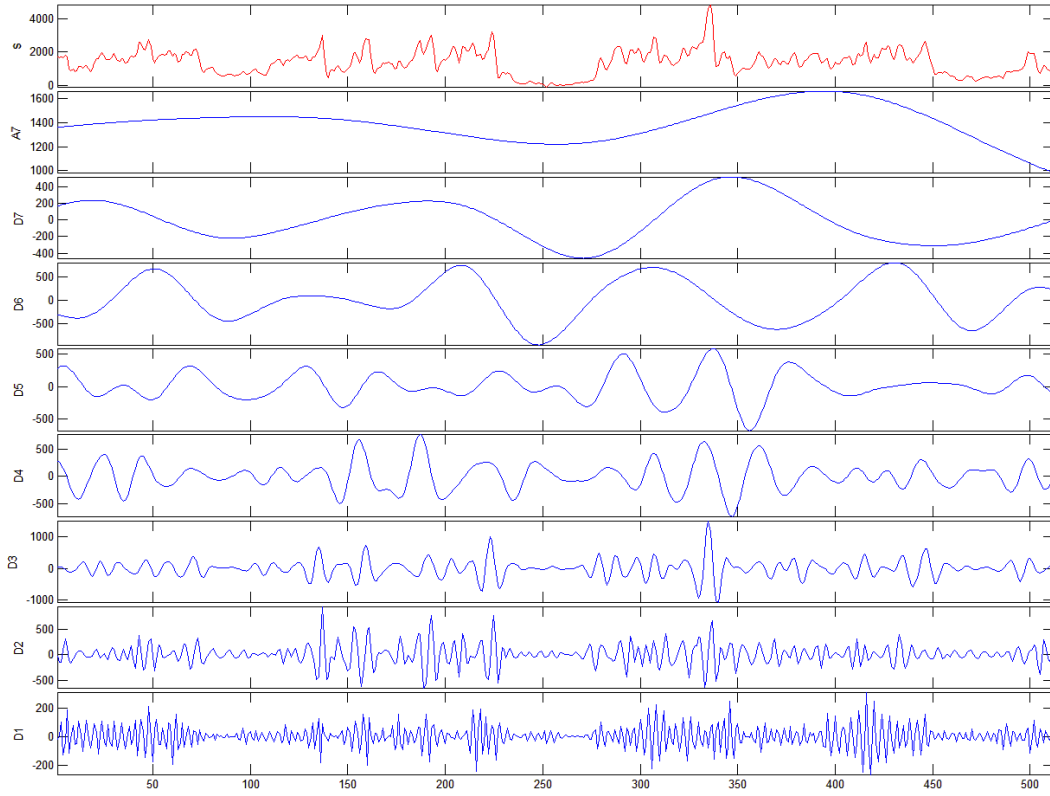
Σήμα: Fz_a-05-cut1 coi5 διακριτός μετασχηματισμός κυμαπιδίου του σήματος. Επίπεδο 7



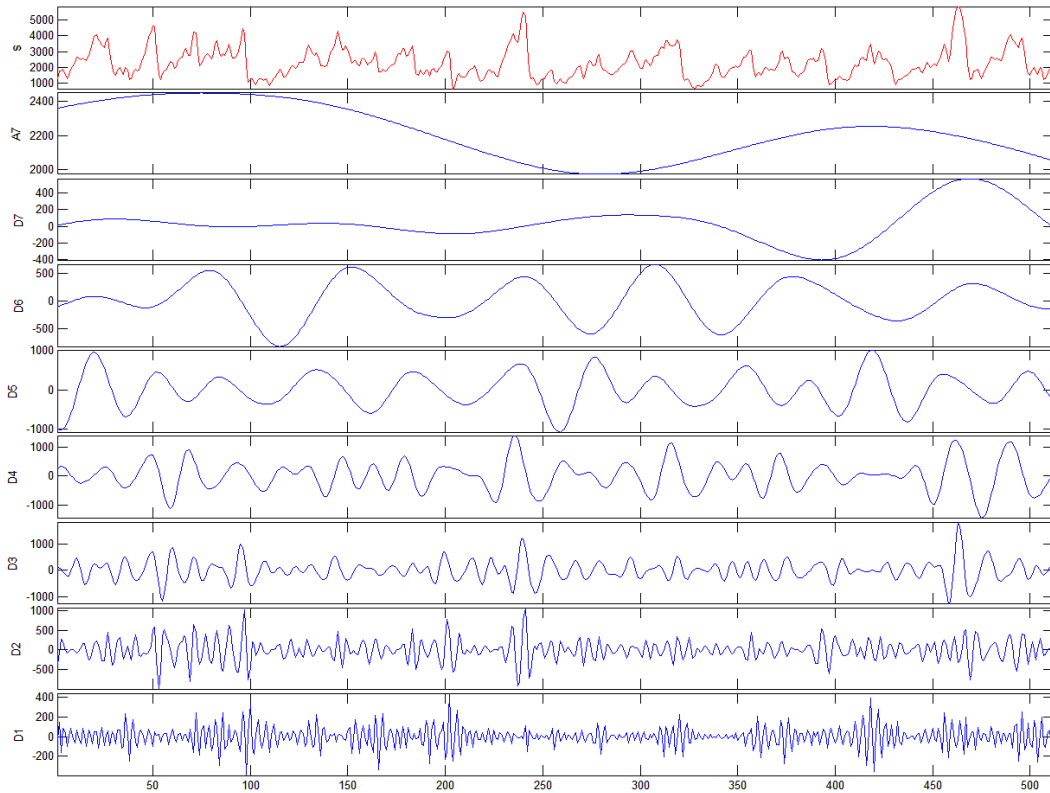
Σήμα: Fz_a-05-cut2 coi5 διακριτός μετασχηματισμός κυμαπιδίου του σήματος. Επίπεδο 7



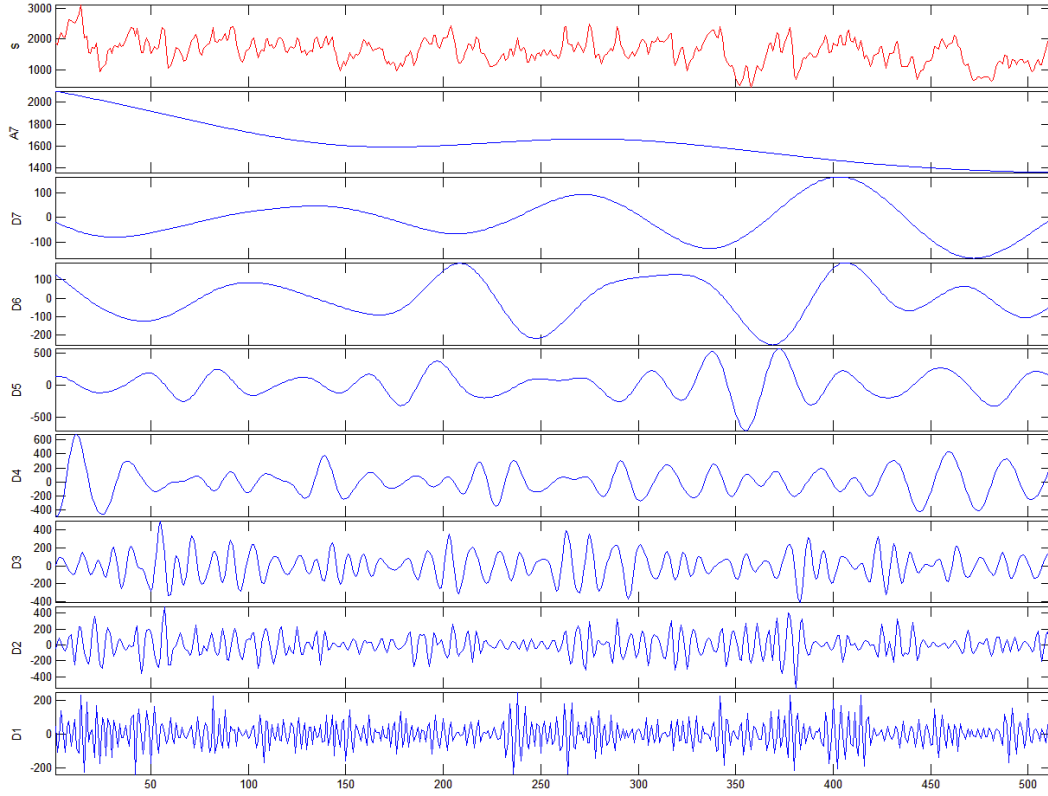
Σημά: Fz_a-05-cut3 coil5 διακριτός μετασχηματισμός κυματίδιου του σήματος. Επίπεδο 7



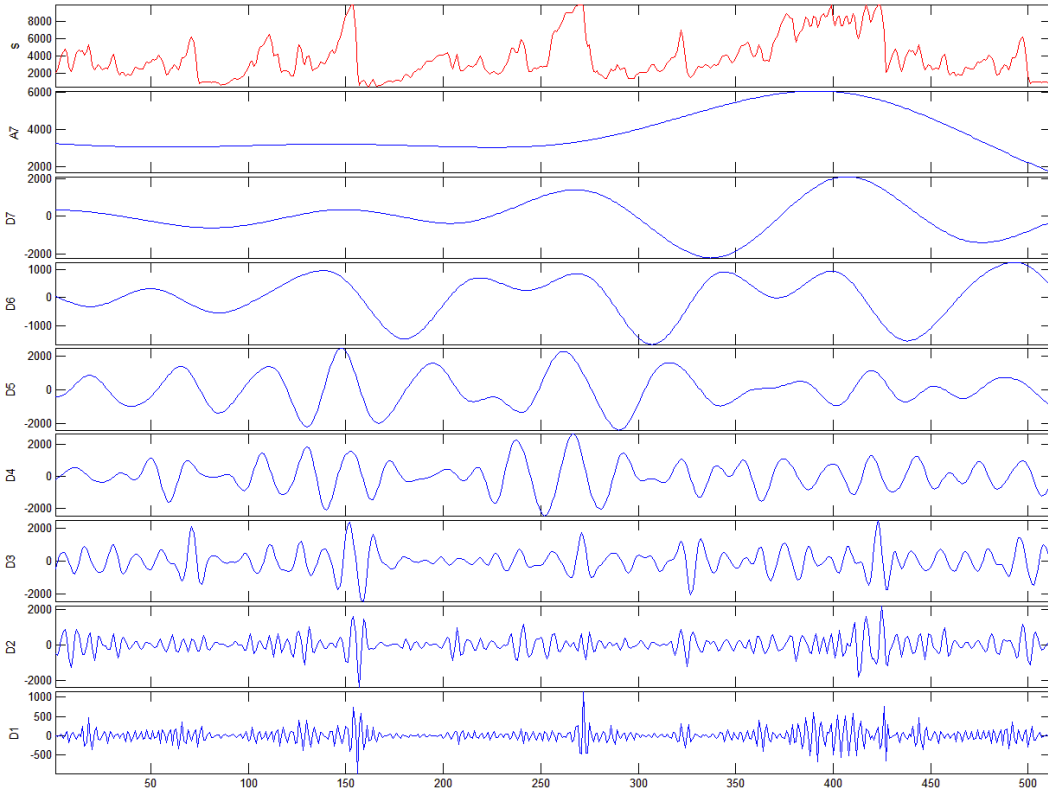
Σημά: Fz_a-05-cut4 coil5 διακριτός μετασχηματισμός κυματίδιου του σήματος. Επίπεδο 7



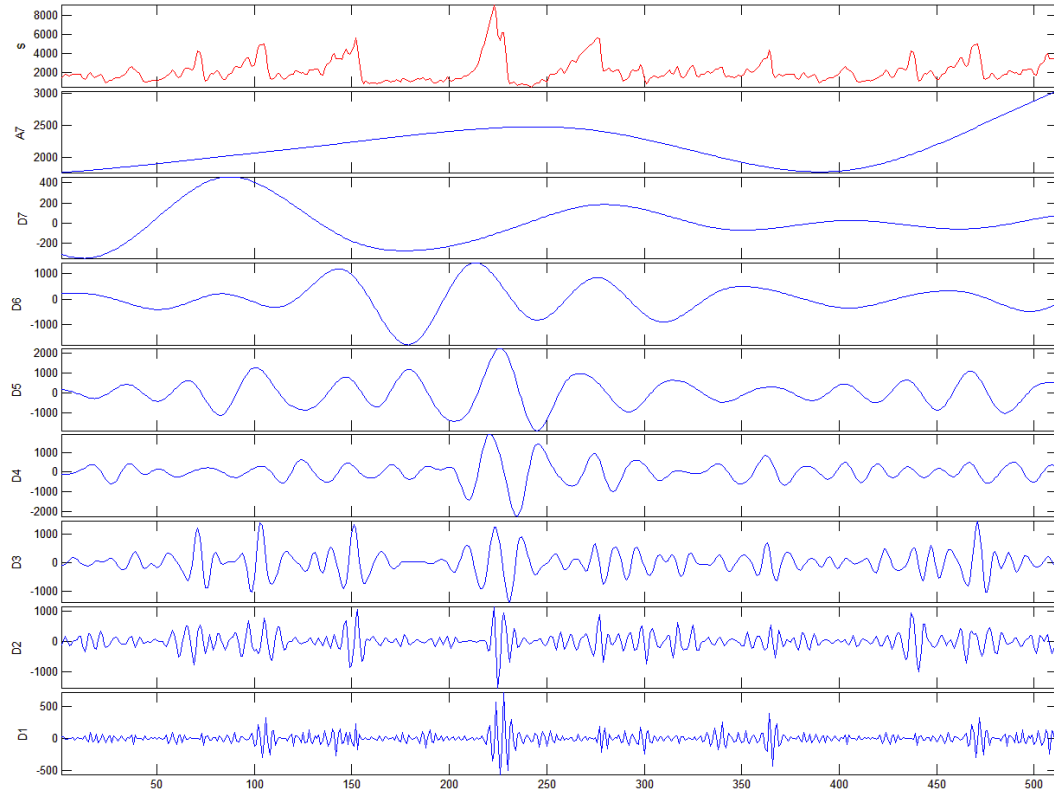
Σημά: Fz_a-09-cut1 coil5 διακριτός μετασχηματισμός κυματιδίου του σήματος, Επίπεδο 7



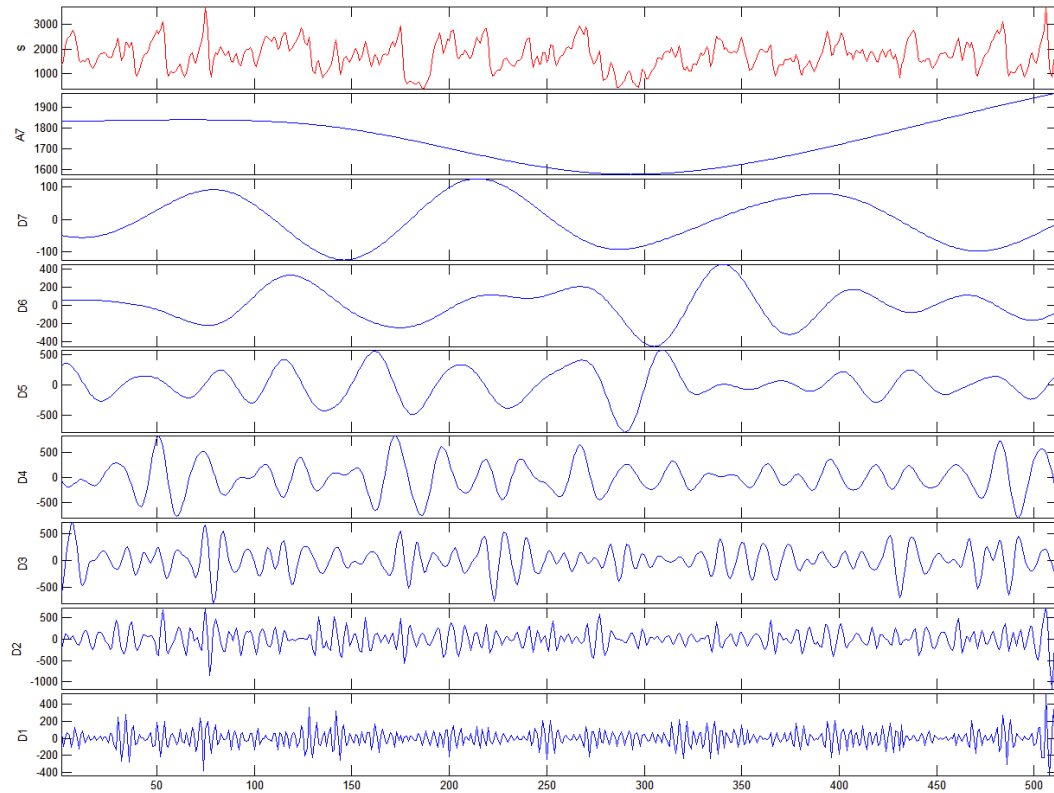
Σημά: Fz_a-09-cut2 coil5 διακριτός μετασχηματισμός κυματιδίου του σήματος, Επίπεδο 7

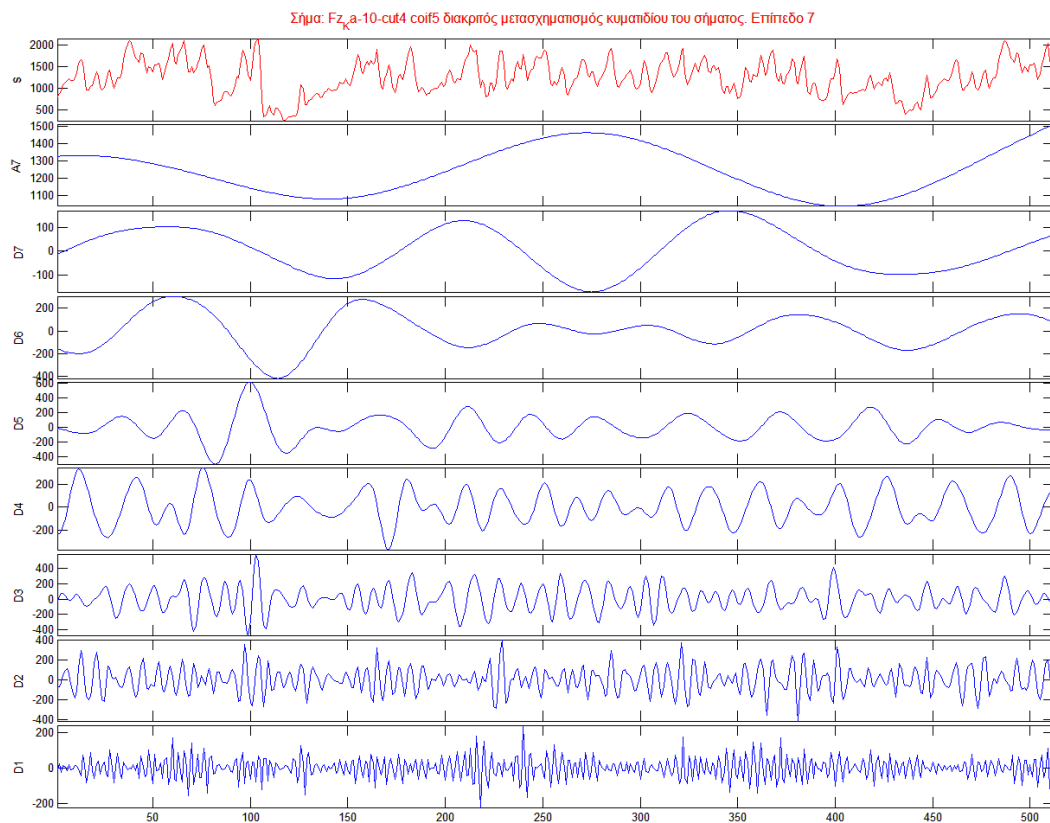
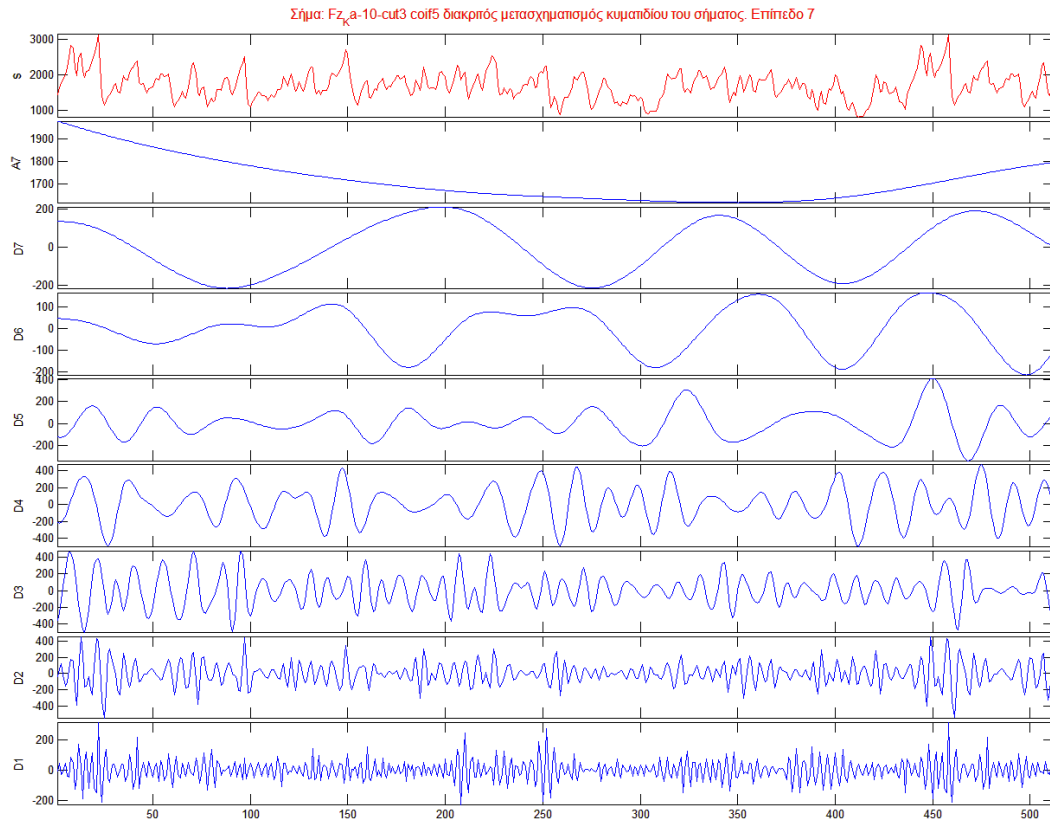


Σημ: Fz_a-10-cut1 coil5 διακριτός μετασχηματισμός κυματιδίου του σήματος, Επίπεδο 7

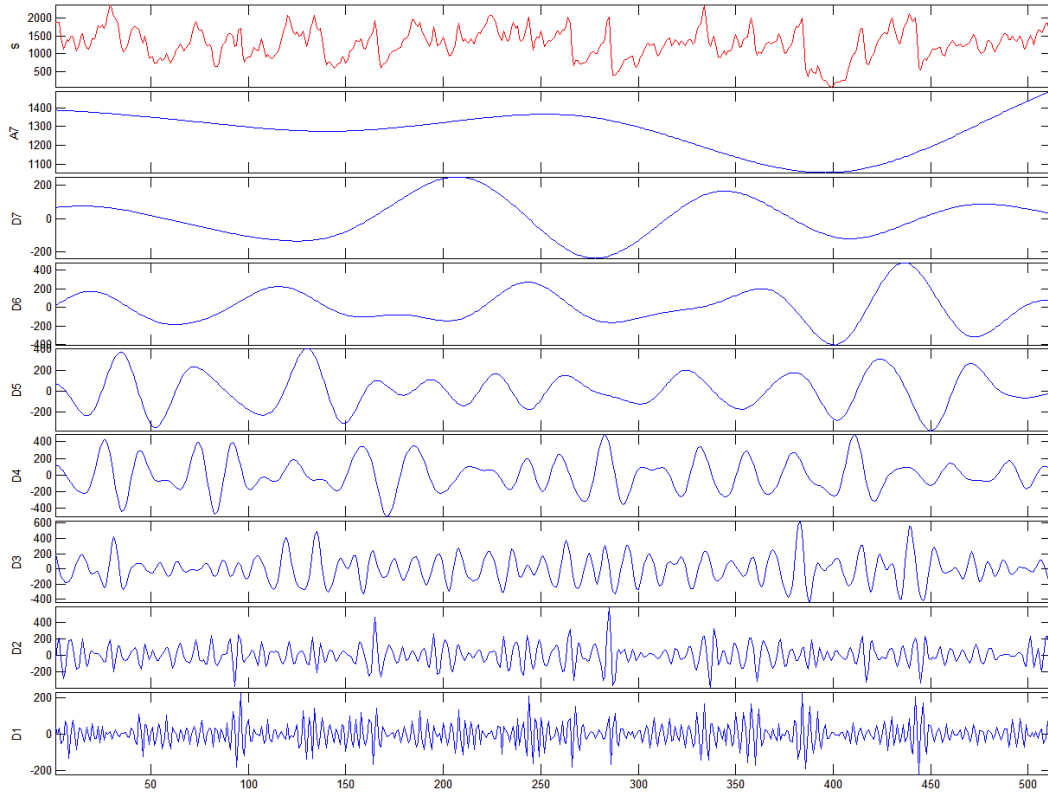


Σημ: Fz_a-10-cut2 coil5 διακριτός μετασχηματισμός κυματιδίου του σήματος, Επίπεδο 7

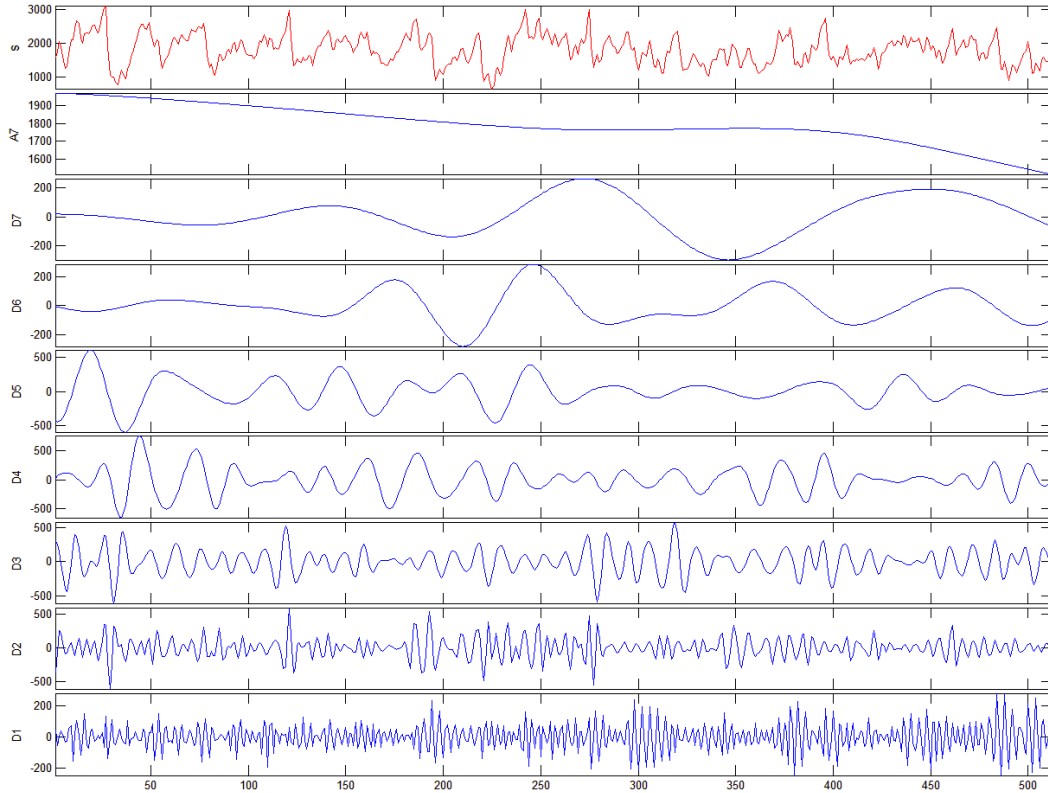




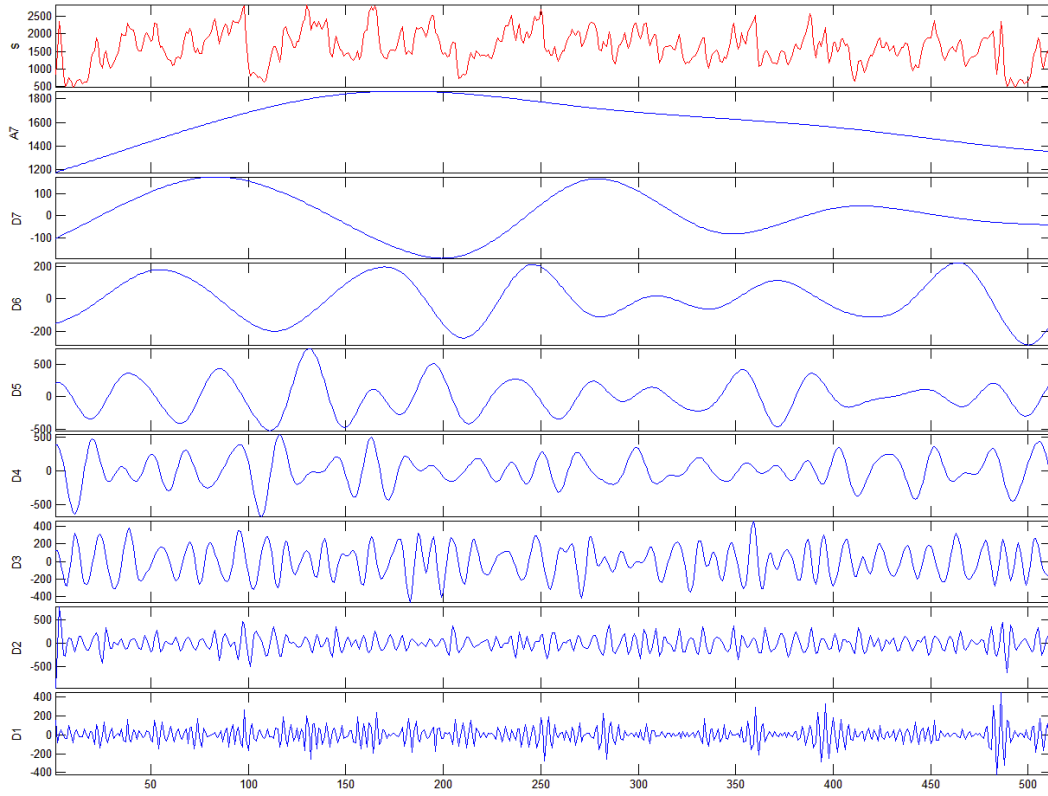
Σημά: Fz_a-11-cut1 coil5 διακριτός μετασχηματισμός κυματιδίου του σήματος. Επίπεδο 7



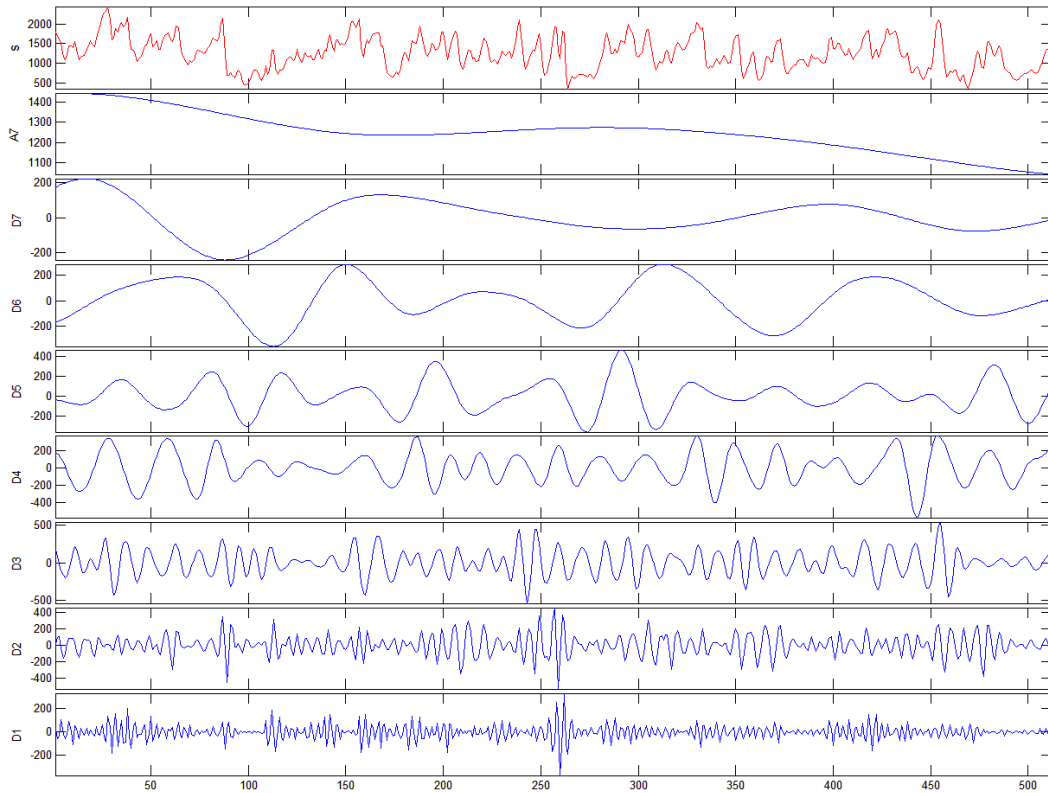
Σημά: Fz_a-11-cut2 coil5 διακριτός μετασχηματισμός κυματιδίου του σήματος. Επίπεδο 7



Σημά: Fz_a-11-cut3 coil5 διακριτός μετασχηματισμός κυματιδίου του σήματος, Επίπεδο 7

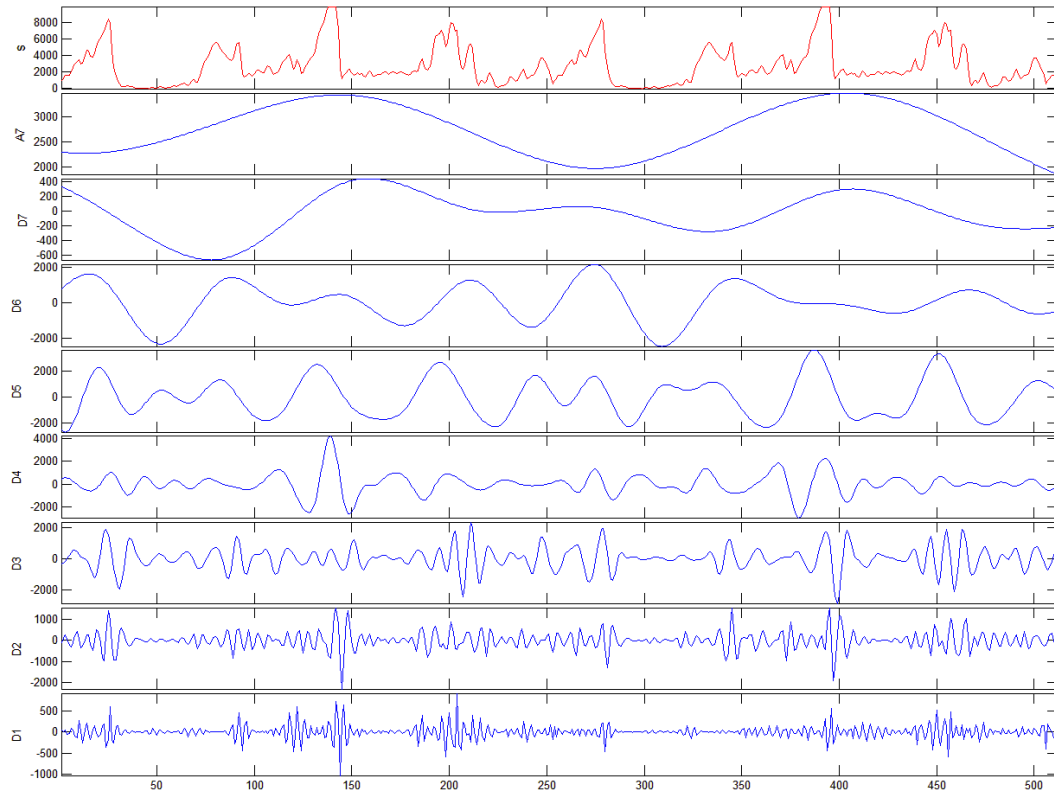


Σημά: Fz_a-11-cut4 coil5 διακριτός μετασχηματισμός κυματιδίου του σήματος, Επίπεδο 7

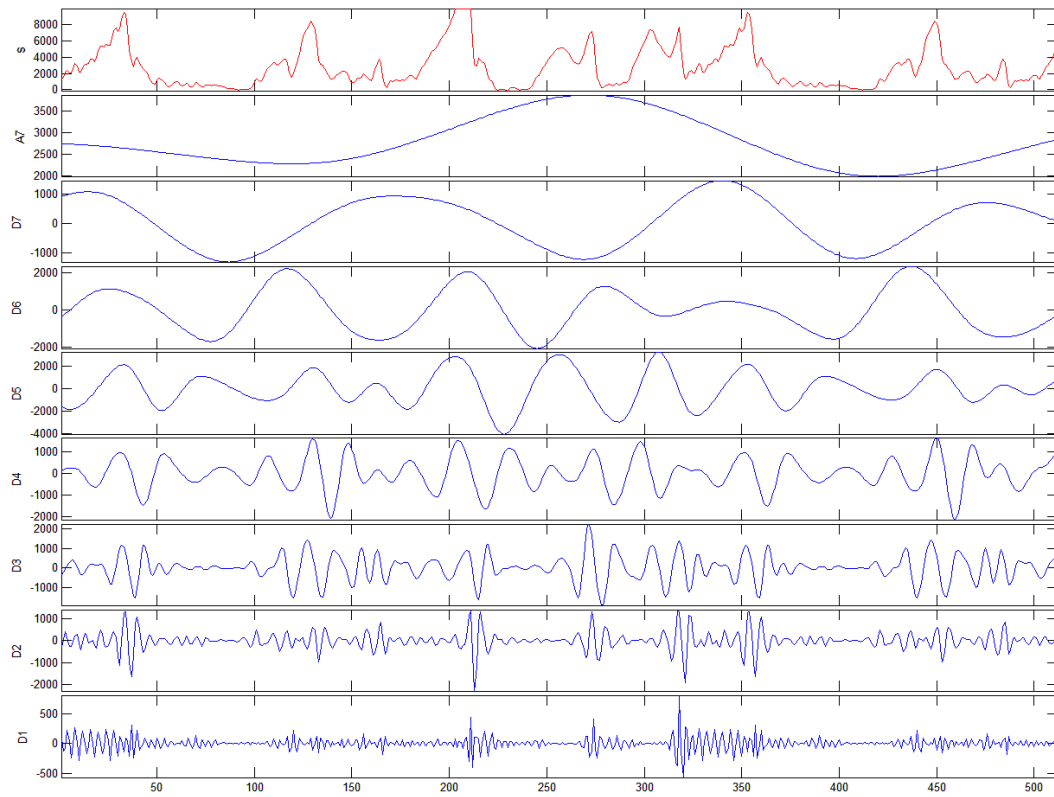


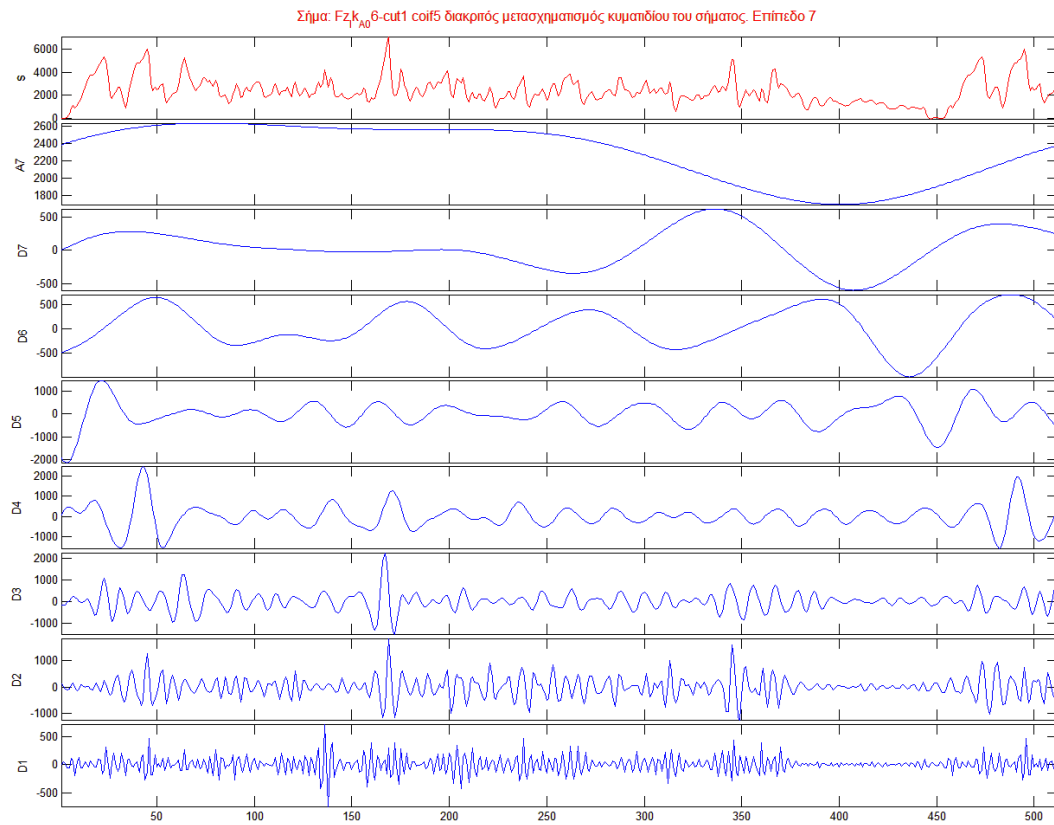
- Σχιστώδης Ορθογενέσιος Δυτικής Ικαρίας - (*s – orth*)

Σήμα: Fz_{k_{AG}}-3-cut2 coi5 διακριτός μετασχηματισμός κυματιδίου του σήματος. Επίπεδο 7

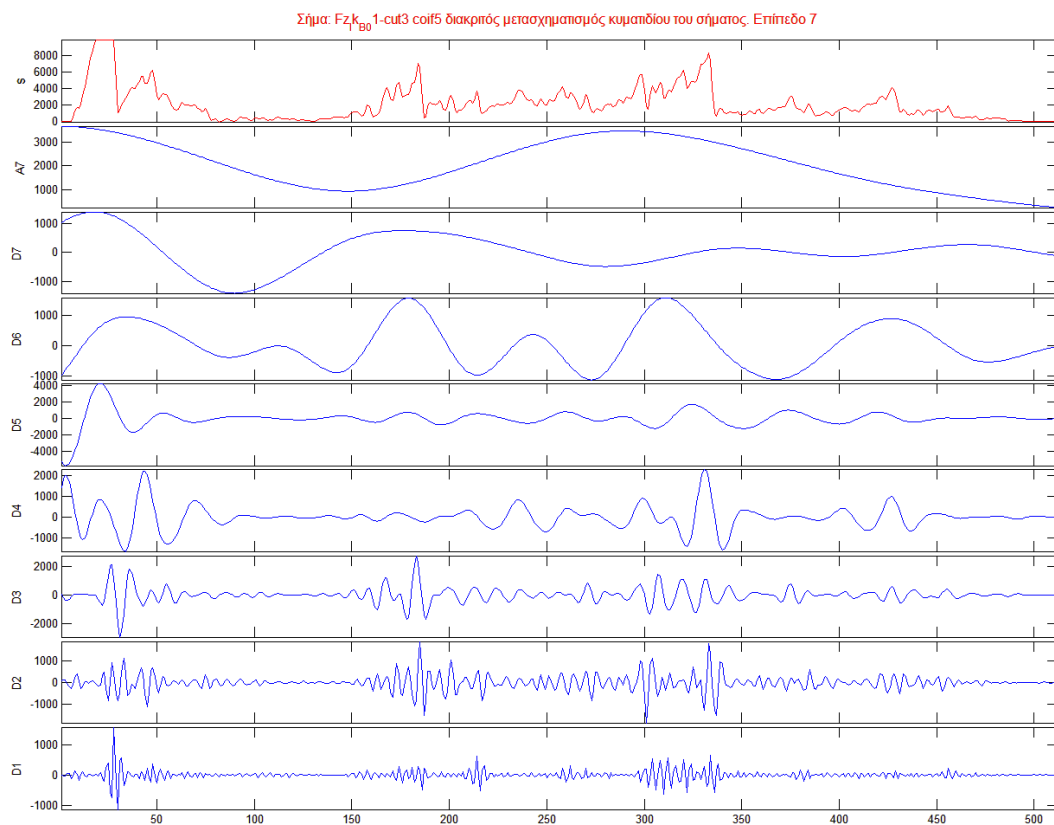


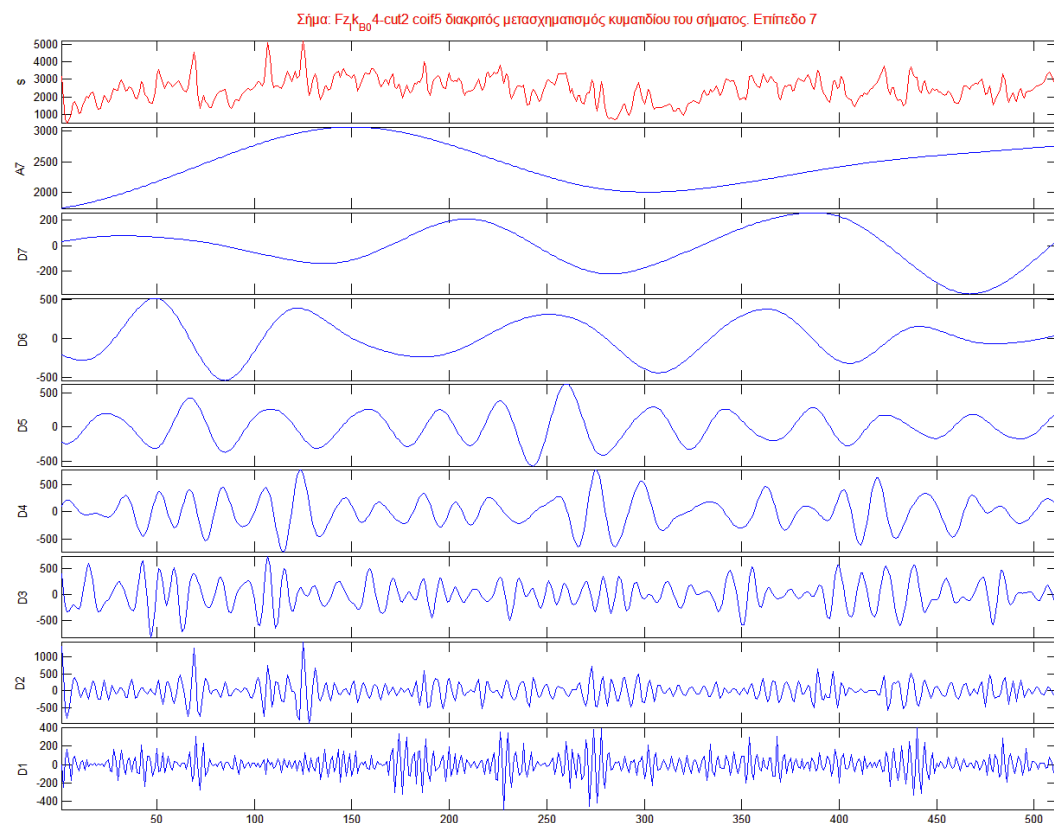
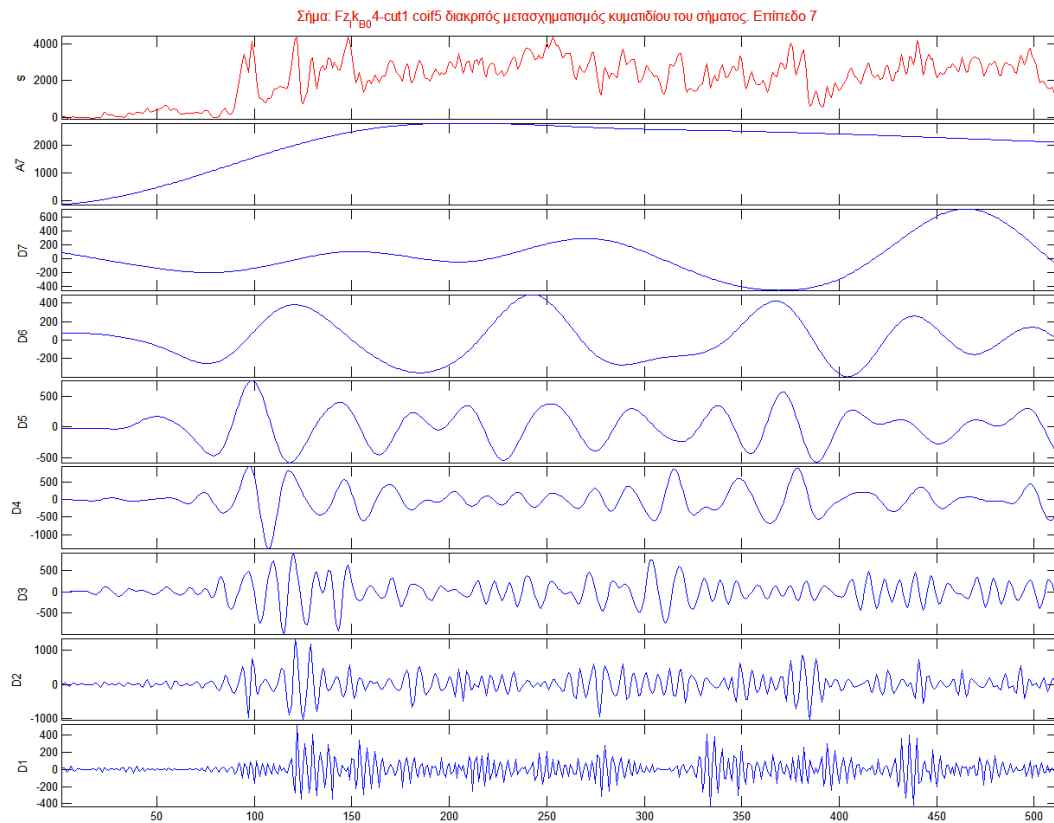
Σήμα: Fz_{k_{AG}}-3-cut3 coi5 διακριτός μετασχηματισμός κυματιδίου του σήματος. Επίπεδο 7



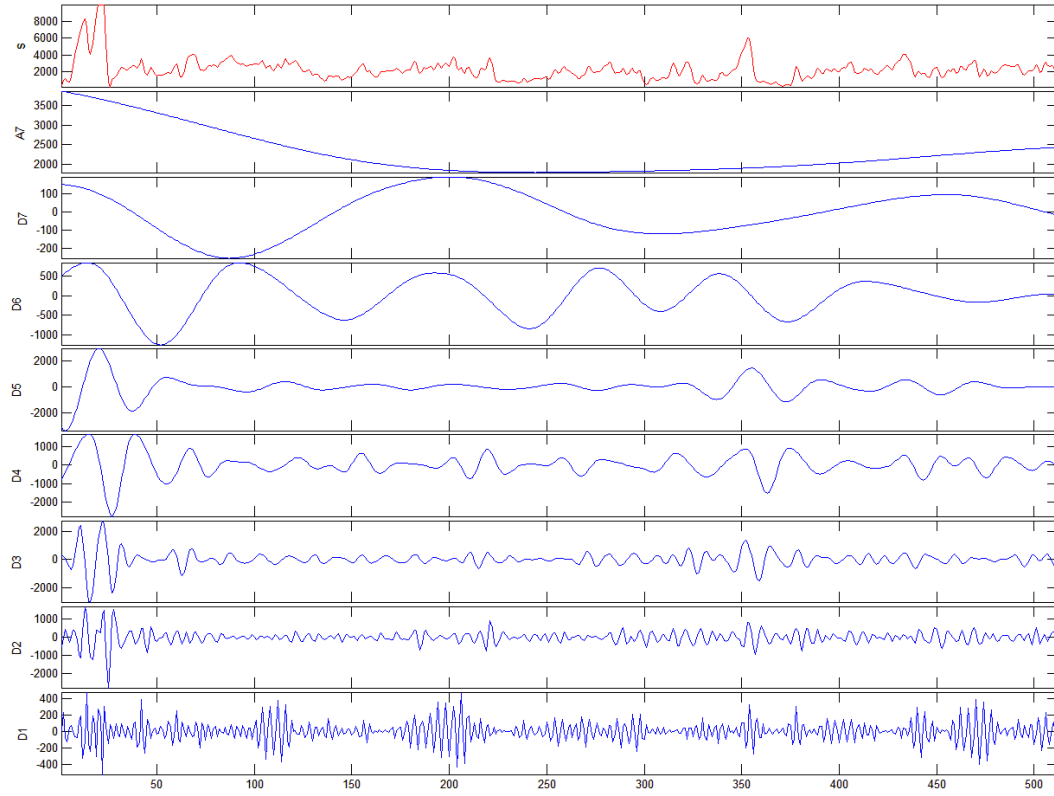


- **Οφθαλμώδης Ορθογενέσιος Δυτικής Ικαρίας - (*o – orth*)**

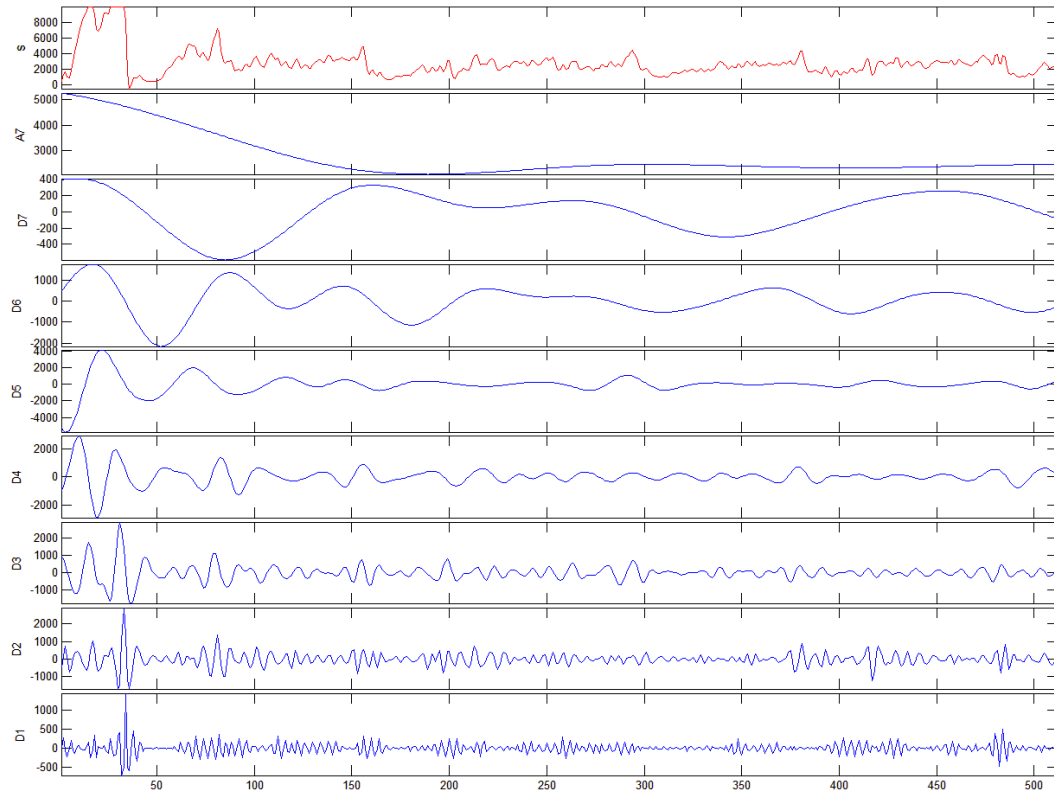




Σήμα: Fz_{k_{BO}} 4-cut3 coil5 διακριτός μετασχηματισμός κυματίδιου του σήματος, Επίπεδο 7



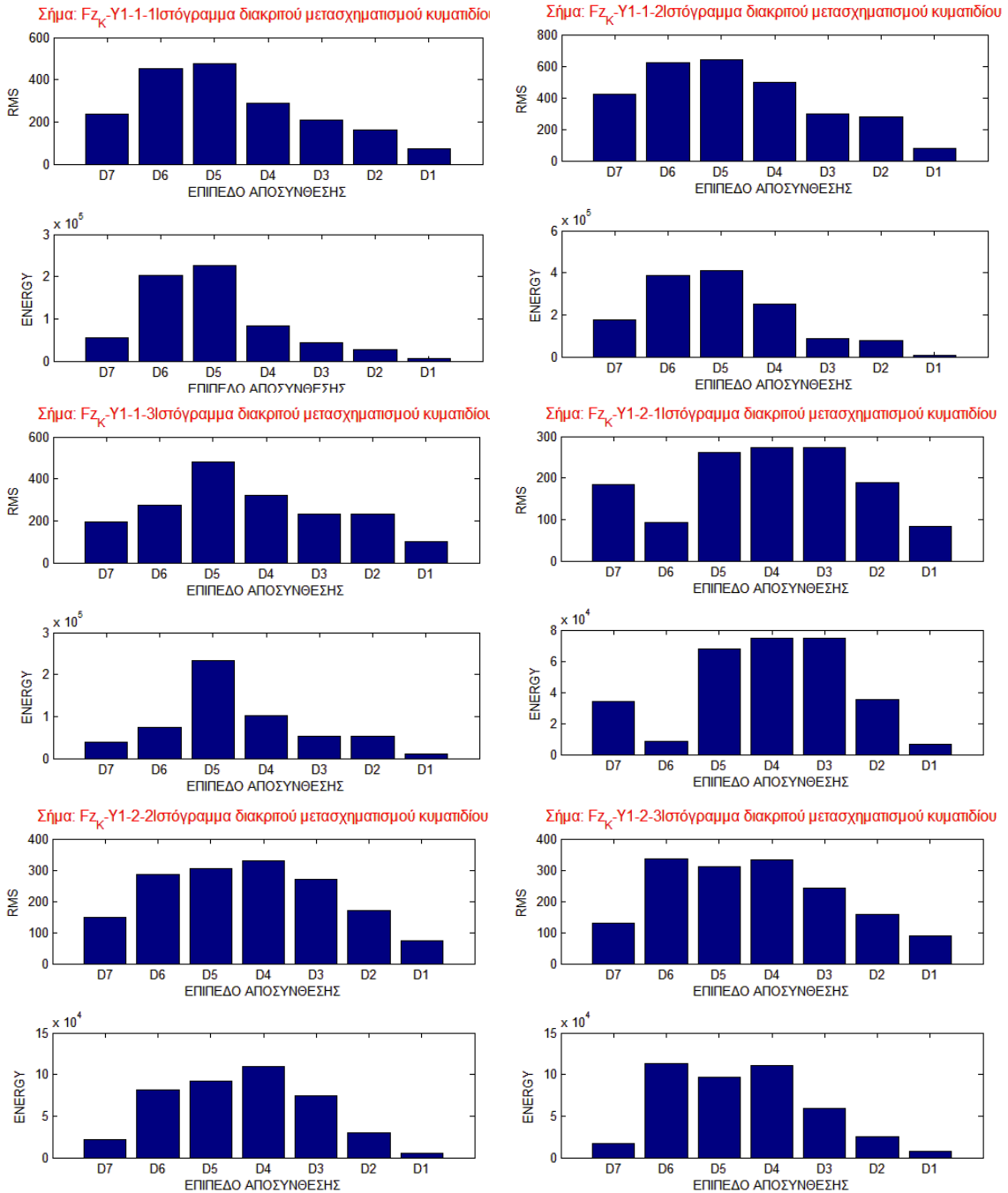
Σήμα: Fz_{k_{BO}} 4-cut4 coil5 διακριτός μετασχηματισμός κυματίδιου του σήματος, Επίπεδο 7



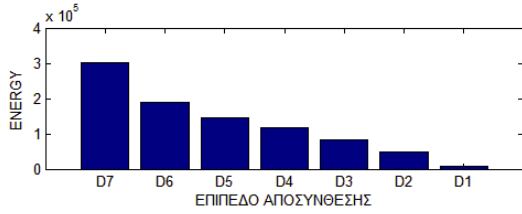
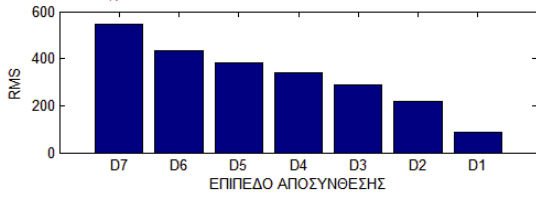
ΠΑΡΑΡΤΗΜΑ 2

Ιστογράμματα κατανομής της τιμής RMS και της Ενέργειας στα 7 επίπεδα Διακριτού Μετασχηματισμού Κυματιδίου των Σημάτων της Δύναμης Κοπής

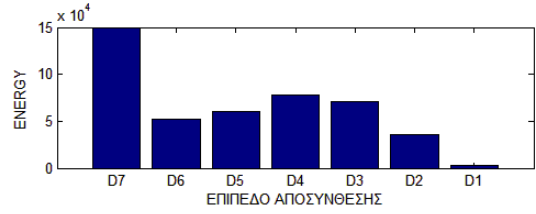
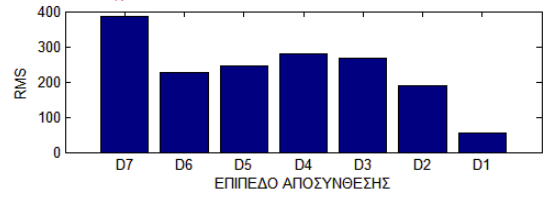
- Λευκότεφρος Ασβεστόλιθος ζαχαρώδους υφής του Τριαδικού από τον ορεινό όγκο Λέμφι της Ελευσίνας (TITAN) - (*asnI*)



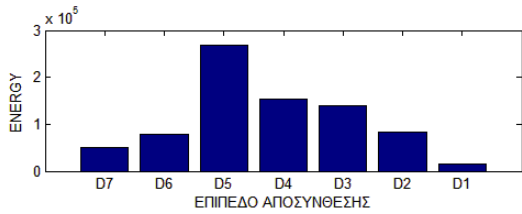
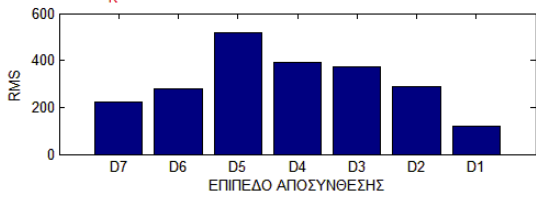
Σήμα: Fz_κ-Y1-2-4ιστόγραμμα διακριτού μετασχηματισμού κυματίδιου



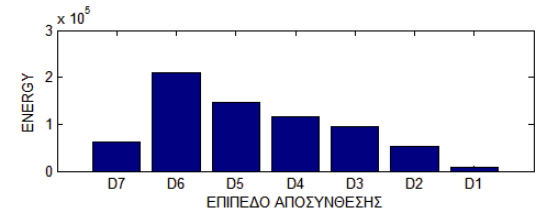
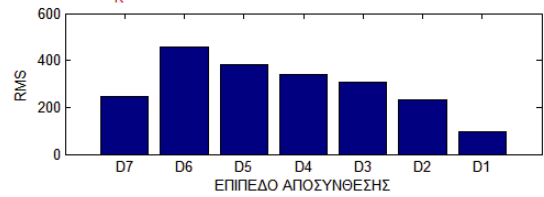
Σήμα: Fz_κ-Y1-3-1ιστόγραμμα διακριτού μετασχηματισμού κυματίδιου



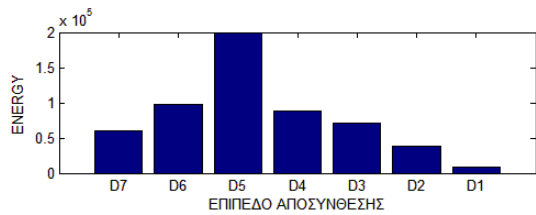
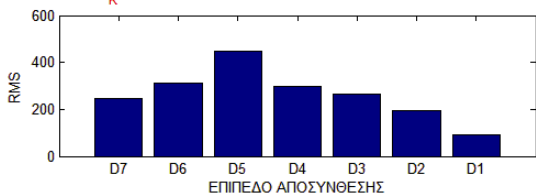
Σήμα: Fz_κ-Y1-3-2ιστόγραμμα διακριτού μετασχηματισμού κυματίδιου



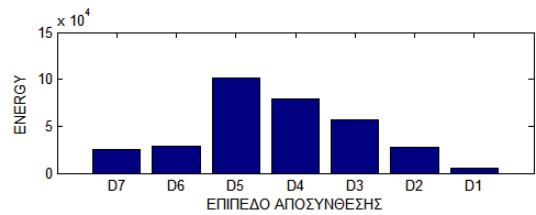
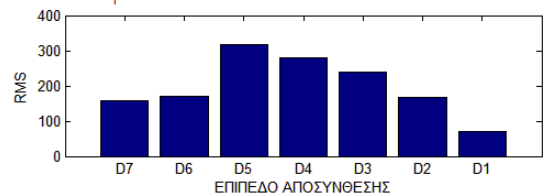
Σήμα: Fz_κ-Y1-3-3ιστόγραμμα διακριτού μετασχηματισμού κυματίδιου



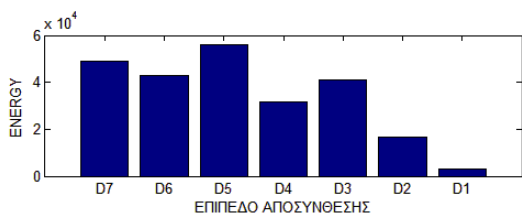
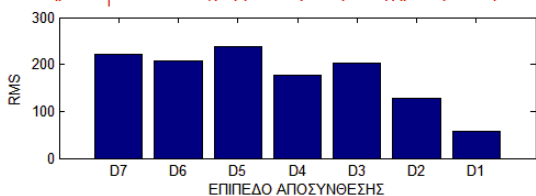
Σήμα: Fz_κ-Y1-3-4ιστόγραμμα διακριτού μετασχηματισμού κυματίδιου



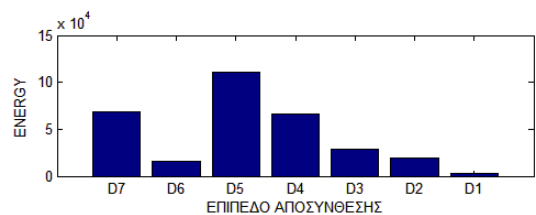
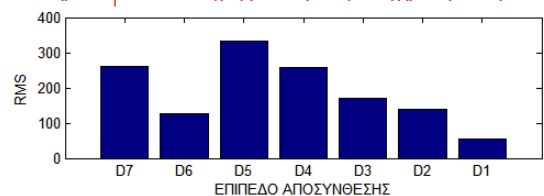
Σήμα: Fz_τ-1-cut1ιστόγραμμα διακριτού μετασχηματισμού κυματίδιου



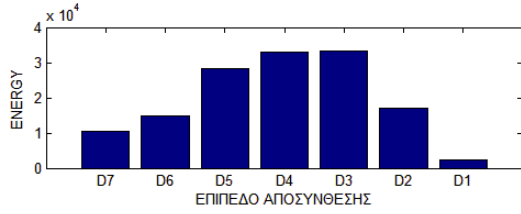
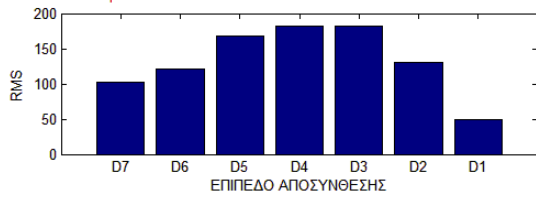
Σήμα: Fz_τ-1-cut2ιστόγραμμα διακριτού μετασχηματισμού κυματίδιου



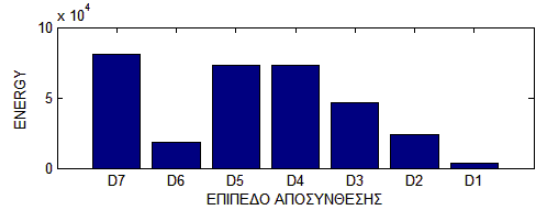
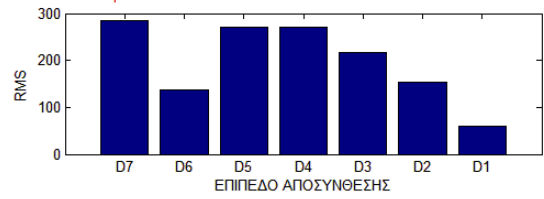
Σήμα: Fz_τ-1-cut3ιστόγραμμα διακριτού μετασχηματισμού κυματίδιου



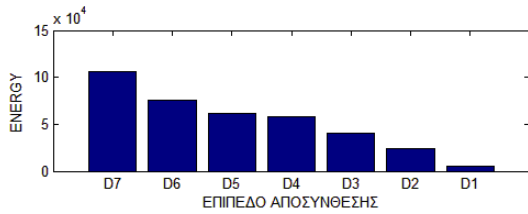
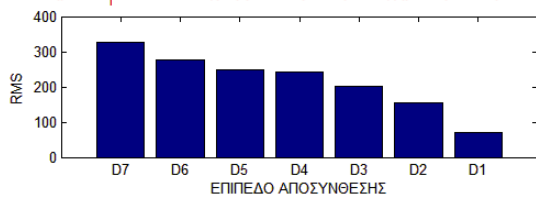
Σήμα: Fz_T-1-5-cut1 Ιστόγραμμα διακριτού μετασχηματισμού κυματίδιου



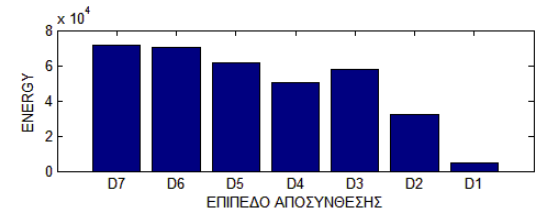
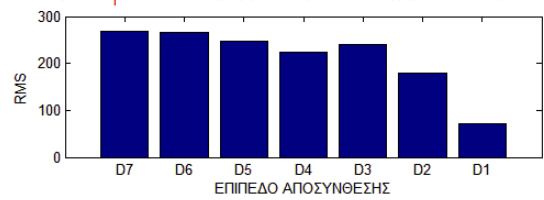
Σήμα: Fz_T-1-5-cut3 Ιστόγραμμα διακριτού μετασχηματισμού κυματίδιου



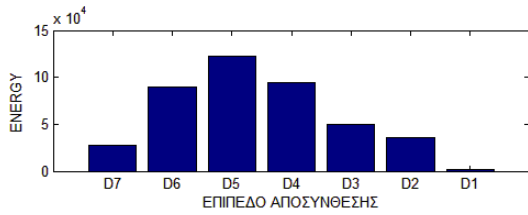
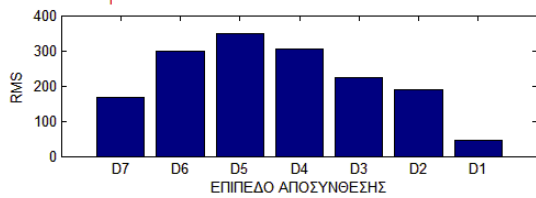
Σήμα: Fz_T-1-5-cut4 Ιστόγραμμα διακριτού μετασχηματισμού κυματίδιου



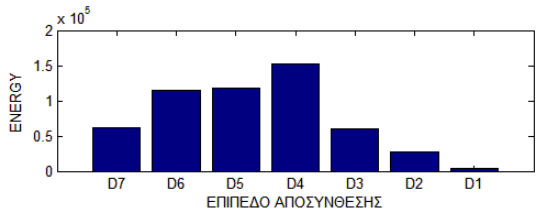
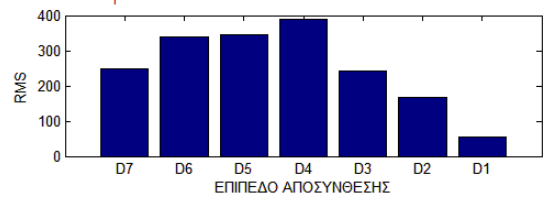
Σήμα: Fz_T-1-6-cut1 Ιστόγραμμα διακριτού μετασχηματισμού κυματίδιου



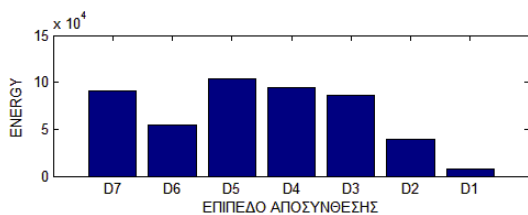
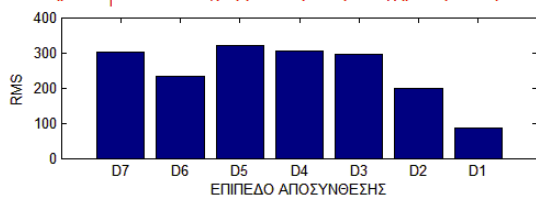
Σήμα: Fz_T-1-6-cut2 Ιστόγραμμα διακριτού μετασχηματισμού κυματίδιου



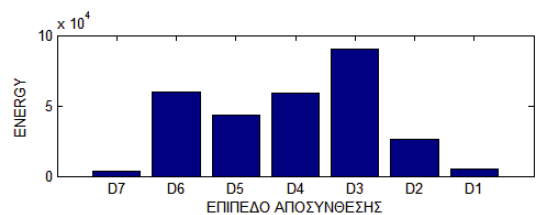
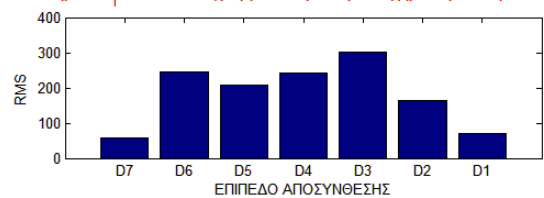
Σήμα: Fz_T-1-6-cut3 Ιστόγραμμα διακριτού μετασχηματισμού κυματίδιου



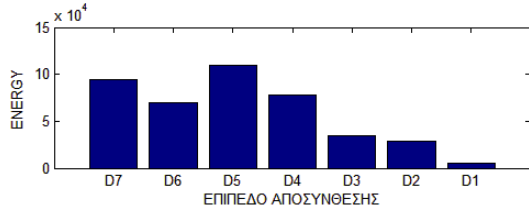
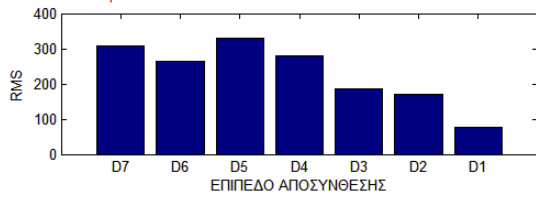
Σήμα: Fz_T-1-6-cut4 Ιστόγραμμα διακριτού μετασχηματισμού κυματίδιου



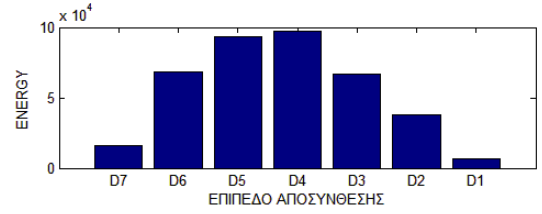
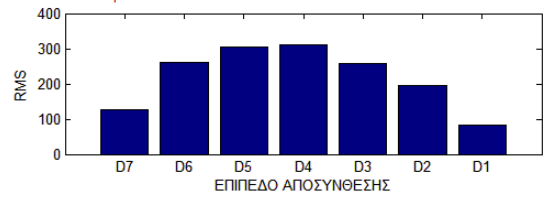
Σήμα: Fz_T-2-1-cut1 Ιστόγραμμα διακριτού μετασχηματισμού κυματίδιου



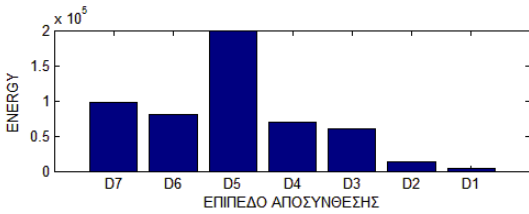
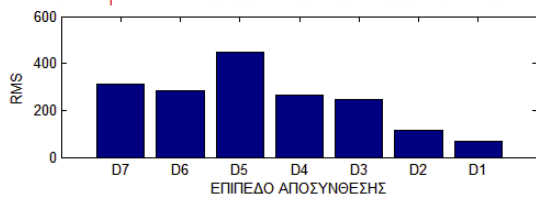
Σήμα: Fz_{2-1-cut2}Ιστόγραμμα διακριτού μετασχηματισμού κυματίδιου



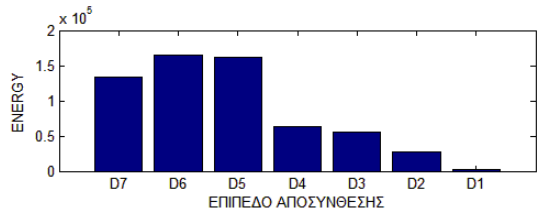
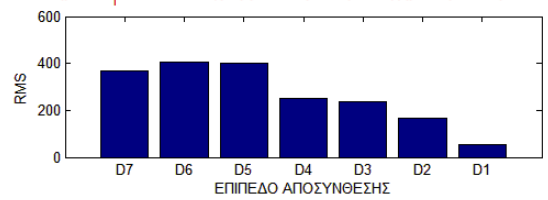
Σήμα: Fz_{2-1-cut3}Ιστόγραμμα διακριτού μετασχηματισμού κυματίδιου



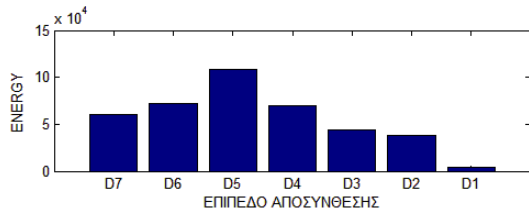
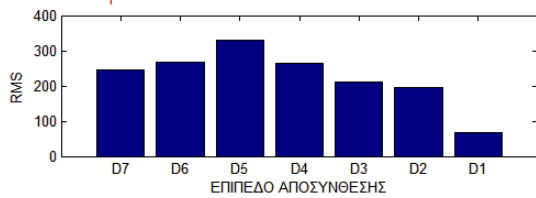
Σήμα: Fz_{2-1-cut4}Ιστόγραμμα διακριτού μετασχηματισμού κυματίδιου



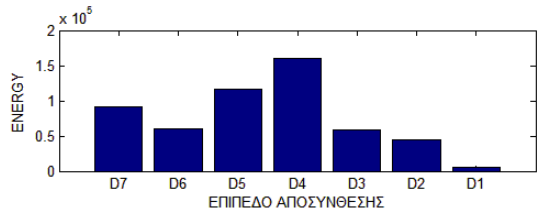
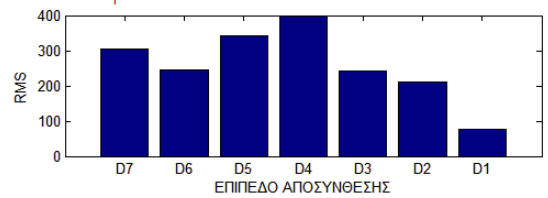
Σήμα: Fz_{2-4-cut1}Ιστόγραμμα διακριτού μετασχηματισμού κυματίδιου



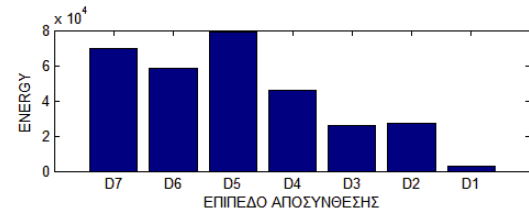
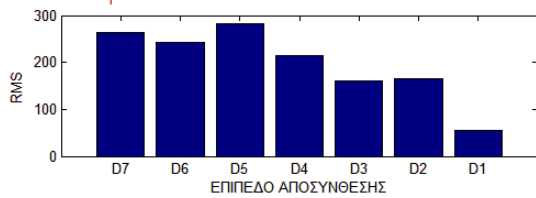
Σήμα: Fz_{2-5-cut1}Ιστόγραμμα διακριτού μετασχηματισμού κυματίδιου



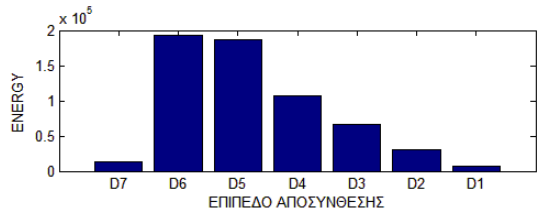
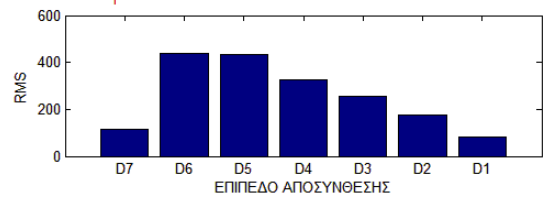
Σήμα: Fz_{2-5-cut2}Ιστόγραμμα διακριτού μετασχηματισμού κυματίδιου



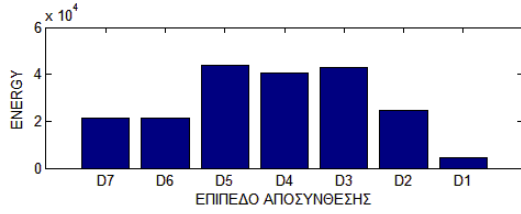
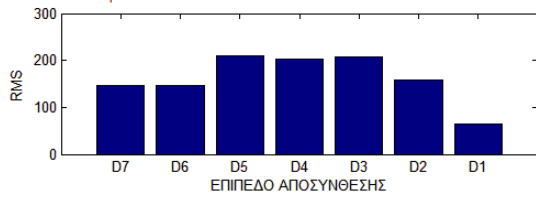
Σήμα: Fz_{2-5-cut3}Ιστόγραμμα διακριτού μετασχηματισμού κυματίδιου



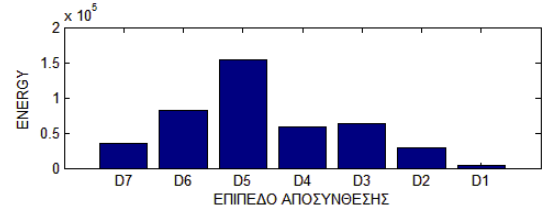
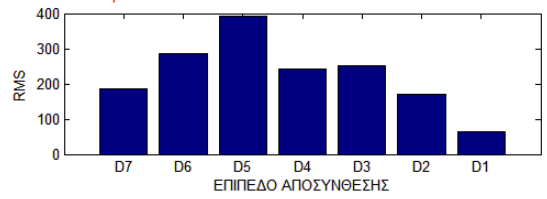
Σήμα: Fz_{2-5-cut4}Ιστόγραμμα διακριτού μετασχηματισμού κυματίδιου



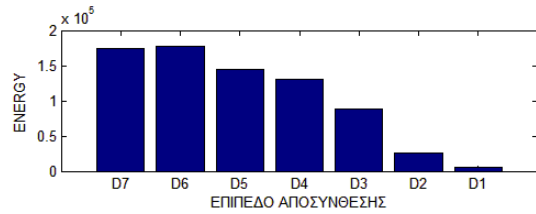
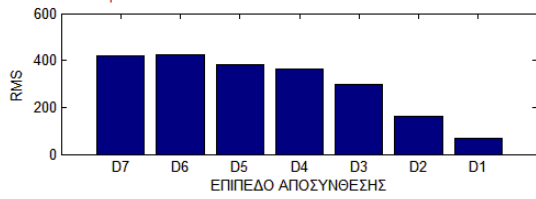
Σήμα: Fz_{2-6-cut1}1στόγραμμα διακριτού μετασχηματισμού κυματίδιου



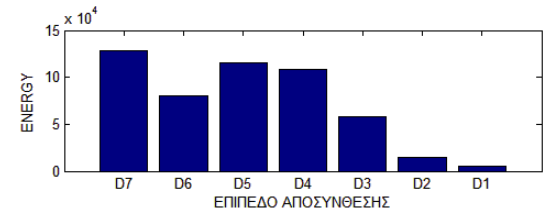
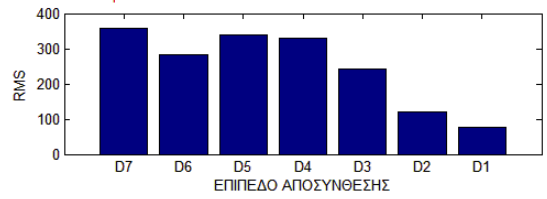
Σήμα: Fz_{2-6-cut2}2στόγραμμα διακριτού μετασχηματισμού κυματίδιου



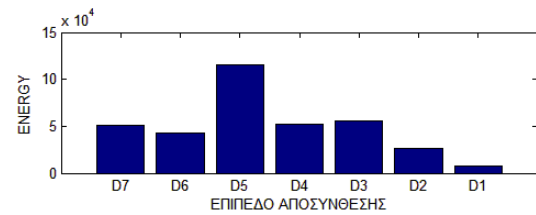
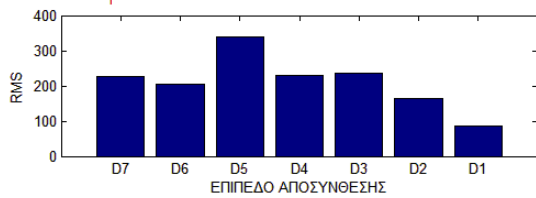
Σήμα: Fz_{2-7-cut1}1στόγραμμα διακριτού μετασχηματισμού κυματίδιου



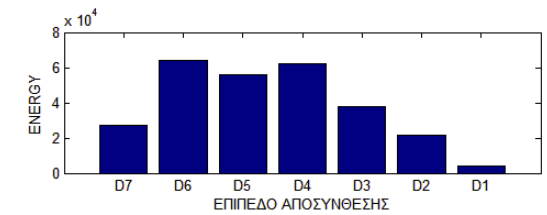
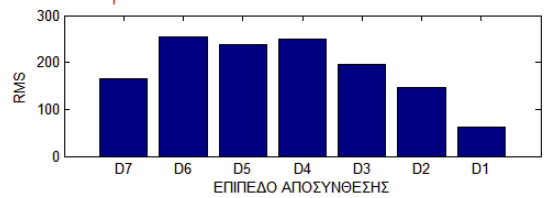
Σήμα: Fz_{2-7-cut2}2στόγραμμα διακριτού μετασχηματισμού κυματίδιου



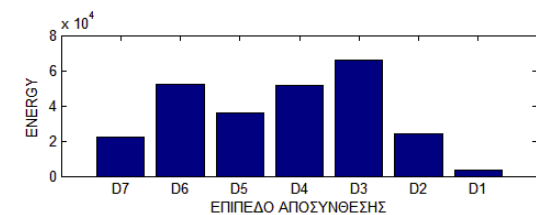
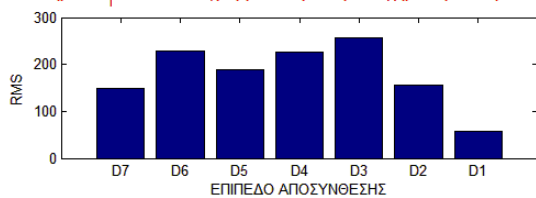
Σήμα: Fz_{2-7-cut3}3στόγραμμα διακριτού μετασχηματισμού κυματίδιου



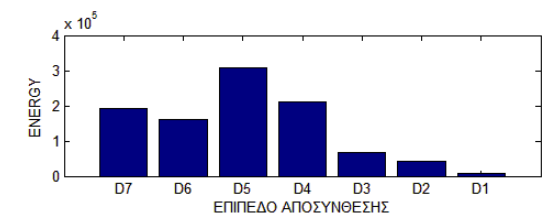
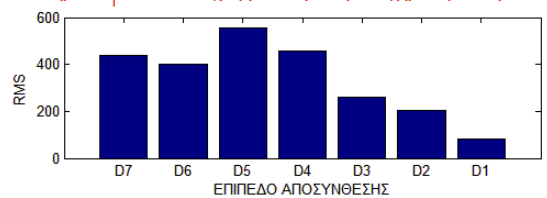
Σήμα: Fz_{3-1-cut1}1στόγραμμα διακριτού μετασχηματισμού κυματίδιου



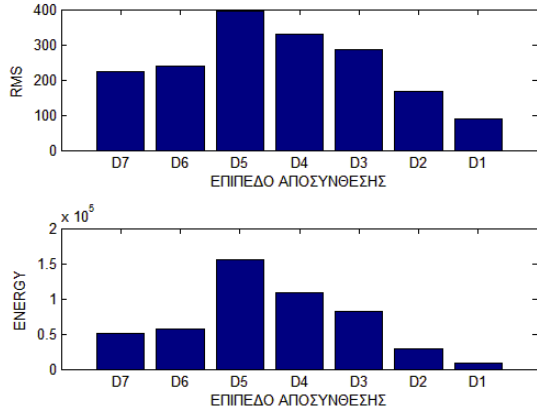
Σήμα: Fz_{3-1-cut2}2στόγραμμα διακριτού μετασχηματισμού κυματίδιου



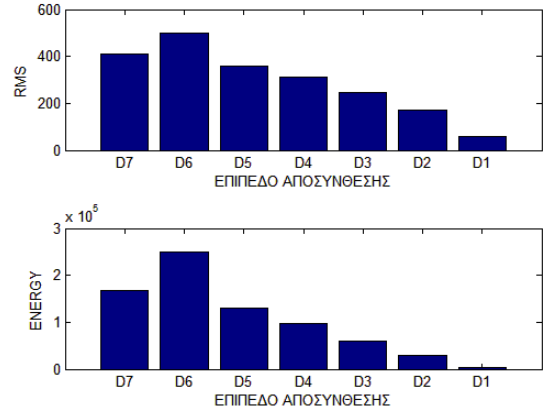
Σήμα: Fz_{3-1-cut3}3στόγραμμα διακριτού μετασχηματισμού κυματίδιου



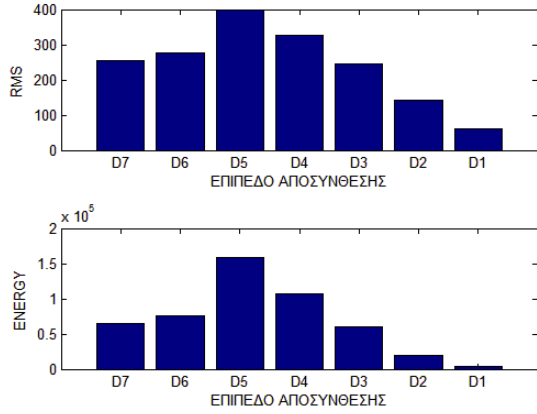
Σήμα: Fz_3-1-cut4 Ιστόγραμμα διακριτού μετασχηματισμού κυματίδιου



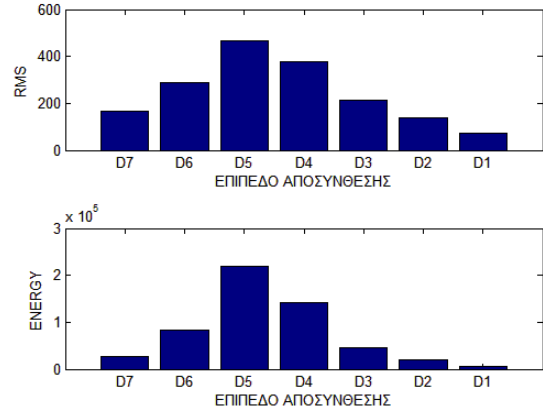
Σήμα: Fz_3-3-cut1 Ιστόγραμμα διακριτού μετασχηματισμού κυματίδιου



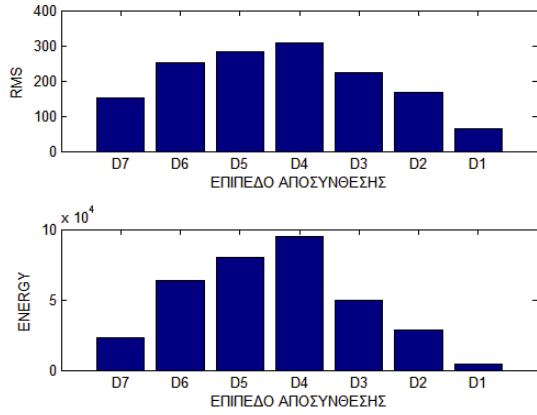
Σήμα: Fz_3-3-cut2 Ιστόγραμμα διακριτού μετασχηματισμού κυματίδιου



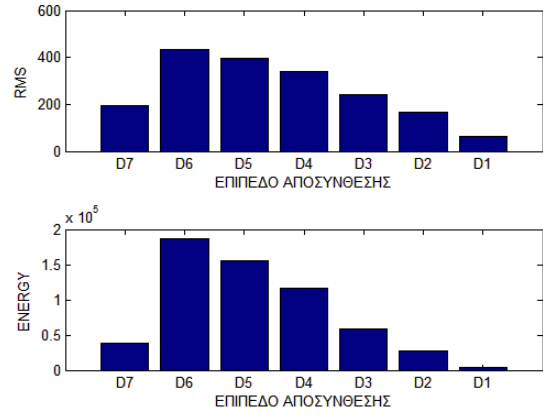
Σήμα: Fz_3-3-cut3 Ιστόγραμμα διακριτού μετασχηματισμού κυματίδιου



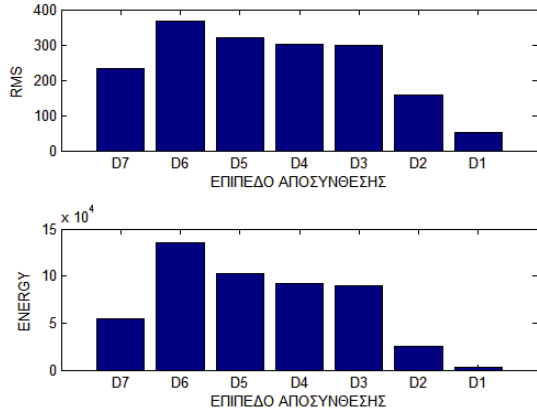
Σήμα: Fz_3-3-cut4 Ιστόγραμμα διακριτού μετασχηματισμού κυματίδιου



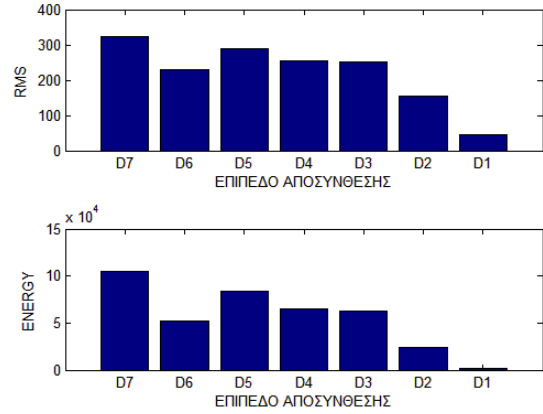
Σήμα: Fz_3-6-cut1 Ιστόγραμμα διακριτού μετασχηματισμού κυματίδιου



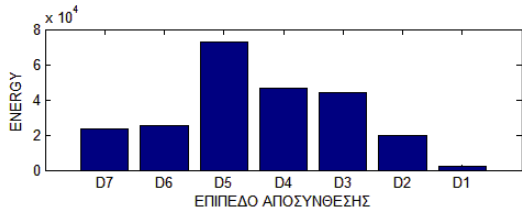
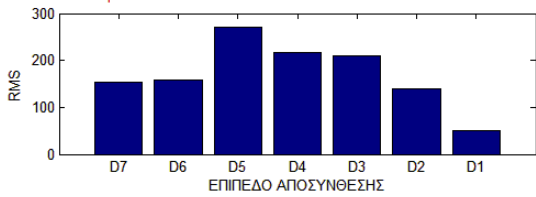
Σήμα: Fz_3-6-cut2 Ιστόγραμμα διακριτού μετασχηματισμού κυματίδιου



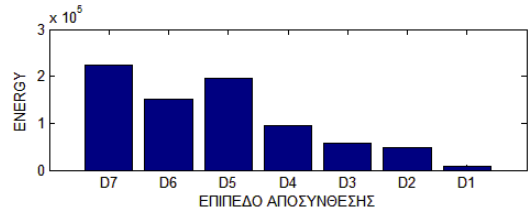
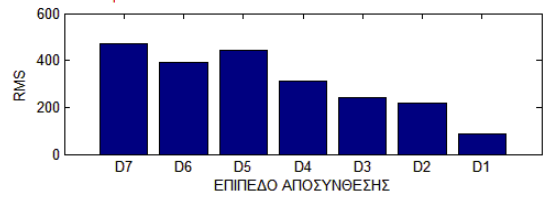
Σήμα: Fz_3-7-cut1 Ιστόγραμμα διακριτού μετασχηματισμού κυματίδιου



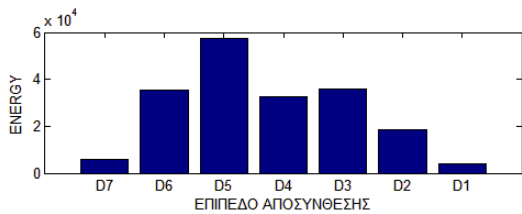
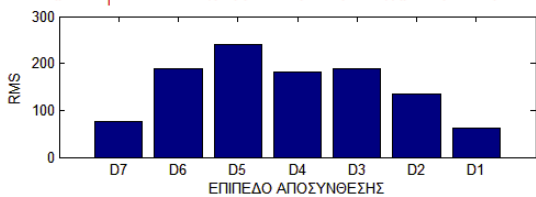
Σήμα: Fz_{3-7-cut2}1στόγραμμα διακριτού μετασχηματισμού κυματίου



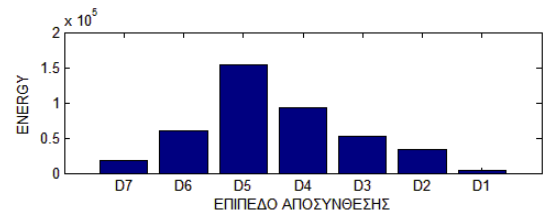
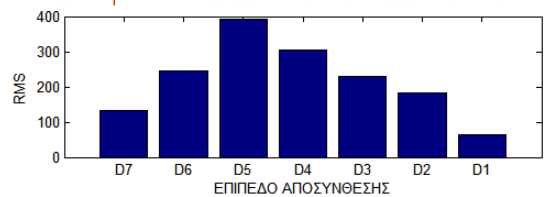
Σήμα: Fz_{3-7-cut3}1στόγραμμα διακριτού μετασχηματισμού κυματίου



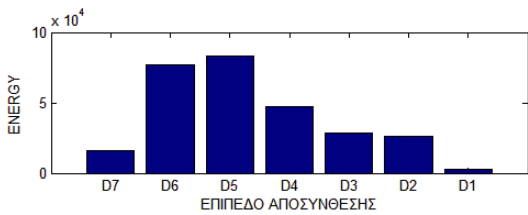
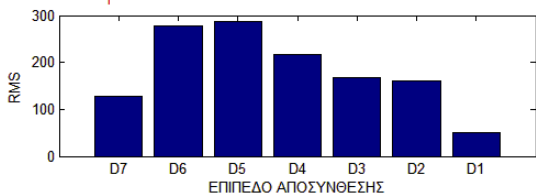
Σήμα: Fz_{3-7-cut4}1στόγραμμα διακριτού μετασχηματισμού κυματίου



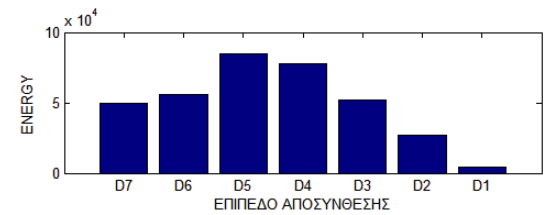
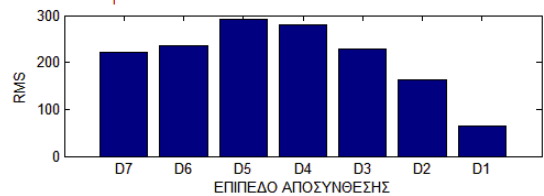
Σήμα: Fz_{3-8-cut1}1στόγραμμα διακριτού μετασχηματισμού κυματίου



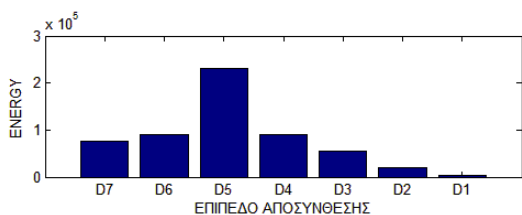
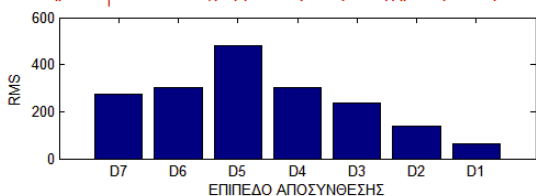
Σήμα: Fz_{3-8-cut2}1στόγραμμα διακριτού μετασχηματισμού κυματίου



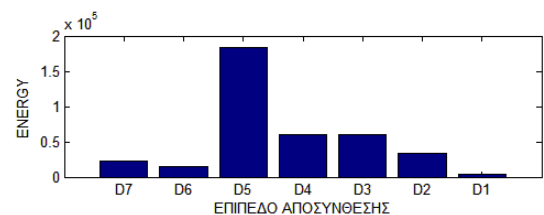
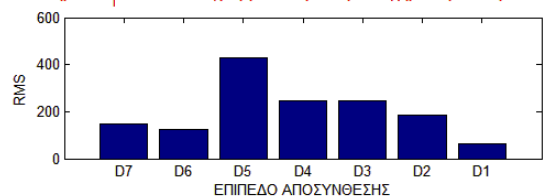
Σήμα: Fz_{3-8-cut3}1στόγραμμα διακριτού μετασχηματισμού κυματίου



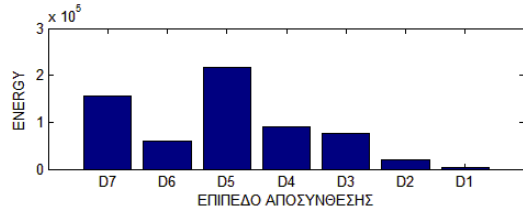
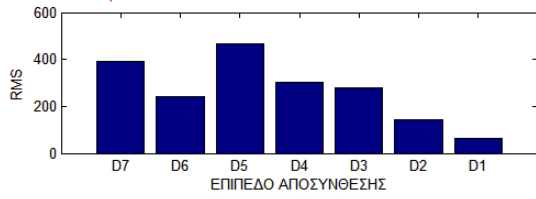
Σήμα: Fz_{4-1-cut1}1στόγραμμα διακριτού μετασχηματισμού κυματίου



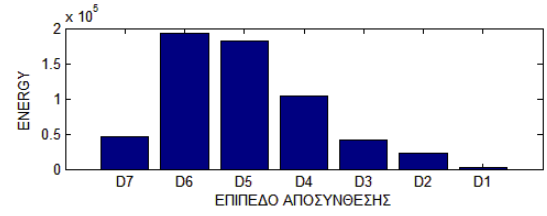
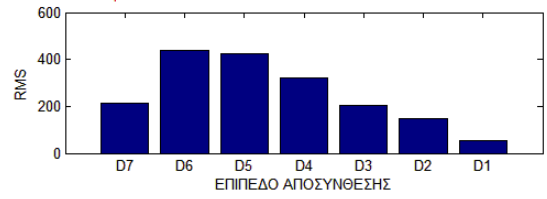
Σήμα: Fz_{4-1-cut3}1στόγραμμα διακριτού μετασχηματισμού κυματίου



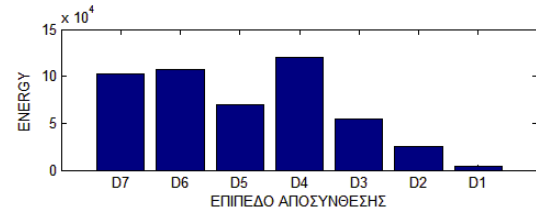
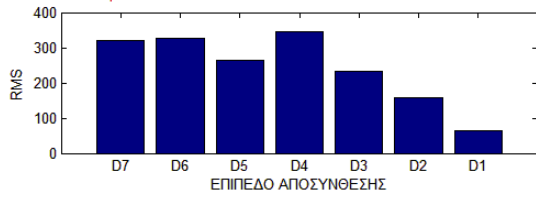
Σήμα: Fz_{4-1-cut4}1στογράμμα διακριτού μετασχηματισμού κυματίου



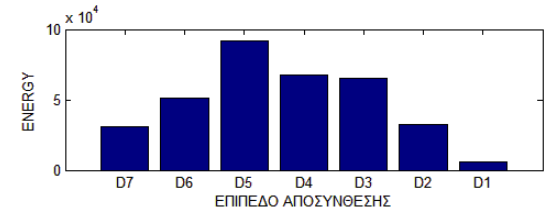
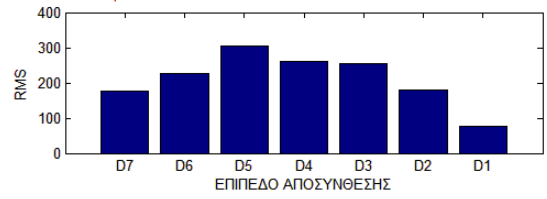
Σήμα: Fz_{4-4-cut1}1στογράμμα διακριτού μετασχηματισμού κυματίου



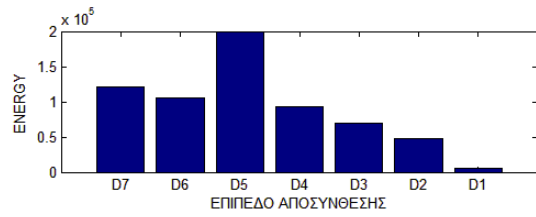
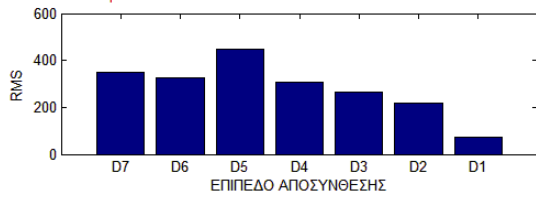
Σήμα: Fz_{4-4-cut2}1στογράμμα διακριτού μετασχηματισμού κυματίου



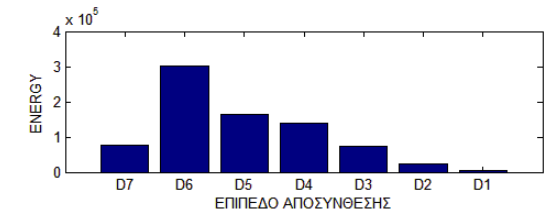
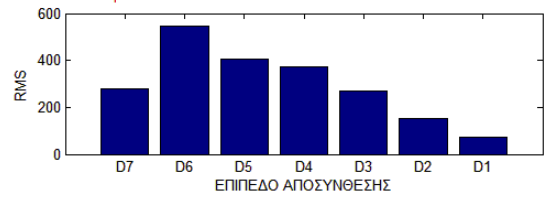
Σήμα: Fz_{4-5-cut1}1στογράμμα διακριτού μετασχηματισμού κυματίου



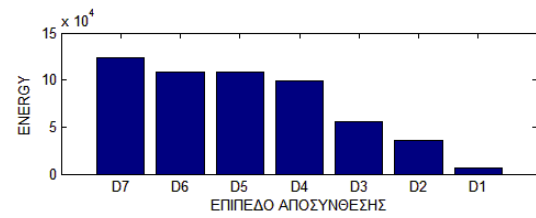
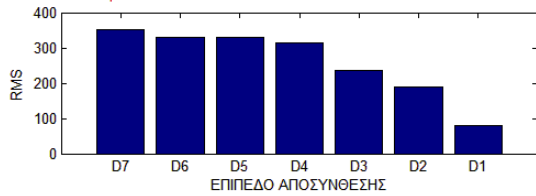
Σήμα: Fz_{4-5-cut2}1στογράμμα διακριτού μετασχηματισμού κυματίου



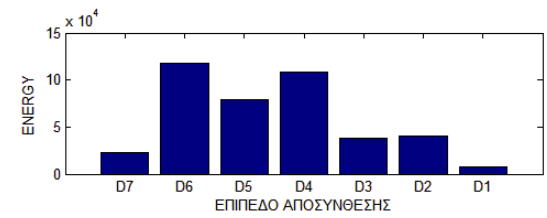
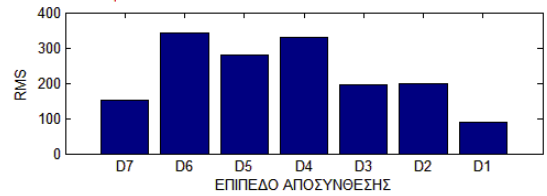
Σήμα: Fz_{4-6-cut1}1στογράμμα διακριτού μετασχηματισμού κυματίου



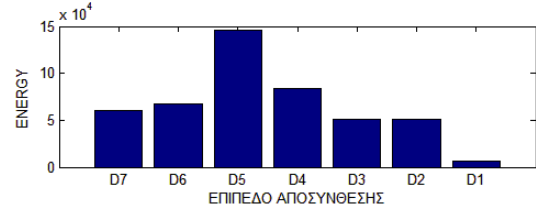
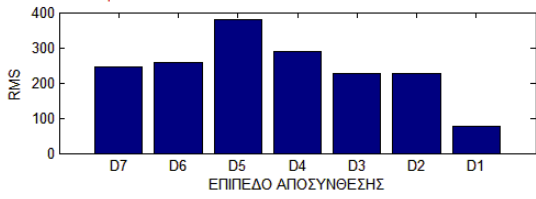
Σήμα: Fz_{4-6-cut2}1στογράμμα διακριτού μετασχηματισμού κυματίου



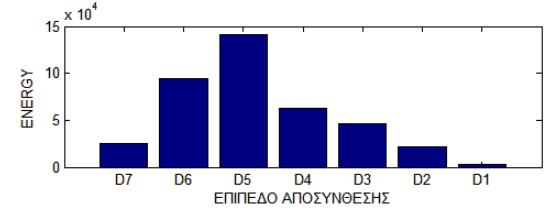
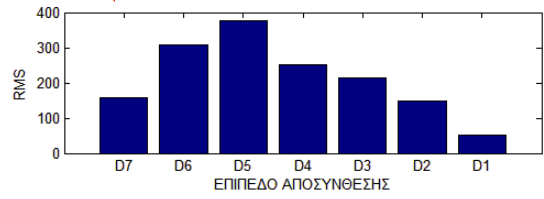
Σήμα: Fz_{4-6-cut3}1στογράμμα διακριτού μετασχηματισμού κυματίου



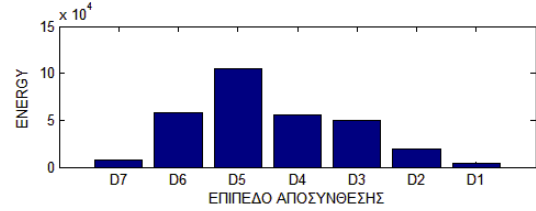
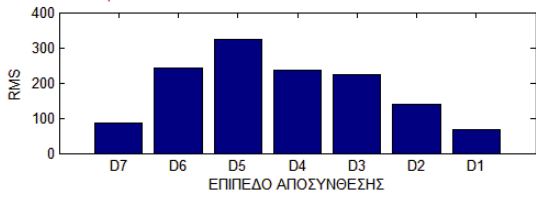
Σήμα: Fz_{4-7-cut1}Ιστόγραμμα διακριτού μετασχηματισμού κυματίου



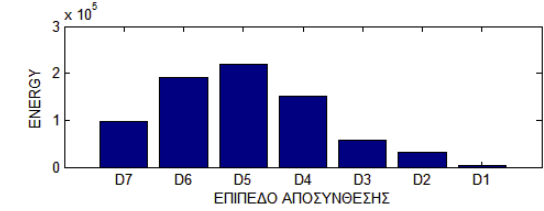
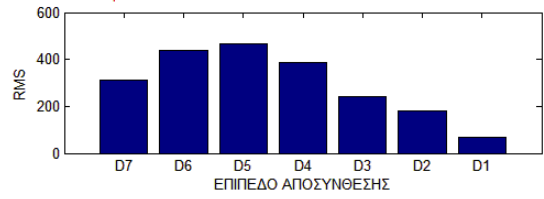
Σήμα: Fz_{4-7-cut2}Ιστόγραμμα διακριτού μετασχηματισμού κυματίου



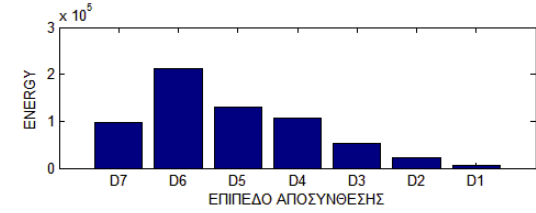
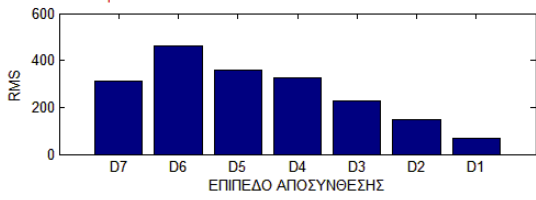
Σήμα: Fz_{4-7-cut3}Ιστόγραμμα διακριτού μετασχηματισμού κυματίου



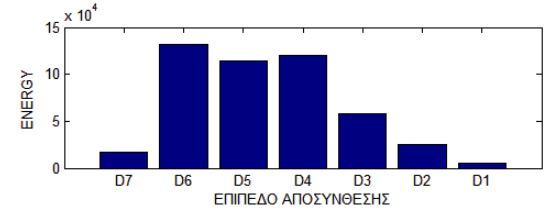
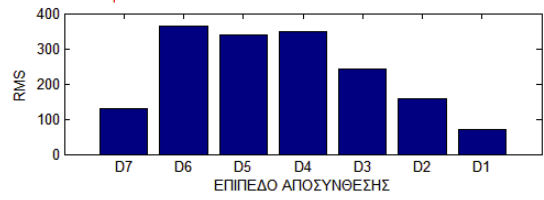
Σήμα: Fz_{4-7-cut4}Ιστόγραμμα διακριτού μετασχηματισμού κυματίου



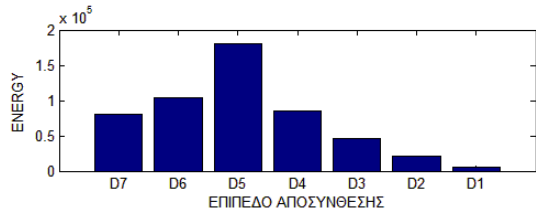
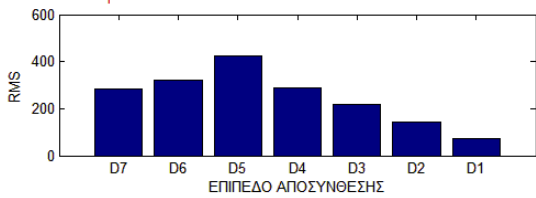
Σήμα: Fz_{4-8-cut1}Ιστόγραμμα διακριτού μετασχηματισμού κυματίου



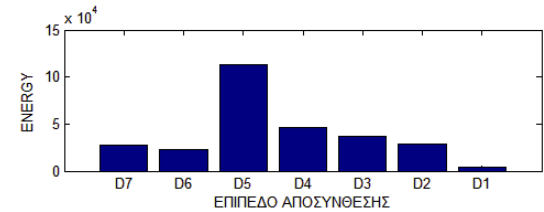
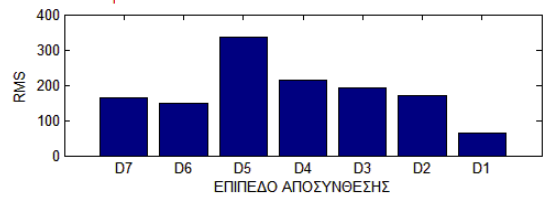
Σήμα: Fz_{4-8-cut2}Ιστόγραμμα διακριτού μετασχηματισμού κυματίου



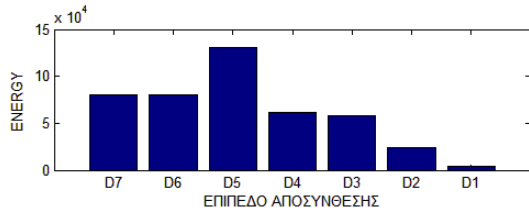
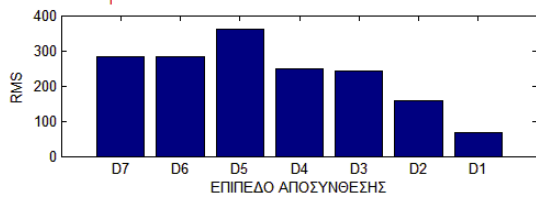
Σήμα: Fz_{4-8-cut3}Ιστόγραμμα διακριτού μετασχηματισμού κυματίου



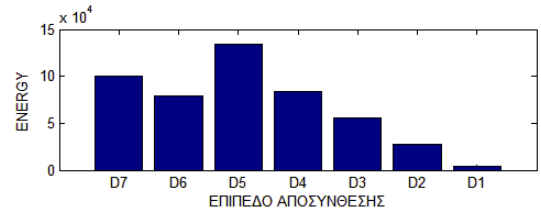
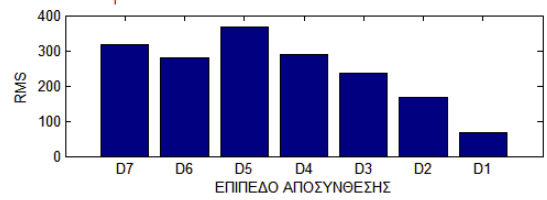
Σήμα: Fz_{4-8-cut4}Ιστόγραμμα διακριτού μετασχηματισμού κυματίου



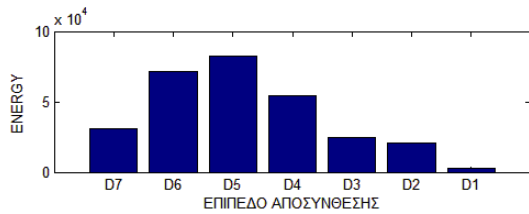
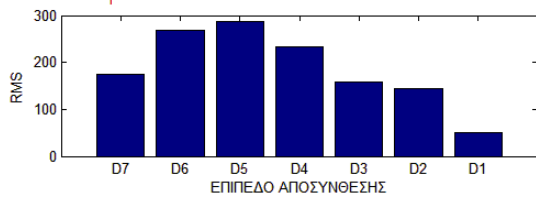
Σήμα: Fz_{5-1-cut1}1στόγραμμα διακριτού μετασχηματισμού κυματίδιου



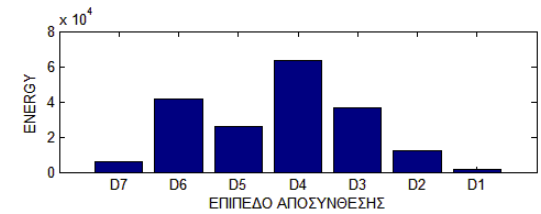
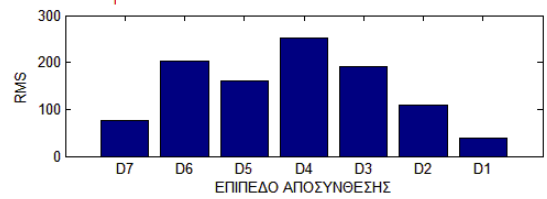
Σήμα: Fz_{5-1-cut2}1στόγραμμα διακριτού μετασχηματισμού κυματίδιου



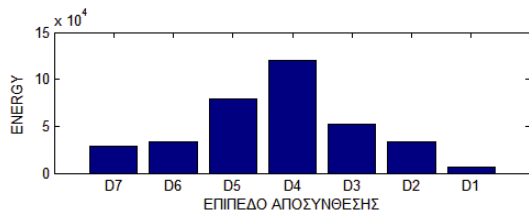
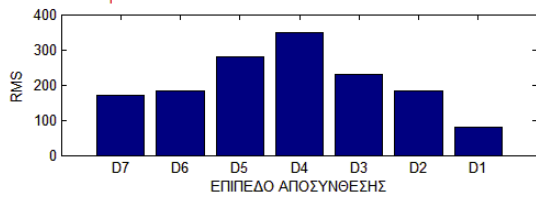
Σήμα: Fz_{5-1-cut3}1στόγραμμα διακριτού μετασχηματισμού κυματίδιου



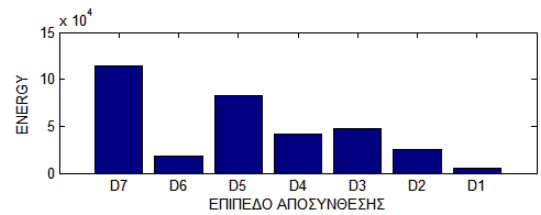
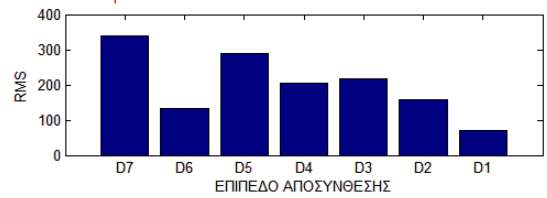
Σήμα: Fz_{5-1-cut4}1στόγραμμα διακριτού μετασχηματισμού κυματίδιου



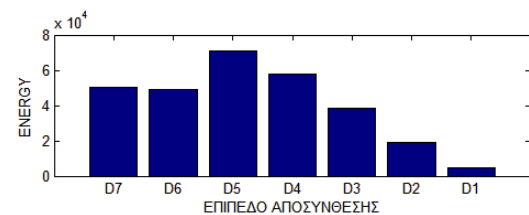
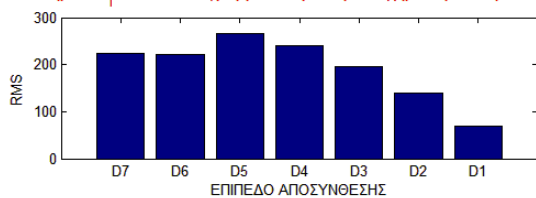
Σήμα: Fz_{5-2-cut1}1στόγραμμα διακριτού μετασχηματισμού κυματίδιου



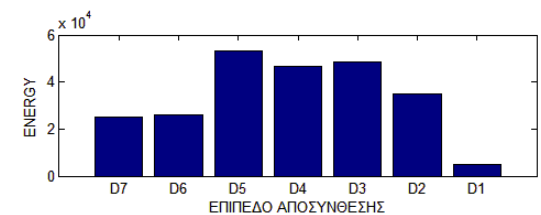
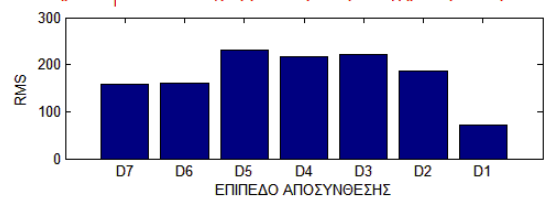
Σήμα: Fz_{5-2-cut2}1στόγραμμα διακριτού μετασχηματισμού κυματίδιου



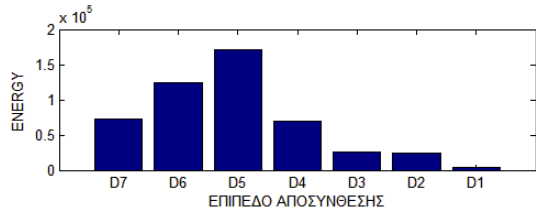
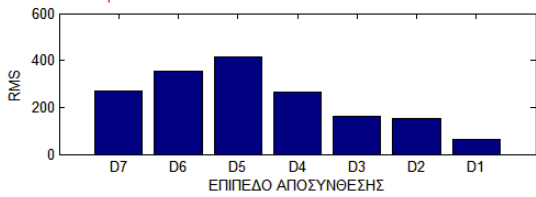
Σήμα: Fz_{5-3-cut1}1στόγραμμα διακριτού μετασχηματισμού κυματίδιου



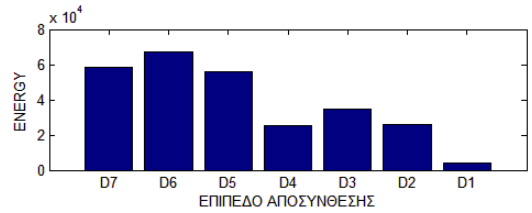
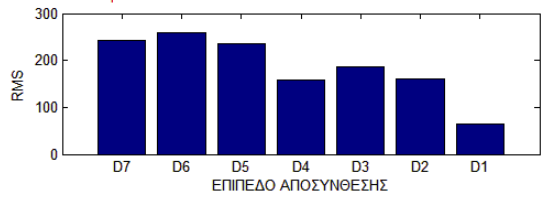
Σήμα: Fz_{5-3-cut2}1στόγραμμα διακριτού μετασχηματισμού κυματίδιου



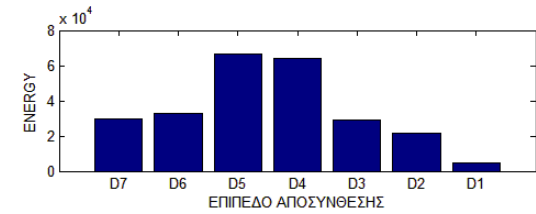
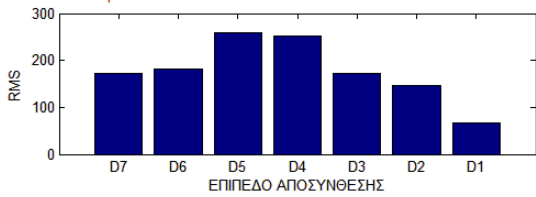
Σήμα: Fz_{5-3-cut3}Ιστόγραμμα διακριτού μετασχηματισμού κυματίου



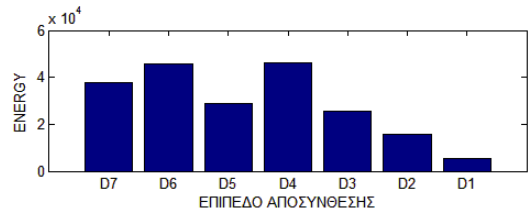
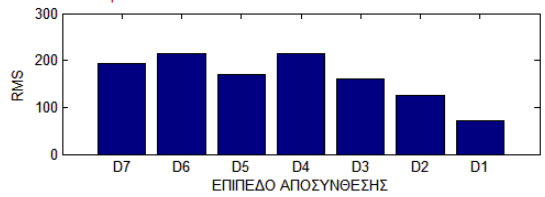
Σήμα: Fz_{5-5-cut1}Ιστόγραμμα διακριτού μετασχηματισμού κυματίου



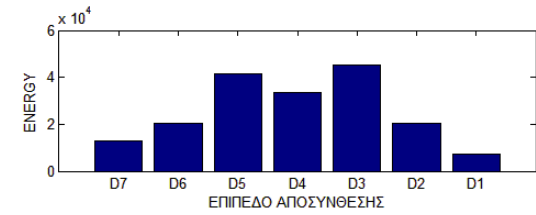
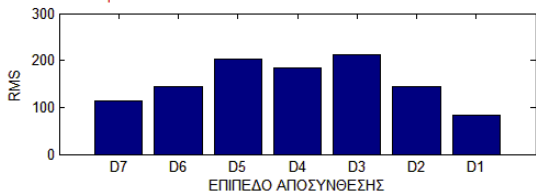
Σήμα: Fz_{5-5-cut2}Ιστόγραμμα διακριτού μετασχηματισμού κυματίου



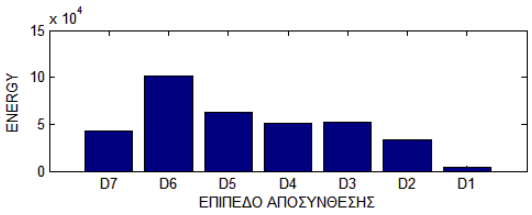
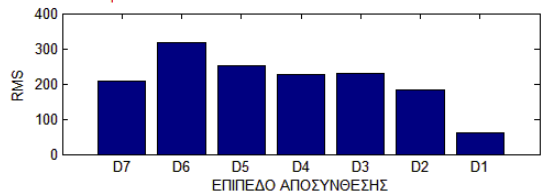
Σήμα: Fz_{5-5-cut3}Ιστόγραμμα διακριτού μετασχηματισμού κυματίου



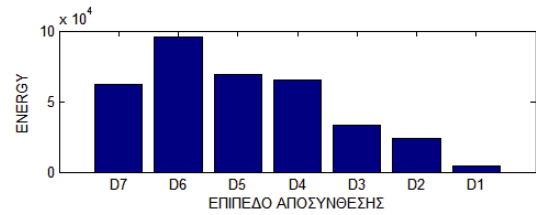
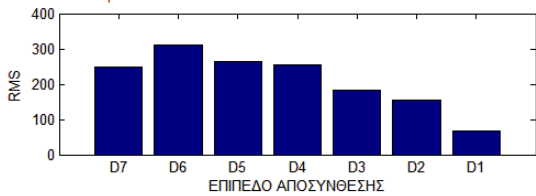
Σήμα: Fz_{5-7-cut1}Ιστόγραμμα διακριτού μετασχηματισμού κυματίου



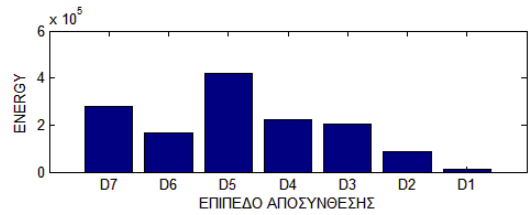
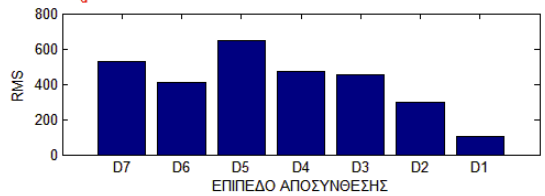
Σήμα: Fz_{5-7-cut2}Ιστόγραμμα διακριτού μετασχηματισμού κυματίου



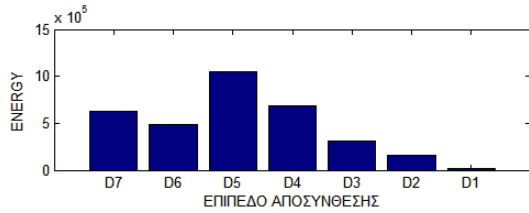
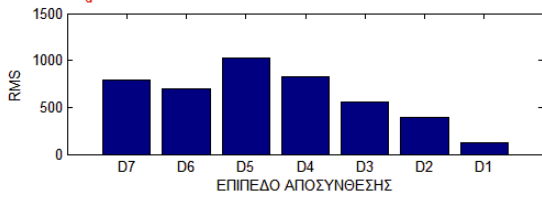
Σήμα: Fz_{5-7-cut4}Ιστόγραμμα διακριτού μετασχηματισμού κυματίου



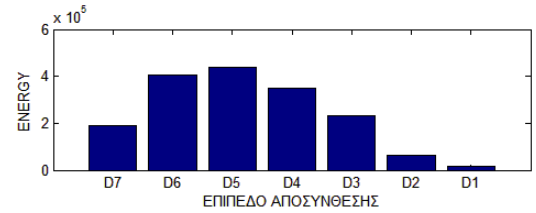
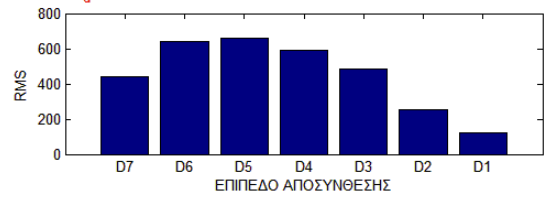
Σήμα: Fz_{επιεγας-3x-2}Ιστόγραμμα διακριτού μετασχηματισμού κυματίου



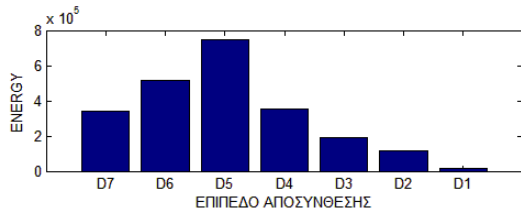
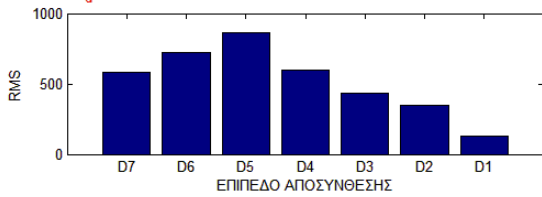
Σχήμα: Fz_{emenegas-3y-1}ιστόγραμμα διακριτού μετασχηματισμού κυματίου



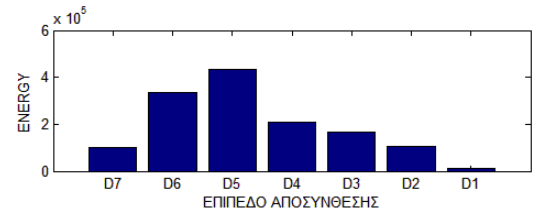
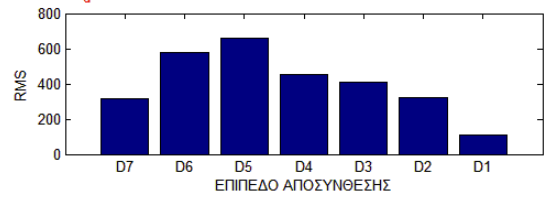
Σχήμα: Fz_{emenegas-3y-2}ιστόγραμμα διακριτού μετασχηματισμού κυματίου



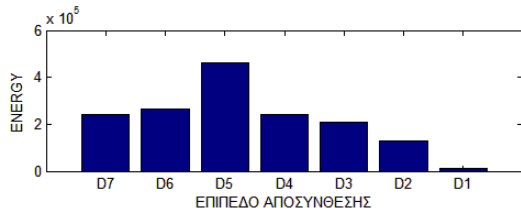
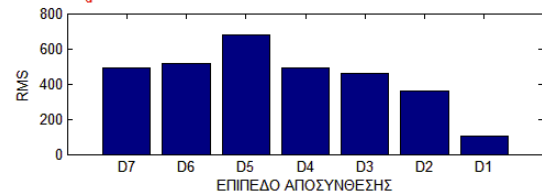
Σχήμα: Fz_{emenegas-3y-3}ιστόγραμμα διακριτού μετασχηματισμού κυματίου



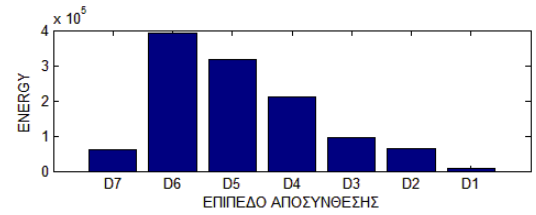
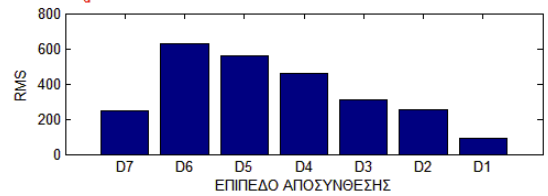
Σχήμα: Fz_{emenegas-3z-1}ιστόγραμμα διακριτού μετασχηματισμού κυματίου



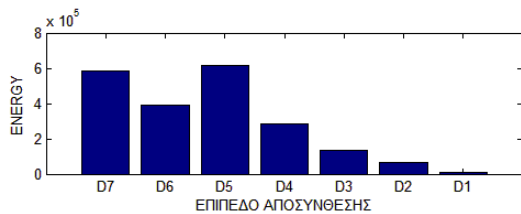
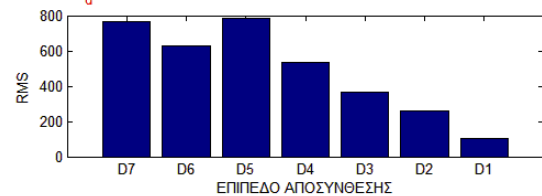
Σχήμα: Fz_{emenegas-3z-2}ιστόγραμμα διακριτού μετασχηματισμού κυματίου



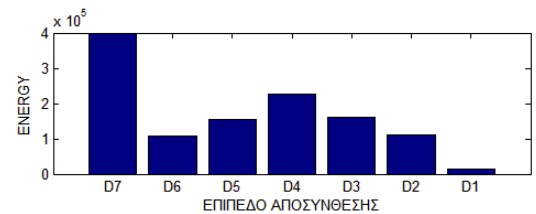
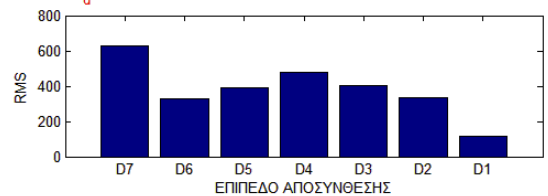
Σχήμα: Fz_{emenegas-3z-3}ιστόγραμμα διακριτού μετασχηματισμού κυματίου



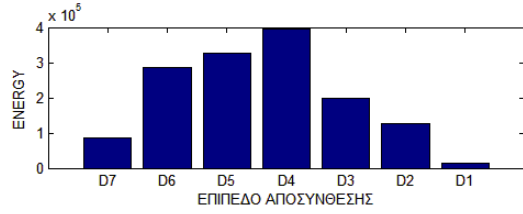
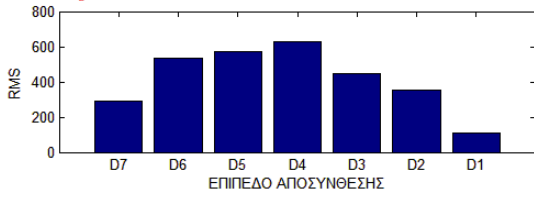
Σχήμα: Fz_{emenegas-3z-4}ιστόγραμμα διακριτού μετασχηματισμού κυματίου



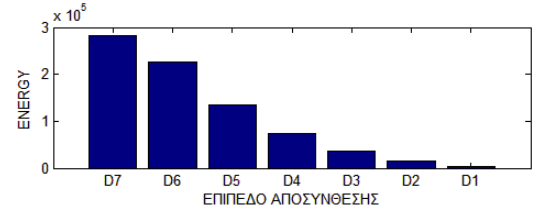
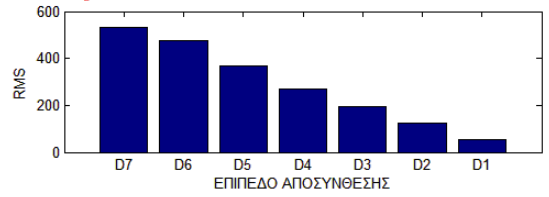
Σχήμα: Fz_{emenegas-5x-1}ιστόγραμμα διακριτού μετασχηματισμού κυματίου



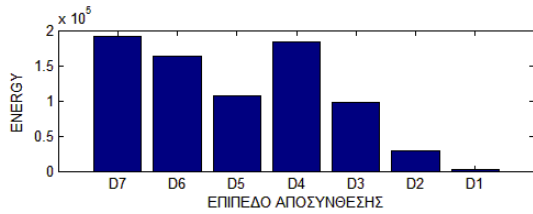
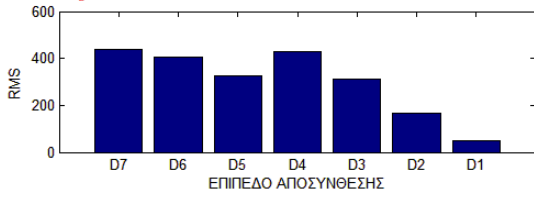
Σχήμα: Fz_{emenegas-5x-2}ιστόγραμμα διακριτού μετασχηματισμού κυματίου



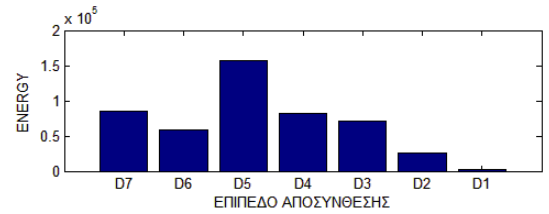
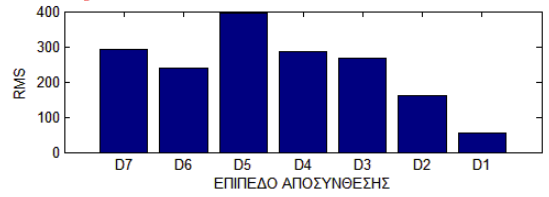
Σχήμα: Fz_{emenegas-5x-3}ιστόγραμμα διακριτού μετασχηματισμού κυματίου



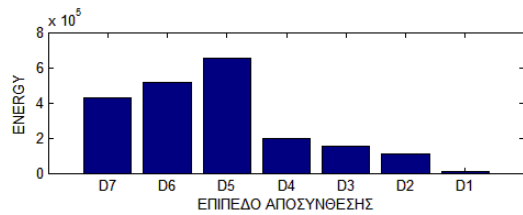
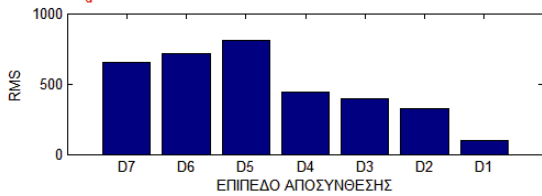
Σχήμα: Fz_{emenegas-5y-1}ιστόγραμμα διακριτού μετασχηματισμού κυματίου



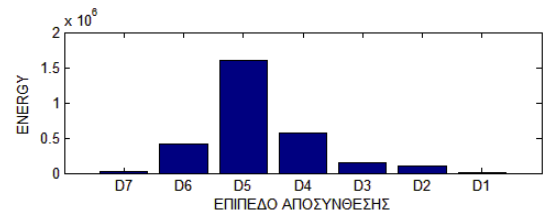
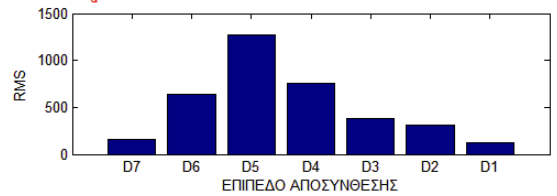
Σχήμα: Fz_{emenegas-5y-2}ιστόγραμμα διακριτού μετασχηματισμού κυματίου



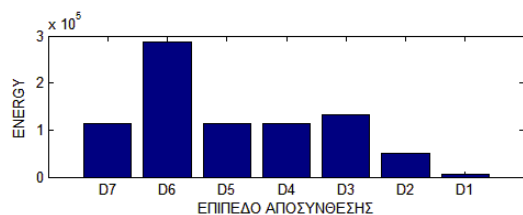
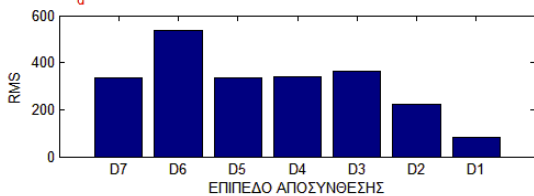
Σχήμα: Fz_{emenegas-5y-3}ιστόγραμμα διακριτού μετασχηματισμού κυματίου



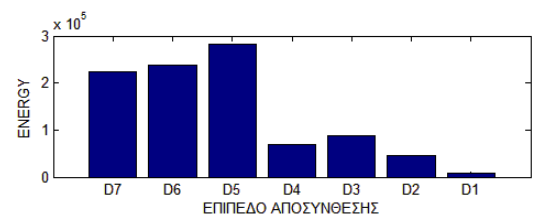
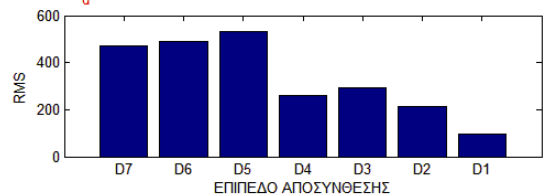
Σχήμα: Fz_{emenegas-5y-4}ιστόγραμμα διακριτού μετασχηματισμού κυματίου



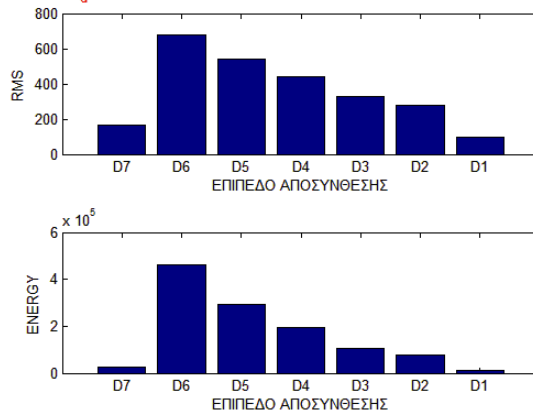
Σχήμα: Fz_{emenegas-5z-1}ιστόγραμμα διακριτού μετασχηματισμού κυματίου



Σχήμα: Fz_{emenegas-5z-2}ιστόγραμμα διακριτού μετασχηματισμού κυματίου

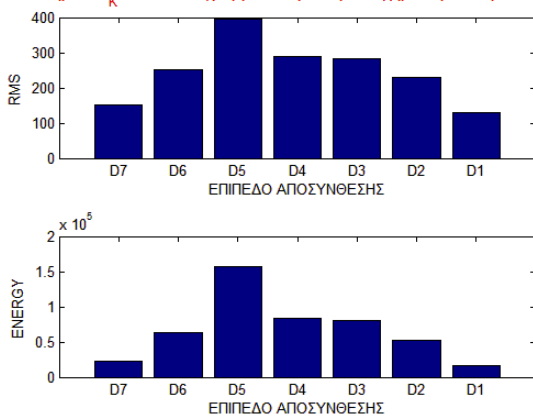


Σήμα: Fz_gemeegas-5z-3ιστόγραμμα διακριτού μετασχηματισμού κυματίου

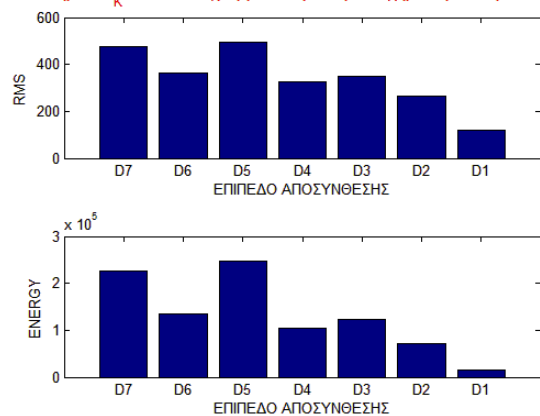


- Ψαμμίτης με ενστρώσεις ασβεστιτικού υλικού από τους παχυστρωματώδεις ψαμμίτες της ζώνης του φλύσχη της Πίνδου - (*psam*)

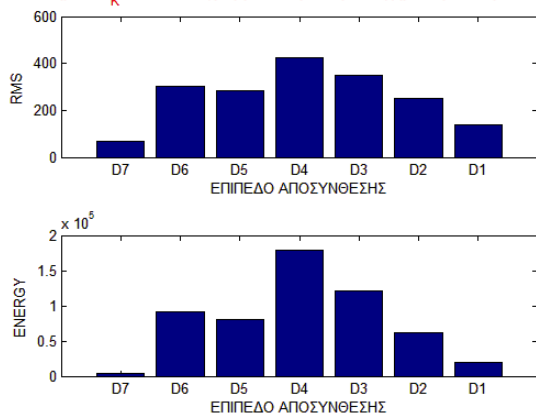
Σήμα: Fz_κ-Y2-1-1ιστόγραμμα διακριτού μετασχηματισμού κυματίου



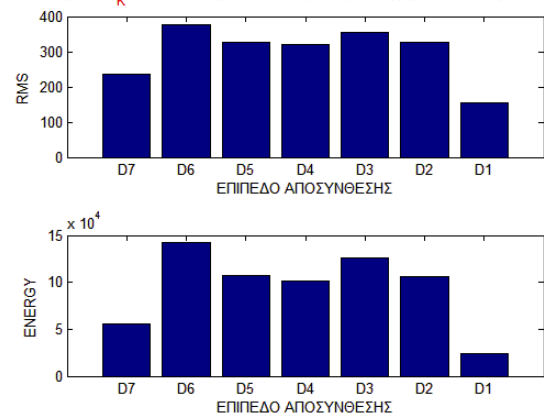
Σήμα: Fz_κ-Y2-1-2ιστόγραμμα διακριτού μετασχηματισμού κυματίου



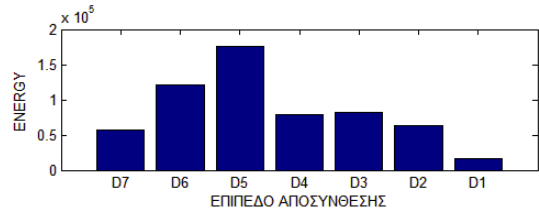
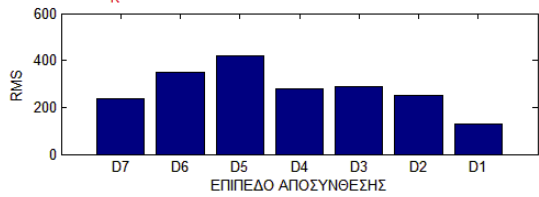
Σήμα: Fz_κ-Y2-1-3ιστόγραμμα διακριτού μετασχηματισμού κυματίου



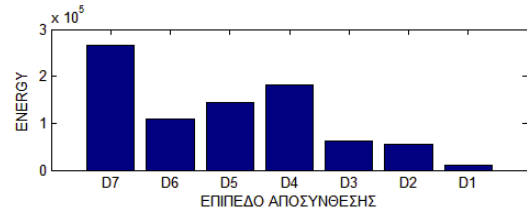
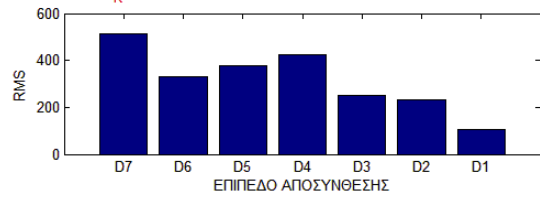
Σήμα: Fz_κ-Y2-1-4ιστόγραμμα διακριτού μετασχηματισμού κυματίου



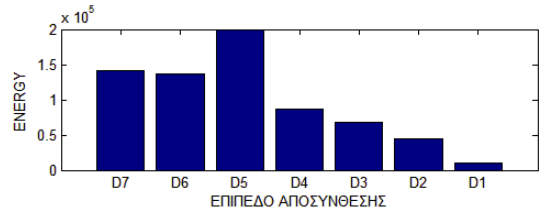
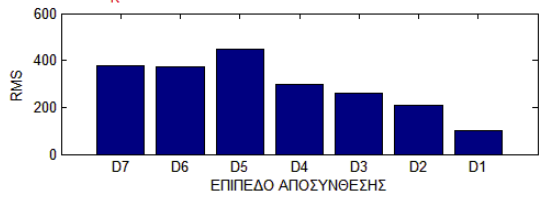
Σήμα: Fz_κ-Y2-2-1ιστόγραμμα διακριτού μετασχηματισμού κυματίου



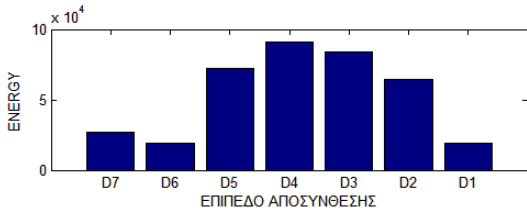
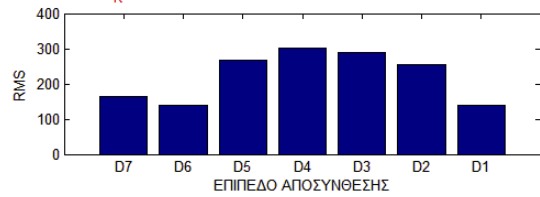
Σήμα: Fz_κ-Y2-2-2ιστόγραμμα διακριτού μετασχηματισμού κυματίου



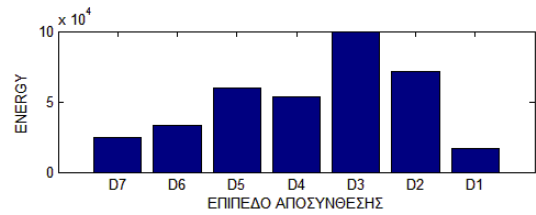
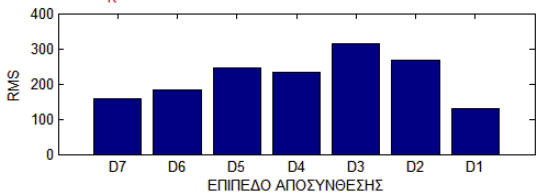
Σήμα: Fz_κ-Y2-3-1ιστόγραμμα διακριτού μετασχηματισμού κυματίου



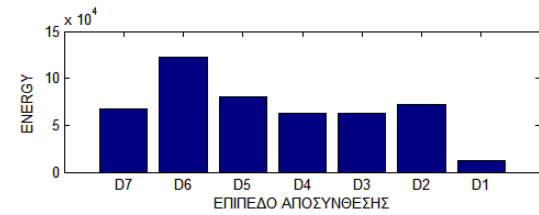
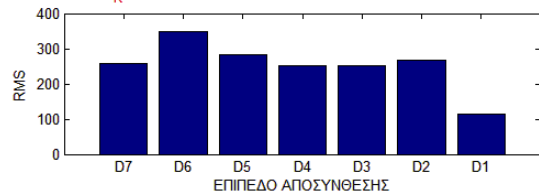
Σήμα: Fz_κ-Y2-2-4ιστόγραμμα διακριτού μετασχηματισμού κυματίου



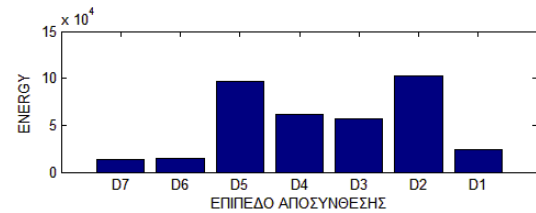
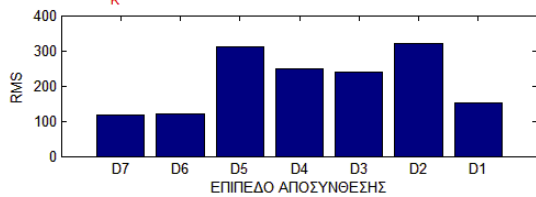
Σήμα: Fz_κ-Y2-3-1ιστόγραμμα διακριτού μετασχηματισμού κυματίου



Σήμα: Fz_κ-Y2-3-2ιστόγραμμα διακριτού μετασχηματισμού κυματίου

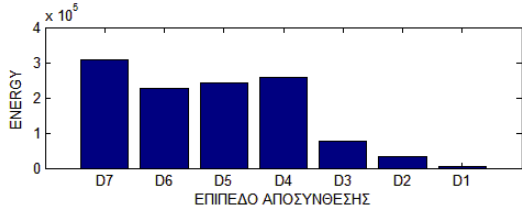
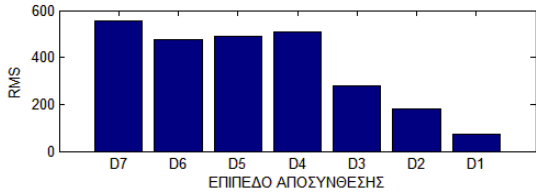


Σήμα: Fz_κ-Y2-3-4ιστόγραμμα διακριτού μετασχηματισμού κυματίου

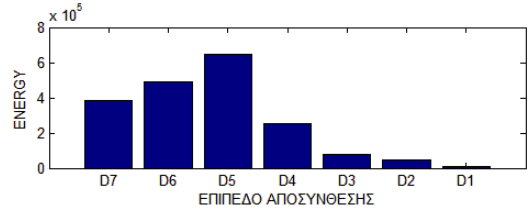
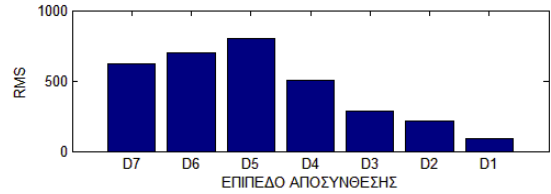


- Συμπαγής ψαμμούχος στρωματώδης ιλιόλιθος σε επαφή με ψαμμούχο ασβεστόλιθο με ασβεστιτικές ενστρώσεις, από την ενότητα του πινδικού φλύσχη - (ilio)

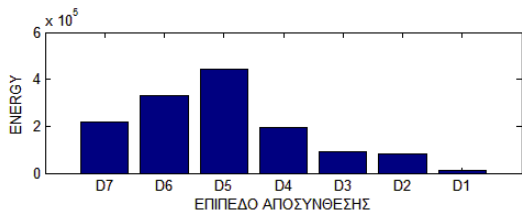
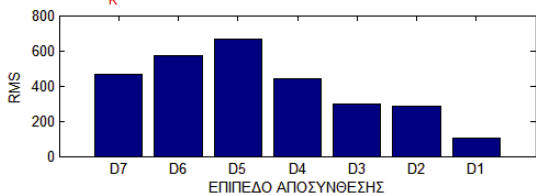
Σήμα: Fz_κ-Y3-1-1στόγραμμα διακριτού μετασχηματισμού κυματίου



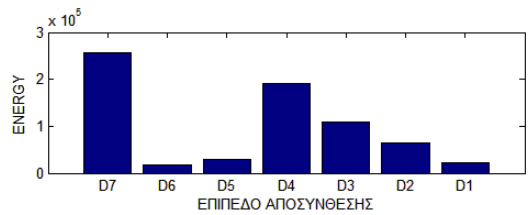
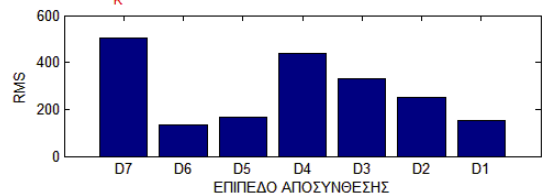
Σήμα: Fz_κ-Y3-1-2στόγραμμα διακριτού μετασχηματισμού κυματίου



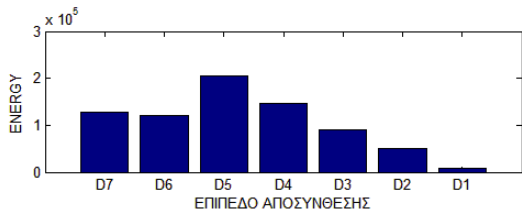
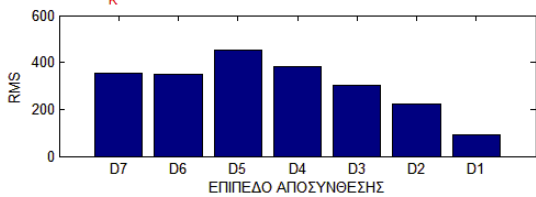
Σήμα: Fz_κ-Y3-1-3στόγραμμα διακριτού μετασχηματισμού κυματίου



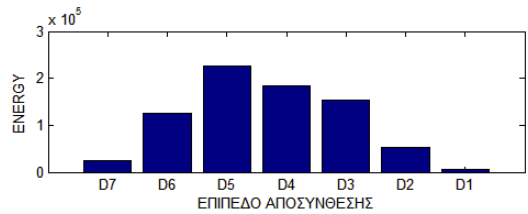
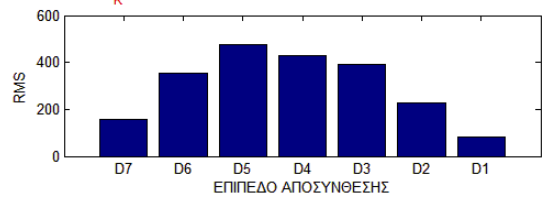
Σήμα: Fz_κ-Y3-1-4στόγραμμα διακριτού μετασχηματισμού κυματίου



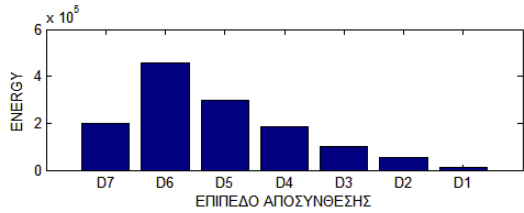
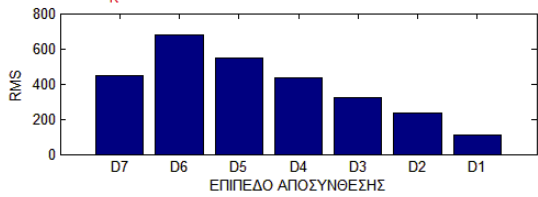
Σήμα: Fz_κ-Y3-2-1στόγραμμα διακριτού μετασχηματισμού κυματίου



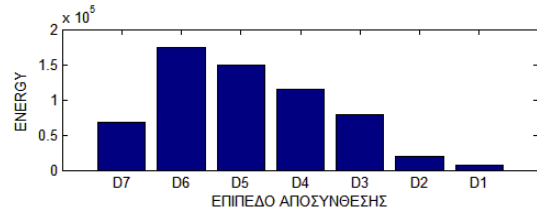
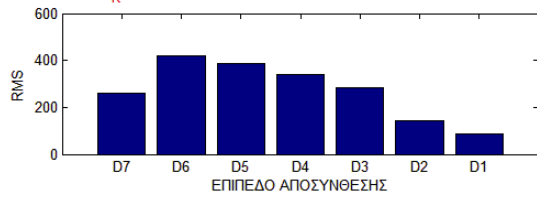
Σήμα: Fz_κ-Y3-2-2στόγραμμα διακριτού μετασχηματισμού κυματίου



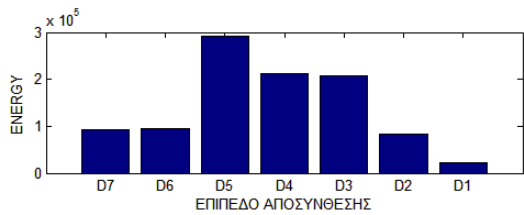
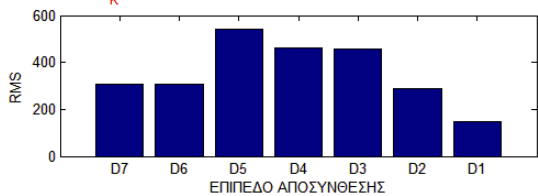
Σήμα: Fz_κ-Y3-2-3ιστόγραμμα διακριτού μετασχηματισμού κυματίδιου



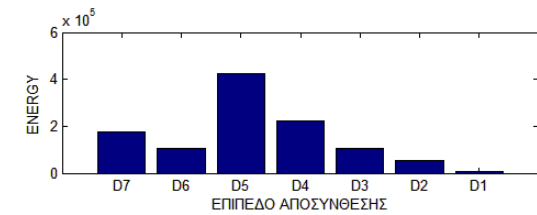
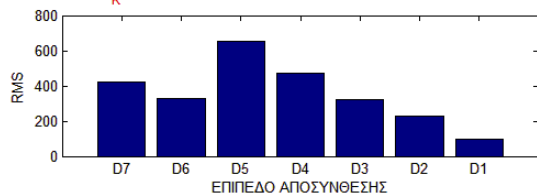
Σήμα: Fz_κ-Y3-3-1ιστόγραμμα διακριτού μετασχηματισμού κυματίδιου



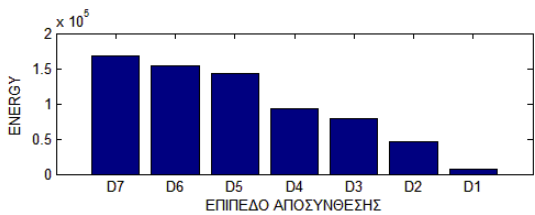
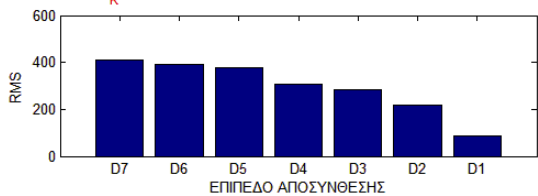
Σήμα: Fz_κ-Y3-3-2ιστόγραμμα διακριτού μετασχηματισμού κυματίδιου



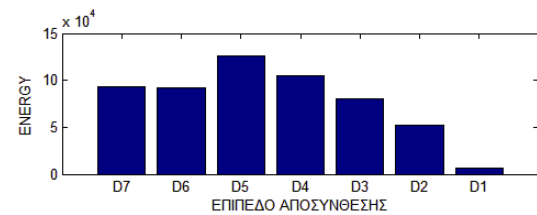
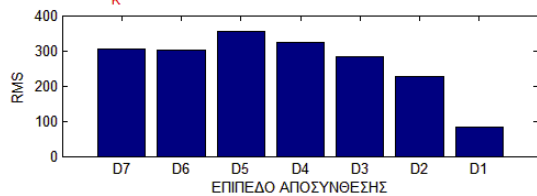
Σήμα: Fz_κ-Y3-3-3ιστόγραμμα διακριτού μετασχηματισμού κυματίδιου



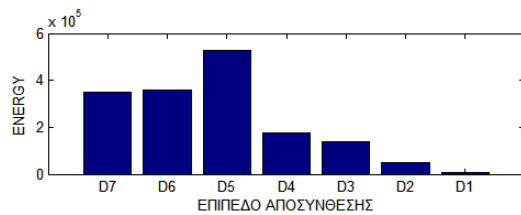
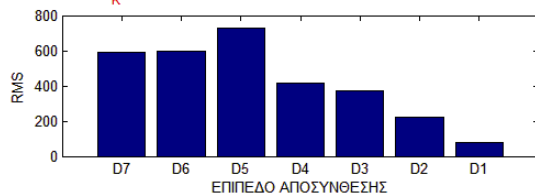
Σήμα: Fz_κ-Y3-3-4ιστόγραμμα διακριτού μετασχηματισμού κυματίδιου



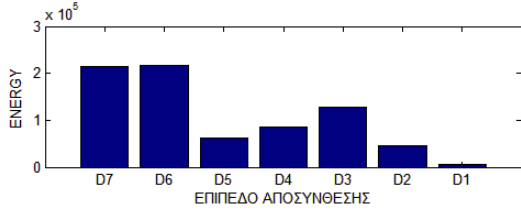
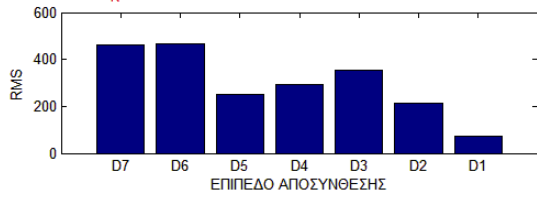
Σήμα: Fz_κ-Y4-1-2ιστόγραμμα διακριτού μετασχηματισμού κυματίδιου



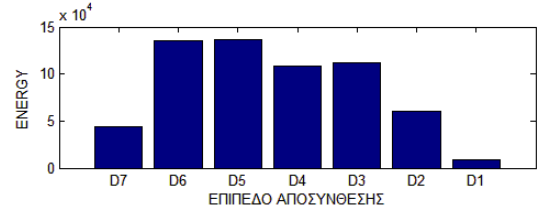
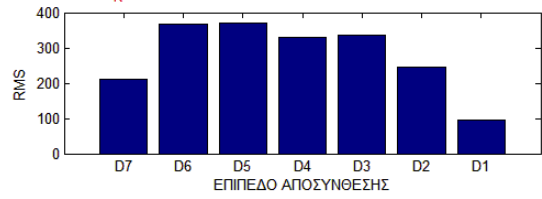
Σήμα: Fz_κ-Y4-1-3ιστόγραμμα διακριτού μετασχηματισμού κυματίδιου



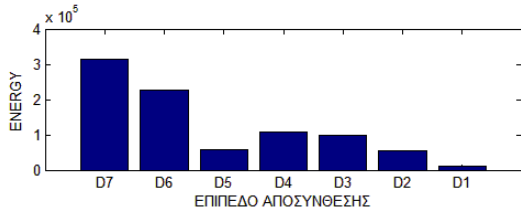
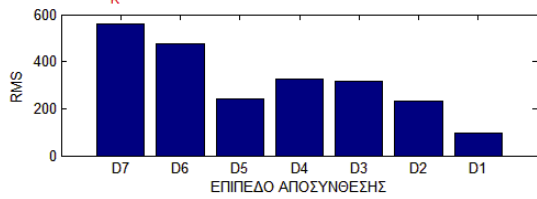
Σήμα: Fz_κ-Y4-2-1 Ιστόγραμμα διακριτού μετασχηματισμού κυματίδι



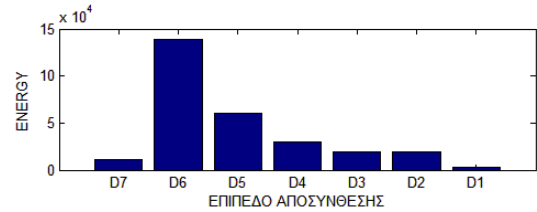
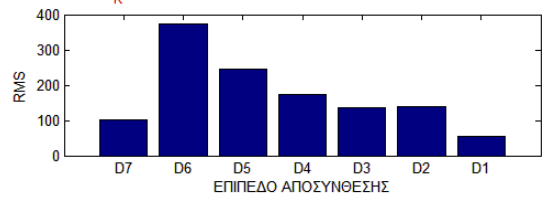
Σήμα: Fz_κ-Y4-2-2 Ιστόγραμμα διακριτού μετασχηματισμού κυματίδι



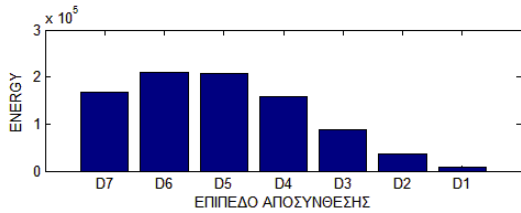
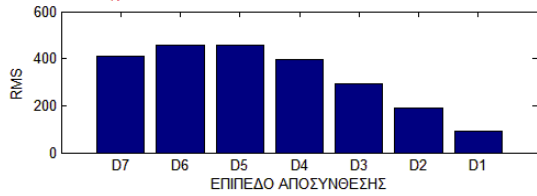
Σήμα: Fz_κ-Y4-2-3 Ιστόγραμμα διακριτού μετασχηματισμού κυματίδι



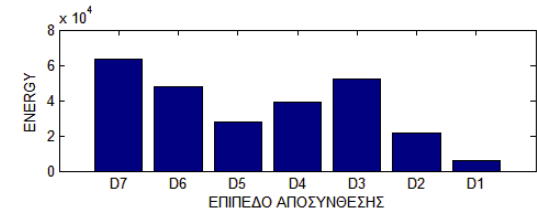
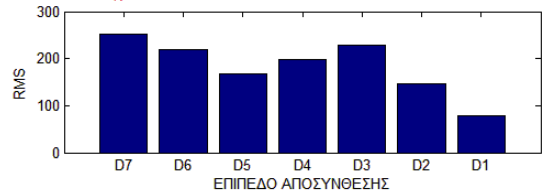
Σήμα: Fz_κ-Y4-2-4 Ιστόγραμμα διακριτού μετασχηματισμού κυματίδι



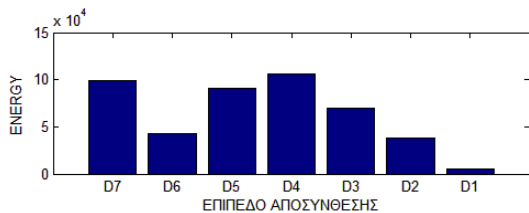
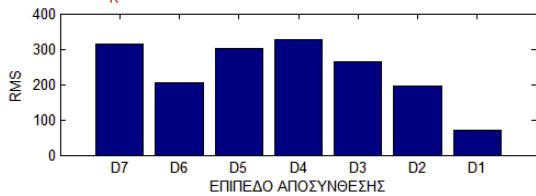
Σήμα: Fz_κ-Y4-3-1 Ιστόγραμμα διακριτού μετασχηματισμού κυματίδι



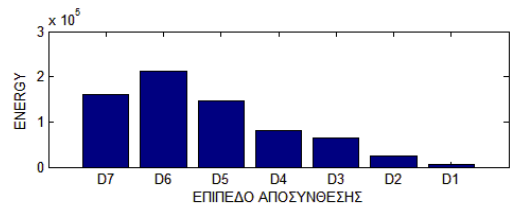
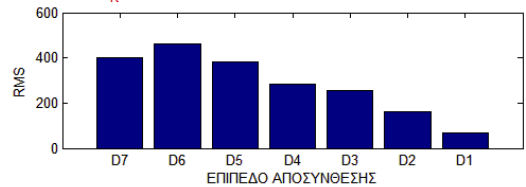
Σήμα: Fz_κ-Y4-3-2 Ιστόγραμμα διακριτού μετασχηματισμού κυματίδι



Σήμα: Fz_κ-Y4-3-3 Ιστόγραμμα διακριτού μετασχηματισμού κυματίδι

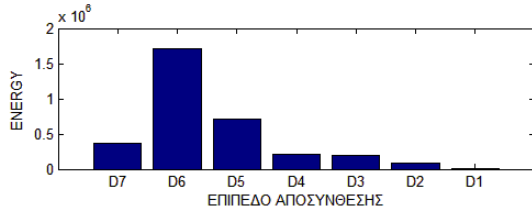
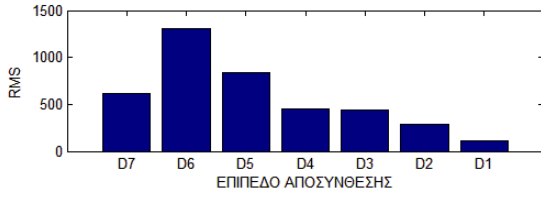


Σήμα: Fz_κ-Y4-3-4 Ιστόγραμμα διακριτού μετασχηματισμού κυματίδι

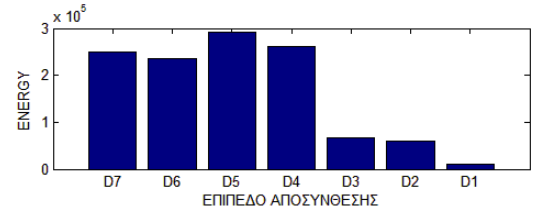
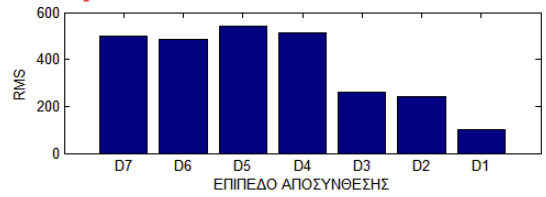


- Ερυθρότεφος ασβεστόλιθος του ανώτερου Τριαδικού από τον ορεινό όγκο Λέμφι της Ελευσίνας (TITAN) - (asn2)

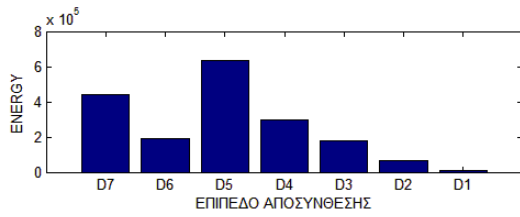
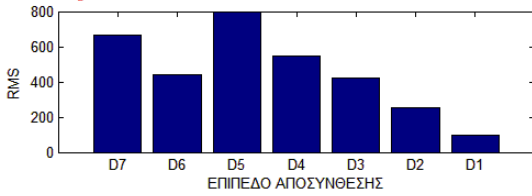
Σήμα: Fz_gemepegas-4x-1ιστόγραμμα διακριτού μετασχηματισμού κυματίου



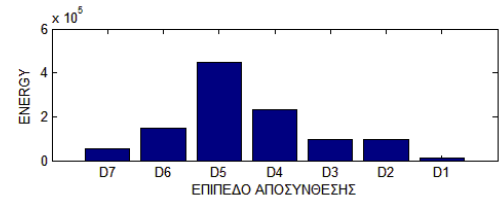
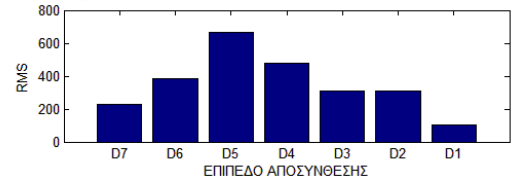
Σήμα: Fz_gemepegas-4x-2ιστόγραμμα διακριτού μετασχηματισμού κυματίου



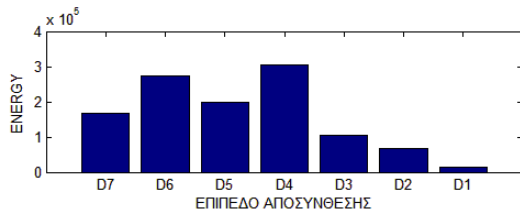
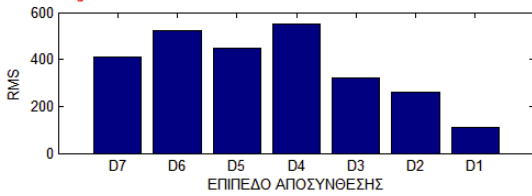
Σήμα: Fz_gemepegas-4x-3ιστόγραμμα διακριτού μετασχηματισμού κυματίου



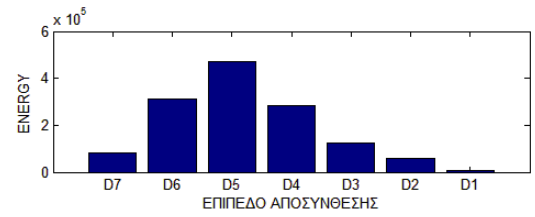
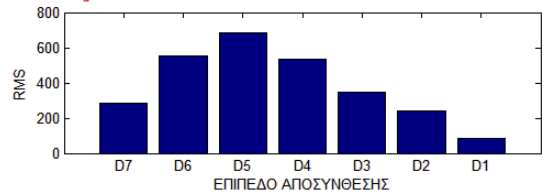
Σήμα: Fz_gemepegas-4y-1ιστόγραμμα διακριτού μετασχηματισμού κυματίου



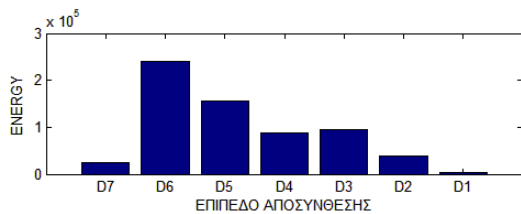
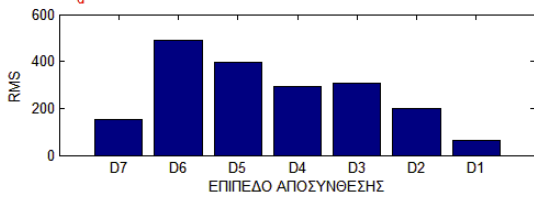
Σήμα: Fz_gemepegas-4y-2ιστόγραμμα διακριτού μετασχηματισμού κυματίου



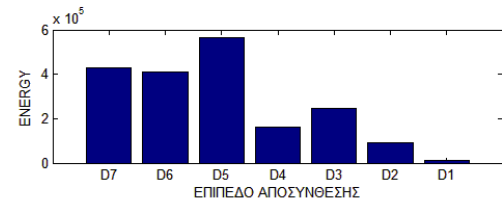
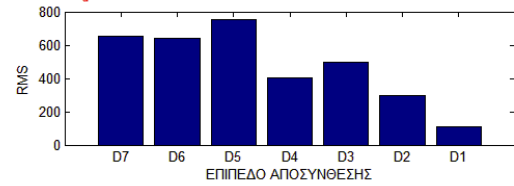
Σήμα: Fz_gemepegas-4z-1ιστόγραμμα διακριτού μετασχηματισμού κυματίου



Σήμα: Fz_gemepegas-4z-2ιστόγραμμα διακριτού μετασχηματισμού κυματίου

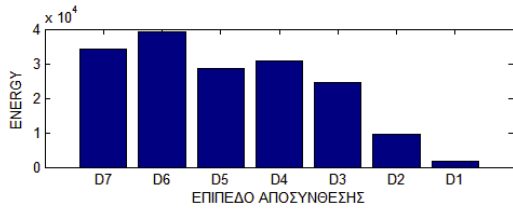
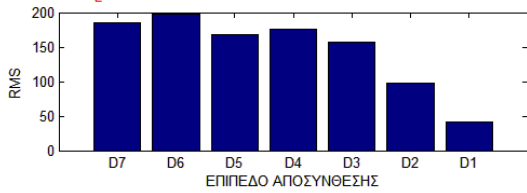


Σήμα: Fz_gemepegas-4z-3ιστόγραμμα διακριτού μετασχηματισμού κυματίου

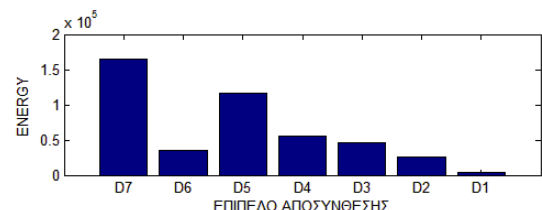
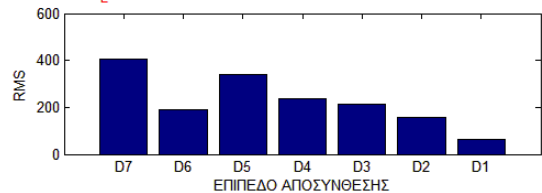


• Ασβεστόλιθος Άνω Κρητιδικού – Μεταλλείο Αγ. Ιωάννη ΛΑΡΚΟ Α.Ε. -
(asn3)

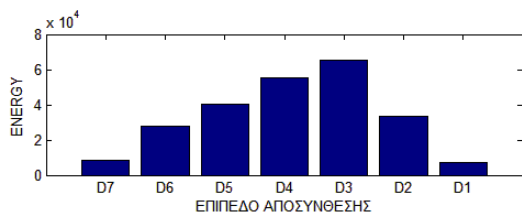
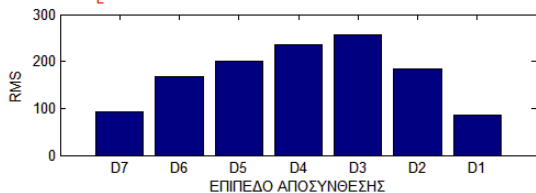
Σήμα: Fz_A12-CUT1 Ιστόγραμμα διακριτού μετασχηματισμού κυματίου



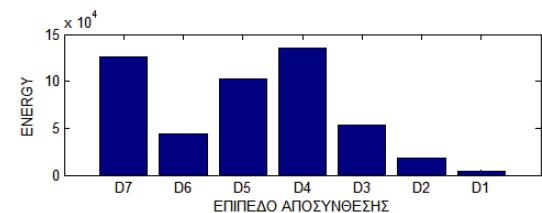
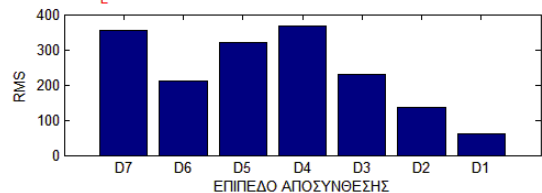
Σήμα: Fz_A12-CUT2 Ιστόγραμμα διακριτού μετασχηματισμού κυματίου



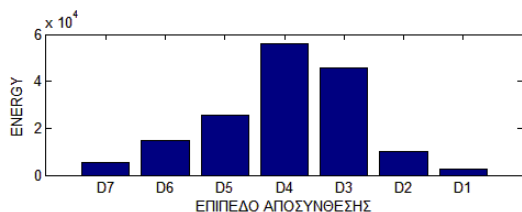
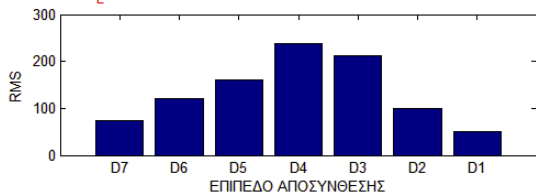
Σήμα: Fz_A12-CUT3 Ιστόγραμμα διακριτού μετασχηματισμού κυματίου



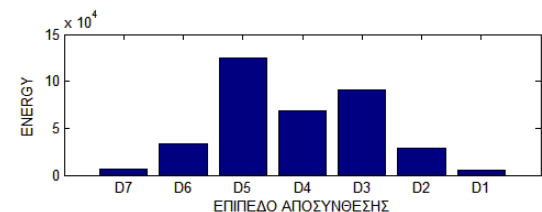
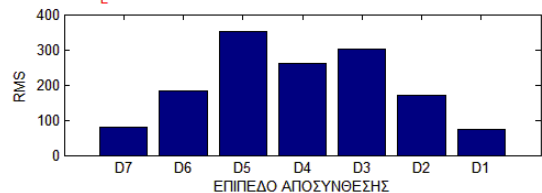
Σήμα: Fz_A12-CUT4 Ιστόγραμμα διακριτού μετασχηματισμού κυματίου



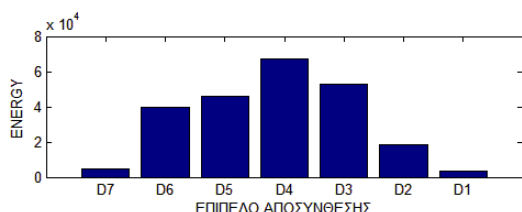
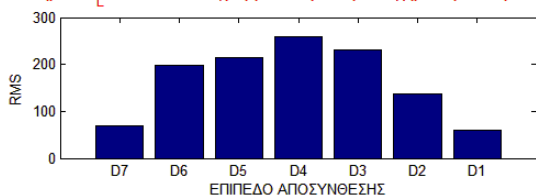
Σήμα: Fz_A13-CUT1 Ιστόγραμμα διακριτού μετασχηματισμού κυματίου



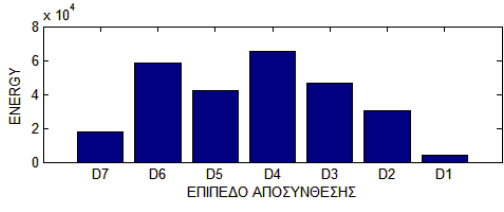
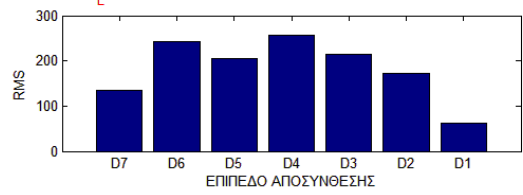
Σήμα: Fz_A14-CUT2 Ιστόγραμμα διακριτού μετασχηματισμού κυματίου



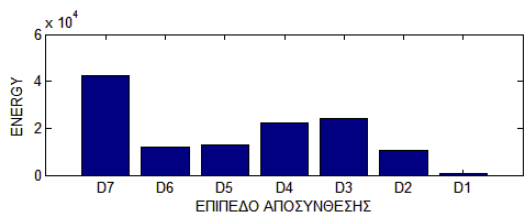
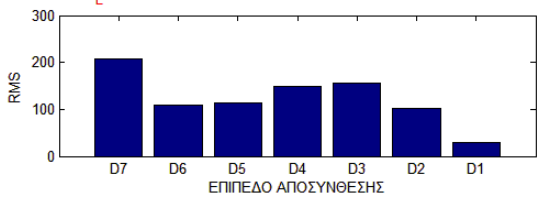
Σήμα: Fz_A14-CUT3 Ιστόγραμμα διακριτού μετασχηματισμού κυματίου



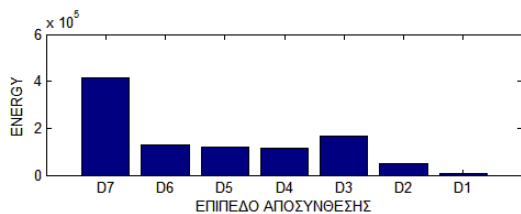
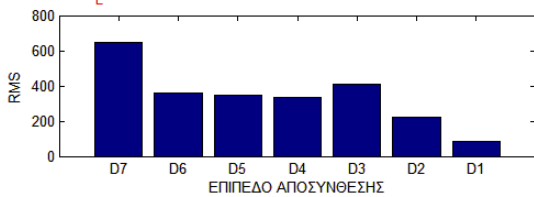
Σήμα: Fz_A14-CUT4 Ιστόγραμμα διακριτού μετασχηματισμού κυματίου



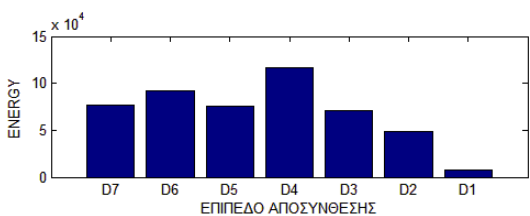
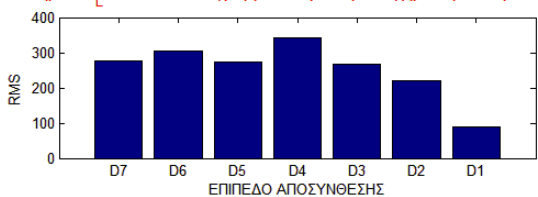
Σήμα: Fz_A15-CUT1 Ιστόγραμμα διακριτού μετασχηματισμού κυματίδιου



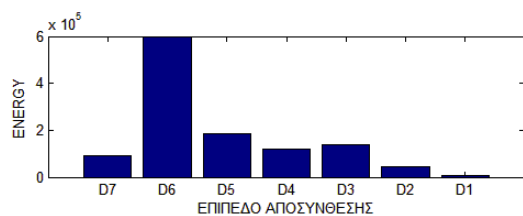
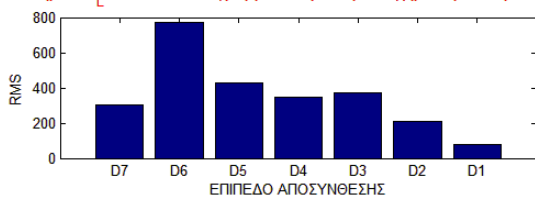
Σήμα: Fz_A15-CUT2 Ιστόγραμμα διακριτού μετασχηματισμού κυματίδιου



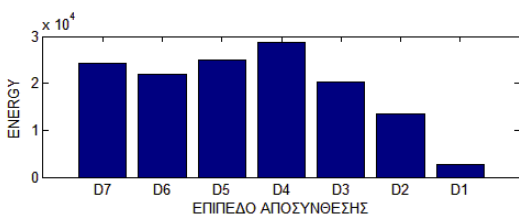
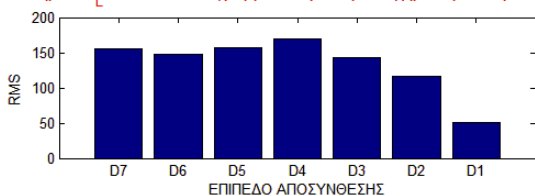
Σήμα: Fz_A15-CUT3 Ιστόγραμμα διακριτού μετασχηματισμού κυματίδιου



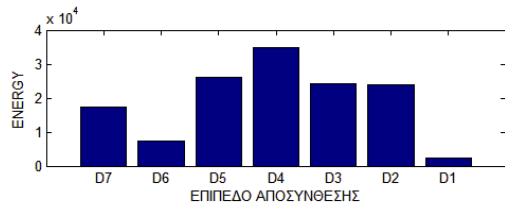
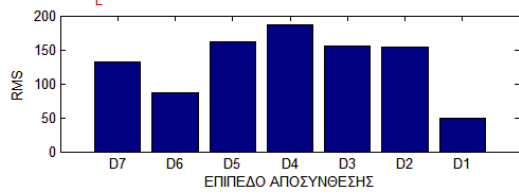
Σήμα: Fz_A17-CUT1 Ιστόγραμμα διακριτού μετασχηματισμού κυματίδιου



Σήμα: Fz_A17-CUT2 Ιστόγραμμα διακριτού μετασχηματισμού κυματίδιου

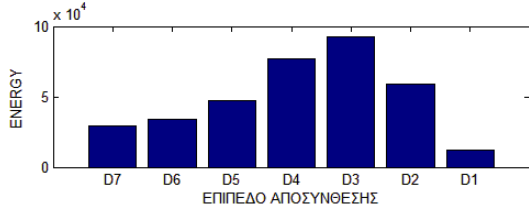
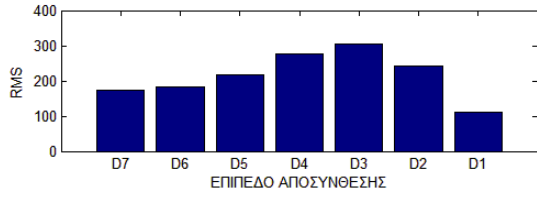


Σήμα: Fz_A17-CUT3 Ιστόγραμμα διακριτού μετασχηματισμού κυματίδιου

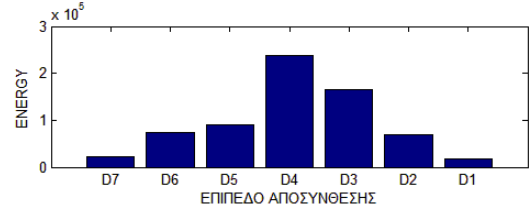
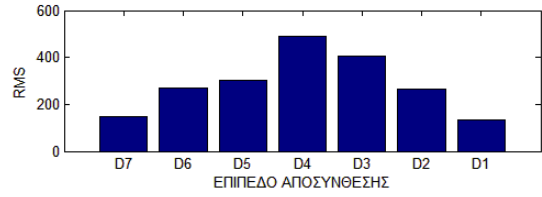


• Σιδηρονικελιούχος Λατερίτης – Μεταλλείο Αγ. Ιωάννη ΛΑΡΚΟ Α.Ε. -
(lat)

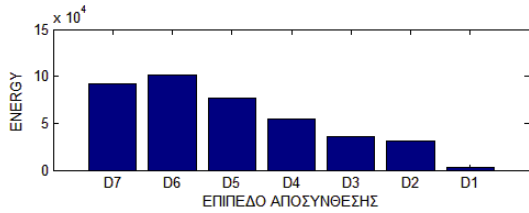
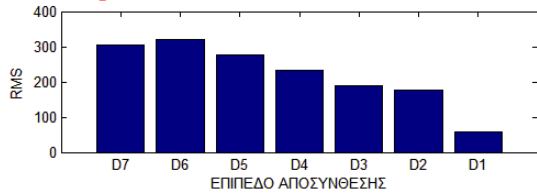
Σήμα: Fz_{L11-CUT1} Ιστόγραμμα διακριτού μετασχηματισμού κυματίου



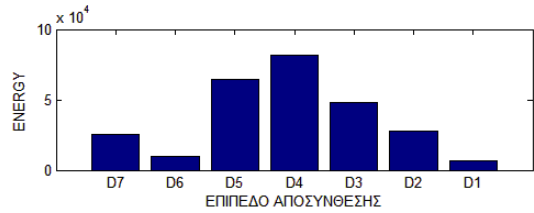
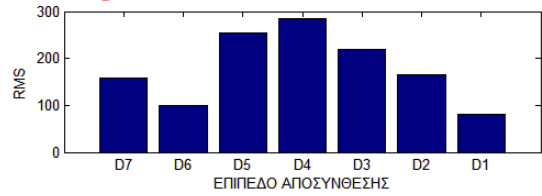
Σήμα: Fz_{L11-CUT2} Ιστόγραμμα διακριτού μετασχηματισμού κυματίου



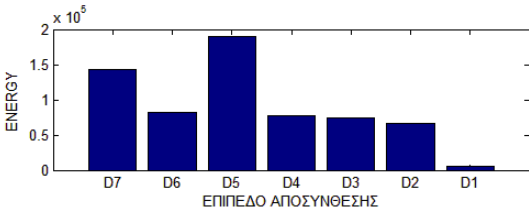
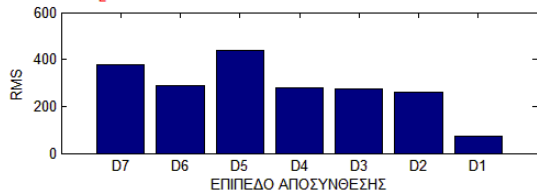
Σήμα: Fz_{L11-CUT3} Ιστόγραμμα διακριτού μετασχηματισμού κυματίου



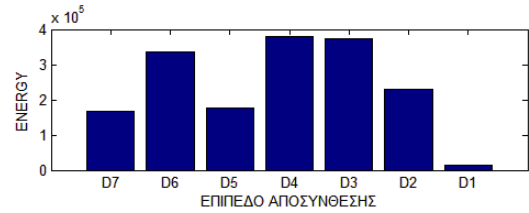
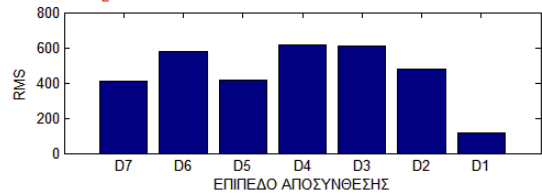
Σήμα: Fz_{L11-CUT4} Ιστόγραμμα διακριτού μετασχηματισμού κυματίου



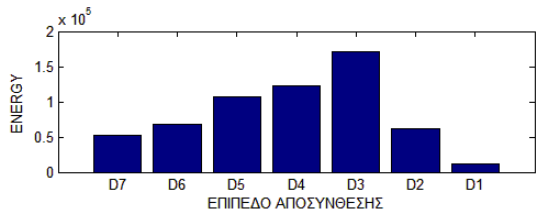
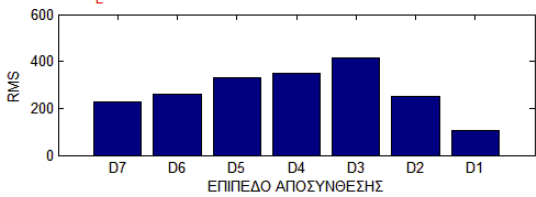
Σήμα: Fz_{L12-CUT1} Ιστόγραμμα διακριτού μετασχηματισμού κυματίου



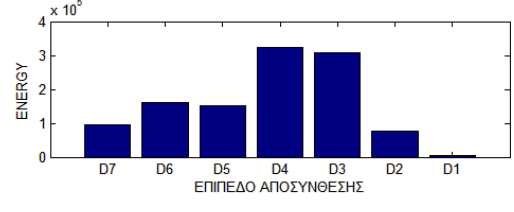
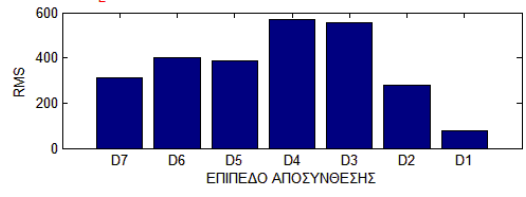
Σήμα: Fz_{L12-CUT2} Ιστόγραμμα διακριτού μετασχηματισμού κυματίου



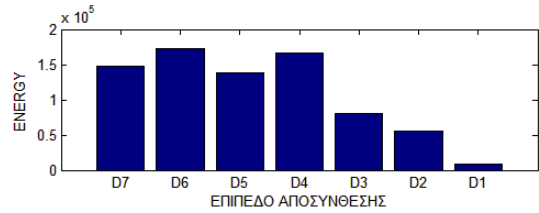
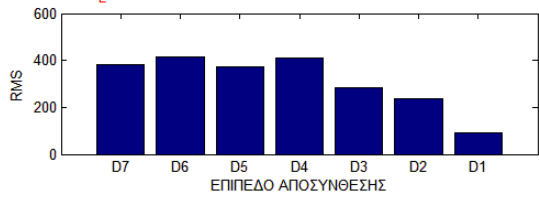
Σήμα: Fz_{L13-CUT1} Ιστόγραμμα διακριτού μετασχηματισμού κυματίου



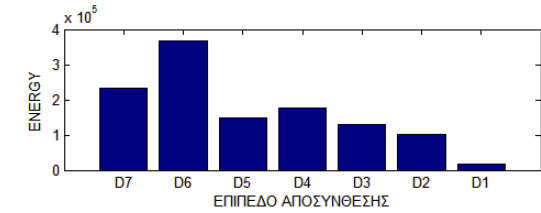
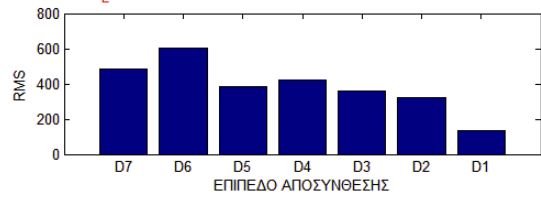
Σήμα: Fz_{L13-CUT2} Ιστόγραμμα διακριτού μετασχηματισμού κυματίου



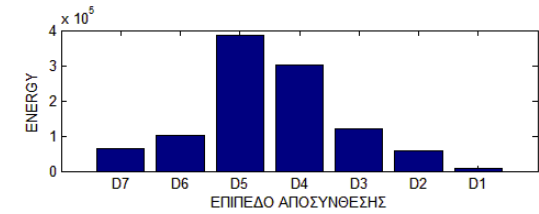
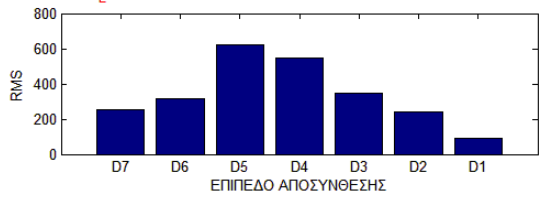
Σήμα: Fz L14-CUT1 Ιστόγραμμα διακριτού μετασχηματισμού κυματίου



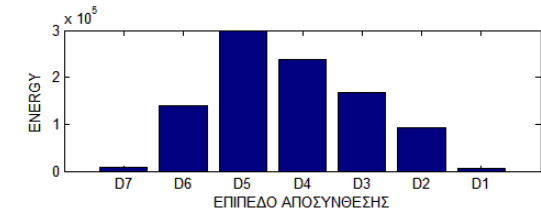
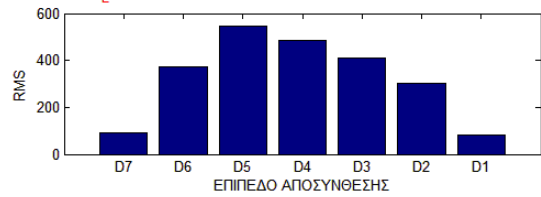
Σήμα: Fz L14-CUT2 Ιστόγραμμα διακριτού μετασχηματισμού κυματίου



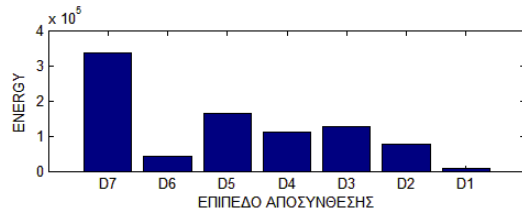
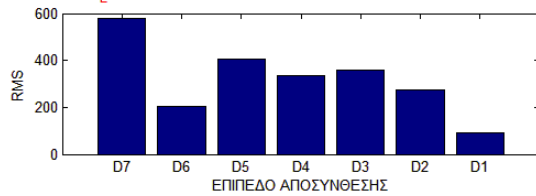
Σήμα: Fz L14-CUT3 Ιστόγραμμα διακριτού μετασχηματισμού κυματίου



Σήμα: Fz L15-CUT1 Ιστόγραμμα διακριτού μετασχηματισμού κυματίου

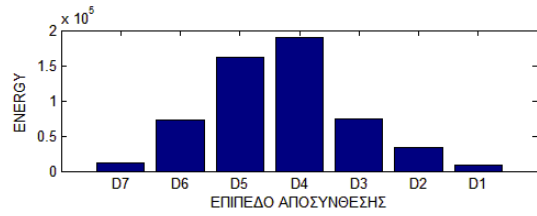
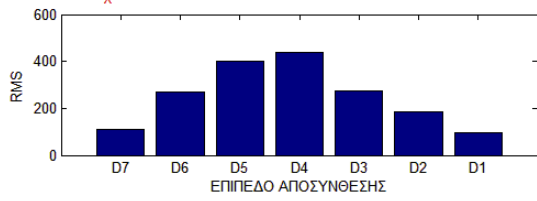


Σήμα: Fz L15-CUT2 Ιστόγραμμα διακριτού μετασχηματισμού κυματίου

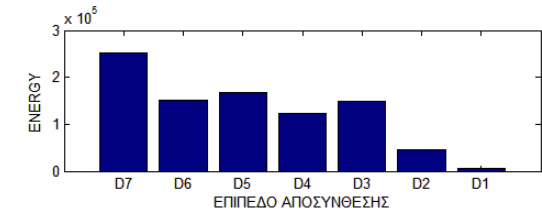
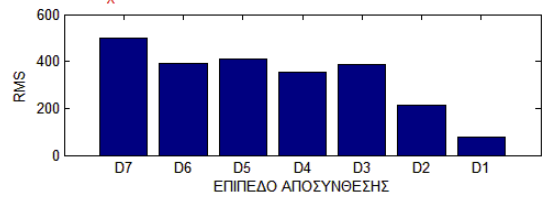


• Ασβεστόλιθος – Λατομείο Μάνδρας ΧΑΛΥΨ - (asn4)

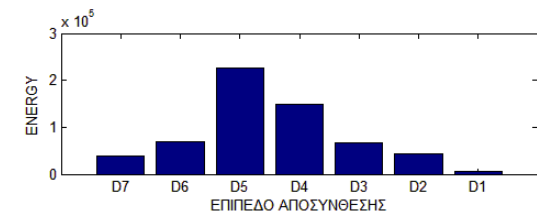
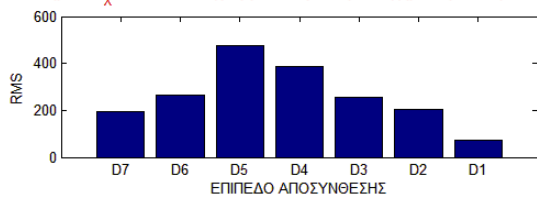
Σήμα: Fz_χ11-CUT1ιστόγραμμα διακριτού μετασχηματισμού κυματίδιου



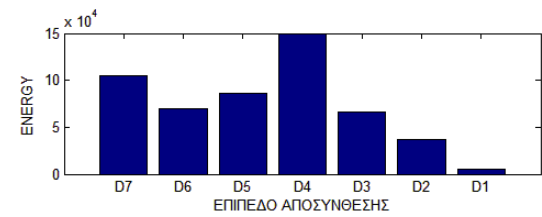
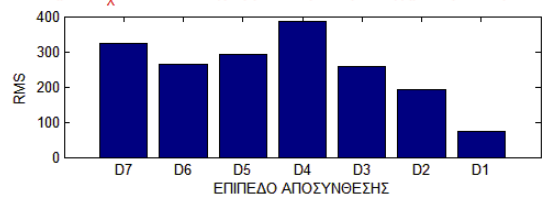
Σήμα: Fz_χ11-CUT2ιστόγραμμα διακριτού μετασχηματισμού κυματίδιου



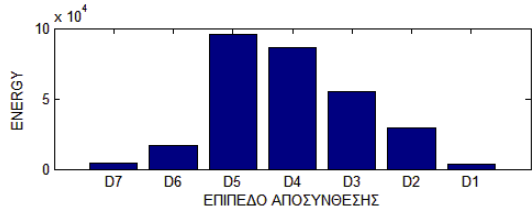
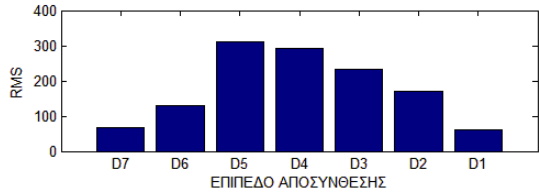
Σήμα: Fz_χ11-CUT3ιστόγραμμα διακριτού μετασχηματισμού κυματίδιου



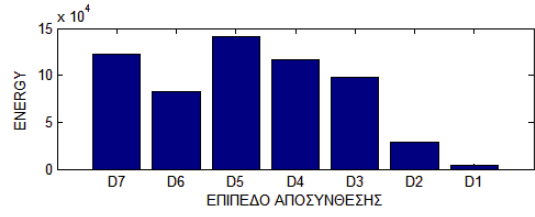
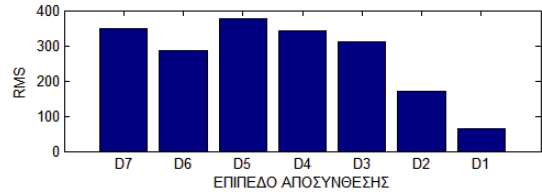
Σήμα: Fz_χ12-CUT2ιστόγραμμα διακριτού μετασχηματισμού κυματίδιου



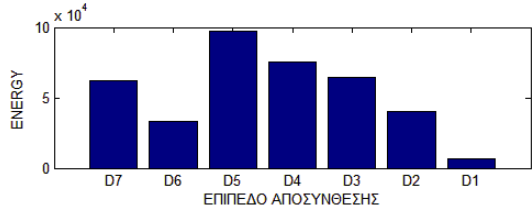
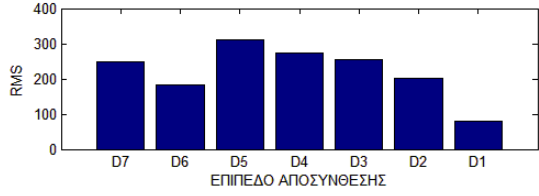
Σήμα: Fz_χ13-CUT1 Ιστόγραμμα διακριτού μετασχηματισμού κυματίδιου



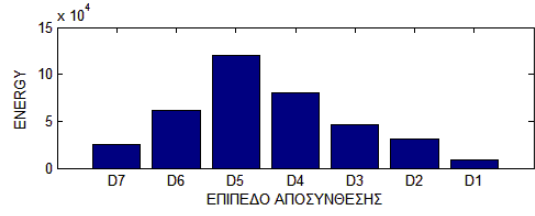
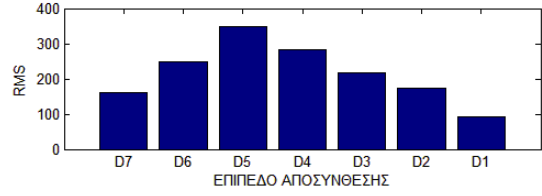
Σήμα: Fz_χ13-CUT3 Ιστόγραμμα διακριτού μετασχηματισμού κυματίδιου



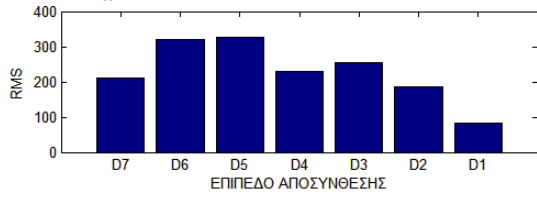
Σήμα: Fz_χ13-CUT4 Ιστόγραμμα διακριτού μετασχηματισμού κυματίδιου



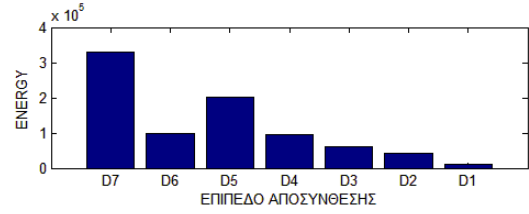
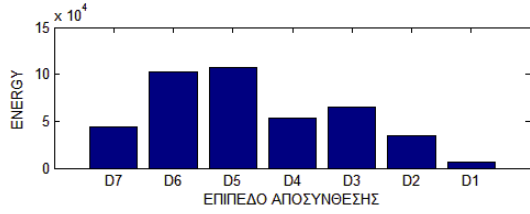
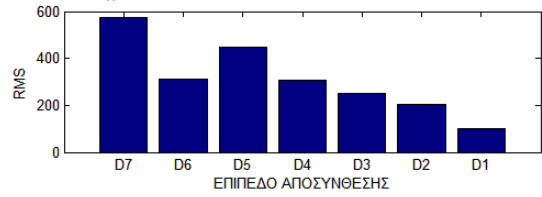
Σήμα: Fz_χ14-CUT1 Ιστόγραμμα διακριτού μετασχηματισμού κυματίδιου



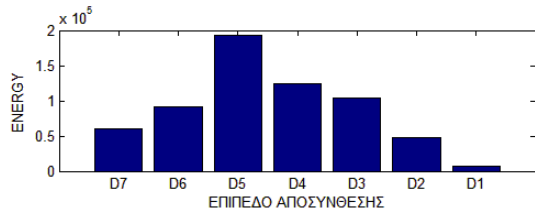
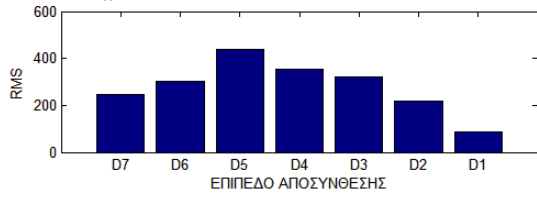
Σήμα: Fz_χ14-CUT2ιστόγραμμα διακριτού μετασχηματισμού κυματίου



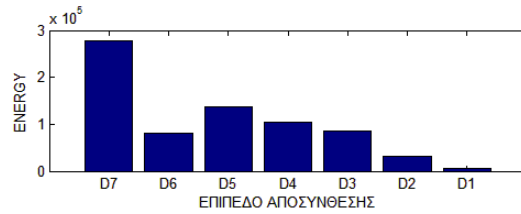
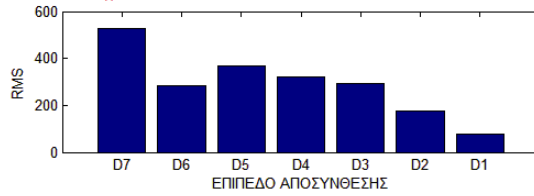
Σήμα: Fz_χ14-CUT3ιστόγραμμα διακριτού μετασχηματισμού κυματίου



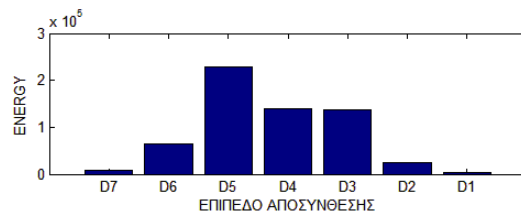
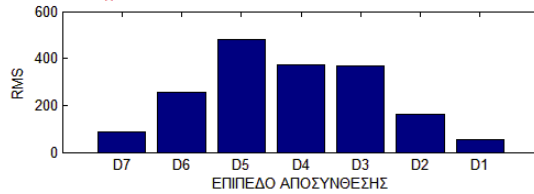
Σήμα: Fz_χ15-CUT1ιστόγραμμα διακριτού μετασχηματισμού κυματίου



Σήμα: Fz_χ15-CUT3ιστόγραμμα διακριτού μετασχηματισμού κυματίου

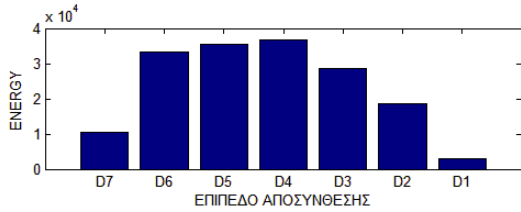
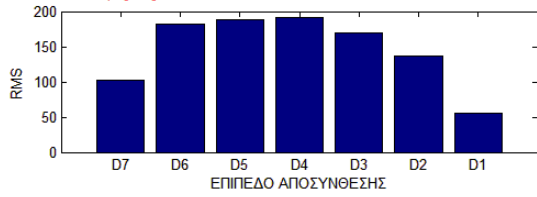


Σήμα: Fz_χ15-CUT4ιστόγραμμα διακριτού μετασχηματισμού κυματίου

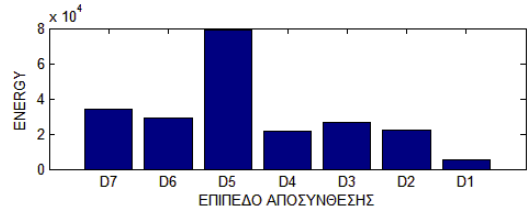
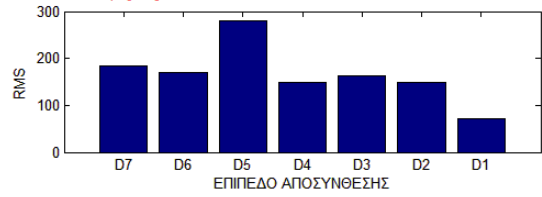


• **Νηρητικός Ασβεστόλιθος Παλαιόκαινου – Λατομείο Καγιάννη Τρίπολη - (asn5)**

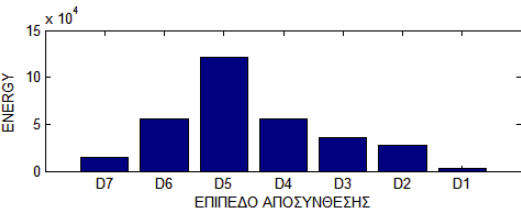
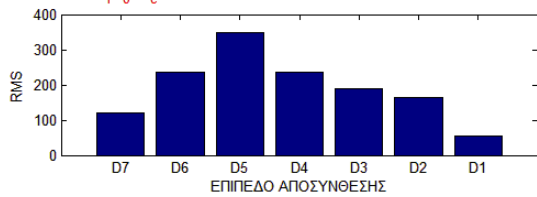
Σήμα: Fz_Ta₀4b_c ι11στόγραμμα διακριτού μετασχηματισμού κυμαδίου



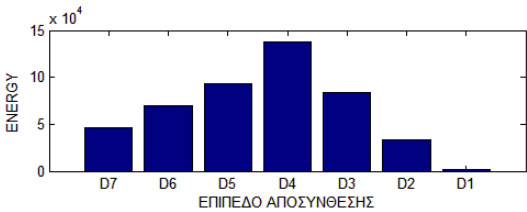
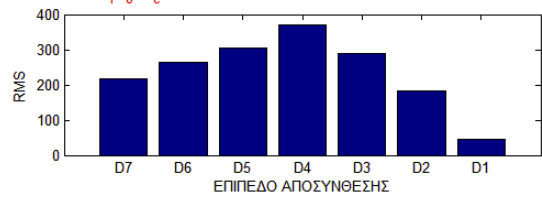
Σήμα: Fz_Ta₀4b_c ι21στόγραμμα διακριτού μετασχηματισμού κυμαδίου



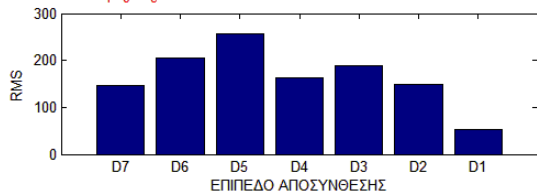
Σήμα: Fz_Ta₀4b_c ι31στόγραμμα διακριτού μετασχηματισμού κυμαδίου



Σήμα: Fz_Ta₀4b_c ι41στόγραμμα διακριτού μετασχηματισμού κυμαδίου

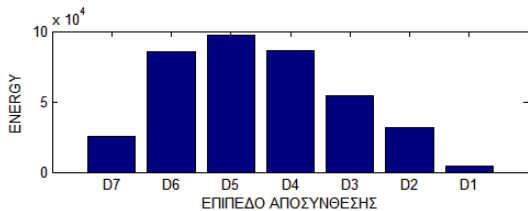
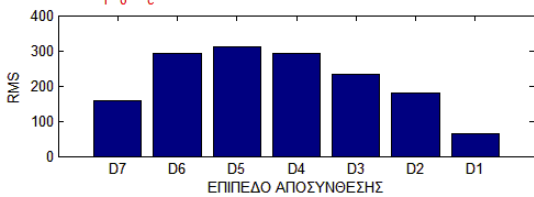


Σήμα: Fz_Ta₀5b_c ι11στόγραμμα διακριτού μετασχηματισμού κυμαδίου

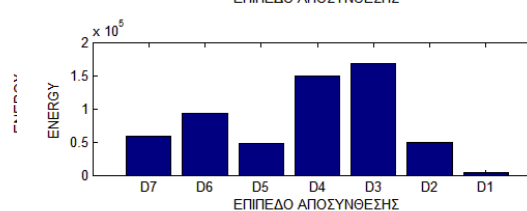
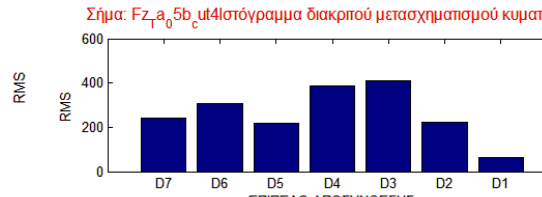


...4

Σήμα: Fz_Ta₀5b_c ι31στόγραμμα διακριτού μετασχηματισμού κυμαδίου

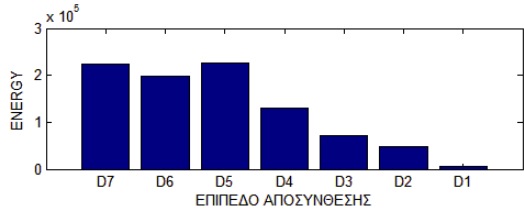
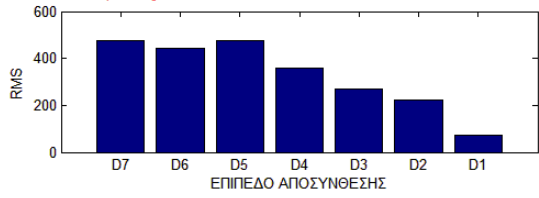


Σήμα: Fz_Ta₀5b_c ι41στόγραμμα διακριτού μετασχηματισμού κυμαδίου

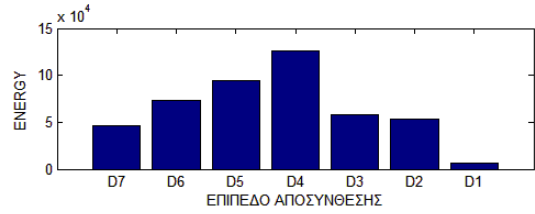
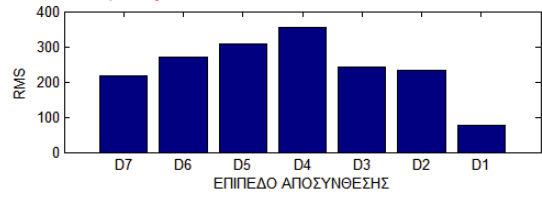


- Ασβεστόλιθος Ιουρασικού – Λατομεία Πρεβέζης - (asn6)

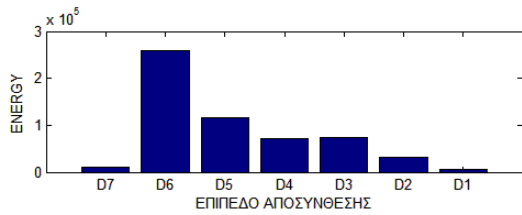
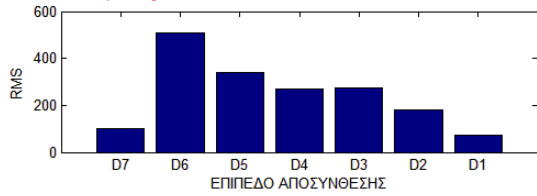
Σήμα: Fz_pa-01_ε1 Ιστόγραμμα διακριτού μετασχηματισμού κυματίδιου



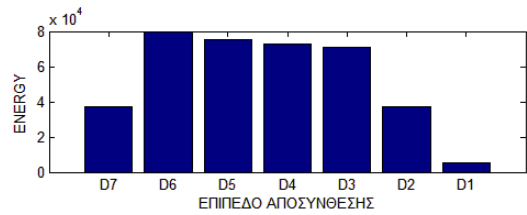
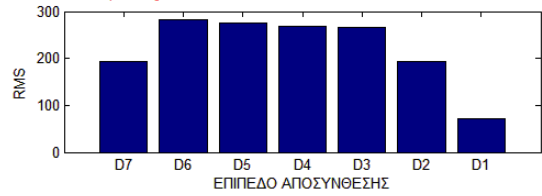
Σήμα: Fz_pa-01_ε2 Ιστόγραμμα διακριτού μετασχηματισμού κυματίδιου



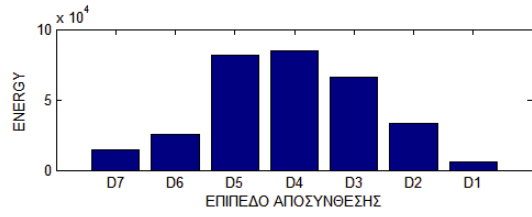
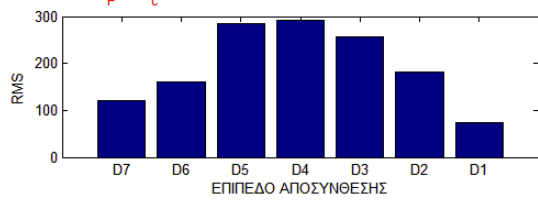
Σήμα: Fz_pa-01_ε3 Ιστόγραμμα διακριτού μετασχηματισμού κυματίδιου



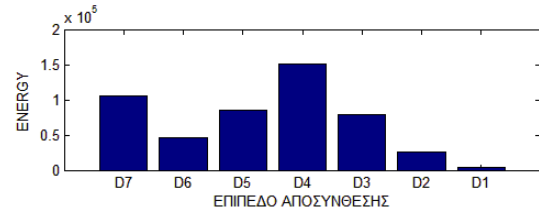
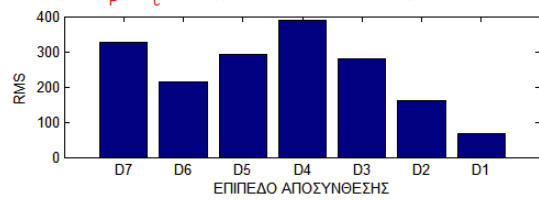
Σήμα: Fz_pa-01_ε4 Ιστόγραμμα διακριτού μετασχηματισμού κυματίδιου



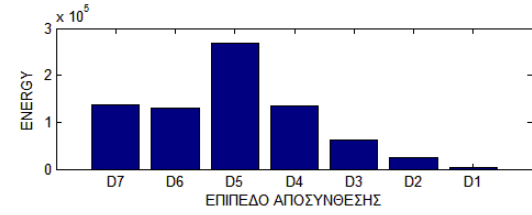
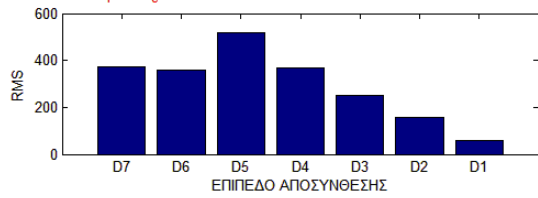
Σήμα: Fz_pa-02_ζ ut3ιστόγραμμα διακριτού μετασχηματισμού κυματίου



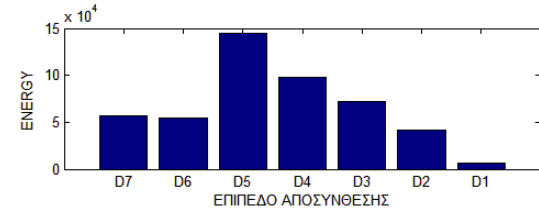
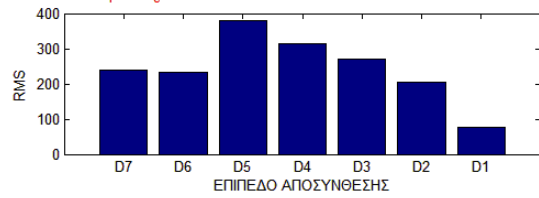
Σήμα: Fz_pa-02_ζ ut4ιστόγραμμα διακριτού μετασχηματισμού κυματίου

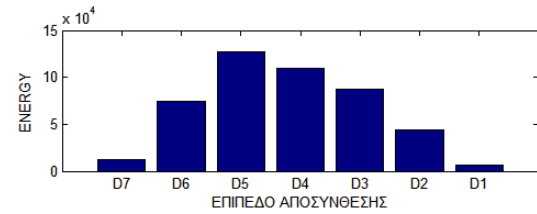
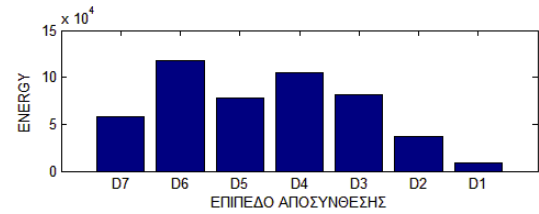
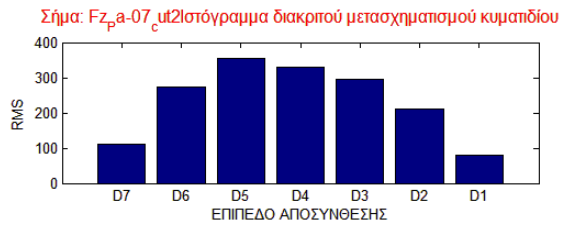
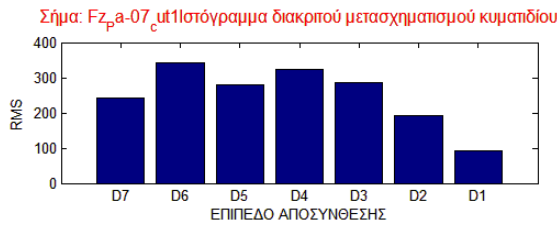
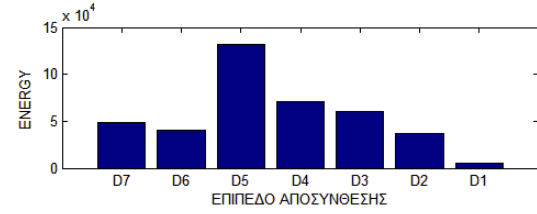
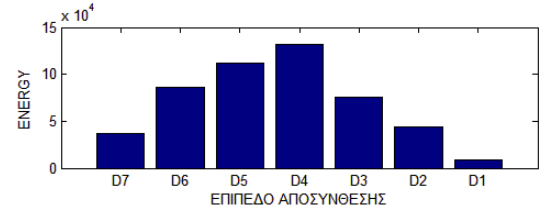
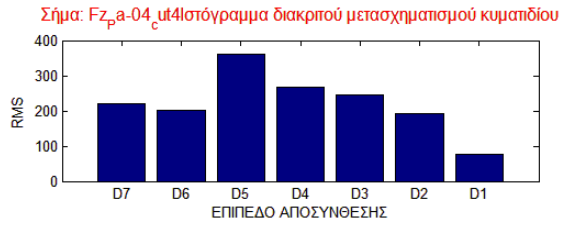
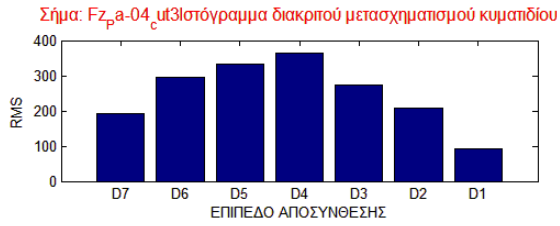


Σήμα: Fz_pa-04_ζ ut1ιστόγραμμα διακριτού μετασχηματισμού κυματίου

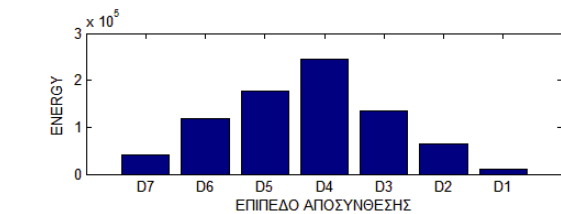
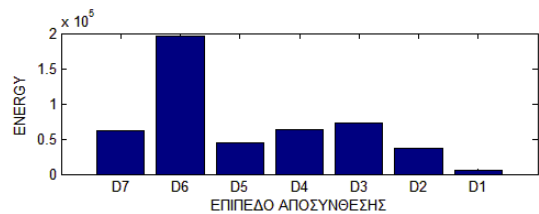
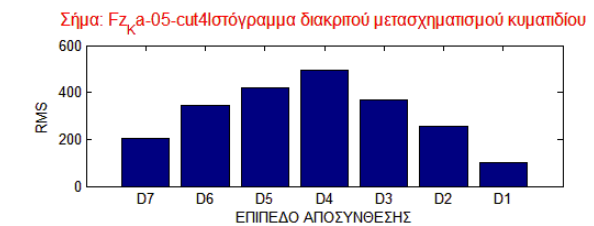
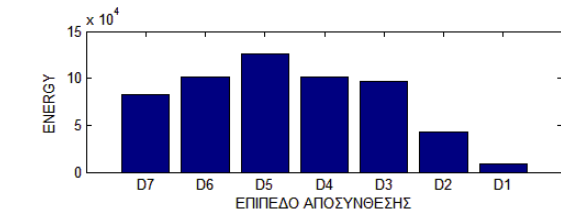
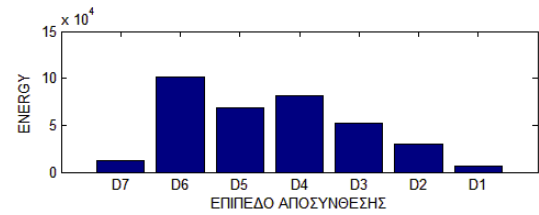
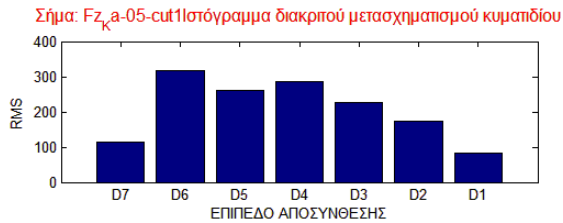


Σήμα: Fz_pa-04_ζ ut2ιστόγραμμα διακριτού μετασχηματισμού κυματίου

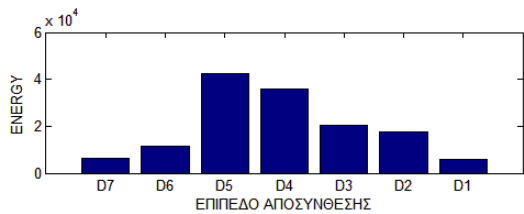
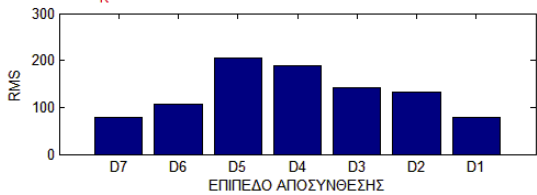




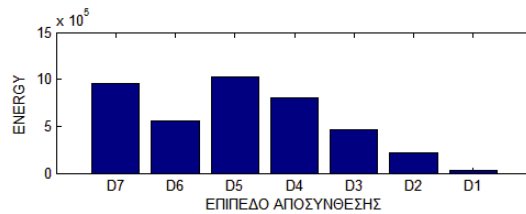
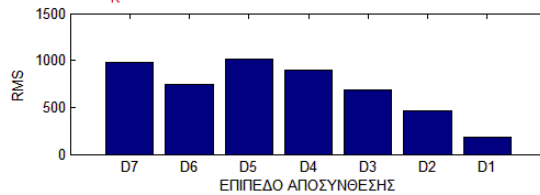
• Ασβεστόλιθος Κρυσταλλικός – Λατομείο Βούλας Τρίκαλα - (asn7)



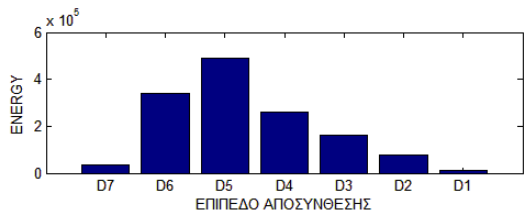
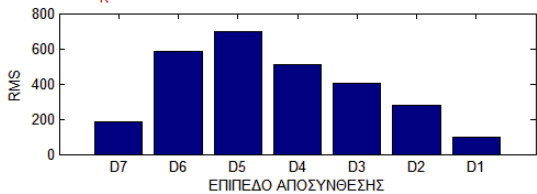
Σήμα: Fz_κa-09-cut1 Ιστόγραμμα διακριτού μετασχηματισμού κυματίου



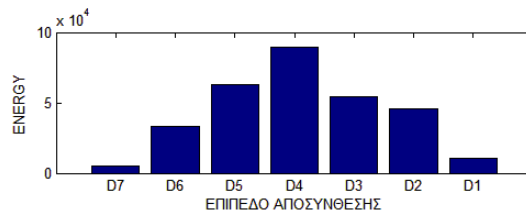
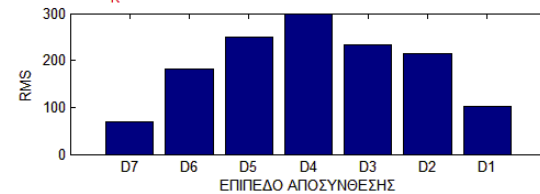
Σήμα: Fz_κa-09-cut2 Ιστόγραμμα διακριτού μετασχηματισμού κυματίου



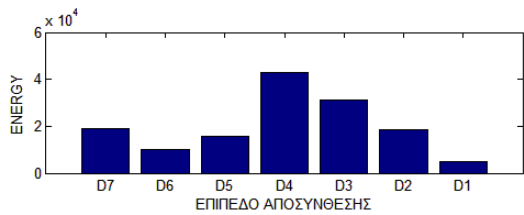
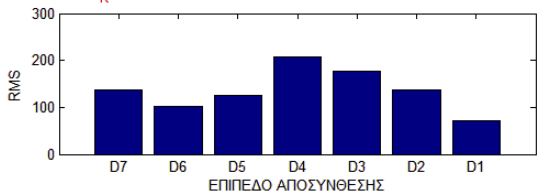
Σήμα: Fz_κa-10-cut1 Ιστόγραμμα διακριτού μετασχηματισμού κυματίου



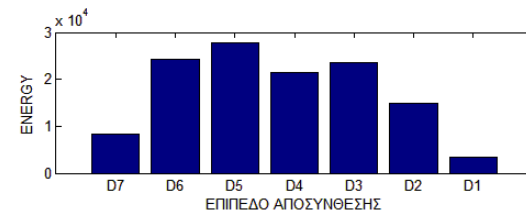
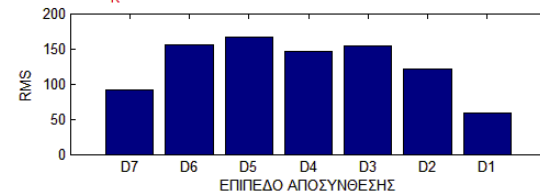
Σήμα: Fz_κa-10-cut2 Ιστόγραμμα διακριτού μετασχηματισμού κυματίου



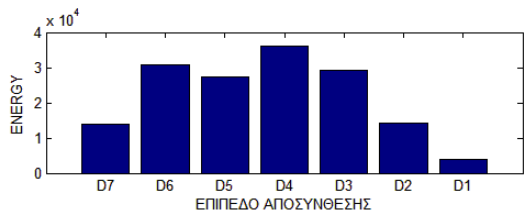
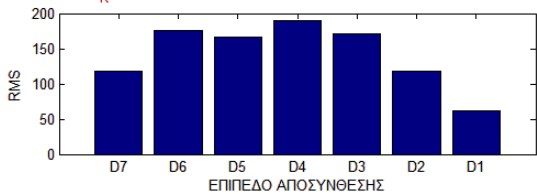
Σήμα: Fz_κa-10-cut3 Ιστόγραμμα διακριτού μετασχηματισμού κυματίου



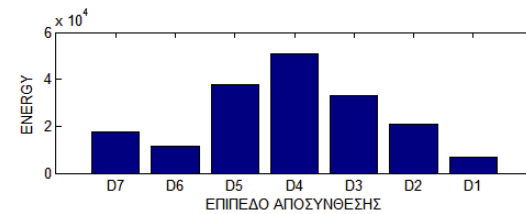
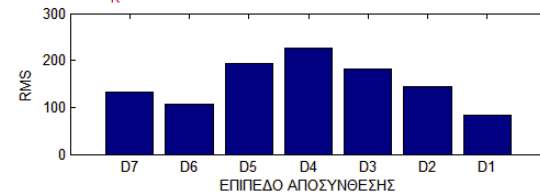
Σήμα: Fz_κa-10-cut4 Ιστόγραμμα διακριτού μετασχηματισμού κυματίου



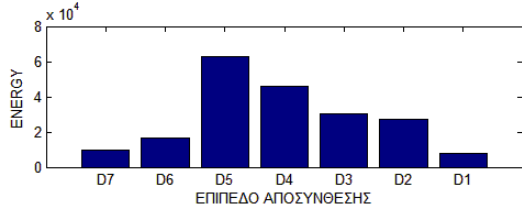
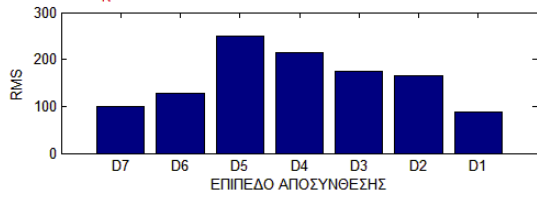
Σήμα: Fz_κa-11-cut1 Ιστόγραμμα διακριτού μετασχηματισμού κυματίου



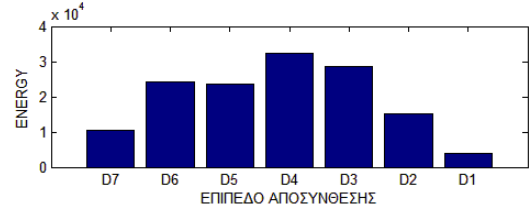
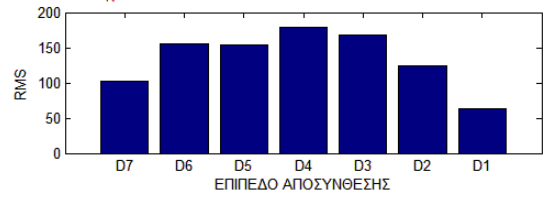
Σήμα: Fz_κa-11-cut2 Ιστόγραμμα διακριτού μετασχηματισμού κυματίου



Σήμα: $Fz_{\kappa a-11}$ -cut3ιστόγραμμα διακριτού μετασχηματισμού κυματίου

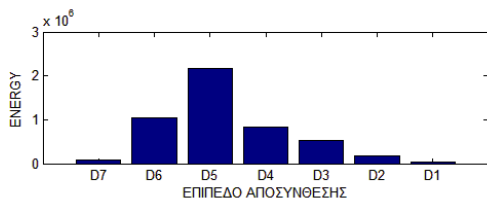
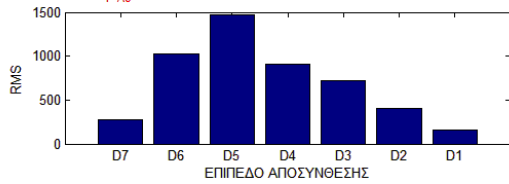


Σήμα: $Fz_{\kappa a-11}$ -cut4ιστόγραμμα διακριτού μετασχηματισμού κυματίου

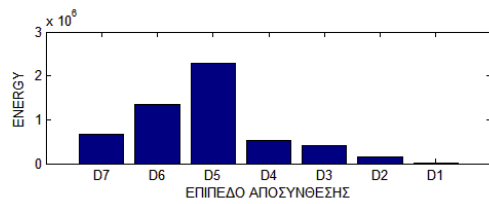
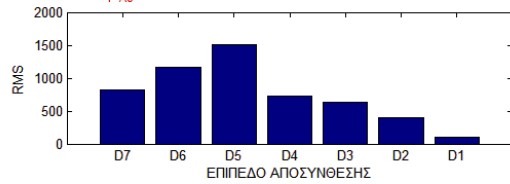


- Σχιστώδης Ορθογενέσιος Δυτικής Ικαρίας - (*s - orth*)

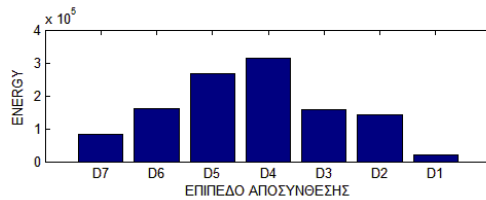
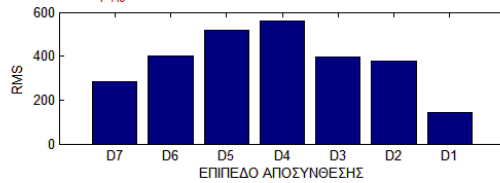
Σήμα: $Fz_{\kappa_{A0}3}$ -cut2ιστόγραμμα διακριτού μετασχηματισμού κυματίου



Σήμα: $Fz_{\kappa_{A0}3}$ -cut3ιστόγραμμα διακριτού μετασχηματισμού κυματίου

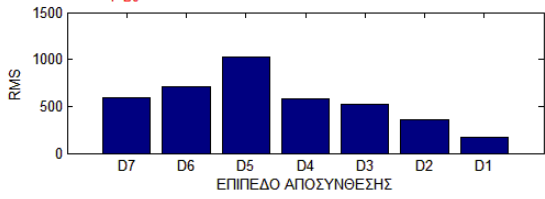


Σήμα: $Fz_{\kappa_{A0}6}$ -cut1ιστόγραμμα διακριτού μετασχηματισμού κυματίου

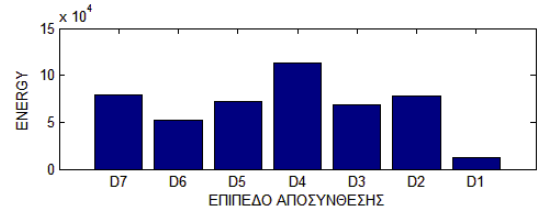
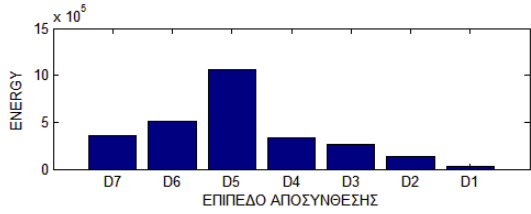
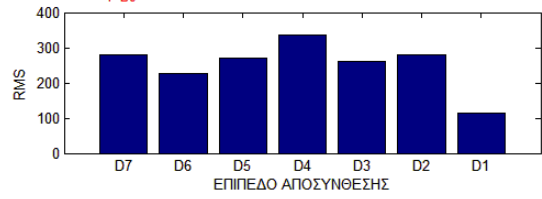


• Οφθαλμώδης Ορθογέυσιος Δυτικής Ικαρίας - (*o* – *orth*)

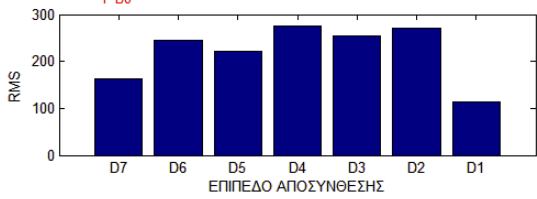
Σήμα: Fz_k_{B0} 1-cut 3ιστόγραμμα διακριτού μετασχηματισμού κυμαπίδιου



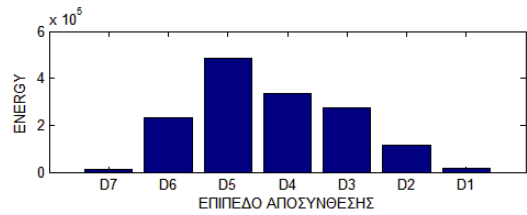
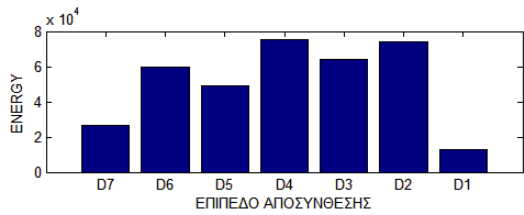
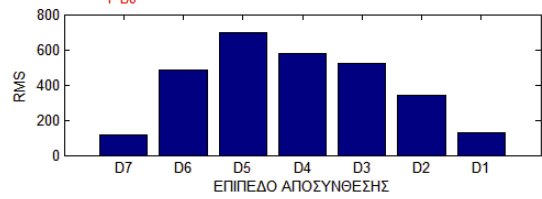
Σήμα: Fz_k_{B0} 4-cut 1ιστόγραμμα διακριτού μετασχηματισμού κυμαπίδιου



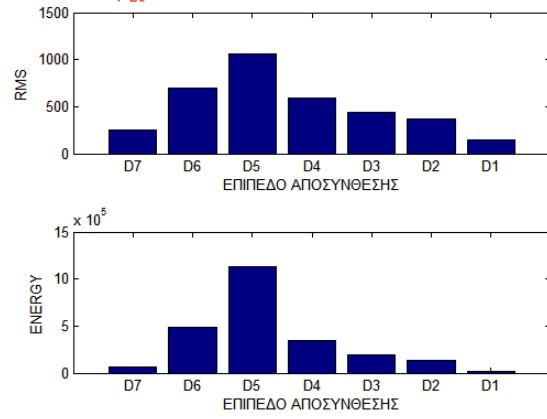
Σήμα: Fz_k_{B0} 4-cut 2ιστόγραμμα διακριτού μετασχηματισμού κυμαπίδιου



Σήμα: Fz_k_{B0} 4-cut 3ιστόγραμμα διακριτού μετασχηματισμού κυμαπίδιου



Σχήμα: $FzK_{\Gamma\theta}$ 4-cut4 ιστόγραμμα διακριτού μετασχηματισμού κυματίου



ΠΑΡΑΡΤΗΜΑ 3

Τιμές των παραμέτρων που προέκυψαν από την ανάλυση με κυματίδια των σημάτων της δύναμης κοπής για κάθε σήμα ξεχωριστά

- Λευκότεφρος Ασβεστόλιθος ζαχαρώδους υφής του Τριαδικού από τον ορεινό όγκο Λέμφι της Ελευσίνας (TITAN) - (*asnI*)

ΣΗΜΑ	MEAN ABSOLUTE DEVIATION							RATIO OF MEAN ABSOLUTE DEVIATION						L2 NORM						
	D1	D2	D3	D4	D5	D6	D7	(1,2)	(2,3)	(3,4)	(4,5)	(5,6)	(6,7)	D1	D2	D3	D4	D5	D6	D7
K-Y1-1-1	46,70	115,67	148,46	207,90	380,96	389,28	188,96	0,404	0,779	0,714	0,546	0,979	2,060	1604	3658	4681	6564	10785	10205	5328
K-Y1-1-2	46,05	148,10	184,04	338,67	478,93	493,75	360,32	0,311	0,805	0,543	0,707	0,970	1,370	1785	6329	6738	11289	14461	14082	9502
K-Y1-1-3	60,29	162,61	171,64	246,95	404,73	214,05	166,51	0,371	0,947	0,695	0,610	1,891	1,285	2250	5204	5201	7225	10924	6164	4399
K-Y1-2-1	59,66	143,97	217,54	211,32	224,53	75,90	157,60	0,414	0,662	1,029	0,941	2,958	0,482	1876	4243	6175	6192	5903	2103	4171
K-Y1-2-2	53,72	116,70	201,82	238,99	240,49	201,90	119,24	0,460	0,578	0,844	0,994	1,191	1,693	1663	3886	6149	7494	6874	6449	3374
K-Y1-2-3	62,27	113,86	186,82	266,53	231,77	254,74	100,31	0,547	0,609	0,701	1,150	0,910	2,540	1997	3552	5492	7549	7031	7592	2903
K-Y1-2-4	60,08	157,50	214,59	266,13	315,81	322,94	423,58	0,381	0,734	0,806	0,843	0,978	0,762	2002	4941	6488	7738	8593	9834	12395
K-Y1-3-1	34,62	109,90	165,38	203,60	201,44	188,58	316,19	0,315	0,665	0,812	1,011	1,068	0,596	1213	4283	6024	6330	5540	5156	8759
K-Y1-3-2	76,42	193,56	267,71	300,67	426,41	216,85	181,23	0,395	0,723	0,890	0,705	1,966	1,197	2750	6563	8452	8846	11731	6322	5040
K-Y1-3-3	66,15	164,70	217,02	251,11	310,86	348,07	206,46	0,402	0,759	0,864	0,808	0,893	1,686	2145	5220	6946	7734	8650	10335	5588
K-Y1-3-4	58,13	133,83	190,66	227,21	367,80	250,18	212,73	0,434	0,702	0,839	0,618	1,470	1,176	2035	4451	6020	6743	10118	7095	5570
demenegas-3x-2	69,91	206,31	304,45	362,29	515,47	324,51	398,42	0,339	0,678	0,840	0,703	1,588	0,814	2327	6663	10201	10643	14679	9283	11955
demenegas-3y-1	73,95	228,04	403,18	577,77	787,75	541,55	547,22	0,324	0,566	0,698	0,733	1,455	0,990	2787	9002	12717	18677	23112	15784	17891
demenegas-3y-2	80,29	177,89	316,59	453,38	544,69	509,22	377,95	0,451	0,562	0,698	0,832	1,070	1,347	2798	5772	10903	13407	14980	14446	9908
demenegas-3y-3	75,08	223,60	260,44	434,54	660,41	508,02	503,18	0,336	0,859	0,599	0,658	1,300	1,010	2956	7779	9831	13437	19521	16289	13229
demenegas-3z-1	71,99	228,27	293,77	362,84	485,16	466,63	245,88	0,315	0,777	0,810	0,748	1,040	1,898	2435	7345	9230	10279	14902	13118	7166
demenegas-3z-2	69,40	249,73	329,14	395,13	573,61	376,31	428,23	0,278	0,759	0,833	0,689	1,524	0,879	2331	8107	10333	11141	15366	11614	11068
demenegas-3z-3	54,69	164,30	211,30	310,91	415,78	514,62	195,30	0,333	0,778	0,680	0,748	0,808	2,635	2063	5685	6980	10424	12719	14184	5650
demenegas-3z-4	61,07	163,18	256,56	395,41	591,95	456,71	670,77	0,374	0,636	0,649	0,668	1,296	0,681	2272	5914	8217	12123	17720	14193	17297

demenegas-5x-1	77,60	223,99	287,33	348,95	316,57	256,83	520,48	0,346	0,780	0,823	1,102	1,233	0,493	2624	7545	9060	10776	8895	7422	14276
demenegas-5x-2	72,68	252,54	323,68	499,20	449,96	423,64	255,42	0,288	0,780	0,648	1,109	1,062	1,659	2535	8058	10110	14237	12950	12071	6643
demenegas-5x-3	27,35	79,02	126,58	172,52	296,14	378,14	452,74	0,346	0,624	0,734	0,583	0,783	0,835	1208	2767	4352	6128	8309	10739	12012
demenegas-5y-1	30,35	112,75	197,59	296,52	237,64	341,03	382,85	0,269	0,571	0,666	1,248	0,697	0,891	1090	3807	7075	9703	7383	9124	9915
demenegas-5y-2	37,04	116,66	197,43	213,46	293,13	209,88	240,08	0,318	0,591	0,925	0,728	1,397	0,874	1253	3608	6040	6477	8958	5442	6610
demenegas-5y-3	53,70	180,36	245,55	324,05	569,85	544,45	504,61	0,298	0,734	0,758	0,569	1,047	1,079	2255	7379	8918	10068	18249	16263	14833
demenegas-5y-4	55,33	162,71	242,33	503,61	847,12	521,68	127,21	0,340	0,671	0,481	0,594	1,624	4,101	2824	7122	8627	17048	28654	14568	3653
demenegas-5z-1	48,83	144,79	245,42	246,93	251,22	403,86	235,82	0,337	0,590	0,994	0,983	0,622	1,713	1817	5066	8269	7663	7600	12103	7623
demenegas-5z-2	47,50	140,83	202,70	195,69	414,60	410,76	392,60	0,337	0,695	1,036	0,472	1,009	1,046	2172	4833	6667	5919	12032	11036	10690
demenegas-5z-3	55,11	170,00	225,68	316,94	417,68	514,61	139,70	0,324	0,753	0,712	0,759	0,812	3,684	2205	6358	7421	9949	12257	15387	3755
T1-1-cut1	49,56	127,94	165,34	212,63	243,47	112,43	132,20	0,387	0,774	0,778	0,873	2,166	0,850	1598	3781	5408	6342	7198	3856	3560
T1-1-cut2	40,06	95,38	155,69	135,12	178,37	168,59	171,57	0,420	0,613	1,152	0,758	1,058	0,983	1292	2908	4591	4030	5362	4688	5010
T1-1-cut3	37,74	101,47	128,02	197,54	247,36	106,54	212,70	0,372	0,793	0,648	0,799	2,322	0,501	1244	3176	3862	5817	7533	2844	5908
T1-5-cut1	35,16	98,86	133,01	137,82	131,20	102,42	87,15	0,356	0,743	0,965	1,050	1,281	1,175	1114	2952	4121	4108	3812	2754	2321
T1-5-cut3	40,98	117,71	170,43	204,93	210,44	103,83	199,75	0,348	0,691	0,832	0,974	2,027	0,520	1348	3483	4892	6116	6115	3089	6438
T1-5-cut4	41,93	115,23	154,74	182,62	189,79	225,36	279,94	0,364	0,745	0,847	0,962	0,842	0,805	1563	3535	4568	5451	5620	6230	7382
T1-6-cut1	52,99	134,09	184,73	179,00	194,08	210,32	232,02	0,395	0,726	1,032	0,922	0,923	0,906	1597	4064	5434	5071	5601	6010	6052
T1-6-cut2	33,29	137,87	170,38	234,93	285,27	237,46	134,14	0,241	0,809	0,725	0,824	1,201	1,770	1020	4307	5023	6930	7911	6771	3751
T1-6-cut3	38,36	120,35	187,09	269,15	270,97	270,49	206,28	0,319	0,643	0,695	0,993	1,002	1,311	1273	3759	5515	8816	7797	7694	5636
T1-6-cut4	62,00	147,84	219,00	250,28	248,48	162,97	250,96	0,419	0,675	0,875	1,007	1,525	0,649	1958	4492	6657	6929	7268	5297	6824
T2-1-cut1	48,97	121,68	218,51	183,33	167,31	191,99	50,16	0,403	0,557	1,192	1,096	0,871	3,827	1624	3682	6806	5495	4699	5536	1327
T2-1-cut2	49,01	124,07	140,45	210,88	232,74	206,75	250,05	0,395	0,883	0,666	0,906	1,126	0,827	1714	3853	4226	6295	7486	5986	6965
T2-1-cut3	59,02	146,46	200,19	250,57	228,85	214,71	104,19	0,403	0,732	0,799	1,095	1,066	2,061	1878	4385	5839	7053	6925	5932	2861
T2-1-cut4	38,67	74,91	135,27	168,17	347,03	220,38	263,84	0,516	0,554	0,804	0,485	1,575	0,835	1529	2625	5523	5976	10110	6440	7081
T2-4-cut1	34,62	113,32	169,00	183,44	307,63	340,79	309,31	0,306	0,671	0,921	0,596	0,903	1,102	1171	3789	5342	5672	9108	9203	8288
T2-5-cut1	47,76	141,36	161,42	212,67	253,39	225,89	205,12	0,338	0,876	0,759	0,839	1,122	1,101	1547	4415	4766	5956	7459	6075	5555
T2-5-cut2	52,35	150,51	184,09	302,64	268,26	198,06	263,13	0,348	0,818	0,608	1,128	1,354	0,753	1702	4781	5487	9045	7724	5579	6866

T2-5-cut3	37,89	112,89	118,60	150,18	222,05	187,67	214,83	0,336	0,952	0,790	0,676	1,183	0,874	1239	3743	3651	4866	6373	5468	5968
T2-5-cut4	55,17	129,05	189,82	258,37	309,40	354,46	97,84	0,428	0,680	0,735	0,835	0,873	3,623	1837	3987	5798	7397	9761	9951	2615
T2-6-cut1	48,09	117,65	161,08	159,37	162,71	113,21	122,63	0,409	0,730	1,011	0,979	1,437	0,923	1479	3559	4698	4562	4736	3304	3310
T2-6-cut2	43,25	119,09	186,98	171,97	317,95	227,19	139,97	0,363	0,637	1,087	0,541	1,400	1,623	1452	3824	5704	5492	8887	6458	4236
T2-7-cut1	44,10	114,09	203,12	272,29	263,57	305,39	337,33	0,387	0,562	0,746	1,033	0,863	0,905	1560	3617	6711	8195	8623	9548	9465
T2-7-cut2	52,38	87,08	173,04	259,46	266,64	229,70	299,03	0,601	0,503	0,667	0,973	1,161	0,768	1709	2736	5473	7443	7696	6416	8098
T2-7-cut3	62,18	125,40	180,82	174,59	279,85	172,97	174,94	0,496	0,694	1,036	0,624	1,618	0,989	1962	3714	5355	5193	7677	4658	5119
T3-1-cut1	44,81	107,25	137,39	189,01	186,55	204,22	141,06	0,418	0,781	0,727	1,013	0,913	1,448	1412	3299	4409	5643	5360	5729	3737
T3-1-cut2	39,19	115,33	200,72	180,38	156,96	176,74	120,55	0,340	0,575	1,113	1,149	0,888	1,466	1286	3506	5813	5131	4284	5160	3351
T3-1-cut3	54,11	140,92	183,19	345,96	407,98	331,96	372,49	0,384	0,769	0,530	0,848	1,229	0,891	1843	4588	5894	10376	12569	9110	9959
T3-1-cut4	63,45	122,42	205,94	261,64	315,87	176,70	183,61	0,518	0,594	0,787	0,828	1,788	0,962	2016	3808	6499	7476	8931	5420	5085
T3-3-cut1	35,39	104,58	160,74	239,20	265,90	421,23	363,32	0,338	0,651	0,672	0,900	0,631	1,159	1342	3828	5567	7054	8167	11316	9241
T3-3-cut2	37,06	93,02	141,33	216,21	304,59	223,36	216,33	0,398	0,658	0,654	0,710	1,364	1,033	1351	3214	5573	7395	9017	6255	5731
T3-3-cut3	45,87	100,94	149,09	281,82	368,15	250,69	136,31	0,454	0,677	0,529	0,766	1,469	1,839	1646	3168	4810	8490	10567	6530	3721
T3-3-cut4	42,71	119,46	164,68	223,29	218,87	203,00	121,14	0,357	0,725	0,738	1,020	1,078	1,676	1479	3803	5058	6965	6389	5705	3409
T3-6-cut1	41,38	117,87	159,12	264,92	297,67	302,26	166,78	0,351	0,741	0,601	0,890	0,985	1,812	1383	3775	5447	7721	8915	9780	4427
T3-6-cut2	31,94	100,03	181,49	206,17	248,54	304,46	201,14	0,319	0,551	0,880	0,829	0,816	1,514	1183	3564	6777	6842	7243	8340	5254
T3-7-cut1	29,28	85,17	130,42	142,61	190,61	192,14	275,26	0,344	0,653	0,914	0,748	0,992	0,698	1010	3478	5665	5787	6534	5179	7313
T3-7-cut2	36,99	104,63	164,12	171,33	215,26	128,16	130,05	0,354	0,638	0,958	0,796	1,680	0,985	1124	3169	4746	4888	6110	3584	3475
T3-7-cut3	53,66	130,38	168,75	236,98	357,59	331,53	404,72	0,412	0,773	0,712	0,663	1,079	0,819	2004	4929	5412	7007	10007	8821	10685
T3-7-cut4	45,21	102,40	144,07	146,44	177,12	146,23	59,04	0,441	0,711	0,984	0,827	1,211	2,477	1425	3072	4283	4089	5421	4246	1731
T3-8-cut1	45,11	114,22	169,43	216,32	304,61	206,17	115,83	0,395	0,674	0,783	0,710	1,477	1,780	1466	4164	5212	6898	8869	5525	3030
T3-8-cut2	33,20	103,42	117,76	153,48	224,15	218,71	108,13	0,321	0,878	0,767	0,685	1,025	2,023	1131	3652	3802	4917	6513	6264	2888
T3-8-cut3	41,49	111,15	165,97	216,57	230,92	187,80	183,71	0,373	0,670	0,766	0,938	1,230	1,022	1433	3699	5169	6316	6597	5339	5035
T4-1-cut1	43,83	99,02	170,20	230,43	348,01	244,74	228,88	0,443	0,582	0,739	0,662	1,422	1,069	1459	3102	5309	6820	10865	6819	6220
T4-1-cut3	45,87	129,15	182,98	202,26	335,17	102,87	129,92	0,355	0,706	0,905	0,603	3,258	0,792	1475	4148	5549	5553	9707	2780	3384
T4-1-cut4	40,06	93,93	182,53	222,90	345,89	205,64	267,54	0,427	0,515	0,819	0,644	1,682	0,769	1457	3238	6273	6802	10537	5501	8902
T4-4-cut1	35,62	106,56	151,05	244,60	340,39	355,32	178,57	0,334	0,705	0,618	0,719	0,958	1,990	1192	3389	4576	7304	9640	9943	4818
T4-4-cut2	43,78	118,99	176,97	267,19	208,93	275,28	252,82	0,368	0,672	0,662	1,279	0,759	1,089	1477	3575	5287	7847	5994	7413	7252

T4-5-cut1	53,81	131,10	188,11	188,73	233,02	188,52	155,47	0,410	0,697	0,997	0,810	1,236	1,213	1732	4075	5776	5877	6870	5128	3976
T4-5-cut2	48,66	147,18	184,96	221,25	310,87	268,52	279,66	0,331	0,796	0,836	0,712	1,158	0,960	1644	4971	5984	6925	10113	7343	7898
T4-6-cut1	43,42	106,08	204,76	294,69	317,03	417,03	195,18	0,409	0,518	0,695	0,930	0,760	2,137	1602	3422	6136	8483	9193	12404	6291
T4-6-cut2	47,09	120,79	167,59	190,26	264,74	262,79	288,73	0,390	0,721	0,881	0,719	1,007	0,910	1775	4248	5344	7116	7465	7468	7949
T4-6-cut3	53,13	119,24	150,54	238,70	232,57	247,54	130,94	0,446	0,792	0,631	1,026	0,940	1,890	2039	4519	4386	7450	6361	7764	3415
T4-7-cut1	49,23	148,02	174,29	230,12	318,51	195,02	212,97	0,333	0,849	0,757	0,722	1,633	0,916	1768	5122	5114	6539	8626	5859	5584
T4-7-cut2	37,15	109,25	153,46	196,70	274,02	239,30	130,25	0,340	0,712	0,780	0,718	1,145	1,837	1180	3373	4861	5671	8518	6958	3577
T4-7-cut3	42,27	99,62	164,16	172,08	260,00	211,21	74,53	0,424	0,607	0,954	0,662	1,231	2,834	1517	3154	5073	5322	7322	5473	1936
T4-7-cut4	49,39	128,44	188,42	271,22	348,95	307,85	262,97	0,385	0,682	0,695	0,777	1,133	1,171	1512	4097	5421	8769	10598	9889	7090
T4-8-cut1	46,18	104,59	167,27	263,61	284,30	360,90	261,50	0,442	0,625	0,635	0,927	0,788	1,380	1554	3360	5173	7425	8142	10426	7071
T4-8-cut2	42,78	109,05	159,17	248,05	272,36	280,48	109,44	0,392	0,685	0,642	0,911	0,971	2,563	1582	3585	5469	7860	7656	8204	2949
T4-8-cut3	42,16	97,13	148,52	207,23	307,36	254,24	244,40	0,434	0,654	0,717	0,674	1,209	1,040	1639	3263	4880	6574	9595	7276	6403
T4-8-cut4	45,84	126,32	156,78	169,04	260,27	121,72	141,73	0,363	0,806	0,928	0,649	2,138	0,859	1483	3851	4370	4875	7603	3379	3747
T5-1-cut1	45,16	115,07	169,73	198,02	266,37	240,65	248,14	0,392	0,678	0,857	0,743	1,107	0,970	1501	3544	5451	5620	8187	6429	6428
T5-1-cut2	41,88	119,43	173,56	207,84	288,66	211,34	247,56	0,351	0,688	0,835	0,720	1,366	0,854	1522	3758	5326	6530	8285	6352	7179
T5-1-cut3	35,73	107,44	117,73	182,14	222,67	208,09	153,89	0,333	0,913	0,646	0,818	1,070	1,352	1119	3278	3564	5258	6508	6061	3963
T5-1-cut4	26,77	77,12	126,99	166,60	112,77	170,36	61,93	0,347	0,607	0,762	1,477	0,662	2,751	851	2489	4337	5699	3644	4610	1718
T5-2-cut1	58,78	131,94	175,45	241,63	199,65	149,82	146,21	0,446	0,752	0,726	1,210	1,333	1,025	1833	4146	5191	7853	6352	4103	3819
T5-2-cut2	48,35	114,82	152,46	156,14	210,22	108,21	249,34	0,421	0,753	0,976	0,743	1,943	0,434	1560	3578	4937	4647	6519	3001	7651
T5-3-cut1	48,45	104,58	140,44	198,91	194,92	175,39	176,72	0,463	0,745	0,706	1,020	1,111	0,993	1551	3142	4438	5438	6015	5013	5070
T5-3-cut2	48,95	128,09	168,72	166,67	147,61	139,80	125,71	0,382	0,759	1,012	1,129	1,056	1,112	1615	4221	4987	4884	5227	3637	3587
T5-3-cut3	40,09	101,78	120,52	197,44	281,02	284,69	223,61	0,394	0,845	0,610	0,703	0,987	1,273	1381	3488	3640	5950	9356	7979	6108
T5-5-cut1	45,03	117,74	141,57	127,54	193,34	188,19	198,35	0,382	0,832	1,110	0,660	1,027	0,949	1433	3646	4219	3580	5340	5874	5475
T5-5-cut2	48,22	111,49	126,00	198,00	214,72	153,80	151,54	0,433	0,885	0,636	0,922	1,396	1,015	1501	3312	3875	5727	5836	4105	3885
T5-5-cut3	50,83	91,67	120,83	167,65	131,42	181,75	165,87	0,554	0,759	0,721	1,276	0,723	1,096	1633	2853	3630	4867	3841	4828	4398
T5-7-cut1	61,66	109,80	167,55	136,58	167,97	116,89	86,77	0,562	0,655	1,227	0,813	1,437	1,347	1897	3239	4820	4139	4605	3239	2551
T5-7-cut2	44,12	127,95	155,04	167,39	207,44	213,22	161,54	0,345	0,825	0,926	0,807	0,973	1,320	1347	4144	5178	5127	5689	7210	4688
T5-7-cut4	46,95	110,65	125,86	177,41	188,78	233,77	212,04	0,424	0,879	0,709	0,940	0,808	1,102	1539	3520	4122	5775	5949	7007	5651

- Ψαμμίτης με ενστρώσεις ασβεστιτικού υλικού από τους παχυστρωματώδεις ψαμμίτες της ζώνης του φλύσχη της Πίνδου - (psam)

ΣΗΜΑ	MEAN ABSOLUTE DEVIATION							RATIO OF MEAN ABSOLUTE DEVIATION						L2 NORM						
	D1	D2	D3	D4	D5	D6	D7	(1,2)	(2,3)	(3,4)	(4,5)	(5,6)	(6,7)	D1	D2	D3	D4	D5	D6	D7
K-Y2-1-1	90,49	178,16	217,23	229,97	318,47	210,24	135,73	0,508	0,820	0,945	0,722	1,515	1,549	2945	5193	6398	6544	8945	5726	3460
K-Y2-1-2	82,34	183,52	251,43	252,74	378,04	265,88	360,05	0,449	0,730	0,995	0,669	1,422	0,738	2742	6014	7941	7320	11232	8272	10766
K-Y2-1-3	104,73	192,60	248,13	329,77	232,95	238,17	57,39	0,544	0,776	0,752	1,416	0,978	4,150	3179	5625	7849	9578	6406	6839	1542
K-Y2-1-4	112,50	232,00	284,46	245,60	247,51	300,12	189,37	0,485	0,816	1,158	0,992	0,825	1,585	3495	7369	8019	7220	7411	8541	5339
K-Y2-2-1	92,10	178,15	220,45	219,63	335,43	283,61	211,76	0,517	0,808	1,004	0,655	1,183	1,339	2962	5718	6489	6358	9488	7897	5388
K-Y2-2-2	72,17	163,69	175,68	326,41	284,91	267,97	430,74	0,441	0,932	0,538	1,146	1,063	0,622	2435	5283	5658	9620	8564	7471	11664
K-Y2-2-3	69,63	147,85	193,75	217,62	367,71	293,89	316,26	0,471	0,763	0,890	0,592	1,251	0,929	2287	4766	5921	6688	10083	8390	8507
K-Y2-2-4	99,11	197,26	225,09	245,38	215,69	117,34	140,25	0,502	0,876	0,917	1,138	1,838	0,837	3116	5751	6561	6839	6077	3141	3733
K-Y2-3-1	100,59	209,68	248,01	183,16	186,94	145,68	130,84	0,480	0,845	1,354	0,980	1,283	1,113	2966	6039	7141	5251	5543	4104	3551
K-Y2-3-2	84,41	193,21	180,81	204,88	220,64	236,02	215,45	0,437	1,069	0,883	0,929	0,935	1,095	2566	6065	5662	5665	6420	7912	5860
K-Y2-3-4	113,53	242,28	187,52	203,84	253,47	99,73	96,68	0,469	1,292	0,920	0,804	2,542	1,032	3464	7252	5387	5630	7022	2711	2628

- Συμπαγής ψαμμούχος στρωματώδης ιλιόλιθος σε επαφή με ψαμμούχο ασβεστόλιθο με ασβεστιτικές ενστρώσεις, από την ενότητα του πινδικού φλύσχη - (ilio)

ΣΗΜΑ	MEAN ABSOLUTE DEVIATION							RATIO OF MEAN ABSOLUTE DEVIATION						L2 NORM						
	D1	D2	D3	D4	D5	D6	D7	(1,2)	(2,3)	(3,4)	(4,5)	(5,6)	(6,7)	D1	D2	D3	D4	D5	D6	D7
K-Y3-1-1	42,27	123,00	176,03	326,38	408,53	404,60	459,03	0,344	0,699	0,539	0,799	1,010	0,881	1668	4095	6258	11471	11135	10779	12575
K-Y3-1-2	54,84	136,43	178,66	390,86	617,55	536,75	499,69	0,402	0,764	0,457	0,633	1,151	1,074	1985	4915	6411	11345	18161	15824	13995
K-Y3-1-3	65,02	187,74	207,25	313,55	452,32	475,87	395,94	0,346	0,906	0,661	0,693	0,951	1,202	2269	6402	6782	9975	15074	13006	10591
K-Y3-1-4	104,03	193,01	254,14	353,69	127,84	112,31	436,80	0,539	0,759	0,719	2,767	1,138	0,257	2449	4048	5266	7000	2700	2140	8090
K-Y3-2-1	64,86	153,29	222,90	322,51	366,76	288,16	298,86	0,423	0,688	0,691	0,879	1,273	0,964	2108	5028	6839	8643	10257	7857	8060
K-Y3-2-2	55,61	147,91	258,91	295,14	369,37	287,20	124,04	0,376	0,571	0,877	0,799	1,286	2,315	1830	5142	8844	9701	10743	8044	3557
K-Y3-2-3	65,68	154,75	247,81	316,73	421,24	534,28	364,83	0,424	0,624	0,782	0,752	0,788	1,464	2450	5246	7219	9789	12351	15286	10149

K-Y3-3-1	54,54	101,33	196,95	232,78	321,19	345,74	228,99	0,538	0,514	0,846	0,725	0,929	1,510	1959	3224	6375	7651	8758	9447	5922
K-Y3-3-2	95,46	194,92	319,16	300,12	405,64	254,69	240,20	0,490	0,611	1,063	0,740	1,593	1,060	3328	6533	10299	10437	12217	6981	6912
K-Y3-3-3	53,23	141,92	219,15	324,46	515,96	275,19	342,87	0,375	0,648	0,675	0,629	1,875	0,803	2187	5140	7302	10654	14756	7405	9491
K-Y3-3-4	61,23	147,96	213,59	233,88	289,77	304,55	311,88	0,414	0,693	0,913	0,807	0,951	0,976	1940	4882	6373	6928	8556	8881	9268
K-Y4-1-2	55,34	158,35	221,10	252,98	266,69	253,25	235,10	0,349	0,716	0,874	0,949	1,053	1,077	1863	5140	6419	7327	8017	6851	6889
K-Y4-1-3	47,11	136,46	229,05	324,81	495,48	483,12	465,01	0,345	0,596	0,705	0,656	1,026	1,039	1712	5045	8466	9437	16446	13571	13365
K-Y4-2-1	41,69	123,85	219,49	212,33	196,38	379,06	330,40	0,337	0,564	1,034	1,081	0,518	1,147	1630	4778	8060	6626	5652	10549	10462
K-Y4-2-2	66,69	171,65	239,88	260,88	291,89	305,80	177,96	0,389	0,716	0,920	0,894	0,955	1,718	2127	5566	7580	7462	8358	8335	4750
K-Y4-2-3	60,03	163,25	232,02	240,46	179,00	411,54	467,34	0,368	0,704	0,965	1,343	0,435	0,881	2213	5273	7109	7381	5482	10739	12672
K-Y4-2-4	34,66	91,63	104,95	136,49	197,67	283,57	87,95	0,378	0,873	0,769	0,690	0,697	3,224	1211	3161	3104	3934	5544	8417	2329
K-Y4-3-1	62,53	132,35	216,81	309,68	358,90	381,73	354,80	0,472	0,610	0,700	0,863	0,940	1,076	2070	4324	6671	8983	10310	10335	9253
K-Y4-3-2	51,88	107,53	176,94	132,27	122,23	174,91	205,17	0,482	0,608	1,338	1,082	0,699	0,853	1786	3312	5174	4469	3794	4938	5708
K-Y4-3-3	49,15	139,56	202,73	264,19	246,85	166,68	264,53	0,352	0,688	0,767	1,070	1,481	0,630	1558	4406	5977	7375	6819	4655	7123
K-Y4-3-4	44,28	97,59	135,89	175,47	254,74	338,77	336,33	0,454	0,718	0,774	0,689	0,752	1,007	1557	3615	5742	6448	8643	10415	9037

• **Ερυθρότερος ασβεστόλιθος του ανώτερου Τριαδικού από τον ορεινό όγκο Λέμφι της Ελευσίνας (TITAN) - (asn2)**

	MEAN ABSOLUTE DEVIATION							RATIO OF MEAN ABSOLUTE DEVIATION						L2 NORM							
	D1	D2	D3	D4	D5	D6	D7	(1,2)	(2,3)	(3,4)	(4,5)	(5,6)	(6,7)	D1	D2	D3	D4	D5	D6	D7	
ΣΗΜΑ																					
demenegas-4x-1	70,82	194,31	297,66	340,47	618,01	945,31	484,22	0,364	0,653	0,874	0,551	0,654	1,952	2585	6378	9875	10246	19019	29561	13832	
demenegas-4x-2	65,15	171,17	194,14	384,38	436,17	405,70	422,56	0,381	0,882	0,505	0,881	1,075	0,960	2314	5482	5837	11583	12201	11008	11317	
demenegas-4x-3	61,18	185,11	300,28	381,30	525,96	350,03	496,50	0,330	0,616	0,788	0,725	1,503	0,705	2241	5661	9585	12319	18055	9916	15031	
demenegas-4y-1	73,76	219,82	243,14	364,27	505,66	295,97	199,11	0,336	0,904	0,667	0,720	1,708	1,486	2389	6935	6996	10864	15103	8628	5174	
demenegas-4y-2	72,49	179,86	250,57	444,68	375,36	444,12	303,80	0,403	0,718	0,563	1,185	0,845	1,462	2536	5862	7314	12490	10116	11851	9255	
demenegas-4z-1	55,89	166,58	254,76	402,68	541,04	472,39	251,37	0,336	0,654	0,633	0,744	1,145	1,879	1914	5494	7909	12028	15522	12586	6491	
demenegas-4z-2	43,06	141,69	215,11	220,64	289,85	402,67	130,27	0,304	0,659	0,975	0,761	0,720	3,091	1401	4513	6976	6673	8958	11099	3496	
demenegas-4z-3	72,24	207,66	342,17	320,47	556,52	547,76	501,34	0,348	0,607	1,068	0,576	1,016	1,093	2463	6768	11196	9133	16985	14463	14842	

- **Ασβεστόλιθος Άνω Κρητιδικού – Μεταλλείο Αγ. Ιωάννη ΛΑΡΚΟ Α.Ε. - (asn3)**

ΣΗΜΑ	MEAN ABSOLUTE DEVIATION							RATIO OF MEAN ABSOLUTE DEVIATION						L2 NORM						
	D1	D2	D3	D4	D5	D6	D7	(1,2)	(2,3)	(3,4)	(4,5)	(5,6)	(6,7)	D1	D2	D3	D4	D5	D6	D7
LA12-CUT1	26,23	68,78	108,14	130,55	130,09	147,46	156,94	0,381	0,636	0,828	1,004	0,882	0,940	928	2198	3552	3976	3818	4479	4194
LA12-CUT2	44,58	109,15	153,74	171,29	285,95	156,21	350,79	0,408	0,710	0,898	0,599	1,831	0,445	1472	3594	4865	5350	7720	4277	9181
LA12-CUT3	60,80	138,92	197,78	174,56	167,71	145,15	80,90	0,438	0,702	1,133	1,041	1,155	1,794	1940	4141	5794	5311	4545	3772	2076
LA12-CUT4	38,86	92,83	157,40	273,99	238,61	156,40	312,29	0,419	0,590	0,574	1,148	1,526	0,501	1407	3077	5219	8339	7237	4738	8014
LA13-CUT1	37,90	75,57	149,78	177,26	119,90	97,20	63,86	0,502	0,505	0,845	1,478	1,233	1,522	1164	2266	4826	5366	3622	2733	1666
LA14-CUT2	53,78	126,20	213,76	213,79	255,50	135,19	63,55	0,426	0,590	1,000	0,837	1,890	2,127	1642	3829	6799	5933	7981	4149	1820
LA14-CUT3	41,42	102,56	164,19	195,54	172,83	152,52	57,87	0,404	0,625	0,840	1,131	1,133	2,635	1355	3097	5209	5870	4852	4507	1543
LA14-CUT4	41,30	109,56	145,76	172,97	162,18	215,38	114,03	0,377	0,752	0,843	1,067	0,753	1,889	1408	3920	4868	5783	4636	5483	3043
LA15-CUT1	17,94	65,28	102,45	99,50	94,54	89,56	172,81	0,275	0,637	1,030	1,052	1,056	0,518	647	2318	3507	3373	2555	2470	4670
LA15-CUT2	53,85	144,06	247,23	259,94	260,98	280,68	548,67	0,374	0,583	0,951	0,996	0,930	0,512	1858	5067	9221	7601	7845	8148	14584
LA15-CUT3	54,84	133,94	186,06	235,42	212,18	252,05	230,44	0,409	0,720	0,790	1,110	0,842	1,094	2004	4979	6038	7742	6203	6868	6278
LA17-CUT1	49,78	138,23	236,54	243,59	329,22	644,88	265,29	0,360	0,584	0,971	0,740	0,511	2,431	1711	4692	8445	7801	9699	17478	6921
LA17-CUT2	37,49	85,12	108,95	126,65	107,14	123,43	125,70	0,440	0,781	0,860	1,182	0,868	0,982	1154	2632	3222	3835	3571	3358	3529
LA17-CUT3	35,00	115,19	121,35	149,82	133,60	69,52	115,01	0,304	0,949	0,810	1,121	1,922	0,604	1104	3498	3510	4230	3656	1955	2987

- **Σιδηρονικελιούχος Λατερίτης – Μεταλλείο Αγ. Ιωάννη ΛΑΡΚΟ Α.Ε. - (lat)**

ΣΗΜΑ	MEAN ABSOLUTE DEVIATION							RATIO OF MEAN ABSOLUTE DEVIATION						L2 NORM						
	D1	D2	D3	D4	D5	D6	D7	(1,2)	(2,3)	(3,4)	(4,5)	(5,6)	(6,7)	D1	D2	D3	D4	D5	D6	D7
LL11-CUT1	74,06	162,03	235,52	209,42	168,94	154,96	140,04	0,457	0,688	1,125	1,240	1,090	1,107	2486	5500	6879	6287	4929	4151	3898
LL11-CUT2	97,17	201,84	312,05	390,99	253,14	205,02	108,72	0,481	0,647	0,798	1,545	1,235	1,886	3049	5997	9168	11063	6822	6129	3375
LL11-CUT3	43,25	115,54	140,42	182,50	225,18	253,54	259,89	0,374	0,823	0,769	0,810	0,888	0,976	1310	3991	4300	5266	6272	7220	6867
LL11-CUT4	56,50	108,81	151,47	231,62	213,61	78,85	130,60	0,519	0,718	0,654	1,084	2,709	0,604	1812	3748	4943	6457	5738	2233	3592
LL12-CUT1	49,70	173,71	201,15	221,91	338,39	233,48	295,70	0,286	0,864	0,906	0,656	1,449	0,790	1606	5850	6182	6283	9866	6484	8536

LL12-CUT2	81,21	360,82	482,01	494,30	312,56	469,23	337,59	0,225	0,749	0,975	1,581	0,666	1,390	2663	10877	13853	13961	9474	13084	9293
LL13-CUT1	80,09	187,06	324,80	241,18	267,09	217,26	200,71	0,428	0,576	1,347	0,903	1,229	1,082	2428	5651	9344	7925	7428	5917	5155
LL13-CUT2	56,42	201,98	426,94	431,84	314,99	323,49	273,87	0,279	0,473	0,989	1,371	0,974	1,181	1715	6296	12542	12858	8780	9107	7025
LL14a-CUT1	59,93	175,90	205,93	326,62	281,51	317,01	320,65	0,341	0,854	0,630	1,160	0,888	0,989	2035	5307	6444	9233	8395	9417	8693
LL14b-CUT2	86,73	208,52	266,54	330,35	319,99	521,89	420,31	0,416	0,782	0,807	1,032	0,613	1,242	3059	7214	8165	9535	8738	13689	10951
LL14b-CUT3	59,15	168,63	258,53	394,26	492,57	211,69	214,56	0,351	0,652	0,656	0,800	2,327	0,987	2028	5381	7883	12411	14037	7174	5715
LL15-CUT1	54,84	207,12	296,19	365,63	391,67	297,95	79,91	0,265	0,699	0,810	0,934	1,315	3,729	1847	6887	9275	11021	12371	8443	2051
LL15-CUT2	59,09	165,62	246,63	208,80	307,30	175,52	459,86	0,357	0,672	1,181	0,679	1,751	0,382	2020	6208	8066	7553	9195	4640	13134

• Ασβεστόλιθος – Λατομείο Μάνδρας ΧΑΛΥΨ - (asn4)

ΣΗΜΑ	MEAN ABSOLUTE DEVIATION							RATIO OF MEAN ABSOLUTE DEVIATION						L2 NORM						
	D1	D2	D3	D4	D5	D6	D7	(1,2)	(2,3)	(3,4)	(4,5)	(5,6)	(6,7)	D1	D2	D3	D4	D5	D6	D7
X11-CUT1	64,08	131,47	206,56	318,22	315,19	183,22	93,25	0,487	0,636	0,649	1,010	1,720	1,965	2139	4140	6152	9872	9078	6078	2462
X11-CUT2	49,56	138,93	228,03	238,38	311,71	303,09	398,82	0,357	0,609	0,957	0,765	1,028	0,760	1753	4847	8746	7966	9291	8826	11335
X11-CUT3	44,04	131,61	187,14	270,84	366,34	211,29	164,25	0,335	0,703	0,691	0,739	1,734	1,286	1681	4658	5803	8740	10769	5998	4439
X12-CUT2	50,61	141,91	197,45	295,15	214,33	215,63	255,83	0,357	0,719	0,669	1,377	0,994	0,843	1652	4369	5804	8760	6641	5953	7343
X13-CUT1	45,35	127,96	171,56	240,54	244,56	110,66	54,10	0,354	0,746	0,713	0,984	2,210	2,045	1385	3849	5298	6645	7008	2909	1539
X13-CUT3	45,16	115,79	210,84	224,62	309,99	242,47	286,50	0,390	0,549	0,939	0,725	1,278	0,846	1465	3831	7065	7733	8489	6489	7917
X13-CUT4	56,42	148,49	185,35	222,56	237,33	135,15	197,75	0,380	0,801	0,833	0,938	1,756	0,683	1811	4556	5753	6201	7057	4115	5631
X14-CUT1	60,92	123,93	165,07	232,19	293,69	213,99	115,26	0,492	0,751	0,711	0,791	1,372	1,857	2068	3959	4882	6416	7861	5620	3628
X14-CUT2	57,04	135,08	200,56	163,64	262,75	257,38	175,58	0,422	0,673	1,226	0,623	1,021	1,466	1884	4183	5777	5231	7404	7256	4748
X14-CUT3	58,89	137,63	184,61	240,02	345,60	251,12	390,80	0,428	0,746	0,769	0,694	1,376	0,643	2241	4607	5657	6999	10181	7101	13003
X15-CUT1	59,75	156,08	210,57	269,92	346,37	249,29	190,83	0,383	0,741	0,780	0,779	1,389	1,306	1986	4930	7291	7993	9940	6833	5552
X15-CUT3	50,34	119,40	204,27	238,81	292,25	247,21	384,21	0,422	0,585	0,855	0,817	1,182	0,643	1745	3991	6593	7269	8347	6453	11923
X15-CUT4	31,74	97,58	209,71	248,34	312,08	185,92	71,99	0,325	0,465	0,844	0,796	1,679	2,582	1209	3615	8363	8440	10842	5781	1917

• **Νηρητικός Ασβεστόλιθος Παλαιόκαινου – Λατομείο Καγιάννη Τρίπολη - (asn5)**

	MEAN ABSOLUTE DEVIATION							RATIO OF MEAN ABSOLUTE DEVIATION						L2 NORM							
	D1	D2	D3	D4	D5	D6	D7	(1,2)	(2,3)	(3,4)	(4,5)	(5,6)	(6,7)	D1	D2	D3	D4	D5	D6	D7	
ΣΗΜΑ																					
Ta_04b_cut1	38,98	105,73	131,09	154,87	143,45	139,77	87,76	0,369	0,807	0,846	1,080	1,026	1,593	1257	3082	3824	4341	4268	4126	2305	
Ta_04b_cut2	50,47	112,02	128,28	115,83	234,11	140,89	150,93	0,451	0,873	1,107	0,495	1,662	0,933	1638	3351	3688	3344	6359	3843	4165	
Ta_04b_cut3	41,40	113,19	135,76	197,59	271,35	195,00	102,65	0,366	0,834	0,687	0,728	1,392	1,900	1255	3733	4271	5343	7872	5349	2722	
Ta_04b_cut4	29,70	114,17	191,03	242,28	219,42	194,91	182,57	0,260	0,598	0,788	1,104	1,126	1,068	1026	4164	6566	8407	6885	5955	4889	
Ta_05b_cut1	39,31	112,64	145,43	132,59	199,29	166,64	126,54	0,349	0,775	1,097	0,665	1,196	1,317	1217	3386	4291	3696	5828	4640	3318	
Ta_05b_cut2	43,53	94,63	164,84	129,92	130,26	99,53	29,99	0,460	0,574	1,269	0,997	1,309	3,319	1338	2859	4607	3571	3768	2920	942	
Ta_05b_cut3	44,81	134,37	176,36	209,64	191,83	211,49	131,59	0,334	0,762	0,841	1,093	0,907	1,607	1435	4047	5289	6635	7047	6609	3605	
Ta_05b_cut4	43,34	155,56	239,66	270,18	177,48	264,91	195,33	0,279	0,649	0,887	1,522	0,670	1,356	1405	5002	9256	8735	4915	6913	5453	

• **Ασβεστόλιθος Ιουρασικού – Λατομεία Πρεβέζης - (asn6)**

	MEAN ABSOLUTE DEVIATION							RATIO OF MEAN ABSOLUTE DEVIATION						L2 NORM							
	D1	D2	D3	D4	D5	D6	D7	(1,2)	(2,3)	(3,4)	(4,5)	(5,6)	(6,7)	D1	D2	D3	D4	D5	D6	D7	
ΣΗΜΑ																					
Pa_01_cut1	46,73	146,77	187,35	261,84	364,61	376,37	325,54	0,318	0,783	0,715	0,718	0,969	1,156	1694	5007	6064	8138	10744	10047	10715	
Pa_01_cut2	55,34	150,65	183,44	258,47	249,78	221,00	171,27	0,367	0,821	0,710	1,035	1,130	1,290	1740	5252	5458	8013	6937	6119	4895	
Pa_01_cut3	49,26	129,66	187,23	202,43	273,76	414,44	87,97	0,380	0,693	0,925	0,739	0,661	4,711	1660	4060	6161	6078	7691	11494	2250	
Pa_01_cut4	49,51	135,64	189,95	216,34	226,29	210,48	165,81	0,365	0,714	0,878	0,956	1,075	1,269	1624	4357	6040	6096	6205	6386	4352	
Pa_02_cut3	50,84	136,81	203,47	229,66	228,57	125,43	96,48	0,372	0,672	0,886	1,005	1,822	1,300	1695	4128	5829	6577	6464	3607	2736	
Pa_02_cut4	45,76	118,79	201,79	288,64	213,07	178,92	254,80	0,385	0,589	0,699	1,355	1,191	0,702	1539	3663	6333	8800	6594	4853	7359	
Pa_04_cut1	37,54	108,36	170,11	271,91	363,69	272,95	327,37	0,346	0,637	0,626	0,748	1,332	0,834	1343	3582	5644	8341	11704	8125	8395	
Pa_04_cut2	52,31	142,35	202,16	242,93	295,72	191,60	188,35	0,367	0,704	0,832	0,821	1,543	1,017	1749	4641	6098	7095	8621	5290	5383	
Pa_04_cut3	60,75	148,25	208,59	269,77	268,32	225,50	158,37	0,410	0,711	0,773	1,005	1,190	1,424	2069	4715	6214	8209	7562	6660	4336	
Pa_04_cut4	55,39	132,99	179,44	207,89	286,59	167,82	193,46	0,417	0,741	0,863	0,725	1,708	0,867	1714	4315	5583	6028	8201	4554	5009	
Pa_07_cut1	61,07	140,79	199,81	255,75	216,56	286,67	213,67	0,434	0,705	0,781	1,181	0,755	1,342	2058	4338	6477	7348	6308	7748	5472	
Pa_07_cut2	55,12	155,01	235,44	265,04	276,61	233,98	95,55	0,356	0,658	0,888	0,958	1,182	2,449	1770	4743	6667	7487	8051	6188	2515	

- **Ασβεστόλιθος Κρυσταλλικός – Λατομείο Βούλας Τρίκαλα - (asn7)**

ΣΗΜΑ	MEAN ABSOLUTE DEVIATION							RATIO OF MEAN ABSOLUTE DEVIATION						L2 NORM						
	D1	D2	D3	D4	D5	D6	D7	(1,2)	(2,3)	(3,4)	(4,5)	(5,6)	(6,7)	D1	D2	D3	D4	D5	D6	D7
Ka_05_cut1	55,14	126,64	177,09	232,10	211,45	260,48	88,42	0,435	0,715	0,763	1,098	0,812	2,946	1893	3900	5153	6459	5937	7190	2546
Ka_05_cut2	70,41	156,29	241,88	257,19	289,83	254,70	227,96	0,450	0,646	0,940	0,887	1,138	1,117	2146	4712	7037	7191	8015	7194	6510
Ka_05_cut3	52,64	135,00	186,00	197,12	158,38	370,35	212,19	0,390	0,726	0,944	1,245	0,428	1,745	1682	4379	6074	5727	4735	10030	5641
Ka_05_cut4	74,28	186,35	271,72	386,32	348,75	282,09	133,48	0,399	0,686	0,703	1,108	1,236	2,113	2317	5754	8283	11202	9535	7784	4621
Ka-09_cut1	59,24	101,89	113,42	147,08	163,29	89,20	63,50	0,581	0,898	0,771	0,901	1,831	1,405	1760	3016	3215	4280	4656	2410	1768
Ka-09_cut2	122,08	329,04	509,47	694,47	816,78	611,81	750,16	0,371	0,646	0,734	0,850	1,335	0,816	4189	10453	15427	20306	22886	16894	22109
Ka-10_cut1	60,83	189,01	285,58	357,26	551,39	439,98	139,64	0,322	0,662	0,799	0,648	1,253	3,151	2251	6238	9064	11519	15823	13231	4242
Ka-10_cut2	72,90	161,58	179,57	234,22	197,06	147,12	61,09	0,451	0,900	0,767	1,189	1,340	2,408	2289	4851	5273	6774	5664	4125	1574
Ka-10_cut3	52,63	102,36	138,69	168,65	97,34	85,10	122,08	0,514	0,738	0,822	1,733	1,144	0,697	1616	3092	3983	4675	2844	2294	3104
Ka-10_cut4	44,57	96,72	121,80	121,73	127,26	123,45	79,71	0,461	0,794	1,001	0,957	1,031	1,549	1322	2757	3470	3308	3772	3532	2073
Ka-11_cut1	45,36	89,71	133,53	153,25	135,38	143,43	98,46	0,506	0,672	0,871	1,132	0,944	1,457	1394	2684	3871	4299	3750	3980	2655
Ka-11_cut2	63,14	106,64	142,94	173,32	145,70	83,41	103,90	0,592	0,746	0,825	1,190	1,747	0,803	1892	3283	4107	5114	4392	2434	3008
Ka-11_cut3	63,18	127,20	148,10	170,20	202,66	107,23	80,87	0,497	0,859	0,870	0,840	1,890	1,326	2008	3746	3956	4861	5657	2889	2260
Ka-11_cut4	44,07	92,99	134,30	146,49	119,96	130,11	80,90	0,474	0,692	0,917	1,221	0,922	1,608	1415	2794	3817	4062	3480	3530	2324

- **Σχιστώδης Ορθογώνιος Δυτικής Ικαρίας - (s – orth)**

ΣΗΜΑ	MEAN ABSOLUTE DEVIATION							RATIO OF MEAN ABSOLUTE DEVIATION						L2 NORM						
	D1	D2	D3	D4	D5	D6	D7	(1,2)	(2,3)	(3,4)	(4,5)	(5,6)	(6,7)	D1	D2	D3	D4	D5	D6	D7
Ik_A_03-cut2	100,77	278,28	519,35	628,10	1255,74	804,02	218,24	0,362	0,536	0,827	0,50	1,562	3,684	3687	9188	16266	20660	33394	23076	6196
Ik_A_03-cut3	67,19	253,14	460,89	576,24	1225,75	978,32	718,84	0,265	0,549	0,800	0,47	1,253	1,361	2435	9072	14448	16487	34203	26240	18438
Ik_A_06-cut1	99,46	272,66	287,70	398,61	380,98	341,52	220,91	0,365	0,948	0,722	1,04	1,116	1,546	3193	8491	9002	12695	11726	9092	6460

- Οφθαλμώδης Ορθογενέσιος Δυτικής Ικαρίας - (*o – orth*)

	MEAN ABSOLUTE DEVIATION							RATIO OF MEAN ABSOLUTE DEVIATION						L2 NORM						
	D1	D2	D3	D4	D5	D6	D7	(1,2)	(2,3)	(3,4)	(4,5)	(5,6)	(6,7)	D1	D2	D3	D4	D5	D6	D7
ΣΗΜΑ																				
Ik_B_01-cut3	86,53	226,45	310,26	357,21	576,61	596,67	433,92	0,382	0,730	0,869	0,619	0,966	1,375	3717	8130	11737	13044	23245	16097	13515
Ik_B_04-cut1	74,80	192,75	191,27	239,95	214,27	191,34	211,12	0,388	1,008	0,797	1,120	1,120	0,906	2560	6300	5909	7606	6090	5148	6355
Ik_B_04-cut2	80,65	195,72	198,66	219,33	186,43	204,32	134,79	0,412	0,985	0,906	1,176	0,912	1,516	2563	6149	5735	6209	5006	5539	3686
Ik_B_04-cut3	87,04	222,57	314,89	396,74	395,83	393,92	99,45	0,391	0,707	0,794	1,002	1,005	3,961	2837	7680	11817	13065	15737	10913	2676
Ik_B_04-cut4	89,05	253,31	282,13	372,61	588,66	531,06	203,26	0,352	0,898	0,757	0,633	1,108	2,613	3266	8412	10024	13272	24120	15788	5619

ΠΑΡΑΡΤΗΜΑ 4

Boxplots κατανομής των παραμέτρων της Δύναμης Κοπής που προέκυψαν από την Ανάλυση με Κυματίδια για κάθε τύπο πετρώματος

